

PROGETTAZIONE - RTP

STUDIO D' INGEGNERIA ASSOCIATO
ISOLA-BOASSO & ASSOCIATI S.r.l.

Dott. Ing. Renzo ISOLA
Dott. Ing. Riccardo ISOLA
Dott. Ing. Paolo BOASSO
Dott. Ing. Fabrizio RABAGLIO

C.so M. Prestinari n° 86
VERCELLI

STUDIO D' INGEGNERIA
Dott. Ing. Achille PARMIGIANI

Via Monte Bianco n° 24
CAMERI



ACQUA
NOVARA.VCO
S.p.A.

Via Triggiani, 9 - 28100 NOVARA (NO)
Tel. 0321/413111 - Fax. 0321/413196

PROGETTO DEFINITIVO/ESECUTIVO

oggetto

**COSTRUZIONE NUOVO SERBATOIO
PER ACQUA POTABILE
IN COMUNE DI STRESA
LOCALITA' CARCIANO**

Data: Dicembre 2016

Rif. archivio: 011.16

Scala

TAV. n° ST.01.003

Rev.

AGGIORNAMENTI

DATA

Contenuto degli Elaborati

Strutture – Fascicolo di calcolo

Il Responsabile
Dott. Ing. Riccardo ISOLA

Visto

* Riservato all'Amministrazione

Vs. Rif. arch.:

Riproduzione o consegna a terzi
solo dietro specifica autorizzazione

Ente destinatario:

-

Sommario

Introduzione.....	3
Sistemi di riferimento	3
Rotazioni e momenti	3
Unità di misura	3
Geometria.....	4
Elenco vincoli nodi	5
Elenco nodi	5
Elenco materiali	7
Elenco sezioni aste	8
Elenco vincoli aste	9
Elenco aste	9
Elenco tipi elementi bidimensionali	10
Elenco elementi bidimensionali	10
Elenco tipi solai	12
Elenco solai	12
Carichi.....	13
Condizioni di carico elementari	13
Elenco carichi aste Condizione di carico n. 1: PP+QPS Carichi distribuiti	14
Elenco carichi aste Condizione di carico n. 2: Terreno e permanenti Carichi distribuiti	15
Elenco carichi aste Condizione di carico n. 4: Neve Carichi distribuiti	16
Elenco carichi aste Condizione di carico n. 5: Accidentale generico Carichi distribuiti	17
Elenco carichi elementi bidimensionali Condizione di carico n.1: PP+QPS Carichi uniformi	18
Elenco carichi elementi bidimensionali Condizione di carico n.2: Terreno e Permanenti Carichi uniformi ..	19
Elenco carichi elementi bidimensionali Condizione di carico n.2: Terreno+Permanenti Carichi idrostatici ..	20
Elenco carichi elementi bidimensionali Condizione di carico n.3: Acqua serbatoio 1 Carichi uniformi	21
Elenco carichi elementi bidimensionali Condizione di carico n.3: Acqua serbatoio 1 Carichi idrostatici ..	22
Elenco carichi elementi bidimensionali Condizione di carico n.4: Neve Carichi uniformi	23
Elenco carichi elementi bidimensionali Condizione di carico n.5: Accidentale generico Carichi uniformi ..	24
Elenco carichi elementi bidimensionali Condizione di carico n.6: Sisma acqua serb 1 Carichi uniformi ...	25
Elenco carichi elementi bidimensionali Condizione di carico n.6: Sisma acqua serb 1 Carichi idrostatici ..	26
Elenco carichi elementi bidimensionali Condizione di carico n.7: Acqua serbatoio 2 Carichi uniformi	27
Elenco carichi elementi bidimensionali Condizione di carico n.7: Acqua serbatoio 2 Carichi idrostatici ..	28
Elenco carichi elementi bidimensionali Condizione di carico n.8: Sisma terreno Carichi uniformi	29
Elenco carichi elementi bidimensionali Condizione di carico n.9: Sisma acqua serb 2 Carichi uniformi	30
Elenco carichi elementi bidimensionali Condizione di carico n.9: Sisma acqua serb 2 Carichi idrostatici ..	31
Risultati del calcolo.....	32
Parametri di calcolo	32
Spostamenti dei nodi allo stato limite ultimo	42
Tensioni sul terreno	44
Sollecitazioni aste	47
Sollecitazioni elementi bidimensionali	48
Armature minime teoriche degli elementi bidimensionali	49

Criteri di progetto utilizzati.....	52
Pilastrati in c.a.	52
Travi in c.a.	54
Aste in acciaioio	58
Pareti	60
Solette/Platee	62
Verifiche e armature travi.....	65
Travata n. 218 Nodi: -3266 201 202 -3338	66
Verifiche e armature pilastrati.....	68
Pilastrata n. 1	69
Verifiche e armature solette/platee.....	70
Armatura platea a quota -1.80	70
Armatura platea a quota 0.00	71
Armatura soletta a quota 6.35	72
Verifiche aste in acciaioio.....	74
Tassi di sfruttamento	77
Verifiche e armature pareti.....	78
Parete n. 105	79
Parete n. 106	82
Parete n. 606	83
Parete n. 107	84
Parete n. 507	84
Parete n. 607	85
Parete n. 108	85
Parete n. 109	87
Parete n. 110	88
Parete n. 111	89
Parete n. 112	91
Parete n. 113	93
Parete n. 114	94
Parete n. 115	96
Parete n. 116	97
Parete n. 117	99
Parete n. 119	100
Parete n. 120	102
Parete n. 122	103
Parete n. 125	103
Parete n. 126	104
Parete n. 127	105
Parete n. 130	106
Parete n. 131	107
Parete n. 132	108

Dichiarazioni di affidabilità

Introduzione

Sistemi di riferimento

Le coordinate, i carichi concentrati, i cedimenti, le reazioni vincolari e gli spostamenti dei NODI sono riferiti ad una terna destra cartesiana globale con l'asse Z verticale rivolto verso l'alto.

I carichi in coordinate locali e le sollecitazioni delle ASTE sono riferite ad una terna destra cartesiana locale così definita:

- origine nel nodo iniziale dell'asta;
- asse X coincidente con l'asse dell'asta e con verso dal nodo iniziale al nodo finale;
- immaginando la trave a sezione rettangolare l'asse Y è parallelo alla base e l'asse Z è parallelo all'altezza. La rotazione dell'asta comporta quindi una rotazione di tutta la terna locale.

Si può immaginare la terna locale di un'asta comunque disposta nello spazio come derivante da quella globale dopo una serie di trasformazioni:

- una rotazione intorno all'asse Z che porti l'asse X a coincidere con la proiezione dell'asse dell'asta sul piano orizzontale;
- una traslazione lungo il nuovo asse X così definito in modo da portare l'origine a coincidere con la proiezione del nodo iniziale dell'asta sul piano orizzontale;
- una traslazione lungo l'asse Z che porti l'origine a coincidere con il nodo iniziale dell'asta;
- una rotazione intorno all'asse Y così definito che porti l'asse X a coincidere con l'asse dell'asta;
- una rotazione intorno all'asse X così definito pari alla rotazione dell'asta.

In pratica le travi prive di rotazione avranno sempre l'asse Z rivolto verso l'alto e l'asse Y nel piano del solaio, mentre i pilastri privi di rotazione avranno l'asse Y parallelo all'asse Y globale e l'asse Z parallelo ma controverso all'asse X globale. Da notare quindi che per i pilastri la "base" è il lato parallelo a Y.

Le sollecitazioni ed i carichi in coordinate locali negli ELEMENTI BIDIMENSIONALI e nei MURI sono riferiti ad una terna destra cartesiana locale così definita:

- origine nel primo nodo dell'elemento;
- asse X coincidente con la congiungente il primo ed il secondo nodo dell'elemento;
- asse Y definito come prodotto vettoriale fra il versore dell'asse X e il versore della congiungente il primo e il quarto nodo. Asse Z a formare con gli altri due una terna destrorsa.

Praticamente un elemento verticale con l'asse X locale coincidente con l'asse X globale ha anche gli altri assi locali coincidenti con quelli globali.

Rotazioni e momenti

Seguendo il principio adottato per tutti i carichi che sono positivi se CONTROVERSI agli assi, anche i momenti concentrati e le rotazioni impresse in coordinate globali risultano positivi se CONTROVERSI al segno positivo delle rotazioni. Il segno positivo dei momenti e delle rotazioni è quello orario per l'osservatore posto nell'origine: X ruota su Y, Y ruota su Z, Z ruota su X. In pratica è sufficiente adottare la regola della mano destra: col pollice rivolto nella direzione dell'asse, la rotazione che porta a chiudere il palmo della mano corrisponde al segno positivo.

Unità di misura

Le unità di misura adottate sono le seguenti:

- lunghezze : m
- forze : daN
- masse : kg
- temperature : gradi centigradi
- angoli : gradi sessadecimali o radianti

Geometria

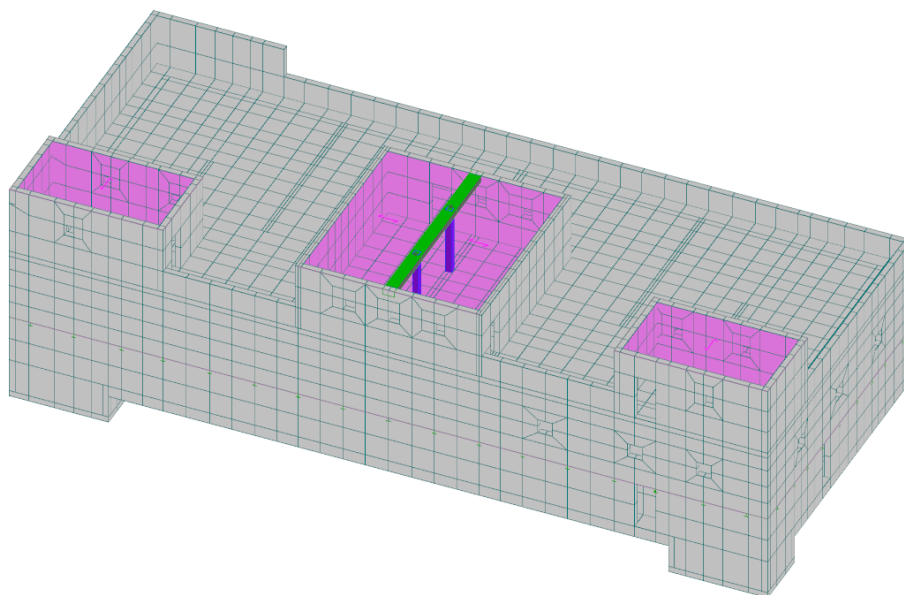


Figura 1: Modello 3D del serbatoio

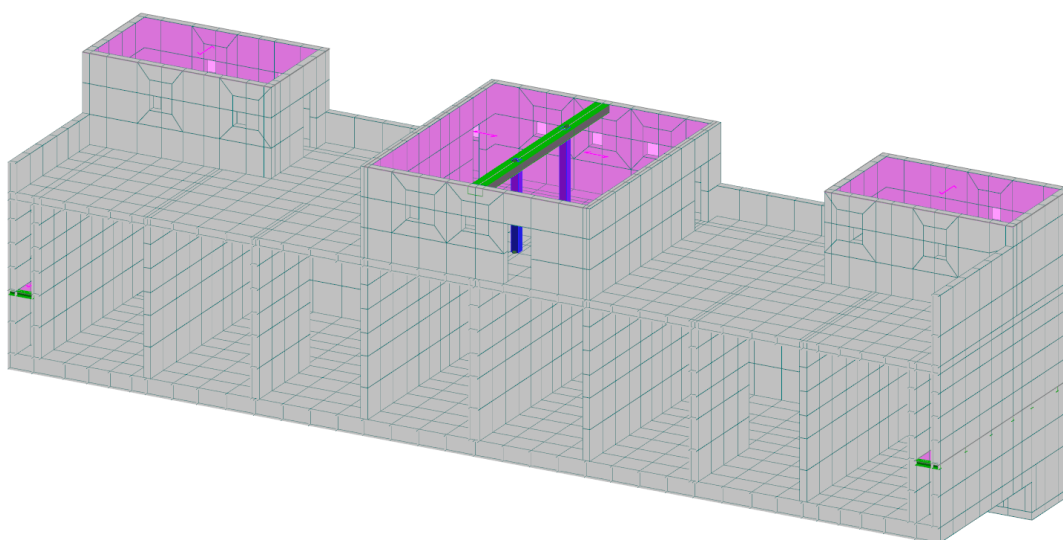


Figura 2: Modello 3D del serbatoio

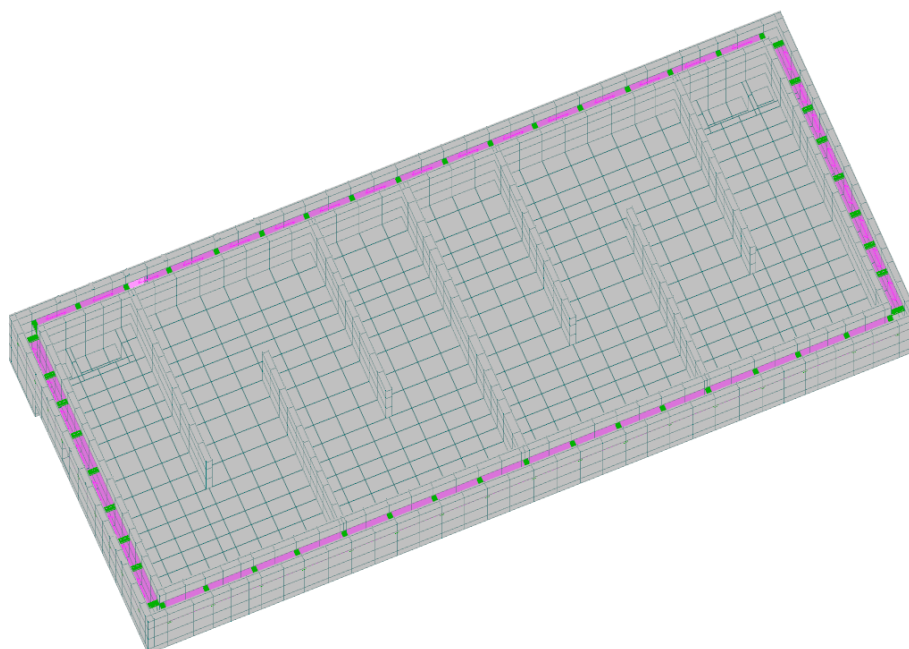


Figura 3: Modello 3D del serbatoio

Elenco vincoli nodi

Simbologia

Vn = Numero del vincolo nodo

Comm. = Commento

Sx = Spostamento in dir. X (L=libero, B=bloccato, E=elastico)

Sy = Spostamento in dir. Y (L=libero, B=bloccato, E=elastico)

Sz = Spostamento in dir. Z (L=libero, B=bloccato, E=elastico)

Rx = Rotazione intorno all'asse X (L=libera, B=bloccata, E=elastica)

Ry = Rotazione intorno all'asse Y (L=libera, B=bloccata, E=elastica)

Rz = Rotazione intorno all'asse Z (L=libera, B=bloccata, E=elastica)

RL = Rotazione libera

Ly = Lunghezza (dir. Y locale)

Lz = Lunghezza (dir. Z locale)

Kt = Coeff. di sottofondo su suolo elastico alla Winkler

Vn	Comm.	Sx	Sy	Sz	Rx	Ry	Rz	RL	Ly <m>	Lz <m>	Kt <daN/cmc>
1	Libero	L	L	L	L	L	L				
3	El. sew 110001	B	B	L	L	L	B				

Elenco nodi

Simbologia

Nodo = Numero del nodo

X = Coordinata X del nodo

Y = Coordinata Y del nodo

Z = Coordinata Z del nodo

Imp. = Numero dell'impalcato

Vn = Numero del vincolo nodo

Nodo	X <m>	Y <m>	Z <m>	Imp.	Vn	Nodo	X <m>	Y <m>	Z <m>	Imp.	Vn	Nodo	X <m>	Y <m>	Z <m>	Imp.	Vn
-3342	23.15	9.30	9.95	0	1	-3341	22.00	9.30	9.95	0	1	-3340	20.85	9.30	9.95	0	1
-3339	19.70	9.30	9.95	0	1	-3338	18.50	9.30	9.95	0	1	-3337	17.30	9.30	9.95	0	1
-3336	16.15	9.30	9.95	0	1	-3335	15.00	9.30	9.95	0	1	-3334	13.85	9.30	9.95	0	1
-3333	23.15	8.30	9.95	0	1	-3332	13.85	8.30	9.95	0	1	-3331	23.15	7.30	9.95	0	1
-3330	13.85	7.30	9.95	0	1	-3329	23.15	6.20	9.95	0	1	-3328	13.85	6.20	9.95	0	1
-3327	23.15	5.30	9.95	0	1	-3326	13.85	5.30	9.95	0	1	-3325	23.15	4.45	9.95	0	1
-3324	13.85	4.45	9.95	0	1	-3323	38.00	3.60	9.95	0	1	-3322	37.00	3.60	9.95	0	1
-3321	35.70	3.60	9.95	0	1	-3320	34.70	3.60	9.95	0	1	-3319	33.80	3.60	9.95	0	1
-3318	32.90	3.60	9.95	0	1	-3317	32.26	3.60	9.95	0	1	-3316	31.15	3.60	9.95	0	1
-3315	30.10	3.60	9.95	0	1	-3314	23.15	3.60	9.95	0	1	-3313	13.85	3.60	9.95	0	1
-3312	6.90	3.60	9.95	0	1	-3311	5.85	3.60	9.95	0	1	-3310	4.75	3.60	9.95	0	1
-3309	4.10	3.60	9.95	0	1	-3308	3.20	3.60	9.95	0	1	-3307	2.30	3.60	9.95	0	1
-3306	1.30	3.60	9.95	0	1	-3305	0.00	3.60	9.95	0	1	-3304	-1.00	3.60	9.95	0	1
-3303	38.00	2.90	9.95	0	1	-3302	30.10	2.90	9.95	0	1	-3301	23.15	2.90	9.95	0	1
-3300	13.85	2.90	9.95	0	1	-3299	6.90	2.90	9.95	0	1	-3298	-1.00	2.90	9.95	0	1
-3297	38.00	2.10	9.95	0	1	-3296	30.10	2.10	9.95	0	1	-3295	23.15	2.10	9.95	0	1
-3294	13.85	2.10	9.95	0	1	-3293	6.90	2.10	9.95	0	1	-3292	-1.00	2.10	9.95	0	1
-3291	38.00	1.05	9.95	0	1	-3290	30.10	1.05	9.95	0	1	-3289	23.15	1.05	9.95	0	1
-3288	13.85	1.05	9.95	0	1	-3287	6.90	1.05	9.95	0	1	-3286	-1.00	1.05	9.95	0	1
-3285	38.00	0.00	9.95	0	1	-3284	30.10	0.00	9.95	0	1	-3283	23.15	0.00	9.95	0	1
-3282	13.85	0.00	9.95	0	1	-3281	6.90	0.00	9.95	0	1	-3280	-1.00	0.00	9.95	0	1
-3279	38.00	-1.00	9.95	0	1	-3278	37.00	-1.00	9.95	0	1	-3277	35.70	-1.00	9.95	0	1
-3276	34.70	-1.00	9.95	0	1	-3275	33.80	-1.00	9.95	0	1	-3274	32.90	-1.00	9.95	0	1
-3273	32.26	-1.00	9.95	0	1	-3272	31.15	-1.00	9.95	0	1	-3271	30.10	-1.00	9.95	0	1
-3270	23.15	-1.00	9.95	0	1	-3269	22.00	-1.00	9.95	0	1	-3268	20.85	-1.00	9.95	0	1
-3267	19.70	-1.00	9.95	0	1	-3266	18.50	-1.00	9.95	0	1	-3265	17.30	-1.00	9.95	0	1
-3264	16.15	-1.00	9.95	0	1	-3263	15.00	-1.00	9.95	0	1	-3262	13.85	-1.00	9.95	0	1
-3261	6.90	-1.00	9.95	0	1	-3260	5.85	-1.00	9.95	0	1	-3259	4.75	-1.00	9.95	0	1
-3258	4.10	-1.00	9.95	0	1	-3257	3.20	-1.00	9.95	0	1	-3256	2.30	-1.00	9.95	0	1
-3255	1.30	-1.00	9.95	0	1	-3254	0.00	-1.00	9.95	0	1	-3253	-1.00	-1.00	9.95	0	1
-3252	21.40	9.30	9.35	0	1	-3251	20.85	9.30	9.35	0	1	-3250	20.22	9.30	9.35	0	1
-3249	19.07	9.30	9.35	0	1	-3248	18.50	9.30	9.35	0	1	-3247	17.93	9.30	9.35	0	1
-3246	35.20	3.60	9.35	0	1	-3245	34.70	3.60	9.35	0	1	-3244	34.25	3.60	9.35	0	1
-3243	31.70	3.60	9.35	0	1	-3242	31.15	3.60	9.35	0	1	-3241	30.62	3.60	9.35	0	1
-3240	6.38	3.60	9.35	0	1	-3239	5.85	3.60	9.35	0	1	-3238	5.30	3.60	9.35	0	1
-3237	2.75	3.60	9.35	0	1	-3236	2.30	3.60	9.35	0	1	-3235	1.80	3.60	9.35	0	1
-3234	35.20	-1.00	9.35	0	1	-3233	34.70	-1.00	9.35	0	1	-3232	34.25	-1.00	9.35	0	1
-3231	21.40	-1.00	9.35	0	1	-3230	20.85	-1.00	9.35	0	1	-3229	20.22	-1.00	9.35	0	1
-3228	19.07	-1.00	9.35	0	1	-3227	18.50	-1.00	9.35	0	1	-3226	17.93	-1.00	9.35	0	1
-3225	16.78	-1.00	9.35	0	1	-3224	16.15	-1.00	9.35	0	1	-3223	15.61	-1.00	9.35	0	1
-3222	2.75	-1.00	9.35	0	1	-3221	2.30	-1.00	9.35	0	1	-3220	1.80	-1.00	9.35	0	1
-3219	5.85	15.60	9.15	0	1	-3218	4.75	15.60	9.15	0	1	-3217	4.10	15.60	9.15	0	1
-3216	3.20	15.60	9.15	0	1	-3215	2.30	15.60	9.15	0	1	-3214	1.30	15.60	9.15	0	1
-3213	0.00	15.60	9.15	0	1	-3212	-1.00	15.60	9.15	0	1	-3211	-1.00	14.60	9.15	0	1

< omissis >

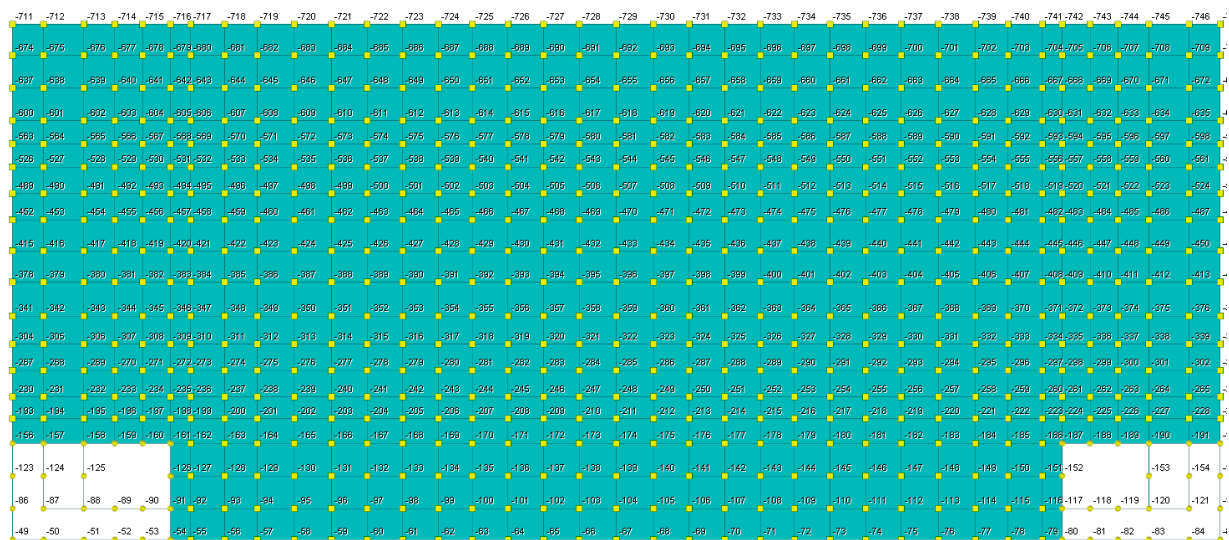


Figura 4: Numerazione nodi di platea

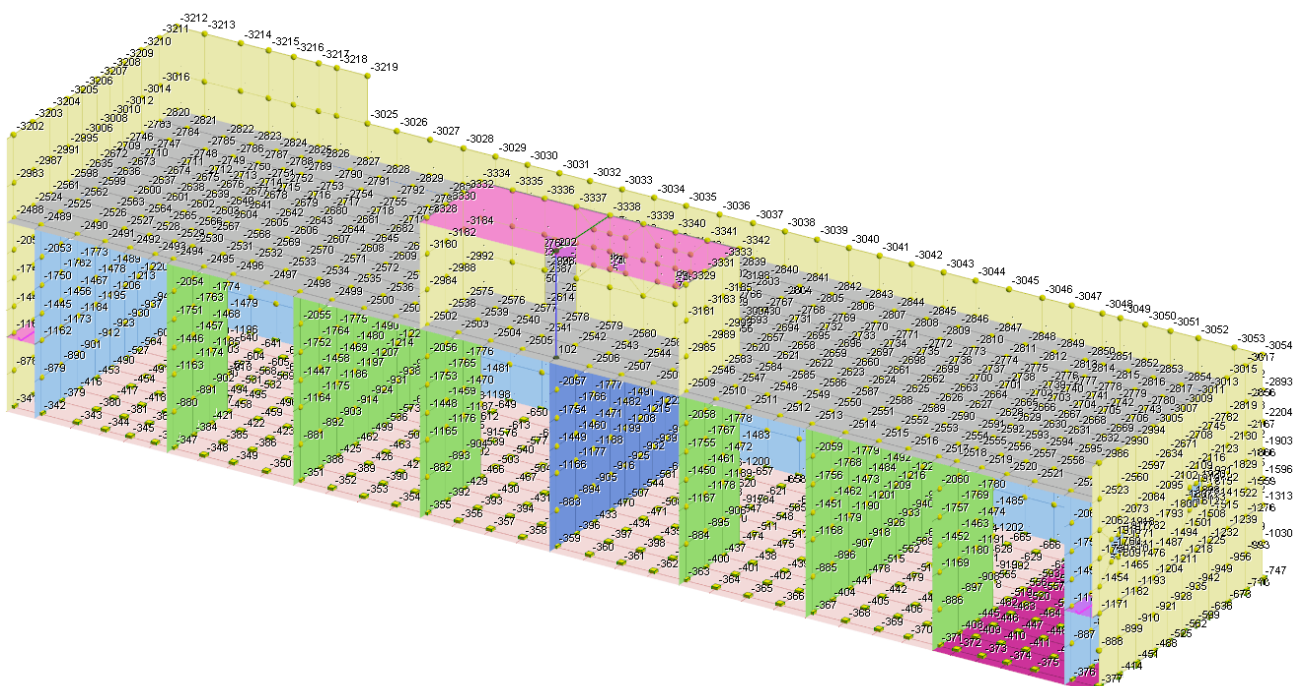


Figura 5: Numerazione nodi solette e pareti

Elenco materiali

Simbologia

Mat. = Numero del materiale
 Comm. = Commento
 P = Peso specifico
 E = Modulo elastico
 G = Modulo elastico tangenziale
 ν = Coeff. di Poisson
 α = Coeff. di dilatazione termica

Mat.	Comm.	P <daN/mc>	E <daN/cm ² >	G <daN/cm ² >	ν	α
1	Calcestruzzo	2500	300000.00	130000.00	0.1	1.000000E-05
2	Acciaio	7850	2100000.00	800000.00	0.3	1.000000E-05

Aste
 Trave
 Pilastro
 Sez. fittizia 0
 Muri/Bidimensionali
 1 PLATEA
 2 PARETE ESTERNA (30)
 3 PARETI INTERNE
 4 COPERTURA
 5 platea pozzetto
 6 setto centrale
 7 setti interni
 8 setti interni pozzetti
 9 Platea più rigida

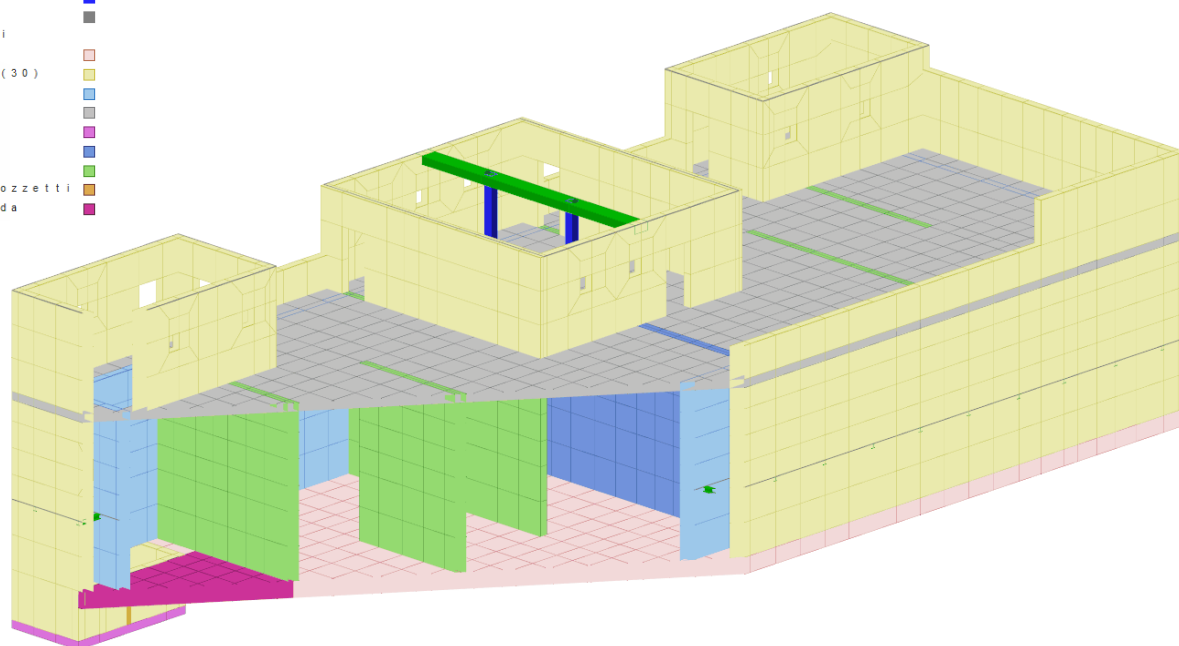


Figura 6: Tipi sezioni ed elementi bidimensionali

Elenco sezioni aste

Simbologia

Sez. = Numero della sezione

Comm. = Commento

Tipo = Tipologia

2C = Doppia C lato labbri

2Cdx = Doppia C lato costola

2I = Doppia I

2L = Doppia L lato labbri

2Ldx = Doppia L lato costole

C = C

Cdx = C destra

Cir. = Circolare

Cir.c = Circolare cava

I = I

L = L

Ldx = L destra

Om. = Omega

Pg = Pi greco

Pr = Poligono regolare

Prc = Poligono regolare cavo

Pc = Per coordinate

Ia = Inerzie assegnate

R = Rettangolare

Rc = Rettangolare cava

T = T

U = U

Ur = U rovescia

V = V

Vr = V rovescia

Z = Z

Zdx = Z destra

Ts = T stondata

Ls = L stondata

Cs = C stondata

Is = I stondata

Dis. = Disegnata

Me = Membratura

G = Generica

T = Trave

P = Pilastro

Ver. = Verifica prevista

N = Nessuna

C = Cemento armato

A = Acciaio

L = Legno

B = Base

H = Altezza

Ma = Numero del materiale

C = Numero del criterio di progetto

Ccol = Numero del criterio di progetto collegamento

Sez.	Comm.	Tipo	Me	Ver.	B <cm>	H <cm>	s <cm>	a <cm>	r <cm>	rl <cm>	Ma	C	Ccol
3	PIL 30X30	R	P	C	30.00	30.00					1	2	
5	HEA160 travi intercapedine	Is	T	A	16.00	15.20	0.90	0.60	1.50	0.00	2	1	1
7	TR copertura 60x30	R	T	C	60.00	30.00					1	1	

Elenco vincoli aste

Simbologia

Va = Numero del vincolo asta
 Comm. = Commento
 Tipo = Tipologia
 SVI = Definizione di vincolamenti interni
 ELA = Vincolo su suolo elastico alla Winkler
 BIE-RTC = Biella resistente a trazione e a compressione
 BIE-RC = Biella resistente solo a compressione
 BIE-RT = Biella resistente solo a trazione
 Ni = Sforzo normale nodo iniziale (0=sbloccato, 1=bloccato)
 Tyi = Taglio in dir. Y locale nodo iniziale (0=sbloccato, 1=bloccato)
 Tzi = Taglio in dir. Z locale nodo iniziale (0=sbloccato, 1=bloccato)
 Mxi = Momento intorno all'asse X locale nodo iniziale (0=sbloccato, 1=bloccato)
 Myi = Momento intorno all'asse Y locale nodo iniziale (0=sbloccato, 1=bloccato)
 Mzi = Momento intorno all'asse Z locale nodo iniziale (0=sbloccato, 1=bloccato)
 Nf = Sforzo normale nodo finale (0=sbloccato, 1=bloccato)
 Tyf = Taglio in dir. Y locale nodo finale (0=sbloccato, 1=bloccato)
 Tzf = Taglio in dir. Z locale nodo finale (0=sbloccato, 1=bloccato)
 Mxf = Momento intorno all'asse X locale nodo finale (0=sbloccato, 1=bloccato)
 Myf = Momento intorno all'asse Y locale nodo finale (0=sbloccato, 1=bloccato)
 Mzf = Momento intorno all'asse Z locale nodo finale (0=sbloccato, 1=bloccato)
 Kt = Coeff. di sottofondo su suolo elastico alla Winkler

Va	Comm.	Tipo	Ni	Tyi	Tzi	Mxi	Myi	Mzi	Nf	Tyf	Tzf	Mxf	Myf	Mzf	Kt
1	Inc+Inc	SVI	1	1	1	1	1	1	1	1	1	1	1	1	
4	Cer+Cer	SVI	1	1	1	0	0	0	1	1	1	1	0	0	

Elenco aste

Simbologia

Asta = Numero dell'asta
 N1 = Nodo iniziale
 N2 = Nodo finale
 Sez. = Numero della sezione
 Va = Numero del vincolo asta
 Par. = Numero dei parametri aggiuntivi
 Rot. = Rotazione
 FF = Filo fisso
 Dy1 = Scost. filo fisso Y1
 Dy2 = Scost. filo fisso Y2
 Dz1 = Scost. filo fisso Z1
 Dz2 = Scost. filo fisso Z2
 Kt = Coeff. di sottofondo su suolo elastico alla Winkler

Asta	N1	N2	Sez.	Va	Par.	Rot.	FF	Dy1	Dy2	Dz1	Dz2	Kt
						<grad>		<cm>	<cm>	<cm>	<cm>	<daN/cmc>
0	-1313	-1312		1		0.00	33	0.00	0.00	0.00	0.00	
0	-1276	-1313		1		0.00	33	0.00	0.00	0.00	0.00	
1	101	201	3	1		0.00	44	0.00	0.00	0.00	0.00	
2	102	202	3	1		0.00	66	0.00	0.00	0.00	0.00	
218	201	-3266	7	1		0.00	22	0.00	0.00	0.00	0.00	
218	202	201	7	1		0.00	22	0.00	0.00	0.00	0.00	
218	-3338	202	7	1		0.00	22	0.00	0.00	0.00	0.00	
401	-1068	-1069	5	4		0.00	11	0.00	0.00	0.00	0.00	
402	-1114	-1115	5	4		0.00	22	0.00	0.00	0.00	0.00	
403	-1132	-1133	5	4		0.00	22	0.00	0.00	0.00	0.00	
404	-1150	-1151	5	4		0.00	22	0.00	0.00	0.00	0.00	
405	-1172	-1173	5	4		0.00	22	0.00	0.00	0.00	0.00	
406	-1194	-1195	5	4		0.00	22	0.00	0.00	0.00	0.00	
407	-1212	-1213	5	4		0.00	22	0.00	0.00	0.00	0.00	
408	-1226	-1227	5	4		0.00	22	0.00	0.00	0.00	0.00	
409	-1240	-1241	5	4		0.00	33	0.00	0.00	0.00	0.00	
410	-1032	-1069	5	4		0.00	33	0.00	0.00	0.00	0.00	
411	-1034	-1071	5	4		0.00	22	0.00	0.00	0.00	0.00	
412	-1037	-1074	5	4		0.00	22	0.00	0.00	0.00	0.00	
413	-1039	-1076	5	4		0.00	22	0.00	0.00	0.00	0.00	
414	-1041	-1078	5	4		0.00	22	0.00	0.00	0.00	0.00	
415	-1043	-1080	5	4		0.00	22	0.00	0.00	0.00	0.00	
416	-1045	-1082	5	4		0.00	22	0.00	0.00	0.00	0.00	
417	-1047	-1084	5	4		0.00	22	0.00	0.00	0.00	0.00	
418	-1049	-1086	5	4		0.00	22	0.00	0.00	0.00	0.00	
419	-1051	-1088	5	4		0.00	22	0.00	0.00	0.00	0.00	
420	-1053	-1090	5	4		0.00	22	0.00	0.00	0.00	0.00	
421	-1055	-1092	5	4		0.00	22	0.00	0.00	0.00	0.00	
422	-1057	-1094	5	4		0.00	22	0.00	0.00	0.00	0.00	

< omissis >

Elenco tipi elementi bidimensionali

Simbologia

Tb = Numero del tipo muro/elemento bidimensionale
Comm. = Commento
Tipo = Tipologia
F = Membranale e Flessionale
M = Membranale
W-RC = Winkler resistente solo a compressione
W-RTC = Winkler resistente a trazione e a compressione
Uso = Utilizzo
G = Generico
P = Parete
S = Soletta/Platea
N = Nucleo
M = Muratura ordinaria
L = Pilastro
MA = Muratura armata
Mat. = Numero del materiale
Crit. = Numero del criterio di progetto
Spess. = Spessore
Kt = Coeff. di sottofondo su suolo elastico alla Winkler

Tb	Comm.	Tipo	Uso	Mat.	Crit.	Spess. <cm>	Kt <daN/cm>
1	PLATEA	W-RTC	S	1	1	60.00	5.00
2	PARETE ESTERNA (30)	F	P	1	1	30.00	
3	PARETI INTERNE	F	P	1	4	30.00	
4	COPERTURA	F	S	1	2	30.00	
5	platea pozzetto	W-RTC	S	1	1	30.00	5.00
6	setto centrale	F	P	1	4	40.00	
7	setti interni	F	P	1	4	30.00	
8	setti interni pozzetti	F	P	1	4	20.00	
9	Platea più rigida	W-RTC	S	1	1	60.00	10.00

Elenco elementi bidimensionali

Simbologia

Bid. = Numero del muro/elemento bidimensionale
Tb = Numero del tipo muro/elemento bidimensionale
FF = Filo fisso
Dy1 = Scost. filo fisso Y1
Dy2 = Scost. filo fisso Y2
Kt = Coeff. di sottofondo su suolo elastico alla Winkler
NN = Nodi

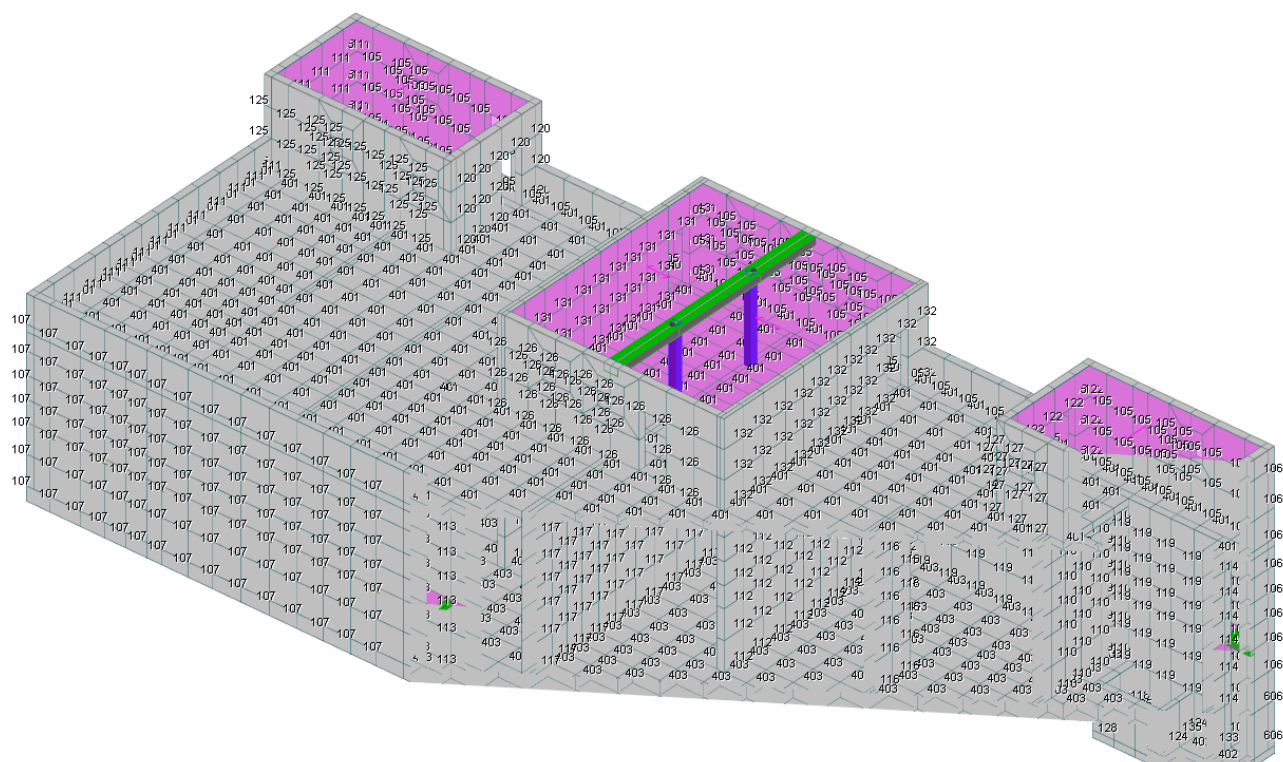


Figura 7: Numerazione elementi bidimensionali

Bid.	Tb	FF	Dy1 <cm>	Dy2 <cm>	Kt <daN/cmc>	NN
105	2	33	0.00	0.00		-2206 -2205 -2894 -2895
105	2	33	0.00	0.00		-770 -769 -1052 -1053
105	2	33	0.00	0.00		-71 -70 -769 -770
105	2	33	0.00	0.00		-769 -768 -1051 -1052
105	2	33	0.00	0.00		-3061 -2911 -3104 -3105
105	2	33	0.00	0.00		-2913 -3063 -3107 -3108
105	2	33	0.00	0.00		-1938 -1937 -2220 -2221
105	2	33	0.00	0.00		-3105 -3104 -3265 -3226
105	2	33	0.00	0.00		-3227 -3226 -3265 -3266
105	2	33	0.00	0.00		-3228 -3227 -3266 -3267
105	2	33	0.00	0.00		-3108 -3107 -3228 -3267
105	2	33	0.00	0.00		-2915 -3066 -3111 -3112
105	2	33	0.00	0.00		-2224 -2223 -2912 -2913
105	2	33	0.00	0.00		-2914 -2913 -3064 -3065
105	2	33	0.00	0.00		-3064 -2913 -3108 -3109
105	2	33	0.00	0.00		-3231 -3230 -3268 -3269
105	2	33	0.00	0.00		-3112 -3111 -3231 -3269
105	2	33	0.00	0.00		-3109 -3108 -3267 -3229
105	2	33	0.00	0.00		-3230 -3229 -3267 -3268
105	2	33	0.00	0.00		-1339 -1338 -1597 -1598
105	2	33	0.00	0.00		-1927 -1926 -2209 -2210
105	2	33	0.00	0.00		-779 -778 -1061 -1062
105	2	33	0.00	0.00		-784 -783 -1066 -1067
105	2	33	0.00	0.00		-1652 -1651 -1912 -1956
105	2	33	0.00	0.00		-750 -749 -1032 -1033
105	2	33	0.00	0.00		-1350 -1349 -1653 -1654
105	2	33	0.00	0.00		-1345 -1344 -1647 -1648
105	2	33	0.00	0.00		-753 -752 -1035 -1036
105	2	33	0.00	0.00		-2228 -2227 -2916 -2917
105	2	33	0.00	0.00		-751 -750 -1033 -1034
105	2	33	0.00	0.00		-1319 -1318 -1619 -1620
105	2	33	0.00	0.00		-1034 -1033 -1316 -1317
105	2	33	0.00	0.00		-50 -49 -748 -749
105	2	33	0.00	0.00		-2234 -2233 -2922 -2923
105	2	33	0.00	0.00		-2236 -2235 -2924 -2925
105	2	33	0.00	0.00		-3095 -3094 -3257 -3258
105	2	33	0.00	0.00		-2896 -2895 -3089 -3090
105	2	33	0.00	0.00		-1316 -1315 -1616 -1617
105	2	33	0.00	0.00		-81 -80 -779 -780
105	2	33	0.00	0.00		-2241 -2240 -2929 -2930
105	2	33	0.00	0.00		-1035 -1034 -1317 -1318
105	2	33	0.00	0.00		-1642 -1641 -1906 -1948
105	2	33	0.00	0.00		-1342 -1341 -1643 -1644
105	2	33	0.00	0.00		-764 -763 -1046 -1047
105	2	33	0.00	0.00		-64 -63 -762 -763
105	2	33	0.00	0.00		-2899 -2898 -3094 -3095
105	2	33	0.00	0.00		-1912 -1911 -1955 -1956
105	2	33	0.00	0.00		-66 -65 -764 -765
105	2	33	0.00	0.00		-765 -764 -1047 -1048
105	2	33	0.00	0.00		-762 -761 -1044 -1045
105	2	33	0.00	0.00		-62 -61 -760 -761
105	2	33	0.00	0.00		-761 -760 -1043 -1044
105	2	33	0.00	0.00		-758 -757 -1040 -1041
105	2	33	0.00	0.00		-58 -57 -756 -757
105	2	33	0.00	0.00		-757 -756 -1039 -1040
105	2	33	0.00	0.00		-55 -54 -753 -754
105	2	33	0.00	0.00		-749 -748 -1031 -1032
105	2	33	0.00	0.00		-53 -52 -751 -752
105	2	33	0.00	0.00		-1940 -1939 -2222 -2223
105	2	33	0.00	0.00		-1956 -1955 -2238 -2239
105	2	33	0.00	0.00		-4 -3 -51 -52
105	2	33	0.00	0.00		-6 -5 -53 -54
105	2	33	0.00	0.00		-10 -9 -82 -83
105	2	33	0.00	0.00		-11 -10 -83 -84
105	2	33	0.00	0.00		-1324 -1323 -1624 -1625

< omissis >

Elenco tipi solai

Simbologia

Ts = Numero del tipo solaio
 Comm. = Commento
 Qps = Carico permanente strutturale
 Qpn = Carico permanente non strutturale
 Qa = Primo carico accidentale
 Qa2 = Secondo carico accidentale
 Qa3 = Terzo carico accidentale
 Rip. ter. = Ripartizione su aste terminali
 Rip. int. = Ripartizione su aste interne
 s = Coeff. di riduzione

Ts	Comm.	Qps <daN/mq>	Qpn <daN/mq>	Qa <daN/mq>	Qa2 <daN/mq>	Qa3 <daN/mq>	Rip. ter.	Rip. int.	s
1	Predalles (30 cm)	450.00	150.00	150.00	150.00	0.00	50.00	50.00	1.00
2	Grigliato intercapedine	100.00	0.00	0.00	100.00	0.00	50.00	50.00	0.00

Elenco solai

Simbologia

Sol. = Numero del solaio
 Ts = Numero del tipo solaio
 Ord. = Orditura
 Nodi = Nodi del solaio

Sol.	Ts	Ord. <grad>	Nodi
200	1	0.00	201 202 -3338 -3339 -3340 -3341 -3342 -3333 -3331 -3329 -3327 -3325 -3314 -3301 -3295 -3289 -3283 -3270 -3269 -3268 -3267 -3266
201	1	0.00	-3282 -3288 -3294 -3300 -3313 -3324 -3326 -3328 -3330 -3332 -3334 -3335 -3336 -3337 -3338 202 201 -3266 -3265 -3264 -3263 -3262
202	1	90.00	-3280 -3286 -3292 -3298 -3304 -3305 -3306 -3307 -3308 -3309 -3310 -3311 -3312 -3299 -3293 -3287 -3281 -3261 -3260 -3259 -3258 -3257 -3256 -3255 -3254 -3253
203	1	90.00	-3285 -3291 -3297 -3303 -3323 -3322 -3321 -3320 -3319 -3318 -3317 -3316 -3315 -3302 -3296 -3290 -3284 -3271 -3272 -3273 -3274 -3275 -3276 -3277 -3278 -3279
400	2	90.00	-1121 -1112 -1103 -1104 -1113 -1122
401	2	90.00	-1139 -1130 -1121 -1122 -1131 -1140
402	2	90.00	-1159 -1148 -1139 -1140 -1149 -1160
403	2	90.00	-1181 -1170 -1159 -1160 -1171 -1182
404	2	90.00	-1203 -1192 -1181 -1182 -1193 -1204
405	2	90.00	-1217 -1210 -1203 -1204 -1211 -1218
406	2	90.00	-1231 -1224 -1217 -1218 -1225 -1232
407	2	90.00	-1275 -1238 -1231 -1232 -1239 -1276
408	2	90.00	-1114 -1105 -1068 -1069 -1106 -1115
409	2	90.00	-1132 -1123 -1114 -1115 -1124 -1133
410	2	90.00	-1150 -1141 -1132 -1133 -1142 -1151
411	2	90.00	-1172 -1161 -1150 -1151 -1162 -1173
412	2	90.00	-1194 -1183 -1172 -1173 -1184 -1195
413	2	90.00	-1212 -1205 -1194 -1195 -1206 -1213
414	2	90.00	-1226 -1219 -1212 -1213 -1220 -1227
415	2	90.00	-1240 -1233 -1226 -1227 -1234 -1241
416	2	0.00	-1064 -1065 -1066 -1103 -1102 -1101
417	2	0.00	-1061 -1062 -1063 -1064 -1101 -1100 -1099 -1098
418	2	0.00	-1059 -1060 -1061 -1098 -1097 -1096
419	2	0.00	-1057 -1058 -1059 -1096 -1095 -1094
420	2	0.00	-1055 -1056 -1057 -1094 -1093 -1092
421	2	0.00	-1053 -1054 -1055 -1092 -1091 -1090
422	2	0.00	-1051 -1052 -1053 -1090 -1089 -1088
423	2	0.00	-1049 -1050 -1051 -1088 -1087 -1086
424	2	0.00	-1047 -1048 -1049 -1086 -1085 -1084
425	2	0.00	-1045 -1046 -1047 -1084 -1083 -1082
426	2	0.00	-1043 -1044 -1045 -1082 -1081 -1080
427	2	0.00	-1041 -1042 -1043 -1080 -1079 -1078
428	2	0.00	-1032 -1069 -1070 -1071 -1034 -1033
429	2	0.00	-1074 -1037 -1038 -1039 -1076 -1075
430	2	0.00	-1039 -1040 -1041 -1078 -1077 -1076
431	2	0.00	-1071 -1034 -1035 -1036 -1037 -1074 -1073 -1072
432	2	0.00	-1273 -1274 -1275 -1312 -1311 -1310
433	2	0.00	-1270 -1271 -1272 -1273 -1310 -1309 -1308 -1307
434	2	0.00	-1268 -1269 -1270 -1307 -1306 -1305

< omissis >

Carichi

Condizioni di carico elementari

Simbologia

CCE	= Numero della condizione di carico elementare
Comm.	= Commento
Mx	= Moltiplicatore della massa in dir. X
My	= Moltiplicatore della massa in dir. Y
Mz	= Moltiplicatore della massa in dir. Z
Jpx	= Moltiplicatore del momento d'inerzia intorno all'asse X
Jpy	= Moltiplicatore del momento d'inerzia intorno all'asse Y
Jpz	= Moltiplicatore del momento d'inerzia intorno all'asse Z
Tipo CCE	= Tipo di CCE per calcolo agli stati limite
Sicurezza	= Contributo alla sicurezza
	F = a favore
	S = a sfavore
	A = ambigua
Variabilità	= Tipo di variabilità
	B = di base
	I = indipendente
	A = ambigua

CCE	Comm.	Mx	My	Mz	Jpx	Jpy	Jpz	Tipo CCE	Sicurezza	Variabilità
1	PP+Qp	1.00	1.00	0.00	0.00	0.00	1.00	13 D.M. 08 Permanenti strutturali	S	--
2	Terreno e permanenti	1.00	1.00	0.00	0.00	0.00	1.00	14 D.M. 08 Permanenti non strutturali	S	--
3	Acqua serbatoio 1	1.00	1.00	0.00	0.00	0.00	1.00	11 Contenuto Serbatoi (EC)	S	B
4	Neve	1.00	1.00	0.00	0.00	0.00	1.00	8 VARIABILI PER NEVE	S	B
5	Accidentale generico	1.00	1.00	0.00	0.00	0.00	1.00	7 MAGAZZINI, ARCHIVI, SCALE	S	B
6	sisma acqua serb 1	1.00	1.00	0.00	0.00	0.00	1.00	30 CARICHI SISMICI	S	B
7	Acqua serbatoio 2	1.00	1.00	0.00	0.00	0.00	1.00	11 Contenuto Serbatoi (EC)	S	B
8	sisma terreno	1.00	1.00	0.00	0.00	0.00	1.00	30 CARICHI SISMICI	S	B
9	sisma acqua serb 2	1.00	1.00	0.00	0.00	0.00	1.00	30 CARICHI SISMICI	S	B

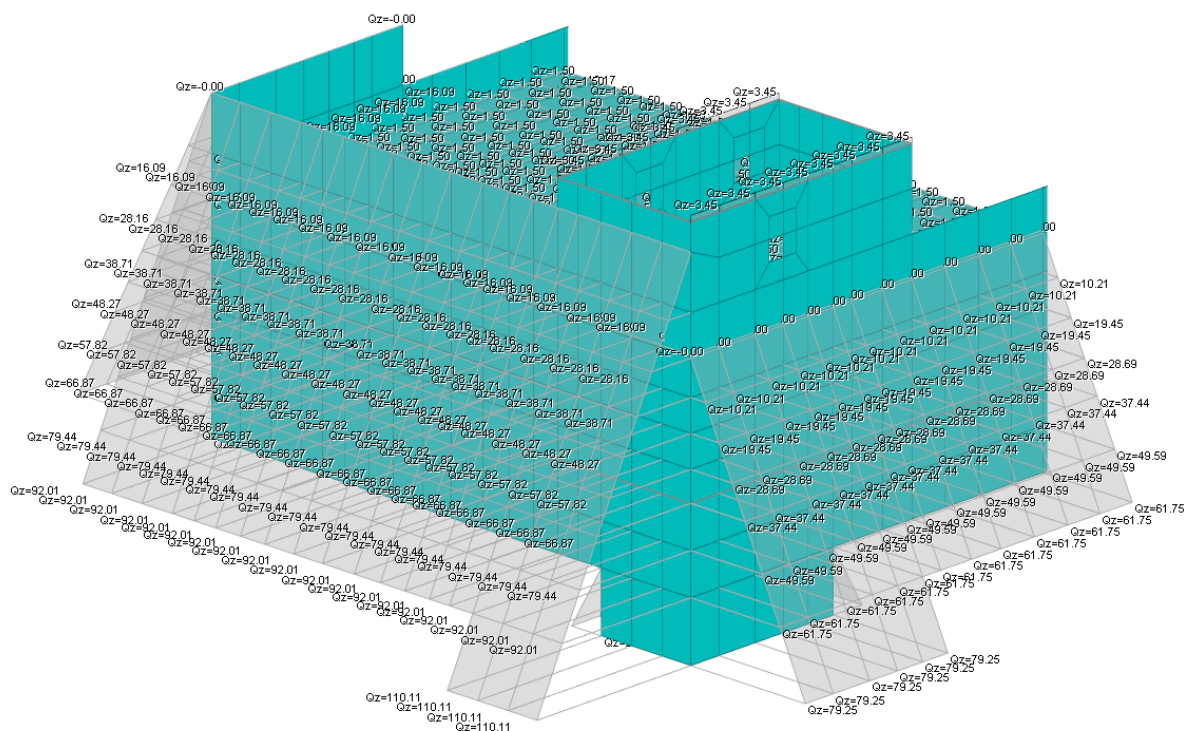


Figura 8: Esempio applicazione carichi - CCE 2

Elenco carichi aste
Condizione di carico n. 1: PP+QPS
Carichi distribuiti

Simbologia

Asta = Numero dell'asta
 N1 = Nodo iniziale
 N2 = Nodo finale
 E = Elemento provenienza del carico
 S = Solaio
 T = Tamponatura
 NE = Numero elemento di provenienza del carico
 T = Tipo di carico
 QA = Primo carico accidentale
 QA2 = Secondo carico accidentale
 QA3 = Terzo carico accidentale
 QPS = Carico permanente strutturale
 QPN = Carico permanente non strutturale
 PP = Peso proprio
 M = Manuale
 DC = Direzione del carico
 XG,YG,ZG = secondo gli assi globali
 XL,YL,ZL = secondo gli assi locali
 Xi = Distanza iniziale
 Qi = Carico iniziale
 Xf = Distanza finale
 Qf = Carico finale

Asta	N1	N2	E	NE	T	DC	Xi <m>	Qi <daN/m>	Xf <m>	Qf <daN/m>
1	101	201	S	--	PP	ZG	0.00	225.00	3.60	225.00
2	102	202	S	--	PP	ZG	0.00	225.00	3.60	225.00
218	201	-3266	S	200	QPS	ZG	0.00	1046.25	3.10	1046.25
218	201	-3266	S	201	QPS	ZG	0.00	1047.38	3.10	1047.38
218	201	-3266	S	--	PP	ZG	0.00	450.00	3.10	450.00
218	202	201	S	200	QPS	ZG	0.00	1046.25	4.10	1046.25
218	202	201	S	201	QPS	ZG	0.00	1047.38	4.10	1047.38
218	202	201	S	--	PP	ZG	0.00	450.00	4.10	450.00
218	-3338	202	S	200	QPS	ZG	0.00	1046.25	3.10	1046.25
218	-3338	202	S	201	QPS	ZG	0.00	1047.38	3.10	1047.38
218	-3338	202	S	--	PP	ZG	0.00	450.00	3.10	450.00
401	-1068	-1069	S	408	QPS	ZG	0.00	105.00	1.00	105.00
401	-1068	-1069	S	--	PP	ZG	0.00	30.44	1.00	30.44
402	-1114	-1115	S	408	QPS	ZG	0.00	105.00	1.00	105.00
402	-1114	-1115	S	409	QPS	ZG	0.00	75.00	1.00	75.00
402	-1114	-1115	S	--	PP	ZG	0.00	30.44	1.00	30.44
403	-1132	-1133	S	409	QPS	ZG	0.00	75.00	1.00	75.00
403	-1132	-1133	S	410	QPS	ZG	0.00	85.00	1.00	85.00
403	-1132	-1133	S	--	PP	ZG	0.00	30.44	1.00	30.44
404	-1150	-1151	S	410	QPS	ZG	0.00	85.00	1.00	85.00
404	-1150	-1151	S	411	QPS	ZG	0.00	100.00	1.00	100.00
404	-1150	-1151	S	--	PP	ZG	0.00	30.44	1.00	30.44
405	-1172	-1173	S	411	QPS	ZG	0.00	100.00	1.00	100.00
405	-1172	-1173	S	412	QPS	ZG	0.00	100.00	1.00	100.00
405	-1172	-1173	S	--	PP	ZG	0.00	30.44	1.00	30.44
406	-1194	-1195	S	412	QPS	ZG	0.00	100.00	1.00	100.00
406	-1194	-1195	S	413	QPS	ZG	0.00	85.00	1.00	85.00
406	-1194	-1195	S	--	PP	ZG	0.00	30.44	1.00	30.44
407	-1212	-1213	S	413	QPS	ZG	0.00	85.00	1.00	85.00
407	-1212	-1213	S	414	QPS	ZG	0.00	75.00	1.00	75.00
407	-1212	-1213	S	--	PP	ZG	0.00	30.44	1.00	30.44
408	-1226	-1227	S	414	QPS	ZG	0.00	75.00	1.00	75.00
408	-1226	-1227	S	415	QPS	ZG	0.00	105.00	1.00	105.00
408	-1226	-1227	S	--	PP	ZG	0.00	30.44	1.00	30.44
409	-1240	-1241	S	415	QPS	ZG	0.00	105.00	1.00	105.00
409	-1240	-1241	S	--	PP	ZG	0.00	30.44	1.00	30.44
410	-1032	-1069	S	428	QPS	ZG	0.00	115.06	1.00	115.06
410	-1032	-1069	S	--	PP	ZG	0.00	30.44	1.00	30.44
411	-1034	-1071	S	428	QPS	ZG	0.00	115.06	1.00	115.06
411	-1034	-1071	S	431	QPS	ZG	0.00	122.44	1.00	122.44
411	-1034	-1071	S	--	PP	ZG	0.00	30.44	1.00	30.44
412	-1037	-1074	S	429	QPS	ZG	0.00	107.63	1.00	107.63
412	-1037	-1074	S	431	QPS	ZG	0.00	122.44	1.00	122.44
412	-1037	-1074	S	--	PP	ZG	0.00	30.44	1.00	30.44
413	-1039	-1076	S	429	QPS	ZG	0.00	107.63	1.00	107.63
413	-1039	-1076	S	430	QPS	ZG	0.00	119.88	1.00	119.88
413	-1039	-1076	S	--	PP	ZG	0.00	30.44	1.00	30.44
414	-1041	-1078	S	427	QPS	ZG	0.00	115.00	1.00	115.00
414	-1041	-1078	S	430	QPS	ZG	0.00	119.88	1.00	119.88

< omissis >

Elenco carichi aste

Condizione di carico n. 2: Terreno e permanenti

Carichi distribuiti

Asta	N1	N2	E	NE	T	DC	Xi <m>	Qi <daN/m>	Xf <m>	Qf <daN/m>
0	-3254	-3253	S	202	QPN	ZG	0.00	345.00	1.00	345.00
0	-3255	-3254	S	202	QPN	ZG	0.00	345.00	1.30	345.00
0	-3256	-3255	S	202	QPN	ZG	0.00	345.00	1.00	345.00
0	-3304	-3305	S	202	QPN	ZG	0.00	345.00	1.00	345.00
0	-3257	-3256	S	202	QPN	ZG	0.00	345.00	0.90	345.00
0	-3258	-3257	S	202	QPN	ZG	0.00	345.00	0.90	345.00
0	-3259	-3258	S	202	QPN	ZG	0.00	345.00	0.65	345.00
0	-3260	-3259	S	202	QPN	ZG	0.00	345.00	1.10	345.00
0	-3261	-3260	S	202	QPN	ZG	0.00	345.00	1.05	345.00
0	-3305	-3306	S	202	QPN	ZG	0.00	345.00	1.30	345.00
0	-3306	-3307	S	202	QPN	ZG	0.00	345.00	1.00	345.00
0	-3307	-3308	S	202	QPN	ZG	0.00	345.00	0.90	345.00
0	-3308	-3309	S	202	QPN	ZG	0.00	345.00	0.90	345.00
0	-3309	-3310	S	202	QPN	ZG	0.00	345.00	0.65	345.00
0	-3311	-3312	S	202	QPN	ZG	0.00	345.00	1.05	345.00
0	-3310	-3311	S	202	QPN	ZG	0.00	345.00	1.10	345.00
0	-3282	-3288	S	201	QPN	ZG	0.00	349.13	1.05	349.13
0	-3294	-3300	S	201	QPN	ZG	0.00	349.13	0.80	349.13
0	-3300	-3313	S	201	QPN	ZG	0.00	349.13	0.70	349.13
0	-3262	-3282	S	201	QPN	ZG	0.00	349.13	1.00	349.13
0	-3313	-3324	S	201	QPN	ZG	0.00	349.13	0.85	349.13
0	-3288	-3294	S	201	QPN	ZG	0.00	349.13	1.05	349.13
0	-3324	-3326	S	201	QPN	ZG	0.00	349.13	0.85	349.13
0	-3326	-3328	S	201	QPN	ZG	0.00	349.13	0.90	349.13
0	-3328	-3330	S	201	QPN	ZG	0.00	349.13	1.10	349.13
0	-3330	-3332	S	201	QPN	ZG	0.00	349.13	1.00	349.13
0	-3283	-3270	S	200	QPN	ZG	0.00	348.75	1.00	348.75
0	-3289	-3283	S	200	QPN	ZG	0.00	348.75	1.05	348.75
0	-3295	-3289	S	200	QPN	ZG	0.00	348.75	1.05	348.75
0	-3301	-3295	S	200	QPN	ZG	0.00	348.75	0.80	348.75
0	-3314	-3301	S	200	QPN	ZG	0.00	348.75	0.70	348.75
0	-3325	-3314	S	200	QPN	ZG	0.00	348.75	0.85	348.75
0	-3329	-3327	S	200	QPN	ZG	0.00	348.75	0.90	348.75
0	-3332	-3334	S	201	QPN	ZG	0.00	349.13	1.00	349.13
0	-3327	-3325	S	200	QPN	ZG	0.00	348.75	0.85	348.75
0	-3331	-3329	S	200	QPN	ZG	0.00	348.75	1.10	348.75
0	-3333	-3331	S	200	QPN	ZG	0.00	348.75	1.00	348.75
0	-3342	-3333	S	200	QPN	ZG	0.00	348.75	1.00	348.75
0	-3271	-3272	S	203	QPN	ZG	0.00	345.00	1.05	345.00
0	-3277	-3278	S	203	QPN	ZG	0.00	345.00	1.30	345.00
0	-3272	-3273	S	203	QPN	ZG	0.00	345.00	1.10	345.00
0	-3273	-3274	S	203	QPN	ZG	0.00	345.00	0.65	345.00
0	-3275	-3276	S	203	QPN	ZG	0.00	345.00	0.90	345.00
0	-3276	-3277	S	203	QPN	ZG	0.00	345.00	1.00	345.00
0	-3319	-3318	S	203	QPN	ZG	0.00	345.00	0.90	345.00
0	-3316	-3315	S	203	QPN	ZG	0.00	345.00	1.05	345.00
0	-3278	-3279	S	203	QPN	ZG	0.00	345.00	1.00	345.00
0	-3320	-3319	S	203	QPN	ZG	0.00	345.00	0.90	345.00
0	-3274	-3275	S	203	QPN	ZG	0.00	345.00	0.90	345.00
0	-3322	-3321	S	203	QPN	ZG	0.00	345.00	1.30	345.00
0	-3317	-3316	S	203	QPN	ZG	0.00	345.00	1.10	345.00
0	-3318	-3317	S	203	QPN	ZG	0.00	345.00	0.65	345.00
0	-3321	-3320	S	203	QPN	ZG	0.00	345.00	1.00	345.00
0	-3323	-3322	S	203	QPN	ZG	0.00	345.00	1.00	345.00
218	201	-3266	S	200	QPN	ZG	0.00	348.75	3.10	348.75
218	201	-3266	S	201	QPN	ZG	0.00	349.13	3.10	349.13
218	202	201	S	200	QPN	ZG	0.00	348.75	4.10	348.75
218	202	201	S	201	QPN	ZG	0.00	349.13	4.10	349.13
218	-3338	202	S	200	QPN	ZG	0.00	348.75	3.10	348.75
218	-3338	202	S	201	QPN	ZG	0.00	349.13	3.10	349.13

Elenco carichi aste
Condizione di carico n. 4: Neve
Carichi distribuiti

Asta	N1	N2	E	NE	T	DC	Xi <m>	Qi <daN/m>	Xf <m>	Qf <daN/m>
0	-3254	-3253	S	202	QA	ZG	0.00	345.00	1.00	345.00
0	-3255	-3254	S	202	QA	ZG	0.00	345.00	1.30	345.00
0	-3256	-3255	S	202	QA	ZG	0.00	345.00	1.00	345.00
0	-3304	-3305	S	202	QA	ZG	0.00	345.00	1.00	345.00
0	-3257	-3256	S	202	QA	ZG	0.00	345.00	0.90	345.00
0	-3258	-3257	S	202	QA	ZG	0.00	345.00	0.90	345.00
0	-3259	-3258	S	202	QA	ZG	0.00	345.00	0.65	345.00
0	-3260	-3259	S	202	QA	ZG	0.00	345.00	1.10	345.00
0	-3261	-3260	S	202	QA	ZG	0.00	345.00	1.05	345.00
0	-3305	-3306	S	202	QA	ZG	0.00	345.00	1.30	345.00
0	-3306	-3307	S	202	QA	ZG	0.00	345.00	1.00	345.00
0	-3307	-3308	S	202	QA	ZG	0.00	345.00	0.90	345.00
0	-3308	-3309	S	202	QA	ZG	0.00	345.00	0.90	345.00
0	-3309	-3310	S	202	QA	ZG	0.00	345.00	0.65	345.00
0	-3311	-3312	S	202	QA	ZG	0.00	345.00	1.05	345.00
0	-3310	-3311	S	202	QA	ZG	0.00	345.00	1.10	345.00
0	-3282	-3288	S	201	QA	ZG	0.00	349.13	1.05	349.13
0	-3294	-3300	S	201	QA	ZG	0.00	349.13	0.80	349.13
0	-3300	-3313	S	201	QA	ZG	0.00	349.13	0.70	349.13
0	-3262	-3282	S	201	QA	ZG	0.00	349.13	1.00	349.13
0	-3313	-3324	S	201	QA	ZG	0.00	349.13	0.85	349.13
0	-3288	-3294	S	201	QA	ZG	0.00	349.13	1.05	349.13
0	-3324	-3326	S	201	QA	ZG	0.00	349.13	0.85	349.13
0	-3326	-3328	S	201	QA	ZG	0.00	349.13	0.90	349.13
0	-3328	-3330	S	201	QA	ZG	0.00	349.13	1.10	349.13
0	-3330	-3332	S	201	QA	ZG	0.00	349.13	1.00	349.13
0	-3283	-3270	S	200	QA	ZG	0.00	348.75	1.00	348.75
0	-3289	-3283	S	200	QA	ZG	0.00	348.75	1.05	348.75
0	-3295	-3289	S	200	QA	ZG	0.00	348.75	1.05	348.75
0	-3301	-3295	S	200	QA	ZG	0.00	348.75	0.80	348.75
0	-3314	-3301	S	200	QA	ZG	0.00	348.75	0.70	348.75
0	-3325	-3314	S	200	QA	ZG	0.00	348.75	0.85	348.75
0	-3329	-3327	S	200	QA	ZG	0.00	348.75	0.90	348.75
0	-3332	-3334	S	201	QA	ZG	0.00	349.13	1.00	349.13
0	-3327	-3325	S	200	QA	ZG	0.00	348.75	0.85	348.75
0	-3331	-3329	S	200	QA	ZG	0.00	348.75	1.10	348.75
0	-3333	-3331	S	200	QA	ZG	0.00	348.75	1.00	348.75
0	-3342	-3333	S	200	QA	ZG	0.00	348.75	1.00	348.75
0	-3271	-3272	S	203	QA	ZG	0.00	345.00	1.05	345.00
0	-3277	-3278	S	203	QA	ZG	0.00	345.00	1.30	345.00
0	-3272	-3273	S	203	QA	ZG	0.00	345.00	1.10	345.00
0	-3273	-3274	S	203	QA	ZG	0.00	345.00	0.65	345.00
0	-3275	-3276	S	203	QA	ZG	0.00	345.00	0.90	345.00
0	-3276	-3277	S	203	QA	ZG	0.00	345.00	1.00	345.00
0	-3319	-3318	S	203	QA	ZG	0.00	345.00	0.90	345.00
0	-3316	-3315	S	203	QA	ZG	0.00	345.00	1.05	345.00
0	-3278	-3279	S	203	QA	ZG	0.00	345.00	1.00	345.00
0	-3320	-3319	S	203	QA	ZG	0.00	345.00	0.90	345.00
0	-3274	-3275	S	203	QA	ZG	0.00	345.00	0.90	345.00
0	-3322	-3321	S	203	QA	ZG	0.00	345.00	1.30	345.00
0	-3317	-3316	S	203	QA	ZG	0.00	345.00	1.10	345.00
0	-3318	-3317	S	203	QA	ZG	0.00	345.00	0.65	345.00
0	-3321	-3320	S	203	QA	ZG	0.00	345.00	1.00	345.00
0	-3323	-3322	S	203	QA	ZG	0.00	345.00	1.00	345.00
218	201	-3266	S	200	QA	ZG	0.00	348.75	3.10	348.75
218	201	-3266	S	201	QA	ZG	0.00	349.13	3.10	349.13
218	202	201	S	200	QA	ZG	0.00	348.75	4.10	348.75
218	202	201	S	201	QA	ZG	0.00	349.13	4.10	349.13
218	-3338	202	S	200	QA	ZG	0.00	348.75	3.10	348.75
218	-3338	202	S	201	QA	ZG	0.00	349.13	3.10	349.13

Elenco carichi aste
Condizione di carico n. 5: Accidentale generico
Carichi distribuiti

Asta	N1	N2	E	NE	T	DC	Xi <m>	Qi <daN/m>	Xf <m>	Qf <daN/m>
0	-3254	-3253	S	202	QA2	ZG	0.00	345.00	1.00	345.00
0	-3255	-3254	S	202	QA2	ZG	0.00	345.00	1.30	345.00
0	-3256	-3255	S	202	QA2	ZG	0.00	345.00	1.00	345.00
0	-3304	-3305	S	202	QA2	ZG	0.00	345.00	1.00	345.00
0	-3257	-3256	S	202	QA2	ZG	0.00	345.00	0.90	345.00
0	-3258	-3257	S	202	QA2	ZG	0.00	345.00	0.90	345.00
0	-3259	-3258	S	202	QA2	ZG	0.00	345.00	0.65	345.00
0	-3260	-3259	S	202	QA2	ZG	0.00	345.00	1.10	345.00
0	-3261	-3260	S	202	QA2	ZG	0.00	345.00	1.05	345.00
0	-3305	-3306	S	202	QA2	ZG	0.00	345.00	1.30	345.00
0	-3306	-3307	S	202	QA2	ZG	0.00	345.00	1.00	345.00
0	-3307	-3308	S	202	QA2	ZG	0.00	345.00	0.90	345.00
0	-3308	-3309	S	202	QA2	ZG	0.00	345.00	0.90	345.00
0	-3309	-3310	S	202	QA2	ZG	0.00	345.00	0.65	345.00
0	-3311	-3312	S	202	QA2	ZG	0.00	345.00	1.05	345.00
0	-3310	-3311	S	202	QA2	ZG	0.00	345.00	1.10	345.00
0	-3282	-3288	S	201	QA2	ZG	0.00	349.13	1.05	349.13
0	-3294	-3300	S	201	QA2	ZG	0.00	349.13	0.80	349.13
0	-3300	-3313	S	201	QA2	ZG	0.00	349.13	0.70	349.13
0	-3262	-3282	S	201	QA2	ZG	0.00	349.13	1.00	349.13
0	-3313	-3324	S	201	QA2	ZG	0.00	349.13	0.85	349.13
0	-3288	-3294	S	201	QA2	ZG	0.00	349.13	1.05	349.13
0	-3324	-3326	S	201	QA2	ZG	0.00	349.13	0.85	349.13
0	-3326	-3328	S	201	QA2	ZG	0.00	349.13	0.90	349.13
0	-3328	-3330	S	201	QA2	ZG	0.00	349.13	1.10	349.13
0	-3330	-3332	S	201	QA2	ZG	0.00	349.13	1.00	349.13
0	-3283	-3270	S	200	QA2	ZG	0.00	348.75	1.00	348.75
0	-3289	-3283	S	200	QA2	ZG	0.00	348.75	1.05	348.75
0	-3295	-3289	S	200	QA2	ZG	0.00	348.75	1.05	348.75
0	-3301	-3295	S	200	QA2	ZG	0.00	348.75	0.80	348.75
0	-3314	-3301	S	200	QA2	ZG	0.00	348.75	0.70	348.75
0	-3325	-3314	S	200	QA2	ZG	0.00	348.75	0.85	348.75
0	-3329	-3327	S	200	QA2	ZG	0.00	348.75	0.90	348.75
0	-3332	-3334	S	201	QA2	ZG	0.00	349.13	1.00	349.13
0	-3327	-3325	S	200	QA2	ZG	0.00	348.75	0.85	348.75
0	-3331	-3329	S	200	QA2	ZG	0.00	348.75	1.10	348.75
0	-3333	-3331	S	200	QA2	ZG	0.00	348.75	1.00	348.75
0	-3342	-3333	S	200	QA2	ZG	0.00	348.75	1.00	348.75
0	-3271	-3272	S	203	QA2	ZG	0.00	345.00	1.05	345.00
0	-3277	-3278	S	203	QA2	ZG	0.00	345.00	1.30	345.00
0	-3272	-3273	S	203	QA2	ZG	0.00	345.00	1.10	345.00
0	-3273	-3274	S	203	QA2	ZG	0.00	345.00	0.65	345.00
0	-3275	-3276	S	203	QA2	ZG	0.00	345.00	0.90	345.00
0	-3276	-3277	S	203	QA2	ZG	0.00	345.00	1.00	345.00
0	-3319	-3318	S	203	QA2	ZG	0.00	345.00	0.90	345.00
0	-3316	-3315	S	203	QA2	ZG	0.00	345.00	1.05	345.00
0	-3278	-3279	S	203	QA2	ZG	0.00	345.00	1.00	345.00
0	-3320	-3319	S	203	QA2	ZG	0.00	345.00	0.90	345.00
0	-3274	-3275	S	203	QA2	ZG	0.00	345.00	0.90	345.00
0	-3322	-3321	S	203	QA2	ZG	0.00	345.00	1.30	345.00
0	-3317	-3316	S	203	QA2	ZG	0.00	345.00	1.10	345.00
0	-3318	-3317	S	203	QA2	ZG	0.00	345.00	0.65	345.00
0	-3321	-3320	S	203	QA2	ZG	0.00	345.00	1.00	345.00
0	-3323	-3322	S	203	QA2	ZG	0.00	345.00	1.00	345.00
218	201	-3266	S	200	QA2	ZG	0.00	348.75	3.10	348.75
218	201	-3266	S	201	QA2	ZG	0.00	349.13	3.10	349.13
218	202	201	S	200	QA2	ZG	0.00	348.75	4.10	348.75
218	202	201	S	201	QA2	ZG	0.00	349.13	4.10	349.13
218	-3338	202	S	200	QA2	ZG	0.00	348.75	3.10	348.75
218	-3338	202	S	201	QA2	ZG	0.00	349.13	3.10	349.13
401	-1068	-1069	S	408	QA2	ZG	0.00	105.00	1.00	105.00
402	-1114	-1115	S	408	QA2	ZG	0.00	105.00	1.00	105.00
402	-1114	-1115	S	409	QA2	ZG	0.00	75.00	1.00	75.00
403	-1132	-1133	S	409	QA2	ZG	0.00	75.00	1.00	75.00
403	-1132	-1133	S	410	QA2	ZG	0.00	85.00	1.00	85.00
404	-1150	-1151	S	410	QA2	ZG	0.00	85.00	1.00	85.00
404	-1150	-1151	S	411	QA2	ZG	0.00	100.00	1.00	100.00
405	-1172	-1173	S	411	QA2	ZG	0.00	100.00	1.00	100.00
405	-1172	-1173	S	412	QA2	ZG	0.00	100.00	1.00	100.00
406	-1194	-1195	S	412	QA2	ZG	0.00	100.00	1.00	100.00
406	-1194	-1195	S	413	QA2	ZG	0.00	85.00	1.00	85.00
407	-1212	-1213	S	413	QA2	ZG	0.00	85.00	1.00	85.00

< omissis >

Elenco carichi elementi bidimensionali
Condizione di carico n.1: PP+QPS
Carichi uniformi

Simbologia

Bid. = Numero del muro/elemento bidimensionale

N1 = Nodo1

N2 = Nodo2

N3 = Nodo3

N4 = Nodo4

T = Tipo di carico

PP = Peso proprio

M = Manuale

DC = Direzione del carico

G = secondo gli assi globali

L = secondo gli assi locali

Qx = Carico in dir. X

Qy = Carico in dir. Y

Qz = Carico in dir. Z

Bid.	N1	N2	N3	N4	T	DC	Qx <daN/mq>	Qy <daN/mq>	Qz <daN/mq>
105	-2206	-2205	-2894	-2895	PP	G	0.00	0.00	750.00
105	-770	-769	-1052	-1053	PP	G	0.00	0.00	750.00
105	-71	-70	-769	-770	PP	G	0.00	0.00	750.00
105	-769	-768	-1051	-1052	PP	G	0.00	0.00	750.00
105	-3061	-2911	-3104	-3105	PP	G	0.00	0.00	750.00
105	-2913	-3063	-3107	-3108	PP	G	0.00	0.00	750.00
105	-1938	-1937	-2220	-2221	PP	G	0.00	0.00	750.00
105	-3105	-3104	-3265	-3226	PP	G	0.00	0.00	750.00
105	-3227	-3226	-3265	-3266	PP	G	0.00	0.00	750.00
105	-3228	-3227	-3266	-3267	PP	G	0.00	0.00	750.00
105	-3108	-3107	-3228	-3267	PP	G	0.00	0.00	750.00
105	-2915	-3066	-3111	-3112	PP	G	0.00	0.00	750.00
105	-2224	-2223	-2912	-2913	PP	G	0.00	0.00	750.00
105	-2914	-2913	-3064	-3065	PP	G	0.00	0.00	750.00
105	-3064	-2913	-3108	-3109	PP	G	0.00	0.00	750.00
105	-3231	-3230	-3268	-3269	PP	G	0.00	0.00	750.00
105	-3112	-3111	-3231	-3269	PP	G	0.00	0.00	750.00
105	-3109	-3108	-3267	-3229	PP	G	0.00	0.00	750.00
105	-3230	-3229	-3267	-3268	PP	G	0.00	0.00	750.00
105	-1339	-1338	-1597	-1598	PP	G	0.00	0.00	750.00
105	-1927	-1926	-2209	-2210	PP	G	0.00	0.00	750.00
105	-779	-778	-1061	-1062	PP	G	0.00	0.00	750.00
105	-784	-783	-1066	-1067	PP	G	0.00	0.00	750.00
105	-1652	-1651	-1912	-1956	PP	G	0.00	0.00	750.00
105	-750	-749	-1032	-1033	PP	G	0.00	0.00	750.00
105	-1350	-1349	-1653	-1654	PP	G	0.00	0.00	750.00
105	-1345	-1344	-1647	-1648	PP	G	0.00	0.00	750.00
105	-753	-752	-1035	-1036	PP	G	0.00	0.00	750.00
105	-2228	-2227	-2916	-2917	PP	G	0.00	0.00	750.00
105	-751	-750	-1033	-1034	PP	G	0.00	0.00	750.00
105	-1319	-1318	-1619	-1620	PP	G	0.00	0.00	750.00
105	-1034	-1033	-1316	-1317	PP	G	0.00	0.00	750.00
105	-50	-49	-748	-749	PP	G	0.00	0.00	750.00
105	-2234	-2233	-2922	-2923	PP	G	0.00	0.00	750.00
105	-2236	-2235	-2924	-2925	PP	G	0.00	0.00	750.00
105	-3095	-3094	-3257	-3258	PP	G	0.00	0.00	750.00
105	-2896	-2895	-3089	-3090	PP	G	0.00	0.00	750.00
105	-1316	-1315	-1616	-1617	PP	G	0.00	0.00	750.00
105	-81	-80	-779	-780	PP	G	0.00	0.00	750.00
105	-2241	-2240	-2929	-2930	PP	G	0.00	0.00	750.00
105	-1035	-1034	-1317	-1318	PP	G	0.00	0.00	750.00
105	-1642	-1641	-1906	-1948	PP	G	0.00	0.00	750.00
105	-1342	-1341	-1643	-1644	PP	G	0.00	0.00	750.00
105	-764	-763	-1046	-1047	PP	G	0.00	0.00	750.00
105	-64	-63	-762	-763	PP	G	0.00	0.00	750.00
105	-2899	-2898	-3094	-3095	PP	G	0.00	0.00	750.00
105	-1912	-1911	-1955	-1956	PP	G	0.00	0.00	750.00
105	-66	-65	-764	-765	PP	G	0.00	0.00	750.00
105	-765	-764	-1047	-1048	PP	G	0.00	0.00	750.00
105	-762	-761	-1044	-1045	PP	G	0.00	0.00	750.00
105	-62	-61	-760	-761	PP	G	0.00	0.00	750.00
105	-761	-760	-1043	-1044	PP	G	0.00	0.00	750.00
105	-758	-757	-1040	-1041	PP	G	0.00	0.00	750.00
105	-58	-57	-756	-757	PP	G	0.00	0.00	750.00
105	-757	-756	-1039	-1040	PP	G	0.00	0.00	750.00
105	-55	-54	-753	-754	PP	G	0.00	0.00	750.00
105	-749	-748	-1031	-1032	PP	G	0.00	0.00	750.00

< Omissis >

Elenco carichi elementi bidimensionali
Condizione di carico n.2: Terreno e Permanenti
Carichi uniformi

Bid.	N1	N2	N3	N4	T	DC	Qx <daN/mq>	Qy <daN/mq>	Qz <daN/mq>
401	-2697	-2734	-2735	-2698	M	G	0.00	0.00	150.00
401	-2404	-2441	-2442	-2405	M	G	0.00	0.00	150.00
401	-2754	-2791	-2792	-2755	M	G	0.00	0.00	150.00
401	-2300	-2330	-2331	-2301	M	G	0.00	0.00	150.00
401	-2530	-2567	-2568	-2531	M	G	0.00	0.00	150.00
401	-2448	-2485	-2486	-2449	M	G	0.00	0.00	150.00
401	-2714	-2751	-2752	-2715	M	G	0.00	0.00	150.00
401	-2348	-2385	-2386	-2349	M	G	0.00	0.00	150.00
401	-2367	-2404	-2405	-2368	M	G	0.00	0.00	150.00
401	-2779	-2816	-2817	-2780	M	G	0.00	0.00	150.00
401	-2816	-2853	-2854	-2817	M	G	0.00	0.00	150.00
401	-2370	-2407	-2408	-2371	M	G	0.00	0.00	150.00
401	-2407	-2444	-2445	-2408	M	G	0.00	0.00	150.00
401	-2632	-2669	-2670	-2633	M	G	0.00	0.00	150.00
401	-2303	-2333	-2334	-2304	M	G	0.00	0.00	150.00
401	-2589	-2626	-2627	-2590	M	G	0.00	0.00	150.00
401	-2481	-2517	-2518	-2482	M	G	0.00	0.00	150.00
401	-2377	-2414	-2415	-2378	M	G	0.00	0.00	150.00
401	-2800	-2837	-2838	-2801	M	G	0.00	0.00	150.00
401	-2488	-2524	-2525	-2489	M	G	0.00	0.00	150.00
401	-2427	-2464	-2465	-2428	M	G	0.00	0.00	150.00
401	-2809	-2846	-2847	-2810	M	G	0.00	0.00	150.00
401	-2252	-2286	-2287	-2253	M	G	0.00	0.00	150.00
401	-2233	-2270	-2271	-2234	M	G	0.00	0.00	150.00
401	-2489	-2525	-2526	-2490	M	G	0.00	0.00	150.00
401	-2626	-2663	-2664	-2627	M	G	0.00	0.00	150.00
401	-2476	-2512	-2513	-2477	M	G	0.00	0.00	150.00
401	-2584	-2621	-2622	-2585	M	G	0.00	0.00	150.00
401	-2534	-2571	-2572	-2535	M	G	0.00	0.00	150.00
401	-2785	-2822	-2823	-2786	M	G	0.00	0.00	150.00
401	-2507	-2544	-2545	-2508	M	G	0.00	0.00	150.00
401	-2313	-2346	-2347	-2314	M	G	0.00	0.00	150.00
401	-2478	-2514	-2515	-2479	M	G	0.00	0.00	150.00
401	-2304	-2334	-2335	-2305	M	G	0.00	0.00	150.00
401	-2540	-2577	-2578	-2541	M	G	0.00	0.00	150.00
401	-2853	-2890	-2891	-2854	M	G	0.00	0.00	150.00
401	-2400	-2437	-2438	-2401	M	G	0.00	0.00	150.00
401	-2627	-2664	-2665	-2628	M	G	0.00	0.00	150.00
401	-2611	-2648	-2649	-2612	M	G	0.00	0.00	150.00
401	-2368	-2405	-2406	-2369	M	G	0.00	0.00	150.00
401	-2296	-2326	-2327	-2297	M	G	0.00	0.00	150.00
401	-2832	-2869	-2870	-2833	M	G	0.00	0.00	150.00
401	-2631	-2668	-2669	-2632	M	G	0.00	0.00	150.00
401	-2848	-2885	-2886	-2849	M	G	0.00	0.00	150.00
401	-2770	-2807	-2808	-2771	M	G	0.00	0.00	150.00
401	-2553	-2590	-2591	-2554	M	G	0.00	0.00	150.00
401	-2703	-2740	-2741	-2704	M	G	0.00	0.00	150.00
401	-2336	-2370	-2371	-2337	M	G	0.00	0.00	150.00
401	-2333	-2367	-2368	-2334	M	G	0.00	0.00	150.00
401	-2328	-2362	-2363	-2329	M	G	0.00	0.00	150.00
401	-2580	-2617	-2618	-2581	M	G	0.00	0.00	150.00
401	-2277	-2308	-2309	-2278	M	G	0.00	0.00	150.00
401	-2818	-2855	-2856	-2819	M	G	0.00	0.00	150.00
401	-2830	-2867	-2868	-2831	M	G	0.00	0.00	150.00
401	-2834	-2871	-2872	-2835	M	G	0.00	0.00	150.00
401	-2496	-2532	-2533	-2497	M	G	0.00	0.00	150.00
401	-2543	-2580	-2581	-2544	M	G	0.00	0.00	150.00
401	-2385	-2422	-2423	-2386	M	G	0.00	0.00	150.00
401	-2310	-2340	-2341	-2311	M	G	0.00	0.00	150.00
401	-2393	-2430	-2431	-2394	M	G	0.00	0.00	150.00
401	-2542	-2579	-2580	-2543	M	G	0.00	0.00	150.00
401	-2630	-2667	-2668	-2631	M	G	0.00	0.00	150.00
401	-2449	-2486	-2487	-2450	M	G	0.00	0.00	150.00
401	-2314	-2347	-2348	-2315	M	G	0.00	0.00	150.00
401	-2532	-2569	-2570	-2533	M	G	0.00	0.00	150.00
401	-2527	-2564	-2565	-2528	M	G	0.00	0.00	150.00

< Omissis >

Elenco carichi elementi bidimensionali
Condizione di carico n.2: Terreno+Permanenti
Carichi idrostatici

Simbologia

Bid. = Numero del muro/elemento bidimensionale

N1 = Nodo1

N2 = Nodo2

N3 = Nodo3

N4 = Nodo4

Zi = Coordinata Z globale d'inizio carico

QYi = Componente iniziale del carico in direzione Y locale dell'elemento bidimensionale

MY = Coordinata Z globale di fine carico

QYf = Componente finale del carico in direzione Y locale dell'elemento bidimensionale

Bid.	N1	N2	N3	N4	Zi <m>	QYi <daN/m>	MY <m>	QYf <daN/m>
105	-770	-769	-1052	-1053	-1.80	4765.00	4.35	0.00
105	-71	-70	-769	-770	-1.80	4765.00	4.35	0.00
105	-769	-768	-1051	-1052	-1.80	4765.00	4.35	0.00
105	-1927	-1926	-2209	-2210	-1.80	7925.00	6.35	0.00
105	-750	-749	-1032	-1033	-1.80	7925.00	6.35	0.00
105	-753	-752	-1035	-1036	-1.80	7925.00	6.35	0.00
105	-751	-750	-1033	-1034	-1.80	7925.00	6.35	0.00
105	-1319	-1318	-1619	-1620	-1.80	7925.00	6.35	0.00
105	-1034	-1033	-1316	-1317	-1.80	7925.00	6.35	0.00
105	-50	-49	-748	-749	-1.80	7925.00	6.35	0.00
105	-1316	-1315	-1616	-1617	-1.80	7925.00	6.35	0.00
105	-1035	-1034	-1317	-1318	-1.80	7925.00	6.35	0.00
105	-764	-763	-1046	-1047	-1.80	4765.00	4.35	0.00
105	-64	-63	-762	-763	-1.80	4765.00	4.35	0.00
105	-66	-65	-764	-765	-1.80	4765.00	4.35	0.00
105	-765	-764	-1047	-1048	-1.80	4765.00	4.35	0.00
105	-762	-761	-1044	-1045	-1.80	4765.00	4.35	0.00
105	-62	-61	-760	-761	-1.80	4765.00	4.35	0.00
105	-761	-760	-1043	-1044	-1.80	4765.00	4.35	0.00
105	-758	-757	-1040	-1041	-1.80	7925.00	6.35	0.00
105	-58	-57	-756	-757	-1.80	7925.00	6.35	0.00
105	-757	-756	-1039	-1040	-1.80	7925.00	6.35	0.00
105	-55	-54	-753	-754	-1.80	7925.00	6.35	0.00
105	-749	-748	-1031	-1032	-1.80	7925.00	6.35	0.00
105	-53	-52	-751	-752	-1.80	7925.00	6.35	0.00
105	-4	-3	-51	-52	-1.80	7925.00	6.35	0.00
105	-6	-5	-53	-54	-1.80	7925.00	6.35	0.00
105	-10	-9	-82	-83	-1.80	2050.00	0.00	0.00
105	-11	-10	-83	-84	-1.80	2050.00	0.00	0.00
105	-1324	-1323	-1624	-1625	-1.80	7925.00	6.35	0.00
105	-1040	-1039	-1322	-1323	-1.80	7925.00	6.35	0.00
105	-1323	-1322	-1623	-1624	-1.80	7925.00	6.35	0.00
105	-1320	-1319	-1620	-1621	-1.80	7925.00	6.35	0.00
105	-1033	-1032	-1315	-1316	-1.80	7925.00	6.35	0.00
105	-1930	-1929	-2212	-2213	-1.80	7925.00	6.35	0.00
105	-65	-64	-763	-764	-1.80	4765.00	4.35	0.00
105	-61	-60	-759	-760	-1.80	7925.00	6.35	0.00
105	-57	-56	-755	-756	-1.80	7925.00	6.35	0.00
105	-51	-50	-749	-750	-1.80	7925.00	6.35	0.00
105	-1038	-1037	-1320	-1321	-1.80	7925.00	6.35	0.00
105	-1321	-1320	-1621	-1622	-1.80	7925.00	6.35	0.00
105	-1929	-1928	-2211	-2212	-1.80	7925.00	6.35	0.00
105	-768	-767	-1050	-1051	-1.80	4765.00	4.35	0.00
105	-1926	-1925	-2208	-2209	-1.80	7925.00	6.35	0.00
105	-59	-58	-757	-758	-1.80	7925.00	6.35	0.00
105	-1616	-1615	-1922	-1923	-1.80	7925.00	6.35	0.00
105	-1617	-1616	-1923	-1924	-1.80	7925.00	6.35	0.00
105	-1618	-1617	-1924	-1925	-1.80	7925.00	6.35	0.00
105	-1619	-1618	-1925	-1926	-1.80	7925.00	6.35	0.00
105	-1620	-1619	-1926	-1927	-1.80	7925.00	6.35	0.00
105	-1037	-1036	-1319	-1320	-1.80	7925.00	6.35	0.00
105	-1315	-1314	-1615	-1616	-1.80	7925.00	6.35	0.00
105	-67	-66	-765	-766	-1.80	4765.00	4.35	0.00
105	-76	-75	-774	-775	-1.80	3659.00	2.50	0.00
105	-72	-71	-770	-771	-1.80	3659.00	2.50	0.00
105	-1050	-1049	-1332	-1333	-1.80	4765.00	4.35	0.00
105	-73	-72	-771	-772	-1.80	3659.00	2.50	0.00
105	-771	-770	-1053	-1054	-1.80	3659.00	2.50	0.00
105	-54	-53	-752	-753	-1.80	7925.00	6.35	0.00
105	-766	-765	-1048	-1049	-1.80	4765.00	4.35	0.00
105	-9	-8	-81	-82	-1.80	2050.00	0.00	0.00

< omissis >

Elenco carichi elementi bidimensionali
Condizione di carico n.3: Acqua serbatoio 1
Carichi uniformi

Bid.	N1	N2	N3	N4	T	DC	Qx <daN/mq>	Qy <daN/mq>	Qz <daN/mq>
402	-14	-26	-27	-15	M	G	0.00	0.00	7100.00
402	-17	-29	-30	-18	M	G	0.00	0.00	7100.00
402	-28	-40	-41	-29	M	G	0.00	0.00	7100.00
402	-15	-27	-28	-16	M	G	0.00	0.00	7100.00
402	-29	-41	-42	-30	M	G	0.00	0.00	7100.00
402	-16	-28	-29	-17	M	G	0.00	0.00	7100.00
402	-27	-39	-40	-28	M	G	0.00	0.00	7100.00
402	-26	-38	-39	-27	M	G	0.00	0.00	7100.00
403	-469	-506	-507	-470	M	G	0.00	0.00	5300.00
403	-613	-650	-651	-614	M	G	0.00	0.00	5300.00
403	-430	-467	-468	-431	M	G	0.00	0.00	5300.00
403	-350	-387	-388	-351	M	G	0.00	0.00	5300.00
403	-541	-578	-579	-542	M	G	0.00	0.00	5300.00
403	-503	-540	-541	-504	M	G	0.00	0.00	5300.00
403	-426	-463	-464	-427	M	G	0.00	0.00	5300.00
403	-343	-380	-381	-344	M	G	0.00	0.00	5300.00
403	-608	-645	-646	-609	M	G	0.00	0.00	5300.00
403	-611	-648	-649	-612	M	G	0.00	0.00	5300.00
403	-209	-246	-247	-210	M	G	0.00	0.00	5300.00
403	-609	-646	-647	-610	M	G	0.00	0.00	5300.00
403	-234	-271	-272	-235	M	G	0.00	0.00	5300.00
403	-646	-683	-684	-647	M	G	0.00	0.00	5300.00
403	-644	-681	-682	-645	M	G	0.00	0.00	5300.00
403	-205	-242	-243	-206	M	G	0.00	0.00	5300.00
403	-319	-356	-357	-320	M	G	0.00	0.00	5300.00
403	-422	-459	-460	-423	M	G	0.00	0.00	5300.00
403	-207	-244	-245	-208	M	G	0.00	0.00	5300.00
403	-273	-310	-311	-274	M	G	0.00	0.00	5300.00
403	-272	-309	-310	-273	M	G	0.00	0.00	5300.00
403	-534	-571	-572	-535	M	G	0.00	0.00	5300.00
403	-379	-416	-417	-380	M	G	0.00	0.00	5300.00
403	-539	-576	-577	-540	M	G	0.00	0.00	5300.00
403	-384	-421	-422	-385	M	G	0.00	0.00	5300.00
403	-388	-425	-426	-389	M	G	0.00	0.00	5300.00
403	-392	-429	-430	-393	M	G	0.00	0.00	5300.00
403	-131	-166	-167	-132	M	G	0.00	0.00	5300.00
403	-137	-172	-173	-138	M	G	0.00	0.00	5300.00
403	-136	-171	-172	-137	M	G	0.00	0.00	5300.00
403	-538	-575	-576	-539	M	G	0.00	0.00	5300.00
403	-101	-136	-137	-102	M	G	0.00	0.00	5300.00
403	-133	-168	-169	-134	M	G	0.00	0.00	5300.00
403	-575	-612	-613	-576	M	G	0.00	0.00	5300.00
403	-203	-240	-241	-204	M	G	0.00	0.00	5300.00
403	-308	-345	-346	-309	M	G	0.00	0.00	5300.00
403	-157	-194	-195	-158	M	G	0.00	0.00	5300.00
403	-159	-196	-197	-160	M	G	0.00	0.00	5300.00
403	-231	-268	-269	-232	M	G	0.00	0.00	5300.00
403	-233	-270	-271	-234	M	G	0.00	0.00	5300.00
403	-245	-282	-283	-246	M	G	0.00	0.00	5300.00
403	-639	-676	-677	-640	M	G	0.00	0.00	5300.00
403	-127	-162	-163	-128	M	G	0.00	0.00	5300.00
403	-198	-235	-236	-199	M	G	0.00	0.00	5300.00
403	-128	-163	-164	-129	M	G	0.00	0.00	5300.00
403	-464	-501	-502	-465	M	G	0.00	0.00	5300.00
403	-242	-279	-280	-243	M	G	0.00	0.00	5300.00
403	-424	-461	-462	-425	M	G	0.00	0.00	5300.00
403	-458	-495	-496	-459	M	G	0.00	0.00	5300.00
403	-162	-199	-200	-163	M	G	0.00	0.00	5300.00
403	-572	-609	-610	-573	M	G	0.00	0.00	5300.00
403	-97	-132	-133	-98	M	G	0.00	0.00	5300.00
403	-126	-161	-162	-127	M	G	0.00	0.00	5300.00
403	-354	-391	-392	-355	M	G	0.00	0.00	5300.00
403	-358	-395	-396	-359	M	G	0.00	0.00	5300.00
403	-276	-313	-314	-277	M	G	0.00	0.00	5300.00
403	-275	-312	-313	-276	M	G	0.00	0.00	5300.00
403	-201	-238	-239	-202	M	G	0.00	0.00	5300.00

< omissis >

Elenco carichi elementi bidimensionali
Condizione di carico n.3: Acqua serbatoio 1
Carichi idrostatici

Bid.	N1	N2	N3	N4	Zi <m>	QYi <daN/m>	MY <m>	QYf <daN/m>
113	-2132	-2133	-2822	-2821	-1.80	-7100.00	5.30	0.00
113	-969	-970	-1253	-1252	-1.80	-7100.00	5.30	0.00
113	-962	-963	-1246	-1245	-1.80	-7100.00	5.30	0.00
113	-1243	-1244	-1527	-1526	-1.80	-7100.00	5.30	0.00
113	-1836	-1837	-2138	-2137	-1.80	-7100.00	5.30	0.00
113	-959	-960	-1243	-1242	-1.80	-7100.00	5.30	0.00
113	-2137	-2138	-2827	-2826	-1.80	-7100.00	5.30	0.00
113	-1835	-1836	-2137	-2136	-1.80	-7100.00	5.30	0.00
113	-679	-680	-963	-962	-1.80	-7100.00	5.30	0.00
113	-1837	-1838	-2139	-2138	-1.80	-7100.00	5.30	0.00
113	-683	-684	-967	-966	-1.80	-7100.00	5.30	0.00
113	-2134	-2135	-2824	-2823	-1.80	-7100.00	5.30	0.00
113	-965	-966	-1249	-1248	-1.80	-7100.00	5.30	0.00
113	-972	-973	-1256	-1255	-1.80	-7100.00	5.30	0.00
113	-966	-967	-1250	-1249	-1.80	-7100.00	5.30	0.00
113	-1525	-1526	-1833	-1832	-1.80	-7100.00	5.30	0.00
113	-1846	-1847	-2148	-2147	-1.80	-7100.00	5.30	0.00
113	-2146	-2147	-2836	-2835	-1.80	-7100.00	5.30	0.00
113	-963	-964	-1247	-1246	-1.80	-7100.00	5.30	0.00
113	-1528	-1529	-1836	-1835	-1.80	-7100.00	5.30	0.00
113	-2148	-2149	-2838	-2837	-1.80	-7100.00	5.30	0.00
113	-2133	-2134	-2823	-2822	-1.80	-7100.00	5.30	0.00
113	-678	-679	-962	-961	-1.80	-7100.00	5.30	0.00
113	-1535	-1536	-1843	-1842	-1.80	-7100.00	5.30	0.00
113	-2144	-2145	-2834	-2833	-1.80	-7100.00	5.30	0.00
113	-1246	-1247	-1530	-1529	-1.80	-7100.00	5.30	0.00
113	-1257	-1258	-1541	-1540	-1.80	-7100.00	5.30	0.00
113	-680	-681	-964	-963	-1.80	-7100.00	5.30	0.00
113	-1248	-1249	-1532	-1531	-1.80	-7100.00	5.30	0.00
113	-1840	-1841	-2142	-2141	-1.80	-7100.00	5.30	0.00
113	-1843	-1844	-2145	-2144	-1.80	-7100.00	5.30	0.00
113	-1524	-1525	-1832	-1831	-1.80	-7100.00	5.30	0.00
113	-686	-687	-970	-969	-1.80	-7100.00	5.30	0.00
113	-970	-971	-1254	-1253	-1.80	-7100.00	5.30	0.00
113	-973	-974	-1257	-1256	-1.80	-7100.00	5.30	0.00
113	-1842	-1843	-2144	-2143	-1.80	-7100.00	5.30	0.00
113	-1532	-1533	-1840	-1839	-1.80	-7100.00	5.30	0.00
113	-1536	-1537	-1844	-1843	-1.80	-7100.00	5.30	0.00
113	-1530	-1531	-1838	-1837	-1.80	-7100.00	5.30	0.00
113	-1526	-1527	-1834	-1833	-1.80	-7100.00	5.30	0.00
113	-1834	-1835	-2136	-2135	-1.80	-7100.00	5.30	0.00
113	-675	-676	-959	-958	-1.80	-7100.00	5.30	0.00
113	-961	-962	-1245	-1244	-1.80	-7100.00	5.30	0.00
113	-1841	-1842	-2143	-2142	-1.80	-7100.00	5.30	0.00
113	-684	-685	-968	-967	-1.80	-7100.00	5.30	0.00
113	-688	-689	-972	-971	-1.80	-7100.00	5.30	0.00
113	-689	-690	-973	-972	-1.80	-7100.00	5.30	0.00
113	-1844	-1845	-2146	-2145	-1.80	-7100.00	5.30	0.00
113	-1847	-1848	-2149	-2148	-1.80	-7100.00	5.30	0.00
113	-1531	-1532	-1839	-1838	-1.80	-7100.00	5.30	0.00
113	-2138	-2139	-2828	-2827	-1.80	-7100.00	5.30	0.00
113	-2136	-2137	-2826	-2825	-1.80	-7100.00	5.30	0.00
113	-1839	-1840	-2141	-2140	-1.80	-7100.00	5.30	0.00
113	-960	-961	-1244	-1243	-1.80	-7100.00	5.30	0.00
113	-2140	-2141	-2830	-2829	-1.80	-7100.00	5.30	0.00
113	-2142	-2143	-2832	-2831	-1.80	-7100.00	5.30	0.00
113	-1253	-1254	-1537	-1536	-1.80	-7100.00	5.30	0.00
113	-1832	-1833	-2134	-2133	-1.80	-7100.00	5.30	0.00
113	-1833	-1834	-2135	-2134	-1.80	-7100.00	5.30	0.00
113	-1538	-1539	-1846	-1845	-1.80	-7100.00	5.30	0.00
113	-1539	-1540	-1847	-1846	-1.80	-7100.00	5.30	0.00
113	-974	-975	-1258	-1257	-1.80	-7100.00	5.30	0.00
113	-687	-688	-971	-970	-1.80	-7100.00	5.30	0.00
113	-1838	-1839	-2140	-2139	-1.80	-7100.00	5.30	0.00
113	-967	-968	-1251	-1250	-1.80	-7100.00	5.30	0.00
113	-685	-686	-969	-968	-1.80	-7100.00	5.30	0.00

< omissis >

Elenco carichi elementi bidimensionali
Condizione di carico n.4: Neve
Carichi uniformi

Bid.	N1	N2	N3	N4	T	DC	Qx <daN/mq>	Qy <daN/mq>	Qz <daN/mq>
401	-2697	-2734	-2735	-2698	M	G	0.00	0.00	150.00
401	-2404	-2441	-2442	-2405	M	G	0.00	0.00	150.00
401	-2754	-2791	-2792	-2755	M	G	0.00	0.00	150.00
401	-2300	-2330	-2331	-2301	M	G	0.00	0.00	150.00
401	-2530	-2567	-2568	-2531	M	G	0.00	0.00	150.00
401	-2448	-2485	-2486	-2449	M	G	0.00	0.00	150.00
401	-2714	-2751	-2752	-2715	M	G	0.00	0.00	150.00
401	-2348	-2385	-2386	-2349	M	G	0.00	0.00	150.00
401	-2367	-2404	-2405	-2368	M	G	0.00	0.00	150.00
401	-2779	-2816	-2817	-2780	M	G	0.00	0.00	150.00
401	-2816	-2853	-2854	-2817	M	G	0.00	0.00	150.00
401	-2407	-2444	-2445	-2408	M	G	0.00	0.00	150.00
401	-2632	-2669	-2670	-2633	M	G	0.00	0.00	150.00
401	-2303	-2333	-2334	-2304	M	G	0.00	0.00	150.00
401	-2589	-2626	-2627	-2590	M	G	0.00	0.00	150.00
401	-2481	-2517	-2518	-2482	M	G	0.00	0.00	150.00
401	-2377	-2414	-2415	-2378	M	G	0.00	0.00	150.00
401	-2800	-2837	-2838	-2801	M	G	0.00	0.00	150.00
401	-2488	-2524	-2525	-2489	M	G	0.00	0.00	150.00
401	-2427	-2464	-2465	-2428	M	G	0.00	0.00	150.00
401	-2809	-2846	-2847	-2810	M	G	0.00	0.00	150.00
401	-2252	-2286	-2287	-2253	M	G	0.00	0.00	150.00
401	-2489	-2525	-2526	-2490	M	G	0.00	0.00	150.00
401	-2626	-2663	-2664	-2627	M	G	0.00	0.00	150.00
401	-2476	-2512	-2513	-2477	M	G	0.00	0.00	150.00
401	-2584	-2621	-2622	-2585	M	G	0.00	0.00	150.00
401	-2534	-2571	-2572	-2535	M	G	0.00	0.00	150.00
401	-2785	-2822	-2823	-2786	M	G	0.00	0.00	150.00
401	-2478	-2514	-2515	-2479	M	G	0.00	0.00	150.00
401	-2853	-2890	-2891	-2854	M	G	0.00	0.00	150.00
401	-2400	-2437	-2438	-2401	M	G	0.00	0.00	150.00
401	-2627	-2664	-2665	-2628	M	G	0.00	0.00	150.00
401	-2611	-2648	-2649	-2612	M	G	0.00	0.00	150.00
401	-2832	-2869	-2870	-2833	M	G	0.00	0.00	150.00
401	-2631	-2668	-2669	-2632	M	G	0.00	0.00	150.00
401	-2848	-2885	-2886	-2849	M	G	0.00	0.00	150.00
401	-2770	-2807	-2808	-2771	M	G	0.00	0.00	150.00
401	-2553	-2590	-2591	-2554	M	G	0.00	0.00	150.00
401	-2703	-2740	-2741	-2704	M	G	0.00	0.00	150.00
401	-2333	-2367	-2368	-2334	M	G	0.00	0.00	150.00
401	-2328	-2362	-2363	-2329	M	G	0.00	0.00	150.00
401	-2818	-2855	-2856	-2819	M	G	0.00	0.00	150.00
401	-2830	-2867	-2868	-2831	M	G	0.00	0.00	150.00
401	-2834	-2871	-2872	-2835	M	G	0.00	0.00	150.00
401	-2496	-2532	-2533	-2497	M	G	0.00	0.00	150.00
401	-2385	-2422	-2423	-2386	M	G	0.00	0.00	150.00
401	-2630	-2667	-2668	-2631	M	G	0.00	0.00	150.00
401	-2449	-2486	-2487	-2450	M	G	0.00	0.00	150.00
401	-2532	-2569	-2570	-2533	M	G	0.00	0.00	150.00
401	-2527	-2564	-2565	-2528	M	G	0.00	0.00	150.00
401	-2795	-2832	-2833	-2796	M	G	0.00	0.00	150.00
401	-2752	-2789	-2790	-2753	M	G	0.00	0.00	150.00
401	-2525	-2562	-2563	-2526	M	G	0.00	0.00	150.00
401	-2847	-2884	-2885	-2848	M	G	0.00	0.00	150.00
401	-2850	-2887	-2888	-2851	M	G	0.00	0.00	150.00
401	-2457	-2494	-2495	-2458	M	G	0.00	0.00	150.00
401	-2554	-2591	-2592	-2555	M	G	0.00	0.00	150.00
401	-2609	-2646	-2647	-2610	M	G	0.00	0.00	150.00
401	-2777	-2814	-2815	-2778	M	G	0.00	0.00	150.00
401	-2780	-2817	-2818	-2781	M	G	0.00	0.00	150.00
401	-2559	-2596	-2597	-2560	M	G	0.00	0.00	150.00
401	-2485	-2521	-2522	-2486	M	G	0.00	0.00	150.00
401	-2269	-2303	-2304	-2270	M	G	0.00	0.00	150.00
401	-2820	-2857	-2858	-2821	M	G	0.00	0.00	150.00
401	-2588	-2625	-2626	-2589	M	G	0.00	0.00	150.00
401	-2535	-2572	-2573	-2536	M	G	0.00	0.00	150.00
401	-2840	-2877	-2878	-2841	M	G	0.00	0.00	150.00

< omissis >

Elenco carichi elementi bidimensionali
Condizione di carico n.5: Accidentale generico
Carichi uniformi

Bid.	N1	N2	N3	N4	T	DC	Qx <daN/mq>	Qy <daN/mq>	Qz <daN/mq>
105	-770	-769	-1052	-1053	M	L	0.00	111.00	0.00
105	-71	-70	-769	-770	M	L	0.00	111.00	0.00
105	-769	-768	-1051	-1052	M	L	0.00	111.00	0.00
105	-1927	-1926	-2209	-2210	M	L	0.00	103.00	0.00
105	-750	-749	-1032	-1033	M	L	0.00	103.00	0.00
105	-753	-752	-1035	-1036	M	L	0.00	103.00	0.00
105	-751	-750	-1033	-1034	M	L	0.00	103.00	0.00
105	-1319	-1318	-1619	-1620	M	L	0.00	103.00	0.00
105	-1034	-1033	-1316	-1317	M	L	0.00	103.00	0.00
105	-50	-49	-748	-749	M	L	0.00	103.00	0.00
105	-1316	-1315	-1616	-1617	M	L	0.00	103.00	0.00
105	-1035	-1034	-1317	-1318	M	L	0.00	103.00	0.00
105	-764	-763	-1046	-1047	M	L	0.00	111.00	0.00
105	-64	-63	-762	-763	M	L	0.00	111.00	0.00
105	-66	-65	-764	-765	M	L	0.00	111.00	0.00
105	-765	-764	-1047	-1048	M	L	0.00	111.00	0.00
105	-762	-761	-1044	-1045	M	L	0.00	111.00	0.00
105	-62	-61	-760	-761	M	L	0.00	111.00	0.00
105	-761	-760	-1043	-1044	M	L	0.00	111.00	0.00
105	-758	-757	-1040	-1041	M	L	0.00	103.00	0.00
105	-58	-57	-756	-757	M	L	0.00	103.00	0.00
105	-757	-756	-1039	-1040	M	L	0.00	103.00	0.00
105	-55	-54	-753	-754	M	L	0.00	103.00	0.00
105	-749	-748	-1031	-1032	M	L	0.00	103.00	0.00
105	-53	-52	-751	-752	M	L	0.00	103.00	0.00
105	-4	-3	-51	-52	M	L	0.00	103.00	0.00
105	-6	-5	-53	-54	M	L	0.00	103.00	0.00
105	-10	-9	-82	-83	M	L	0.00	99.00	0.00
105	-11	-10	-83	-84	M	L	0.00	99.00	0.00
105	-1324	-1323	-1624	-1625	M	L	0.00	103.00	0.00
105	-1040	-1039	-1322	-1323	M	L	0.00	103.00	0.00
105	-1323	-1322	-1623	-1624	M	L	0.00	103.00	0.00
105	-1320	-1319	-1620	-1621	M	L	0.00	103.00	0.00
105	-1033	-1032	-1315	-1316	M	L	0.00	103.00	0.00
105	-1930	-1929	-2212	-2213	M	L	0.00	103.00	0.00
105	-65	-64	-763	-764	M	L	0.00	111.00	0.00
105	-61	-60	-759	-760	M	L	0.00	103.00	0.00
105	-57	-56	-755	-756	M	L	0.00	103.00	0.00
105	-51	-50	-749	-750	M	L	0.00	103.00	0.00
105	-1038	-1037	-1320	-1321	M	L	0.00	103.00	0.00
105	-1321	-1320	-1621	-1622	M	L	0.00	103.00	0.00
105	-1929	-1928	-2211	-2212	M	L	0.00	103.00	0.00
105	-768	-767	-1050	-1051	M	L	0.00	111.00	0.00
105	-1926	-1925	-2208	-2209	M	L	0.00	103.00	0.00
105	-59	-58	-757	-758	M	L	0.00	103.00	0.00
105	-1616	-1615	-1922	-1923	M	L	0.00	103.00	0.00
105	-1617	-1616	-1923	-1924	M	L	0.00	103.00	0.00
105	-1618	-1617	-1924	-1925	M	L	0.00	103.00	0.00
105	-1619	-1618	-1925	-1926	M	L	0.00	103.00	0.00
105	-1620	-1619	-1926	-1927	M	L	0.00	103.00	0.00
105	-1037	-1036	-1319	-1320	M	L	0.00	103.00	0.00
105	-1315	-1314	-1615	-1616	M	L	0.00	103.00	0.00
105	-67	-66	-765	-766	M	L	0.00	111.00	0.00
105	-76	-75	-774	-775	M	L	0.00	116.00	0.00
105	-72	-71	-770	-771	M	L	0.00	116.00	0.00
105	-1050	-1049	-1332	-1333	M	L	0.00	111.00	0.00
105	-73	-72	-771	-772	M	L	0.00	116.00	0.00
105	-771	-770	-1053	-1054	M	L	0.00	116.00	0.00
105	-54	-53	-752	-753	M	L	0.00	103.00	0.00
105	-766	-765	-1048	-1049	M	L	0.00	111.00	0.00
105	-9	-8	-81	-82	M	L	0.00	99.00	0.00
105	-1049	-1048	-1331	-1332	M	L	0.00	111.00	0.00
105	-63	-62	-761	-762	M	L	0.00	111.00	0.00
105	-5	-4	-52	-53	M	L	0.00	103.00	0.00
105	-68	-67	-766	-767	M	L	0.00	111.00	0.00
105	-1336	-1335	-1636	-1637	M	L	0.00	111.00	0.00
105	-1053	-1052	-1335	-1336	M	L	0.00	111.00	0.00
105	-1335	-1334	-1635	-1636	M	L	0.00	111.00	0.00
105	-1048	-1047	-1330	-1331	M	L	0.00	111.00	0.00
105	-1331	-1330	-1631	-1632	M	L	0.00	111.00	0.00

< omissis >

Elenco carichi elementi bidimensionali
Condizione di carico n.6: Sisma acqua serb 1
Carichi uniformi

Bid.	N1	N2	N3	N4	T	DC	Qx <daN/mq>	Qy <daN/mq>	Qz <daN/mq>
402	-14	-26	-27	-15	M	G	0.00	0.00	103.00
402	-17	-29	-30	-18	M	G	0.00	0.00	103.00
402	-28	-40	-41	-29	M	G	0.00	0.00	103.00
402	-15	-27	-28	-16	M	G	0.00	0.00	103.00
402	-29	-41	-42	-30	M	G	0.00	0.00	103.00
402	-16	-28	-29	-17	M	G	0.00	0.00	103.00
402	-27	-39	-40	-28	M	G	0.00	0.00	103.00
402	-26	-38	-39	-27	M	G	0.00	0.00	103.00
403	-469	-506	-507	-470	M	G	0.00	0.00	103.00
403	-613	-650	-651	-614	M	G	0.00	0.00	103.00
403	-430	-467	-468	-431	M	G	0.00	0.00	103.00
403	-350	-387	-388	-351	M	G	0.00	0.00	103.00
403	-541	-578	-579	-542	M	G	0.00	0.00	103.00
403	-503	-540	-541	-504	M	G	0.00	0.00	103.00
403	-426	-463	-464	-427	M	G	0.00	0.00	103.00
403	-343	-380	-381	-344	M	G	0.00	0.00	103.00
403	-608	-645	-646	-609	M	G	0.00	0.00	103.00
403	-611	-648	-649	-612	M	G	0.00	0.00	103.00
403	-209	-246	-247	-210	M	G	0.00	0.00	103.00
403	-609	-646	-647	-610	M	G	0.00	0.00	103.00
403	-234	-271	-272	-235	M	G	0.00	0.00	103.00
403	-646	-683	-684	-647	M	G	0.00	0.00	103.00
403	-644	-681	-682	-645	M	G	0.00	0.00	103.00
403	-205	-242	-243	-206	M	G	0.00	0.00	103.00
403	-319	-356	-357	-320	M	G	0.00	0.00	103.00
403	-422	-459	-460	-423	M	G	0.00	0.00	103.00
403	-207	-244	-245	-208	M	G	0.00	0.00	103.00
403	-273	-310	-311	-274	M	G	0.00	0.00	103.00
403	-272	-309	-310	-273	M	G	0.00	0.00	103.00
403	-534	-571	-572	-535	M	G	0.00	0.00	103.00
403	-379	-416	-417	-380	M	G	0.00	0.00	103.00
403	-539	-576	-577	-540	M	G	0.00	0.00	103.00
403	-384	-421	-422	-385	M	G	0.00	0.00	103.00
403	-388	-425	-426	-389	M	G	0.00	0.00	103.00
403	-392	-429	-430	-393	M	G	0.00	0.00	103.00
403	-131	-166	-167	-132	M	G	0.00	0.00	103.00
403	-137	-172	-173	-138	M	G	0.00	0.00	103.00
403	-136	-171	-172	-137	M	G	0.00	0.00	103.00
403	-538	-575	-576	-539	M	G	0.00	0.00	103.00
403	-101	-136	-137	-102	M	G	0.00	0.00	103.00
403	-133	-168	-169	-134	M	G	0.00	0.00	103.00
403	-575	-612	-613	-576	M	G	0.00	0.00	103.00
403	-203	-240	-241	-204	M	G	0.00	0.00	103.00
403	-308	-345	-346	-309	M	G	0.00	0.00	103.00
403	-157	-194	-195	-158	M	G	0.00	0.00	103.00
403	-159	-196	-197	-160	M	G	0.00	0.00	103.00
403	-231	-268	-269	-232	M	G	0.00	0.00	103.00
403	-233	-270	-271	-234	M	G	0.00	0.00	103.00
403	-245	-282	-283	-246	M	G	0.00	0.00	103.00
403	-639	-676	-677	-640	M	G	0.00	0.00	103.00
403	-127	-162	-163	-128	M	G	0.00	0.00	103.00
403	-198	-235	-236	-199	M	G	0.00	0.00	103.00
403	-128	-163	-164	-129	M	G	0.00	0.00	103.00
403	-464	-501	-502	-465	M	G	0.00	0.00	103.00
403	-242	-279	-280	-243	M	G	0.00	0.00	103.00
403	-424	-461	-462	-425	M	G	0.00	0.00	103.00
403	-458	-495	-496	-459	M	G	0.00	0.00	103.00
403	-162	-199	-200	-163	M	G	0.00	0.00	103.00
403	-572	-609	-610	-573	M	G	0.00	0.00	103.00
403	-97	-132	-133	-98	M	G	0.00	0.00	103.00
403	-126	-161	-162	-127	M	G	0.00	0.00	103.00
403	-354	-391	-392	-355	M	G	0.00	0.00	103.00
403	-358	-395	-396	-359	M	G	0.00	0.00	103.00
403	-276	-313	-314	-277	M	G	0.00	0.00	103.00
403	-275	-312	-313	-276	M	G	0.00	0.00	103.00
403	-201	-238	-239	-202	M	G	0.00	0.00	103.00
403	-654	-691	-692	-655	M	G	0.00	0.00	103.00
403	-533	-570	-571	-534	M	G	0.00	0.00	103.00

< omissis >

Elenco carichi elementi bidimensionali
Condizione di carico n.6: Sisma acqua serb 1
Carichi idrostatici

Bid.	N1	N2	N3	N4	Zi <m>	QYi <daN/m>	MY <m>	QYf <daN/m>
110	-273	-236	-851	-860	-1.80	-328.00	5.30	0.00
110	-1116	-1107	-1390	-1399	-1.80	-328.00	5.30	0.00
110	-1390	-1357	-1661	-1694	-1.80	-328.00	5.30	0.00
110	-860	-851	-1134	-1143	-1.80	-328.00	5.30	0.00
110	-1399	-1390	-1694	-1703	-1.80	-328.00	5.30	0.00
110	-1998	-1965	-2248	-2282	-1.80	-328.00	5.30	0.00
110	-421	-384	-891	-902	-1.80	-328.00	5.30	0.00
110	-1703	-1694	-1998	-2007	-1.80	-328.00	5.30	0.00
110	-2007	-1998	-2282	-2313	-1.80	-328.00	5.30	0.00
110	-1763	-1751	-2054	-2065	-1.80	-328.00	5.30	0.00
110	-127	-92	-791	-824	-1.80	-328.00	5.30	0.00
110	-1163	-1152	-1435	-1446	-1.80	-328.00	5.30	0.00
110	-1107	-1074	-1357	-1390	-1.80	-328.00	5.30	0.00
110	-1426	-1417	-1722	-1731	-1.80	-328.00	5.30	0.00
110	-1408	-1399	-1703	-1713	-1.80	-328.00	5.30	0.00
110	-2043	-2034	-2420	-2457	-1.80	-328.00	5.30	0.00
110	-2065	-2054	-2494	-2530	-1.80	-328.00	5.30	0.00
110	-2016	-2007	-2313	-2346	-1.80	-328.00	5.30	0.00
110	-1713	-1703	-2007	-2016	-1.80	-328.00	5.30	0.00
110	-1468	-1457	-1763	-1774	-1.80	-328.00	5.30	0.00
110	-1694	-1661	-1965	-1998	-1.80	-328.00	5.30	0.00
110	-1479	-1468	-1774	-1785	-1.80	-328.00	5.30	0.00
110	-162	-127	-824	-833	-1.80	-328.00	5.30	0.00
110	-869	-860	-1143	-1152	-1.80	-328.00	5.30	0.00
110	-833	-824	-1107	-1116	-1.80	-328.00	5.30	0.00
110	-1125	-1116	-1399	-1408	-1.80	-328.00	5.30	0.00
110	-824	-791	-1074	-1107	-1.80	-328.00	5.30	0.00
110	-1134	-1125	-1408	-1417	-1.80	-328.00	5.30	0.00
110	-2034	-2025	-2383	-2420	-1.80	-328.00	5.30	0.00
110	-851	-842	-1125	-1134	-1.80	-328.00	5.30	0.00
110	-199	-162	-833	-842	-1.80	-328.00	5.30	0.00
110	-913	-902	-1185	-1196	-1.80	-328.00	5.30	0.00
110	-842	-833	-1116	-1125	-1.80	-328.00	5.30	0.00
110	-1435	-1426	-1731	-1740	-1.80	-328.00	5.30	0.00
110	-1185	-1174	-1457	-1468	-1.80	-328.00	5.30	0.00
110	-1740	-1731	-2034	-2043	-1.80	-328.00	5.30	0.00
110	-891	-880	-1163	-1174	-1.80	-328.00	5.30	0.00
110	-1731	-1722	-2025	-2034	-1.80	-328.00	5.30	0.00
110	-1446	-1435	-1740	-1751	-1.80	-328.00	5.30	0.00
110	-902	-891	-1174	-1185	-1.80	-328.00	5.30	0.00
110	-1143	-1134	-1417	-1426	-1.80	-328.00	5.30	0.00
110	-2054	-2043	-2457	-2494	-1.80	-328.00	5.30	0.00
110	-2087	-2076	-2567	-2604	-1.80	-328.00	5.30	0.00
110	-1174	-1163	-1446	-1457	-1.80	-328.00	5.30	0.00
110	-2076	-2065	-2530	-2567	-1.80	-328.00	5.30	0.00
110	-1196	-1185	-1468	-1479	-1.80	-328.00	5.30	0.00
110	-2025	-2016	-2346	-2383	-1.80	-328.00	5.30	0.00
110	-347	-310	-869	-880	-1.80	-328.00	5.30	0.00
110	-458	-421	-902	-913	-1.80	-328.00	5.30	0.00
110	-1152	-1143	-1426	-1435	-1.80	-328.00	5.30	0.00
110	-1751	-1740	-2043	-2054	-1.80	-328.00	5.30	0.00
110	-1785	-1774	-2076	-2087	-1.80	-328.00	5.30	0.00
110	-1722	-1713	-2016	-2025	-1.80	-328.00	5.30	0.00
110	-384	-347	-880	-891	-1.80	-328.00	5.30	0.00
110	-1457	-1446	-1751	-1763	-1.80	-328.00	5.30	0.00
110	-880	-869	-1152	-1163	-1.80	-328.00	5.30	0.00
110	-1417	-1408	-1713	-1722	-1.80	-328.00	5.30	0.00
110	-1774	-1763	-2065	-2076	-1.80	-328.00	5.30	0.00
110	-310	-273	-860	-869	-1.80	-328.00	5.30	0.00
110	-236	-199	-842	-851	-1.80	-328.00	5.30	0.00
112	-1448	-1437	-1742	-1753	-1.80	-328.00	5.30	0.00
112	-244	-207	-843	-852	-1.80	-328.00	5.30	0.00
112	-1732	-1723	-2026	-2035	-1.80	-328.00	5.30	0.00
112	-834	-825	-1108	-1117	-1.80	-328.00	5.30	0.00
112	-170	-135	-825	-834	-1.80	-328.00	5.30	0.00
112	-466	-429	-904	-915	-1.80	-328.00	5.30	0.00
112	-1165	-1154	-1437	-1448	-1.80	-328.00	5.30	0.00
112	-1714	-1704	-2008	-2017	-1.80	-328.00	5.30	0.00
112	-1400	-1391	-1695	-1704	-1.80	-328.00	5.30	0.00
112	-1418	-1409	-1714	-1723	-1.80	-328.00	5.30	0.00

< omissis >

Elenco carichi elementi bidimensionali
Condizione di carico n.7: Acqua serbatoio 2
Carichi uniformi

Bid.	N1	N2	N3	N4	T	DC	Qx <daN/mq>	Qy <daN/mq>	Qz <daN/mq>
403	-220	-257	-258	-221	M	G	0.00	0.00	5300.00
403	-625	-662	-663	-626	M	G	0.00	0.00	5300.00
403	-449	-486	-487	-450	M	G	0.00	0.00	5300.00
403	-483	-520	-521	-484	M	G	0.00	0.00	5300.00
403	-660	-697	-698	-661	M	G	0.00	0.00	5300.00
403	-597	-634	-635	-598	M	G	0.00	0.00	5300.00
403	-145	-180	-181	-146	M	G	0.00	0.00	5300.00
403	-405	-442	-443	-406	M	G	0.00	0.00	5300.00
403	-442	-479	-480	-443	M	G	0.00	0.00	5300.00
403	-627	-664	-665	-628	M	G	0.00	0.00	5300.00
403	-444	-481	-482	-445	M	G	0.00	0.00	5300.00
403	-658	-695	-696	-659	M	G	0.00	0.00	5300.00
403	-211	-248	-249	-212	M	G	0.00	0.00	5300.00
403	-474	-511	-512	-475	M	G	0.00	0.00	5300.00
403	-594	-631	-632	-595	M	G	0.00	0.00	5300.00
403	-479	-516	-517	-480	M	G	0.00	0.00	5300.00
403	-446	-483	-484	-447	M	G	0.00	0.00	5300.00
403	-547	-584	-585	-548	M	G	0.00	0.00	5300.00
403	-333	-370	-371	-334	M	G	0.00	0.00	5300.00
403	-327	-364	-365	-328	M	G	0.00	0.00	5300.00
403	-214	-251	-252	-215	M	G	0.00	0.00	5300.00
403	-331	-368	-369	-332	M	G	0.00	0.00	5300.00
403	-550	-587	-588	-551	M	G	0.00	0.00	5300.00
403	-629	-666	-667	-630	M	G	0.00	0.00	5300.00
403	-555	-592	-593	-556	M	G	0.00	0.00	5300.00
403	-628	-665	-666	-629	M	G	0.00	0.00	5300.00
403	-367	-404	-405	-368	M	G	0.00	0.00	5300.00
403	-634	-671	-672	-635	M	G	0.00	0.00	5300.00
403	-671	-708	-709	-672	M	G	0.00	0.00	5300.00
403	-217	-254	-255	-218	M	G	0.00	0.00	5300.00
403	-189	-226	-227	-190	M	G	0.00	0.00	5300.00
403	-591	-628	-629	-592	M	G	0.00	0.00	5300.00
403	-621	-658	-659	-622	M	G	0.00	0.00	5300.00
403	-401	-438	-439	-402	M	G	0.00	0.00	5300.00
403	-139	-174	-175	-140	M	G	0.00	0.00	5300.00
403	-400	-437	-438	-401	M	G	0.00	0.00	5300.00
403	-404	-441	-442	-405	M	G	0.00	0.00	5300.00
403	-473	-510	-511	-474	M	G	0.00	0.00	5300.00
403	-659	-696	-697	-660	M	G	0.00	0.00	5300.00
403	-661	-698	-699	-662	M	G	0.00	0.00	5300.00
403	-225	-262	-263	-226	M	G	0.00	0.00	5300.00
403	-213	-250	-251	-214	M	G	0.00	0.00	5300.00
403	-363	-400	-401	-364	M	G	0.00	0.00	5300.00
403	-624	-661	-662	-625	M	G	0.00	0.00	5300.00
403	-176	-213	-214	-177	M	G	0.00	0.00	5300.00
403	-104	-139	-140	-105	M	G	0.00	0.00	5300.00
403	-253	-290	-291	-254	M	G	0.00	0.00	5300.00
403	-662	-699	-700	-663	M	G	0.00	0.00	5300.00
403	-223	-260	-261	-224	M	G	0.00	0.00	5300.00
403	-552	-589	-590	-553	M	G	0.00	0.00	5300.00
403	-215	-252	-253	-216	M	G	0.00	0.00	5300.00
403	-212	-249	-250	-213	M	G	0.00	0.00	5300.00
403	-140	-175	-176	-141	M	G	0.00	0.00	5300.00
403	-359	-396	-397	-360	M	G	0.00	0.00	5300.00
403	-438	-475	-476	-439	M	G	0.00	0.00	5300.00
403	-218	-255	-256	-219	M	G	0.00	0.00	5300.00
403	-144	-179	-180	-145	M	G	0.00	0.00	5300.00
403	-396	-433	-434	-397	M	G	0.00	0.00	5300.00
403	-369	-406	-407	-370	M	G	0.00	0.00	5300.00
403	-560	-597	-598	-561	M	G	0.00	0.00	5300.00
403	-666	-703	-704	-667	M	G	0.00	0.00	5300.00
403	-618	-655	-656	-619	M	G	0.00	0.00	5300.00
403	-620	-657	-658	-621	M	G	0.00	0.00	5300.00
403	-224	-261	-262	-225	M	G	0.00	0.00	5300.00
403	-149	-184	-185	-150	M	G	0.00	0.00	5300.00
403	-146	-181	-182	-147	M	G	0.00	0.00	5300.00
403	-323	-360	-361	-324	M	G	0.00	0.00	5300.00
403	-295	-332	-333	-296	M	G	0.00	0.00	5300.00

< omissis >

Elenco carichi elementi bidimensionali
Condizione di carico n.7: Acqua serbatoio 2
Carichi idrostatici

Bid.	N1	N2	N3	N4	Zi <m>	QYi <daN/m>	MY <m>	QYf <daN/m>
113	-1557	-1558	-1865	-1864	-1.80	-7100.00	5.30	0.00
113	-699	-700	-983	-982	-1.80	-7100.00	5.30	0.00
113	-983	-984	-1267	-1266	-1.80	-7100.00	5.30	0.00
113	-2165	-2166	-2855	-2854	-1.80	-7100.00	5.30	0.00
113	-1862	-1863	-2164	-2163	-1.80	-7100.00	5.30	0.00
113	-698	-699	-982	-981	-1.80	-7100.00	5.30	0.00
113	-981	-982	-1265	-1264	-1.80	-7100.00	5.30	0.00
113	-1264	-1265	-1548	-1547	-1.80	-7100.00	5.30	0.00
113	-978	-979	-1262	-1261	-1.80	-7100.00	5.30	0.00
113	-1860	-1861	-2162	-2161	-1.80	-7100.00	5.30	0.00
113	-1861	-1862	-2163	-2162	-1.80	-7100.00	5.30	0.00
113	-708	-709	-992	-991	-1.80	-7100.00	5.30	0.00
113	-1858	-1859	-2160	-2159	-1.80	-7100.00	5.30	0.00
113	-1543	-1544	-1851	-1850	-1.80	-7100.00	5.30	0.00
113	-1863	-1864	-2165	-2164	-1.80	-7100.00	5.30	0.00
113	-2157	-2158	-2847	-2846	-1.80	-7100.00	5.30	0.00
113	-1266	-1267	-1550	-1549	-1.80	-7100.00	5.30	0.00
113	-1544	-1545	-1852	-1851	-1.80	-7100.00	5.30	0.00
113	-1547	-1548	-1855	-1854	-1.80	-7100.00	5.30	0.00
113	-704	-705	-988	-987	-1.80	-7100.00	5.30	0.00
113	-985	-986	-1269	-1268	-1.80	-7100.00	5.30	0.00
113	-1848	-1849	-2150	-2149	-1.80	-7100.00	5.30	0.00
113	-1548	-1549	-1856	-1855	-1.80	-7100.00	5.30	0.00
113	-694	-695	-978	-977	-1.80	-7100.00	5.30	0.00
113	-695	-696	-979	-978	-1.80	-7100.00	5.30	0.00
113	-1859	-1860	-2161	-2160	-1.80	-7100.00	5.30	0.00
113	-1260	-1261	-1544	-1543	-1.80	-7100.00	5.30	0.00
113	-1271	-1272	-1555	-1554	-1.80	-7100.00	5.30	0.00
113	-2162	-2163	-2852	-2851	-1.80	-7100.00	5.30	0.00
113	-977	-978	-1261	-1260	-1.80	-7100.00	5.30	0.00
113	-984	-985	-1268	-1267	-1.80	-7100.00	5.30	0.00
113	-1259	-1260	-1543	-1542	-1.80	-7100.00	5.30	0.00
113	-982	-983	-1266	-1265	-1.80	-7100.00	5.30	0.00
113	-1549	-1550	-1857	-1856	-1.80	-7100.00	5.30	0.00
113	-1857	-1858	-2159	-2158	-1.80	-7100.00	5.30	0.00
113	-703	-704	-987	-986	-1.80	-7100.00	5.30	0.00
113	-1550	-1551	-1858	-1857	-1.80	-7100.00	5.30	0.00
113	-2159	-2160	-2849	-2848	-1.80	-7100.00	5.30	0.00
113	-1269	-1270	-1553	-1552	-1.80	-7100.00	5.30	0.00
113	-1270	-1271	-1554	-1553	-1.80	-7100.00	5.30	0.00
113	-1273	-1274	-1557	-1556	-1.80	-7100.00	5.30	0.00
113	-1850	-1851	-2152	-2151	-1.80	-7100.00	5.30	0.00
113	-1274	-1275	-1558	-1557	-1.80	-7100.00	5.30	0.00
113	-1856	-1857	-2158	-2157	-1.80	-7100.00	5.30	0.00
113	-988	-989	-1272	-1271	-1.80	-7100.00	5.30	0.00
113	-696	-697	-980	-979	-1.80	-7100.00	5.30	0.00
113	-692	-693	-976	-975	-1.80	-7100.00	5.30	0.00
113	-980	-981	-1264	-1263	-1.80	-7100.00	5.30	0.00
113	-1551	-1552	-1859	-1858	-1.80	-7100.00	5.30	0.00
113	-2155	-2156	-2845	-2844	-1.80	-7100.00	5.30	0.00
113	-700	-701	-984	-983	-1.80	-7100.00	5.30	0.00
113	-1555	-1556	-1863	-1862	-1.80	-7100.00	5.30	0.00
113	-705	-706	-989	-988	-1.80	-7100.00	5.30	0.00
113	-2152	-2153	-2842	-2841	-1.80	-7100.00	5.30	0.00
113	-987	-988	-1271	-1270	-1.80	-7100.00	5.30	0.00
113	-986	-987	-1270	-1269	-1.80	-7100.00	5.30	0.00
113	-697	-698	-981	-980	-1.80	-7100.00	5.30	0.00
113	-1852	-1853	-2154	-2153	-1.80	-7100.00	5.30	0.00
113	-1855	-1856	-2157	-2156	-1.80	-7100.00	5.30	0.00
113	-976	-977	-1260	-1259	-1.80	-7100.00	5.30	0.00
113	-1262	-1263	-1546	-1545	-1.80	-7100.00	5.30	0.00
113	-1545	-1546	-1853	-1852	-1.80	-7100.00	5.30	0.00
113	-1546	-1547	-1854	-1853	-1.80	-7100.00	5.30	0.00
113	-991	-992	-1275	-1274	-1.80	-7100.00	5.30	0.00
113	-1556	-1557	-1864	-1863	-1.80	-7100.00	5.30	0.00
113	-1851	-1852	-2153	-2152	-1.80	-7100.00	5.30	0.00
113	-979	-980	-1263	-1262	-1.80	-7100.00	5.30	0.00
113	-2161	-2162	-2851	-2850	-1.80	-7100.00	5.30	0.00
113	-2164	-2165	-2854	-2853	-1.80	-7100.00	5.30	0.00
113	-1554	-1555	-1862	-1861	-1.80	-7100.00	5.30	0.00
113	-702	-703	-986	-985	-1.80	-7100.00	5.30	0.00
113	-1849	-1850	-2151	-2150	-1.80	-7100.00	5.30	0.00

< omissis >

Elenco carichi elementi bidimensionali
Condizione di carico n.8: Sisma terreno
Carichi uniformi

Bid.	N1	N2	N3	N4	T	DC	Qx <daN/mq>	Qy <daN/mq>	Qz <daN/mq>
105	-770	-769	-1052	-1053	M	L	0.00	498.00	0.00
105	-71	-70	-769	-770	M	L	0.00	498.00	0.00
105	-769	-768	-1051	-1052	M	L	0.00	498.00	0.00
105	-1927	-1926	-2209	-2210	M	L	0.00	895.00	0.00
105	-750	-749	-1032	-1033	M	L	0.00	895.00	0.00
105	-753	-752	-1035	-1036	M	L	0.00	895.00	0.00
105	-751	-750	-1033	-1034	M	L	0.00	895.00	0.00
105	-1319	-1318	-1619	-1620	M	L	0.00	895.00	0.00
105	-1034	-1033	-1316	-1317	M	L	0.00	895.00	0.00
105	-50	-49	-748	-749	M	L	0.00	895.00	0.00
105	-1316	-1315	-1616	-1617	M	L	0.00	895.00	0.00
105	-1035	-1034	-1317	-1318	M	L	0.00	895.00	0.00
105	-764	-763	-1046	-1047	M	L	0.00	498.00	0.00
105	-64	-63	-762	-763	M	L	0.00	498.00	0.00
105	-66	-65	-764	-765	M	L	0.00	498.00	0.00
105	-765	-764	-1047	-1048	M	L	0.00	498.00	0.00
105	-762	-761	-1044	-1045	M	L	0.00	498.00	0.00
105	-62	-61	-760	-761	M	L	0.00	498.00	0.00
105	-761	-760	-1043	-1044	M	L	0.00	498.00	0.00
105	-758	-757	-1040	-1041	M	L	0.00	895.00	0.00
105	-58	-57	-756	-757	M	L	0.00	895.00	0.00
105	-757	-756	-1039	-1040	M	L	0.00	895.00	0.00
105	-55	-54	-753	-754	M	L	0.00	895.00	0.00
105	-749	-748	-1031	-1032	M	L	0.00	895.00	0.00
105	-53	-52	-751	-752	M	L	0.00	895.00	0.00
105	-4	-3	-51	-52	M	L	0.00	895.00	0.00
105	-6	-5	-53	-54	M	L	0.00	895.00	0.00
105	-10	-9	-82	-83	M	L	0.00	365.00	0.00
105	-11	-10	-83	-84	M	L	0.00	365.00	0.00
105	-1324	-1323	-1624	-1625	M	L	0.00	895.00	0.00
105	-1040	-1039	-1322	-1323	M	L	0.00	895.00	0.00
105	-1323	-1322	-1623	-1624	M	L	0.00	895.00	0.00
105	-1320	-1319	-1620	-1621	M	L	0.00	895.00	0.00
105	-1033	-1032	-1315	-1316	M	L	0.00	895.00	0.00
105	-1930	-1929	-2212	-2213	M	L	0.00	895.00	0.00
105	-65	-64	-763	-764	M	L	0.00	498.00	0.00
105	-61	-60	-759	-760	M	L	0.00	895.00	0.00
105	-57	-56	-755	-756	M	L	0.00	895.00	0.00
105	-51	-50	-749	-750	M	L	0.00	895.00	0.00
105	-1038	-1037	-1320	-1321	M	L	0.00	895.00	0.00
105	-1321	-1320	-1621	-1622	M	L	0.00	895.00	0.00
105	-1929	-1928	-2211	-2212	M	L	0.00	895.00	0.00
105	-768	-767	-1050	-1051	M	L	0.00	498.00	0.00
105	-1926	-1925	-2208	-2209	M	L	0.00	895.00	0.00
105	-59	-58	-757	-758	M	L	0.00	895.00	0.00
105	-1616	-1615	-1922	-1923	M	L	0.00	895.00	0.00
105	-1617	-1616	-1923	-1924	M	L	0.00	895.00	0.00
105	-1618	-1617	-1924	-1925	M	L	0.00	895.00	0.00
105	-1619	-1618	-1925	-1926	M	L	0.00	895.00	0.00
105	-1620	-1619	-1926	-1927	M	L	0.00	895.00	0.00
105	-1037	-1036	-1319	-1320	M	L	0.00	895.00	0.00
105	-1315	-1314	-1615	-1616	M	L	0.00	895.00	0.00
105	-67	-66	-765	-766	M	L	0.00	498.00	0.00
105	-76	-75	-774	-775	M	L	0.00	365.00	0.00
105	-72	-71	-770	-771	M	L	0.00	365.00	0.00
105	-1050	-1049	-1332	-1333	M	L	0.00	498.00	0.00
105	-73	-72	-771	-772	M	L	0.00	365.00	0.00
105	-771	-770	-1053	-1054	M	L	0.00	365.00	0.00
105	-54	-53	-752	-753	M	L	0.00	895.00	0.00
105	-766	-765	-1048	-1049	M	L	0.00	498.00	0.00
105	-9	-8	-81	-82	M	L	0.00	365.00	0.00
105	-1049	-1048	-1331	-1332	M	L	0.00	498.00	0.00
105	-63	-62	-761	-762	M	L	0.00	498.00	0.00
105	-5	-4	-52	-53	M	L	0.00	895.00	0.00
105	-68	-67	-766	-767	M	L	0.00	498.00	0.00
105	-1336	-1335	-1636	-1637	M	L	0.00	498.00	0.00
105	-1053	-1052	-1335	-1336	M	L	0.00	498.00	0.00

< omissis >

Elenco carichi elementi bidimensionali
Condizione di carico n.9: Sisma acqua serb 2
Carichi uniformi

Bid.	N1	N2	N3	N4	T	DC	Qx <daN/mq>	Qy <daN/mq>	Qz <daN/mq>
403	-220	-257	-258	-221	M	G	0.00	0.00	103.00
403	-625	-662	-663	-626	M	G	0.00	0.00	103.00
403	-449	-486	-487	-450	M	G	0.00	0.00	103.00
403	-483	-520	-521	-484	M	G	0.00	0.00	103.00
403	-660	-697	-698	-661	M	G	0.00	0.00	103.00
403	-597	-634	-635	-598	M	G	0.00	0.00	103.00
403	-145	-180	-181	-146	M	G	0.00	0.00	103.00
403	-405	-442	-443	-406	M	G	0.00	0.00	103.00
403	-442	-479	-480	-443	M	G	0.00	0.00	103.00
403	-627	-664	-665	-628	M	G	0.00	0.00	103.00
403	-444	-481	-482	-445	M	G	0.00	0.00	103.00
403	-658	-695	-696	-659	M	G	0.00	0.00	103.00
403	-211	-248	-249	-212	M	G	0.00	0.00	103.00
403	-474	-511	-512	-475	M	G	0.00	0.00	103.00
403	-594	-631	-632	-595	M	G	0.00	0.00	103.00
403	-479	-516	-517	-480	M	G	0.00	0.00	103.00
403	-446	-483	-484	-447	M	G	0.00	0.00	103.00
403	-547	-584	-585	-548	M	G	0.00	0.00	103.00
403	-333	-370	-371	-334	M	G	0.00	0.00	103.00
403	-327	-364	-365	-328	M	G	0.00	0.00	103.00
403	-214	-251	-252	-215	M	G	0.00	0.00	103.00
403	-331	-368	-369	-332	M	G	0.00	0.00	103.00
403	-550	-587	-588	-551	M	G	0.00	0.00	103.00
403	-629	-666	-667	-630	M	G	0.00	0.00	103.00
403	-555	-592	-593	-556	M	G	0.00	0.00	103.00
403	-628	-665	-666	-629	M	G	0.00	0.00	103.00
403	-367	-404	-405	-368	M	G	0.00	0.00	103.00
403	-634	-671	-672	-635	M	G	0.00	0.00	103.00
403	-671	-708	-709	-672	M	G	0.00	0.00	103.00
403	-217	-254	-255	-218	M	G	0.00	0.00	103.00
403	-189	-226	-227	-190	M	G	0.00	0.00	103.00
403	-591	-628	-629	-592	M	G	0.00	0.00	103.00
403	-621	-658	-659	-622	M	G	0.00	0.00	103.00
403	-401	-438	-439	-402	M	G	0.00	0.00	103.00
403	-139	-174	-175	-140	M	G	0.00	0.00	103.00
403	-400	-437	-438	-401	M	G	0.00	0.00	103.00
403	-404	-441	-442	-405	M	G	0.00	0.00	103.00
403	-473	-510	-511	-474	M	G	0.00	0.00	103.00
403	-659	-696	-697	-660	M	G	0.00	0.00	103.00
403	-661	-698	-699	-662	M	G	0.00	0.00	103.00
403	-225	-262	-263	-226	M	G	0.00	0.00	103.00
403	-213	-250	-251	-214	M	G	0.00	0.00	103.00
403	-363	-400	-401	-364	M	G	0.00	0.00	103.00
403	-624	-661	-662	-625	M	G	0.00	0.00	103.00
403	-176	-213	-214	-177	M	G	0.00	0.00	103.00
403	-104	-139	-140	-105	M	G	0.00	0.00	103.00
403	-253	-290	-291	-254	M	G	0.00	0.00	103.00
403	-662	-699	-700	-663	M	G	0.00	0.00	103.00
403	-223	-260	-261	-224	M	G	0.00	0.00	103.00
403	-552	-589	-590	-553	M	G	0.00	0.00	103.00
403	-215	-252	-253	-216	M	G	0.00	0.00	103.00
403	-212	-249	-250	-213	M	G	0.00	0.00	103.00
403	-140	-175	-176	-141	M	G	0.00	0.00	103.00
403	-359	-396	-397	-360	M	G	0.00	0.00	103.00
403	-438	-475	-476	-439	M	G	0.00	0.00	103.00
403	-218	-255	-256	-219	M	G	0.00	0.00	103.00
403	-144	-179	-180	-145	M	G	0.00	0.00	103.00
403	-396	-433	-434	-397	M	G	0.00	0.00	103.00
403	-369	-406	-407	-370	M	G	0.00	0.00	103.00
403	-560	-597	-598	-561	M	G	0.00	0.00	103.00
403	-666	-703	-704	-667	M	G	0.00	0.00	103.00
403	-618	-655	-656	-619	M	G	0.00	0.00	103.00
403	-620	-657	-658	-621	M	G	0.00	0.00	103.00
403	-224	-261	-262	-225	M	G	0.00	0.00	103.00

< omissis >

Elenco carichi elementi bidimensionali
Condizione di carico n.9: Sisma acqua serb 2
Carichi idrostatici

Bid.	N1	N2	N3	N4	Zi <m>	QYi <daN/m>	MY <m>	QYf <daN/m>
108	-1744	-1734	-2037	-2047	-1.80	-328.00	5.30	0.00
108	-1411	-1402	-1706	-1716	-1.80	-328.00	5.30	0.00
108	-895	-884	-1167	-1178	-1.80	-328.00	5.30	0.00
108	-1697	-1677	-1981	-2001	-1.80	-328.00	5.30	0.00
108	-917	-906	-1189	-1200	-1.80	-328.00	5.30	0.00
108	-1725	-1716	-2019	-2028	-1.80	-328.00	5.30	0.00
108	-1119	-1110	-1393	-1402	-1.80	-328.00	5.30	0.00
108	-1110	-1090	-1373	-1393	-1.80	-328.00	5.30	0.00
108	-289	-252	-854	-863	-1.80	-328.00	5.30	0.00
108	-863	-854	-1137	-1146	-1.80	-328.00	5.30	0.00
108	-1755	-1744	-2047	-2058	-1.80	-328.00	5.30	0.00
108	-1450	-1439	-1744	-1755	-1.80	-328.00	5.30	0.00
108	-1402	-1393	-1697	-1706	-1.80	-328.00	5.30	0.00
108	-836	-827	-1110	-1119	-1.80	-328.00	5.30	0.00
108	-827	-807	-1090	-1110	-1.80	-328.00	5.30	0.00
108	-1167	-1156	-1439	-1450	-1.80	-328.00	5.30	0.00
108	-1137	-1128	-1411	-1420	-1.80	-328.00	5.30	0.00
108	-1420	-1411	-1716	-1725	-1.80	-328.00	5.30	0.00
108	-1146	-1137	-1420	-1429	-1.80	-328.00	5.30	0.00
108	-1734	-1725	-2028	-2037	-1.80	-328.00	5.30	0.00
108	-873	-863	-1146	-1156	-1.80	-328.00	5.30	0.00
108	-437	-400	-895	-906	-1.80	-328.00	5.30	0.00
108	-1393	-1373	-1677	-1697	-1.80	-328.00	5.30	0.00
108	-1789	-1778	-2080	-2091	-1.80	-328.00	5.30	0.00
108	-1189	-1178	-1461	-1472	-1.80	-328.00	5.30	0.00
108	-143	-108	-807	-827	-1.80	-328.00	5.30	0.00
108	-1706	-1697	-2001	-2010	-1.80	-328.00	5.30	0.00
108	-1461	-1450	-1755	-1767	-1.80	-328.00	5.30	0.00
108	-1778	-1767	-2069	-2080	-1.80	-328.00	5.30	0.00
108	-1716	-1706	-2010	-2019	-1.80	-328.00	5.30	0.00
108	-884	-873	-1156	-1167	-1.80	-328.00	5.30	0.00
108	-400	-363	-884	-895	-1.80	-328.00	5.30	0.00
108	-1429	-1420	-1725	-1734	-1.80	-328.00	5.30	0.00
108	-215	-178	-836	-845	-1.80	-328.00	5.30	0.00
108	-1483	-1472	-1778	-1789	-1.80	-328.00	5.30	0.00
108	-1128	-1119	-1402	-1411	-1.80	-328.00	5.30	0.00
108	-1178	-1167	-1450	-1461	-1.80	-328.00	5.30	0.00
108	-854	-845	-1128	-1137	-1.80	-328.00	5.30	0.00
108	-1439	-1429	-1734	-1744	-1.80	-328.00	5.30	0.00
108	-1156	-1146	-1429	-1439	-1.80	-328.00	5.30	0.00
108	-474	-437	-906	-917	-1.80	-328.00	5.30	0.00
108	-178	-143	-827	-836	-1.80	-328.00	5.30	0.00
108	-906	-895	-1178	-1189	-1.80	-328.00	5.30	0.00
108	-1472	-1461	-1767	-1778	-1.80	-328.00	5.30	0.00
108	-1767	-1755	-2058	-2069	-1.80	-328.00	5.30	0.00
108	-326	-289	-863	-873	-1.80	-328.00	5.30	0.00
108	-363	-326	-873	-884	-1.80	-328.00	5.30	0.00
108	-252	-215	-845	-854	-1.80	-328.00	5.30	0.00
108	-1200	-1189	-1472	-1483	-1.80	-328.00	5.30	0.00
108	-845	-836	-1119	-1128	-1.80	-328.00	5.30	0.00
109	-1190	-1179	-1462	-1473	-1.80	-328.00	5.30	0.00
109	-926	-918	-1201	-1209	-1.80	-328.00	5.30	0.00
109	-1779	-1768	-2070	-2081	-1.80	-328.00	5.30	0.00
109	-940	-933	-1216	-1223	-1.80	-328.00	5.30	0.00
109	-515	-478	-918	-926	-1.80	-328.00	5.30	0.00
109	-1209	-1201	-1484	-1492	-1.80	-328.00	5.30	0.00
109	-918	-907	-1190	-1201	-1.80	-328.00	5.30	0.00
109	-885	-874	-1157	-1168	-1.80	-328.00	5.30	0.00
109	-983	-954	-1237	-1266	-1.80	-328.00	5.30	0.00
109	-1484	-1473	-1779	-1790	-1.80	-328.00	5.30	0.00
109	-1223	-1216	-1499	-1506	-1.80	-328.00	5.30	0.00
109	-1768	-1756	-2059	-2070	-1.80	-328.00	5.30	0.00
109	-1492	-1484	-1790	-1798	-1.80	-328.00	5.30	0.00
109	-1451	-1440	-1745	-1756	-1.80	-328.00	5.30	0.00
109	-1513	-1506	-1813	-1820	-1.80	-328.00	5.30	0.00
109	-1230	-1223	-1506	-1513	-1.80	-328.00	5.30	0.00
109	-1179	-1168	-1451	-1462	-1.80	-328.00	5.30	0.00
109	-552	-515	-926	-933	-1.80	-328.00	5.30	0.00

< omissis >

Risultati del calcolo

Parametri di calcolo

La modellazione della struttura e la rielaborazione dei risultati del calcolo sono stati effettuati con: ModeSt ver. 8.11, prodotto da Tecnisoft s.a.s. - Prato

La struttura è stata calcolata utilizzando come solutore agli elementi finiti: Xfinest ver. 2015, prodotto da Ce.A.S. S.r.l. - Milano

Tipo di normativa: stati limite D.M. 08
Tipo di calcolo: analisi sismica dinamica
Vincoli esterni: Considera sempre vincoli assegnati in modellazione
Schematizzazione piani rigidi: nessun impalcato rigido
Modalità di recupero masse secondarie: trasferire all'impalcato più vicino con modifica XY baricentro

Generazione combinazioni

- Lineari: si
- Valuta spostamenti e non sollecitazioni: no
- Buckling: no

Opzioni di calcolo

- Sono state considerate infinitamente rigide le zone di connessione fra travi, pilastri ed elementi bidimensionali con una riduzione del 20%
- Calcolo con offset rigidi dai nodi: no
- Uniformare i carichi variabili: no
- Massimizzare i carichi variabili: no
- Minimo carico da considerare: 0.00 <daN/m>
- Recupero carichi zone rigide: taglio e momento flettente
- Modalità di combinazione momento torcente: disaccoppiare le azioni

Opzioni del solutore

- Tipo di elemento bidimensionale: QF46
- Calcolo sforzo nei nodi: No
- Trascura deformabilità a taglio delle aste: No
- Analisi dinamica con metodo di Lanczos: Si
- Check sequenza di Sturm: Si
- Analisi non lineare con Newton modificato: No
- Usa formulazione secante per buckling: No
- Trascura buckling torsionale: No
- Soluzione matrice con metodo ver. 5.1: No

Dati struttura

- Zona sismica: zona 4
- Sito di costruzione: 28838 Stresa VB, Italia LON. 8.51958 LAT. 45.88329
Contenuto tra ID reticolo: 10254 10253 10032 10031

Simbologia

TCC = Tipo di combinazione di carico
SLU = Stato limite ultimo
SLU S = Stato limite ultimo (azione sismica)
SLE R = Stato limite d'esercizio, combinazione rara
SLE F = Stato limite d'esercizio, combinazione frequente
SLE Q = Stato limite d'esercizio, combinazione quasi permanente
SLD = Stato limite di danno
SLV = Stato limite di salvaguardia della vita
SLC = Stato limite di prevenzione del collasso
SLO = Stato limite di operatività
SLU I = Stato limite di resistenza al fuoco
T_R = Periodo di ritorno <anni>
Ag = Accelerazione orizzontale massima al sito
FO = Valore massimo del fattore di amplificazione dello spettro in accelerazione orizzontale
TC* = Periodo di inizio del tratto a velocità costante dello spettro in accelerazione orizzontale <sec>
S_s = Coefficiente di amplificazione stratigrafica
C_c = Coefficiente funzione della categoria del suolo

TCC	T _R	Ag <g>	FO	TC*	S _s	C _c
SLD	50	0.0200	2.556	0.171	1.20	1.56
SLV	475	0.0431	2.663	0.283	1.20	1.42

- Edificio esistente: No
- Tipo di opera: Opera ordinaria
- Vita nominale V_N : 50.00
- Classe d'uso: Classe II
- SL Esercizio: SLO-Pvr no, SLD-Pvr 63.00
- SL Ultimi: SLV-Pvr 10.00, SLC-Pvr no
- Classe di duttilità: Classe B
- Quota di riferimento: 0.00 <m>
- Altezza della struttura: 10.05 <m>
- Numero piani edificio: 1
- Coefficiente θ : 0.00
- Edificio regolare in altezza: no
- Edificio regolare in pianta: si
- Forze orizzontali convenzionali per stati limite non sismici: 1.00%
- Genera stati limite per verifiche di resistenza al fuoco: no

Dati di piano

Simbologia

Imp. = Numero dell'impalcato
 Lx = Dimensione del piano in dir. X
 Ly = Dimensione del piano in dir. Y
 Ex = Eccentricità in dir. X
 Ey = Eccentricità in dir. Y
 Ea = Eccentricità complessiva

Imp.	Lx <m>	Ly <m>	Ex <m>	Ey <m>	Ea <m>
1	39.00	16.60	1.95	0.83	2.12

Dati di calcolo

- Categoria del suolo di fondazione: B
 - Tipologia edificio: c.a. o prefabbricato a pareti accoppiate
 Coeff. C_1 : 0.05
 Periodo T_1 : 0.28222
 Coeff. λ SLD: 1.00
 Coeff. λ SLV: 1.00

Rapporto di sovraresistenza (α_u/α_1): 1.20
 Valore di riferimento del fattore di struttura (q_0): 3.60
 Fattore riduttivo (K_w): 0.50
 Fattore riduttivo regolarità in altezza (KR): 0.80
 Fattore di struttura (q): 1.44

- Categoria topografica: T1 - Superficie pianeggiante, pendii e rilievi isolati con inclinazione media $i \leq 15^\circ$
- Coeff. amplificazione topografica S_T : 1.00
- Fattore di struttura per sisma verticale (q_v): 1.50
- Modalità di calcolo modi di vibrare: Autovalori
- Numero modi: 120
- Modi da considerare: tali da movimentare una percentuale di massa pari a 85.00%
- Trascura modi con massa movimentata minore di: no
- Smorzamento spettro: 5.00%

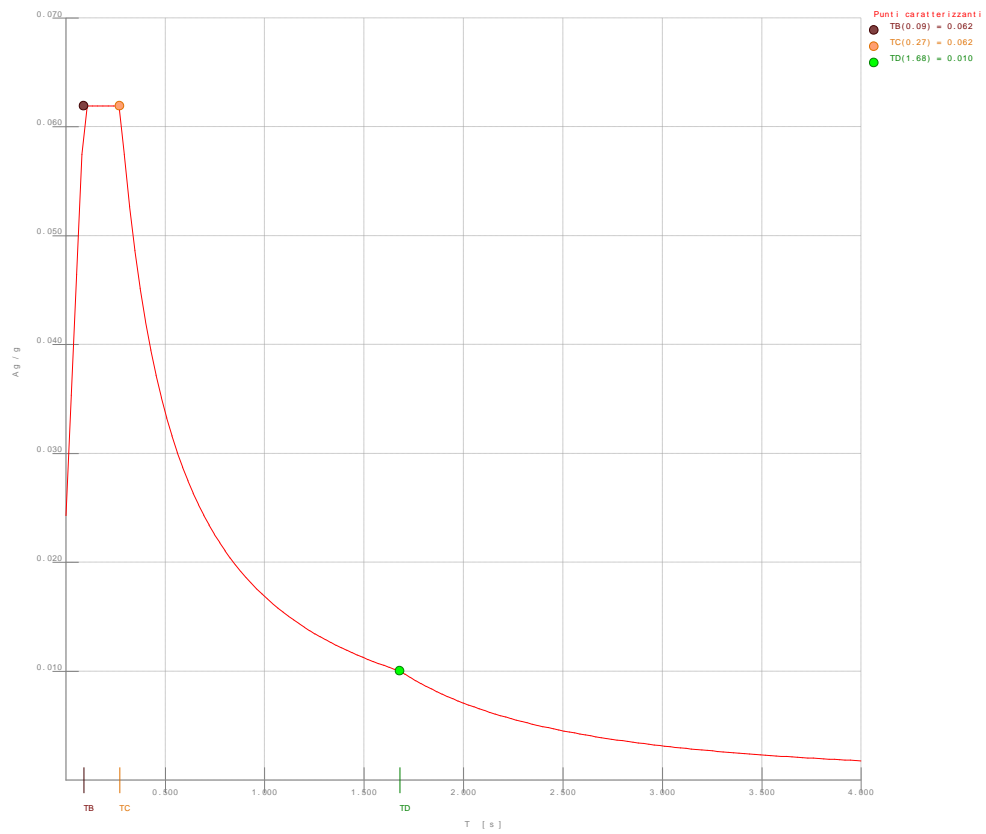


Figura 9: Spettro SLD

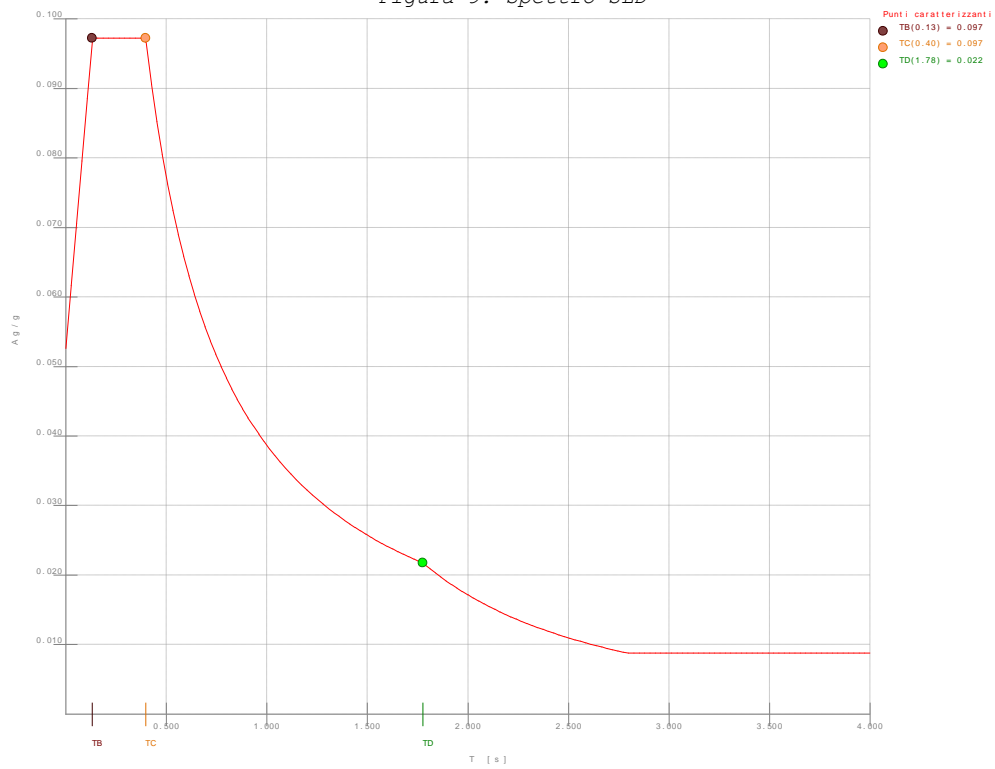


Figura 10: Spettro SLV

- Angolo di ingresso del sisma: 0.00 <grad>

Condizioni di carico elementari

Simbologia

CCE = Numero della condizione di carico elementare
Comm. = Commento
Mx = Moltiplicatore della massa in dir. X
My = Moltiplicatore della massa in dir. Y
Mz = Moltiplicatore della massa in dir. Z
Jpx = Moltiplicatore del momento d'inerzia intorno all'asse X
Jpy = Moltiplicatore del momento d'inerzia intorno all'asse Y
Jpz = Moltiplicatore del momento d'inerzia intorno all'asse Z
Tipo CCE = Tipo di CCE per calcolo agli stati limite
Sicurezza = Contributo alla sicurezza
F = a favore
S = a sfavore
A = ambigua
Variabilità = Tipo di variabilità
B = di base
I = indipendente
A = ambigua

CCE	Comm.	Mx	My	Mz	Jpx	Jpy	Jpz	Tipo CCE	Sicurezza	Variabilità
1	PP+Qp	1.00	1.00	0.00	0.00	0.00	1.00	13	S	--
2	Terreno e permanenti	1.00	1.00	0.00	0.00	0.00	1.00	14	S	--
3	Acqua serbatoio 1	1.00	1.00	0.00	0.00	0.00	1.00	11	S	B
4	Neve	1.00	1.00	0.00	0.00	0.00	1.00	8	S	B
5	Accidentale generico	1.00	1.00	0.00	0.00	0.00	1.00	7	S	B
6	sisma acqua serb 1	1.00	1.00	0.00	0.00	0.00	1.00	30	S	B
7	Acqua serbatoio 2	1.00	1.00	0.00	0.00	0.00	1.00	11	S	B
8	sisma terreno	1.00	1.00	0.00	0.00	0.00	1.00	30	S	B
9	sisma acqua serb 2	1.00	1.00	0.00	0.00	0.00	1.00	30	S	B

Elenco tipi CCE definiti

Simbologia

Tipo CCE = Tipo condizione di carico elementare

Comm. = Commento

Tipo = Tipologia

G = Permanente

Q = Variabile

I = Da ignorare

A = Azione eccezionale

P = Precompressione

Durata = Durata del carico

N = Non definita

P = Permanente

L = Lunga

M = Media

B = Breve

I = Istantanea

$\gamma_{\min.}$ = Coeff. $\gamma_{\min.}$

γ_{\max} = Coeff. γ_{\max}

ψ_0 = Coeff. ψ_0

ψ_1 = Coeff. ψ_1

ψ_2 = Coeff. ψ_2

$\psi_{0,s}$ = Coeff. ψ_0 sismico (D.M. 96)

Tipo CCE	Comm.	Tipo	Durata	$\gamma_{\min.}$	γ_{\max}	ψ_0	ψ_1	ψ_2	$\psi_{0,s}$
12	TEMPERATURA (EC)	Q	N	0.00	1.50	0.60	0.50	0.00	0.60
13	D.M. 08 Permanenti strutturali	G	N	1.00	1.30				
14	D.M. 08 Permanenti non strutturali	G	N	0.00	1.50				
11	Contenuto Serbatoi (EC)	Q	N	1.00	1.35	1.00	0.90	0.80	0.00
8	VARIABILI PER NEVE	Q	N	0.00	1.50	0.70	0.20	0.00	0.70
7	MAGAZZINI, ARCHIVI, SCALE	Q	N	0.00	1.50	0.70	0.60	0.30	0.70
30	CARICHI SISMICI	Q	I	1.00	1.00	0.00	0.00	1.00	1.00

Ambienti di carico

Simbologia

N Numero

Comm. Commento

1 PP+Qp

2 Terreno e permanenti

3 Acqua serbatoio 1

4 Neve

5 Accidentale generico

6 sisma acqua serb 1

7 Acqua serbatoio 2

8 sisma terreno

9 sisma acqua serb 2

F azioni orizzontali convenzionali

SLU Stato limite ultimo

SLR Stato limite per combinazioni rare

SLF Stato limite per combinazioni frequenti

SLQ\D Stato limite per combinazioni quasi permanenti o di danno

N	Comm.	1	2	3	4	5	6	7	8	9	F	S	SLU	SLR	SLF	SLQ
1	Sisma tutto pieno	si	si	si	si	si	si	si	si	si	no	si	si	no	no	no
2	Sisma pieno serb 1	si	si	si	si	si	si	no	si	no	no	si	si	no	no	no
3	Sisma pieno serb 2	si	si	no	si	si	no	si	si	si	no	si	si	no	no	no
4	Sisma vuoto	si	si	no	si	si	no	no	si	no	no	si	si	no	no	no
5	Statico tutto pieno	si	si	si	si	si	no	si	no	no	si	no	si	si	si	si
6	Statico pieno serb 1	si	si	si	si	si	no	no	no	no	si	no	si	si	si	si
7	Statico pieno serb 2	si	si	no	si	si	no	si	no	no	si	no	si	si	si	si
8	Statico vuoto	si	si	no	si	si	no	no	no	no	si	no	si	si	si	si

Elenco combinazioni di carico simboliche

Simbologia

CC = Numero della combinazione delle condizioni di carico elementari
Comm. = Commento
TCC = Tipo di combinazione di carico
SLU = Stato limite ultimo
SLU S = Stato limite ultimo (azione sismica)
SLE R = Stato limite d'esercizio, combinazione rara
SLE F = Stato limite d'esercizio, combinazione frequente
SLE Q = Stato limite d'esercizio, combinazione quasi permanente
SLD = Stato limite di danno
SLV = Stato limite di salvaguardia della vita
SLC = Stato limite di prevenzione del collasso
SLO = Stato limite di operatività
SLU I = Stato limite di resistenza al fuoco

CC	Comm.	TCC	1	2	3	4	5	6	7	8	9	F	S
1	Amb. 1 (Sisma)	SLU S	1	1	Ψ_2	Ψ_2	Ψ_2	Ψ_2	Ψ_2	Ψ_2	Ψ_2	-----	1
2	Amb. 2 (Sisma)	SLU S	1	1	Ψ_2	Ψ_2	Ψ_2	Ψ_2	-----	Ψ_2	-----	-----	1
3	Amb. 3 (Sisma)	SLU S	1	1	-----	Ψ_2	Ψ_2	-----	Ψ_2	Ψ_2	Ψ_2	-----	1
4	Amb. 4 (Sisma)	SLU S	1	1	-----	Ψ_2	Ψ_2	-----	-----	Ψ_2	-----	-----	1
5	Amb. 5 (SLU)	SLU	γ max	γ max	γ max	γ max	γ max	-----	γ max	-----	-----	1	-----
6	Amb. 5 (SLE R)	SLE R	1	1	1	1	1	-----	1	-----	-----	1	-----
7	Amb. 5 (SLE F)	SLE F	1	1	Ψ_1	Ψ_1	Ψ_1	-----	Ψ_1	-----	-----	1	-----
8	Amb. 5 (SLE Q)	SLE Q	1	1	Ψ_2	Ψ_2	Ψ_2	-----	Ψ_2	-----	-----	1	-----
9	Amb. 6 (SLU)	SLU	γ max	γ max	γ max	γ max	γ max	-----	-----	-----	-----	1	-----
10	Amb. 6 (SLE R)	SLE R	1	1	1	1	1	-----	-----	-----	-----	1	-----
11	Amb. 6 (SLE F)	SLE F	1	1	Ψ_1	Ψ_1	Ψ_1	-----	-----	-----	-----	1	-----
12	Amb. 6 (SLE Q)	SLE Q	1	1	Ψ_2	Ψ_2	Ψ_2	-----	-----	-----	-----	1	-----
13	Amb. 7 (SLU)	SLU	γ max	γ max	-----	γ max	γ max	-----	γ max	-----	-----	1	-----
14	Amb. 7 (SLE R)	SLE R	1	1	-----	1	1	-----	1	-----	-----	1	-----
15	Amb. 7 (SLE F)	SLE F	1	1	-----	Ψ_1	Ψ_1	-----	Ψ_1	-----	-----	1	-----
16	Amb. 7 (SLE Q)	SLE Q	1	1	-----	Ψ_2	Ψ_2	-----	Ψ_2	-----	-----	1	-----
17	Amb. 8 (SLU)	SLU	γ max	γ max	-----	γ max	γ max	-----	-----	-----	-----	1	-----
18	Amb. 8 (SLE R)	SLE R	1	1	-----	1	1	-----	-----	-----	-----	1	-----
19	Amb. 8 (SLE F)	SLE F	1	1	-----	Ψ_1	Ψ_1	-----	-----	-----	-----	1	-----
20	Amb. 8 (SLE Q)	SLE Q	1	1	-----	Ψ_2	Ψ_2	-----	-----	-----	-----	1	-----

Genera le combinazioni con un solo carico di tipo variabile come di base: no
Considera sollecitazioni dinamiche con segno dei modi principali: no

Combinazioni delle CCE

Simbologia

CC = Numero della combinazione delle condizioni di carico elementari
Comm. = Commento
TCC = Tipo di combinazione di carico
SLU = Stato limite ultimo
SLU S = Stato limite ultimo (azione sismica)
SLE R = Stato limite d'esercizio, combinazione rara
SLE F = Stato limite d'esercizio, combinazione frequente
SLE Q = Stato limite d'esercizio, combinazione quasi permanente
SLD = Stato limite di danno
SLV = Stato limite di salvaguardia della vita
SLC = Stato limite di prevenzione del collasso
SLO = Stato limite di operatività
SLU I = Stato limite di resistenza al fuoco
An. = Tipo di analisi
L = Lineare
NL = Non lineare
Bk = Buckling
S = Si
N = No

CC	Comm.	TCC	An.	Bk	1	2	3	4	5	6	7	8	9	F X	F Y	±S X	±S Y
1	CC 1 - Amb. 1 (SLU S) S +X+0.3Y	SLV	L	N	1.00	1.00	0.80	0.00	0.30	1.00	0.80	1.00	1.00	0.00	0.00	1.00	0.30
2	CC 2 - Amb. 1 (SLE) S +X+0.3Y	SLD	L	N	1.00	1.00	0.80	0.00	0.30	1.00	0.80	1.00	1.00	0.00	0.00	1.00	0.30
3	CC 3 - Amb. 1 (SLU S) S +X-0.3Y	SLV	L	N	1.00	1.00	0.80	0.00	0.30	1.00	0.80	1.00	1.00	0.00	0.00	1.00	-0.30
4	CC 4 - Amb. 1 (SLE) S +X-0.3Y	SLD	L	N	1.00	1.00	0.80	0.00	0.30	1.00	0.80	1.00	1.00	0.00	0.00	1.00	-0.30
5	CC 5 - Amb. 1 (SLU S) S +0.3X+Y	SLV	L	N	1.00	1.00	0.80	0.00	0.30	1.00	0.80	1.00	1.00	0.00	0.00	0.30	1.00
6	CC 6 - Amb. 1 (SLE) S +0.3X+Y	SLD	L	N	1.00	1.00	0.80	0.00	0.30	1.00	0.80	1.00	1.00	0.00	0.00	0.30	1.00
7	CC 7 - Amb. 1 (SLU S) S -0.3X+Y	SLV	L	N	1.00	1.00	0.80	0.00	0.30	1.00	0.80	1.00	1.00	0.00	0.00	-0.30	1.00
8	CC 8 - Amb. 1 (SLE) S -0.3X+Y	SLD	L	N	1.00	1.00	0.80	0.00	0.30	1.00	0.80	1.00	1.00	0.00	0.00	-0.30	1.00
9	CC 9 - Amb. 2 (SLU S) S +X+0.3Y	SLV	L	N	1.00	1.00	0.80	0.00	0.30	1.00	0.00	1.00	0.00	0.00	0.00	1.00	0.30
10	CC 10 - Amb. 2 (SLE) S +X+0.3Y	SLD	L	N	1.00	1.00	0.80	0.00	0.30	1.00	0.00	1.00	0.00	0.00	0.00	1.00	0.30
11	CC 11 - Amb. 2 (SLU S) S +X-0.3Y	SLV	L	N	1.00	1.00	0.80	0.00	0.30	1.00	0.00	1.00	0.00	0.00	0.00	1.00	-0.30
12	CC 12 - Amb. 2 (SLE) S +X-0.3Y	SLD	L	N	1.00	1.00	0.80	0.00	0.30	1.00	0.00	1.00	0.00	0.00	0.00	1.00	-0.30
13	CC 13 - Amb. 2 (SLU S) S +0.3X+Y	SLV	L	N	1.00	1.00	0.80	0.00	0.30	1.00	0.00	1.00	0.00	0.00	0.00	0.30	1.00
14	CC 14 - Amb. 2 (SLE) S +0.3X+Y	SLD	L	N	1.00	1.00	0.80	0.00	0.30	1.00	0.00	1.00	0.00	0.00	0.00	0.30	1.00

Elenco masse nodi

Simbologia

Nodo = Numero del nodo

Mo = Massa orizzontale

Nodo	Mo <kg>	Nodo	Mo <kg>	Nodo	Mo <kg>	Nodo	Mo <kg>	Nodo	Mo <kg>	Nodo	Mo <kg>
-3342	1257.45	-3341	486.72	-3340	221.28	-3339	444.38	-3338	5679.71	-3337	497.13
-3336	527.52	-3335	528.67	-3334	1259.42	-3333	1987.39	-3332	1989.03	-3331	2086.76
-3330	2088.48	-3329	1987.39	-3328	1989.03	-3327	1738.96	-3326	1740.40	-3325	1689.28
-3324	1690.67	-3323	1146.02	-3322	2266.59	-3321	2228.36	-3320	1618.20	-3319	1739.45
-3318	1522.56	-3317	1681.16	-3316	1837.50	-3315	1158.71	-3314	1540.22	-3313	1541.50
-3312	1157.53	-3311	1833.34	-3310	1682.15	-3309	1526.87	-3308	1738.24	-3307	1618.73
-3306	2229.55	-3305	2241.11	-3304	1041.54	-3303	344.04	-3302	344.04	-3301	1490.54
-3300	1491.77	-3299	344.04	-3298	229.36	-3297	424.31	-3296	424.31	-3295	1838.33
-3294	1839.85	-3293	424.31	-3292	282.88	-3291	481.65	-3290	481.65	-3289	2086.76
-3288	2088.48	-3287	481.65	-3286	321.10	-3285	470.18	-3284	470.18	-3283	2037.07
-3282	2038.75	-3281	470.18	-3280	313.46	-3279	1214.83	-3278	2266.59	-3277	2228.36
-3276	1618.20	-3275	1739.45	-3274	1522.56	-3273	1723.35	-3272	2126.16	-3271	1267.80
-3270	1257.45	-3269	486.72	-3268	221.28	-3267	444.38	-3266	5679.64	-3265	444.38
-3264	220.90	-3263	489.39	-3262	1259.42	-3261	1266.57	-3260	2121.23	-3259	1724.58
-3258	1526.87	-3257	1738.24	-3256	1618.73	-3255	2229.55	-3254	2241.11	-3253	1087.41
-3252	240.99	-3251	315.13	-3250	244.05	-3249	251.22	-3248	310.71	-3247	251.29
-3246	210.24	-3245	254.21	-3244	189.22	-3243	232.06	-3242	288.66	-3241	221.54
-3240	221.28	-3239	288.46	-3238	231.37	-3237	189.09	-3236	254.29	-3235	210.51
-3234	210.24	-3233	254.21	-3232	189.22	-3231	240.99	-3230	315.13	-3229	244.05
-3228	251.22	-3227	310.35	-3226	251.22	-3225	244.05	-3224	313.22	-3223	240.61
-3222	189.09	-3221	254.29	-3220	210.51	-3219	336.39	-3218	535.17	-3217	473.81
-3216	550.08	-3215	581.23	-3214	703.75	-3213	703.36	-3212	611.62	-3211	626.91
-3210	642.20	-3209	550.46	-3208	458.72	-3207	489.30	-3206	519.88	-3205	565.75
-3204	611.62	-3203	642.20	-3202	611.62	-3201	535.17	-3200	519.88	-3199	1039.76
-3198	986.24	-3197	755.21	-3196	245.72	-3195	209.07	-3194	303.18	-3193	437.21
-3192	257.67	-3191	197.18	-3190	323.11	-3189	503.15	-3188	791.28	-3187	1057.34
-3186	988.53	-3185	917.43	-3184	917.43	-3183	963.30	-3182	963.30	-3181	917.43
-3180	917.43	-3179	802.75	-3178	802.75	-3177	779.82	-3176	779.82	-3175	779.82
-3174	1055.04	-3173	787.46	-3172	210.24	-3171	160.55	-3170	240.83	-3169	584.86
-3168	708.72	-3167	506.83	-3166	232.06	-3165	184.13	-3164	281.97	-3163	522.51
-3162	711.01	-3161	711.01	-3160	522.27	-3159	281.63	-3158	184.06	-3157	230.79
-3156	507.45	-3155	710.72	-3154	584.46	-3153	240.66	-3152	160.55	-3151	210.51
-3150	787.70	-3149	1055.05	-3148	688.07	-3147	688.07	-3146	688.07	-3145	688.07
-3144	688.07	-3143	688.07	-3142	848.62	-3141	848.62	-3140	848.62	-3139	848.62
-3138	848.62	-3137	848.62	-3136	963.30	-3135	722.48	-3134	722.48	-3133	722.48
-3132	722.48	-3131	963.30	-3130	940.37	-3129	699.54	-3128	699.54	-3127	699.54
-3126	699.54	-3125	940.37	-3124	917.43	-3123	1055.04	-3122	787.46	-3121	210.24
-3120	160.55	-3119	240.83	-3118	584.86	-3117	708.72	-3116	549.03	-3115	736.52
-3114	942.09	-3113	986.24	-3112	755.21	-3111	245.72	-3110	209.07	-3109	303.18
-3108	437.21	-3107	257.67	-3106	196.75	-3105	323.25	-3104	437.21	-3103	230.43
-3102	197.61	-3101	310.06	-3100	761.33	-3099	988.53	-3098	941.51	-3097	987.38
-3096	802.75	-3095	710.72	-3094	584.46	-3093	240.66	-3092	160.55	-3091	210.51
-3090	787.70	-3089	1055.05	-3088	917.43	-3087	177.42	-3086	251.55	-3085	244.05
-3084	185.64	-3083	245.13	-3082	251.29	-3081	152.90	-3080	196.87	-3079	189.22
-3078	168.77	-3077	225.37	-3076	221.54	-3075	221.28	-3074	225.10	-3073	168.00
-3072	189.09	-3071	196.88	-3070	153.10	-3069	152.90	-3068	196.87	-3067	189.22
-3066	177.42	-3065	251.55	-3064	244.05	-3063	185.64	-3062	244.77	-3061	251.22
-3060	171.30	-3059	240.47	-3058	240.61	-3057	189.09	-3056	196.88	-3055	153.10
-3054	458.72	-3053	527.52	-3052	527.52	-3051	435.78	-3050	412.85	-3049	354.36
-3048	401.09	-3047	494.84	-3046	516.34	-3045	549.88	-3044	538.99	-3043	527.52
-3042	527.52	-3041	516.05	-3040	516.05	-3039	527.52	-3038	527.52	-3037	538.99
-3036	550.46	-3035	538.99	-3034	527.52	-3033	528.67	-3032	516.05	-3031	514.91
-3030	527.52	-3029	527.52	-3028	538.99	-3027	549.88	-3026	516.05	-3025	830.08
-3024	936.54	-3023	829.18	-3022	962.63	-3021	1017.15	-3020	1231.56	-3019	1230.89
-3018	1070.34	-3017	470.18	-3016	1097.09	-3015	481.65	-3014	1123.85	-3013	412.84
-3012	963.30	-3011	344.04	-3010	802.75	-3009	366.97	-3008	856.27	-3007	389.91
-3006	909.79	-3005	424.31	-3004	986.24	-3003	1014.24	-3002	748.80	-3001	983.37
-3000	777.74	-2999	508.60	-2998	527.52	-2997	1057.34	-2996	988.53	-2995	990.06
-2994	458.71	-2993	917.43	-2992	917.43	-2991	1070.34	-2990	481.65	-2989	963.30
-2988	963.30	-2987	1123.85	-2986	458.72	-2985	917.43	-2984	917.43	-2983	1070.34
-2982	401.38	-2981	802.75	-2980	802.75	-2979	936.54	-2978	389.91	-2977	779.82
-2976	779.82	-2975	909.79	-2974	974.77	-2973	1055.04	-2972	1016.82	-2971	617.36
-2970	791.28	-2969	708.72	-2968	759.99	-2967	701.02	-2966	764.19	-2965	711.01

< Omissis >

Totali masse nodi

Mo <kg>
2572430.00

Elenco modi di vibrare, masse partecipanti e coefficienti di partecipazione

Simbologia

Modo = Numero del modo di vibrare

C = * indica che il modo è stato considerato

Per. = Periodo

Diff. = Minima differenza percentuale dagli altri periodi

Φ_x = Coefficiente di partecipazione in dir. X

Φ_y = Coefficiente di partecipazione in dir. Y

Φ_z = Coefficiente di partecipazione in dir. Z

%Mx = Percentuale massa partecipante in dir. X

%My = Percentuale massa partecipante in dir. Y

%Mz = Percentuale massa partecipante in dir. Z

%Jpz = Percentuale momento d'inerzia polare partecipante intorno all'asse Z

Modo	C	Per.	Diff.	Φ_x	Φ_y	Φ_z	%Mx	%My	%Mz	%Jpz
1	*	0.17	27.69	-52.73	0.79	0.00	1.08	0.00	0.00	0.00
2	*	0.13	21.93	0.44	-131.44	0.00	0.00	6.72	0.00	0.00
3	*	0.11	0.96	-89.64	0.80	0.00	3.12	0.00	0.00	0.00
4		0.11	0.96	4.05	-3.84	0.00	0.01	0.01	0.00	0.00
5	*	0.09	4.43	-7.01	280.10	0.00	0.02	30.50	0.00	0.00
6	*	0.08	2.40	2.22	51.22	0.00	0.00	1.02	0.00	0.00
7		0.08	0.29	-10.24	-29.85	0.00	0.04	0.35	0.00	0.00
8		0.08	0.29	6.92	16.38	0.00	0.02	0.10	0.00	0.00
9		0.07	9.98	-1.93	-1.41	0.00	0.00	0.00	0.00	0.00
10	*	0.07	9.98	-13.61	347.59	0.00	0.07	46.97	0.00	0.00
11	*	0.06	1.65	42.22	2.56	0.00	0.69	0.00	0.00	0.00
12		0.05	1.65	3.40	-10.88	0.00	0.00	0.05	0.00	0.00
13	*	0.05	4.22	-322.79	-5.57	0.00	40.50	0.01	0.00	0.00
14	*	0.05	3.13	184.78	38.63	0.00	13.27	0.58	0.00	0.00
15	*	0.05	3.13	-210.52	15.72	0.00	17.23	0.10	0.00	0.00
16	*	0.04	0.77	-38.21	-4.56	0.00	0.57	0.01	0.00	0.00
17		0.04	0.77	0.77	19.28	0.00	0.00	0.14	0.00	0.00
18	*	0.04	0.16	27.88	0.16	0.00	0.30	0.00	0.00	0.00
19		0.04	0.16	2.97	-0.07	0.00	0.00	0.00	0.00	0.00
20	*	0.04	0.94	-53.02	4.94	0.00	1.09	0.01	0.00	0.00
21		0.04	0.40	5.06	-12.28	0.00	0.01	0.06	0.00	0.00
22	*	0.04	0.40	37.17	6.09	0.00	0.54	0.01	0.00	0.00
23		0.04	0.37	-10.90	4.89	0.00	0.05	0.01	0.00	0.00
24	*	0.04	0.37	-26.32	-6.31	0.00	0.27	0.02	0.00	0.00
25		0.04	0.42	17.13	7.36	0.00	0.11	0.02	0.00	0.00
26		0.04	0.20	5.83	1.48	0.00	0.01	0.00	0.00	0.00
27		0.04	0.20	-3.89	-1.41	0.00	0.01	0.00	0.00	0.00
28	*	0.04	1.48	71.30	2.30	0.00	1.98	0.00	0.00	0.00
29		0.04	0.23	1.95	-12.81	0.00	0.00	0.06	0.00	0.00
30		0.04	0.23	-10.05	-1.50	0.00	0.04	0.00	0.00	0.00
31		0.03	0.43	14.82	0.21	0.00	0.09	0.00	0.00	0.00
32		0.03	0.43	-7.36	1.48	0.00	0.02	0.00	0.00	0.00
33		0.03	0.38	-16.85	-10.83	0.00	0.11	0.05	0.00	0.00
34		0.03	0.38	-7.34	43.24	0.00	0.02	0.73	0.00	0.00
35		0.03	0.40	11.35	1.68	0.00	0.05	0.00	0.00	0.00
36		0.03	0.10	19.91	4.30	0.00	0.15	0.01	0.00	0.00
37		0.03	0.10	-20.85	-2.07	0.00	0.17	0.00	0.00	0.00
38		0.03	0.76	16.71	3.44	0.00	0.11	0.00	0.00	0.00
39		0.03	0.98	13.61	2.52	0.00	0.07	0.00	0.00	0.00
40		0.03	0.98	1.16	1.61	0.00	0.00	0.00	0.00	0.00
41		0.03	1.26	5.82	-1.65	0.00	0.01	0.00	0.00	0.00
42		0.03	0.11	11.35	-1.34	0.00	0.05	0.00	0.00	0.00
43		0.03	0.11	-2.88	-3.56	0.00	0.00	0.00	0.00	0.00
44		0.03	0.20	11.67	-1.13	0.00	0.05	0.00	0.00	0.00
45		0.03	0.20	-2.10	-5.98	0.00	0.00	0.01	0.00	0.00
46		0.03	0.07	-4.91	-0.50	0.00	0.01	0.00	0.00	0.00
47		0.03	0.07	0.53	-9.54	0.00	0.00	0.04	0.00	0.00
48		0.03	4.20	-6.36	-41.21	0.00	0.02	0.66	0.00	0.00
49		0.03	0.54	2.77	0.45	0.00	0.00	0.00	0.00	0.00
50		0.03	0.54	3.89	-3.40	0.00	0.01	0.00	0.00	0.00
51		0.03	0.47	-10.55	1.07	0.00	0.04	0.00	0.00	0.00
52		0.03	0.47	-16.77	3.48	0.00	0.11	0.00	0.00	0.00
53		0.03	0.67	-3.57	1.55	0.00	0.00	0.00	0.00	0.00
54		0.03	0.94	-9.57	-3.78	0.00	0.04	0.01	0.00	0.00
55	*	0.03	0.66	-52.96	3.85	0.00	1.09	0.01	0.00	0.00
56		0.03	0.66	-6.97	14.40	0.00	0.02	0.08	0.00	0.00
57		0.02	0.74	15.37	24.98	0.00	0.09	0.24	0.00	0.00
58		0.02	0.47	4.65	3.06	0.00	0.01	0.00	0.00	0.00
59		0.02	0.43	0.84	-10.94	0.00	0.00	0.05	0.00	0.00
60		0.02	0.43	-8.82	13.80	0.00	0.03	0.07	0.00	0.00
61		0.02	0.22	7.80	5.12	0.00	0.02	0.01	0.00	0.00
62		0.02	0.22	7.48	0.24	0.00	0.02	0.00	0.00	0.00
63	*	0.02	0.25	-48.01	6.66	0.00	0.90	0.02	0.00	0.00
64	*	0.02	0.10	-49.74	-4.85	0.00	0.96	0.01	0.00	0.00

65		0.02	0.10	-1.96	-5.78	0.00	0.00	0.01	0.00	0.00
66	*	0.02	0.17	28.86	3.73	0.00	0.32	0.01	0.00	0.00
67		0.02	0.43	-8.60	12.28	0.00	0.03	0.06	0.00	0.00
68		0.02	0.64	19.92	-5.20	0.00	0.15	0.01	0.00	0.00
69		0.02	0.64	-9.76	-11.29	0.00	0.04	0.05	0.00	0.00
70		0.02	1.28	12.62	-7.86	0.00	0.06	0.02	0.00	0.00
71		0.02	0.36	-3.03	-4.43	0.00	0.00	0.01	0.00	0.00
72		0.02	0.36	-4.45	2.83	0.00	0.01	0.00	0.00	0.00
73		0.02	2.27	2.46	29.03	0.00	0.00	0.33	0.00	0.00
74	*	0.02	2.27	35.21	6.19	0.00	0.48	0.01	0.00	0.00
75		0.02	0.80	-11.55	20.81	0.00	0.05	0.17	0.00	0.00
76		0.02	0.33	-5.51	-7.47	0.00	0.01	0.02	0.00	0.00
77		0.02	0.02	2.41	-6.38	0.00	0.00	0.02	0.00	0.00
78		0.02	0.02	-7.99	1.46	0.00	0.02	0.00	0.00	0.00
79		0.02	0.08	-4.29	-2.71	0.00	0.01	0.00	0.00	0.00
80		0.02	0.16	4.01	-3.44	0.00	0.01	0.00	0.00	0.00
81		0.02	0.16	1.02	0.64	0.00	0.00	0.00	0.00	0.00
82		0.02	0.20	-11.20	1.12	0.00	0.05	0.00	0.00	0.00
83		0.02	0.20	0.31	-5.45	0.00	0.00	0.01	0.00	0.00
84		0.02	0.70	-1.26	10.54	0.00	0.00	0.04	0.00	0.00
85		0.02	0.48	2.78	3.17	0.00	0.00	0.00	0.00	0.00
86		0.02	0.48	0.13	3.47	0.00	0.00	0.00	0.00	0.00
87		0.02	0.10	-12.78	-6.61	0.00	0.06	0.02	0.00	0.00
88		0.02	0.10	-14.48	-0.91	0.00	0.08	0.00	0.00	0.00
89		0.02	0.57	9.97	-0.28	0.00	0.04	0.00	0.00	0.00
90		0.02	0.57	-8.92	11.28	0.00	0.03	0.05	0.00	0.00
91		0.02	0.49	15.24	1.25	0.00	0.09	0.00	0.00	0.00
92		0.02	0.49	3.37	-4.17	0.00	0.00	0.01	0.00	0.00
93		0.02	0.48	-6.92	0.16	0.00	0.02	0.00	0.00	0.00
94		0.02	0.21	5.04	13.32	0.00	0.01	0.07	0.00	0.00
95		0.02	0.21	-6.95	-1.12	0.00	0.02	0.00	0.00	0.00
96		0.02	0.66	5.00	-8.13	0.00	0.01	0.03	0.00	0.00
97		0.02	0.53	2.80	-9.74	0.00	0.00	0.04	0.00	0.00
98		0.02	0.53	4.07	3.56	0.00	0.01	0.00	0.00	0.00
99		0.02	0.55	-0.89	2.55	0.00	0.00	0.00	0.00	0.00
100		0.02	0.21	-8.95	14.80	0.00	0.03	0.09	0.00	0.00
101		0.02	0.21	0.62	1.46	0.00	0.00	0.00	0.00	0.00
102		0.02	0.34	-7.30	-4.73	0.00	0.02	0.01	0.00	0.00
103		0.02	0.28	-9.09	2.84	0.00	0.03	0.00	0.00	0.00
104		0.02	0.28	-7.44	-4.32	0.00	0.02	0.01	0.00	0.00
105		0.02	0.49	-14.66	-1.76	0.00	0.08	0.00	0.00	0.00
106		0.02	0.34	4.72	5.36	0.00	0.01	0.01	0.00	0.00
107		0.02	0.34	-12.00	2.74	0.00	0.06	0.00	0.00	0.00
108		0.02	0.29	-2.03	-4.76	0.00	0.00	0.01	0.00	0.00
109		0.02	0.29	-6.08	-7.11	0.00	0.01	0.02	0.00	0.00
110		0.02	0.25	-5.89	-8.48	0.00	0.01	0.03	0.00	0.00
111	*	0.02	0.20	41.38	-0.94	0.00	0.67	0.00	0.00	0.00
112		0.02	0.20	-7.03	14.53	0.00	0.02	0.08	0.00	0.00
113		0.02	0.63	-4.90	2.35	0.00	0.01	0.00	0.00	0.00
114		0.02	0.24	-1.27	3.90	0.00	0.00	0.01	0.00	0.00
115		0.02	0.24	2.26	3.81	0.00	0.00	0.01	0.00	0.00
116		0.02	0.44	10.95	-2.78	0.00	0.05	0.00	0.00	0.00
117		0.02	0.25	4.40	11.71	0.00	0.01	0.05	0.00	0.00
118		0.02	0.25	6.98	-3.53	0.00	0.02	0.00	0.00	0.00
119		0.02	0.21	10.27	-8.25	0.00	0.04	0.03	0.00	0.00
120		0.02	0.21	4.74	4.28	0.00	0.01	0.01	0.00	0.00
Tot.cons.							85.16	85.99	0.00	0.00

Spostamenti dei nodi allo stato limite ultimo

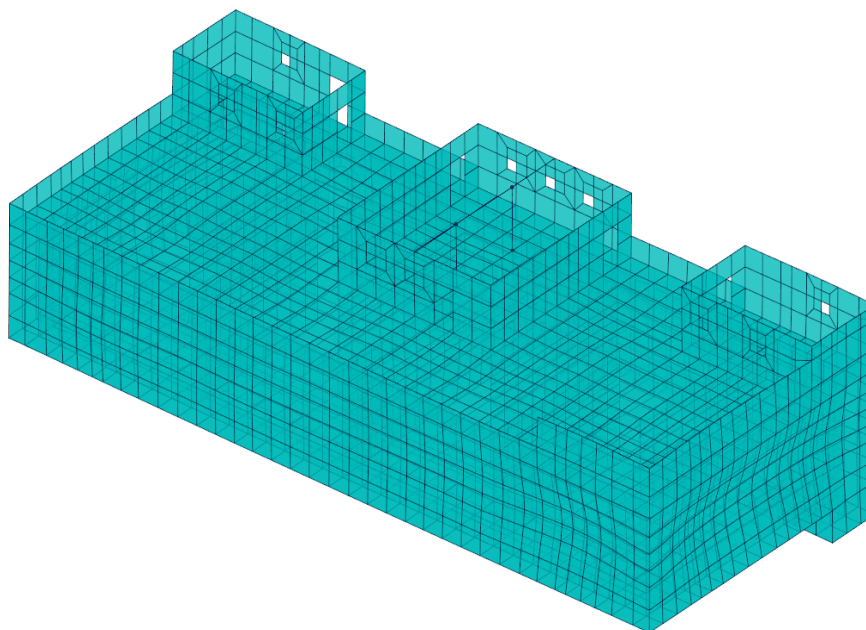


Figura 11: Deformata nodale dell'intera struttura a SLU nella CC 65

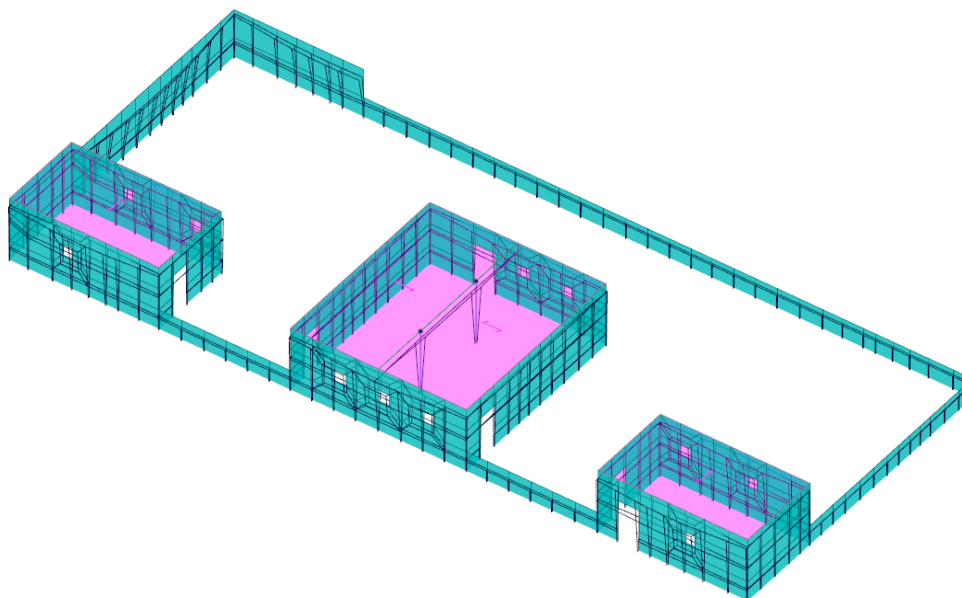


Figura 12: Deformata nodale della copertura a SLV nella CC 21

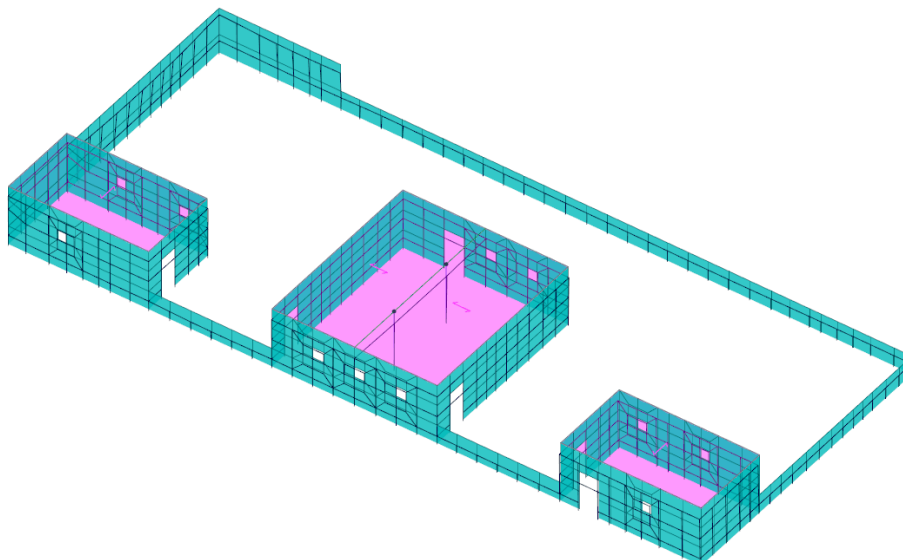


Figura 13: Deformata nodale dei nodi di copertura a SLU nella CC 65

Simbologia

Nodo = Numero del nodo

Sx = Spostamento in dir. X

CC = Numero della combinazione delle condizioni di carico elementari

Sy = Spostamento in dir. Y

Sz = Spostamento in dir. Z

Rx = Rotazione intorno all'asse X

Ry = Rotazione intorno all'asse Y

Rz = Rotazione intorno all'asse Z

Nodo		Sx <cm>	CC	Sy <cm>	CC	Sz <cm>	CC	Rx <rad>	CC	Ry <rad>	CC	Rz <rad>	CC
-3342	Max.	0.05	65	-0.01	21	-0.12	29	0.00	52	0.00	65	0.00	13
-3342	Min.	-0.06	50	-0.06	13	-0.30	35	0.00	21	0.00	50	0.00	21
-3334	Max.	0.06	65	-0.01	13	-0.12	29	0.00	68	0.00	65	0.00	13
-3334	Min.	-0.05	50	-0.07	21	-0.30	35	0.00	13	0.00	50	0.00	21
-3323	Max.	0.02	17	-0.02	29	-0.12	13	0.00	68	0.00	25	0.00	13
-3323	Min.	-0.04	50	-0.07	36	-0.26	68	0.00	13	0.00	34	0.00	21
-3315	Max.	0.02	17	-0.02	21	-0.13	29	0.00	13	0.00	25	0.00	13
-3315	Min.	-0.04	50	-0.08	13	-0.29	36	0.00	21	0.00	34	0.00	21
-3312	Max.	0.07	17	-0.00	13	-0.16	29	0.00	21	0.00	17	0.00	13
-3312	Min.	0.00	54	-0.07	21	-0.36	36	0.00	13	0.00	62	0.00	21
-3304	Max.	0.06	17	-0.03	29	-0.14	17	0.00	5	0.00	33	0.00	13
-3304	Min.	0.00	54	-0.07	5	-0.34	50	0.00	29	0.00	25	0.00	21
-3279	Max.	0.01	17	-0.02	29	-0.13	13	0.00	68	0.00	17	0.00	13
-3279	Min.	-0.04	50	-0.07	36	-0.30	68	0.00	13	0.00	50	0.00	21
-3271	Max.	0.01	17	-0.02	21	-0.14	29	0.00	13	0.00	21	0.00	5
-3271	Min.	-0.04	50	-0.08	13	-0.31	36	0.00	21	0.00	50	0.00	29
-3270	Max.	0.03	65	-0.01	21	-0.15	29	0.00	13	0.00	65	0.00	21
-3270	Min.	-0.05	50	-0.07	13	-0.34	36	0.00	21	0.00	50	0.00	13
-3262	Max.	0.03	65	-0.02	13	-0.16	29	0.00	68	0.00	65	0.00	21
-3262	Min.	-0.05	50	-0.07	21	-0.36	36	0.00	13	0.00	50	0.00	13
-3261	Max.	0.04	65	-0.00	13	-0.16	29	0.00	21	0.00	17	0.00	21
-3261	Min.	-0.02	50	-0.07	21	-0.36	36	0.00	13	0.00	50	0.00	13
-3253	Max.	0.04	65	-0.03	29	-0.15	21	0.00	5	0.00	65	0.00	13
-3253	Min.	-0.02	50	-0.07	5	-0.37	52	0.00	29	0.00	50	0.00	21
-3219	Max.	0.05	65	-0.05	79	-0.09	29	0.00	9	0.00	65	0.00	17
-3219	Min.	-0.01	54	-0.24	5	-0.27	35	0.00	79	0.00	54	0.00	63
-3212	Max.	0.05	65	-0.04	13	-0.06	21	0.00	21	0.00	17	0.00	17
-3212	Min.	-0.01	54	-0.08	21	-0.26	51	0.00	63	0.00	54	0.00	9
-3054	Max.	0.00	17	-0.01	29	-0.08	13	0.00	13	0.00	17	0.00	68
-3054	Min.	-0.04	50	-0.04	5	-0.21	67	0.00	21	0.00	50	0.00	13

< Omissis >

Max assoluto = 0.35 cm (Sx nodo -1455 CC65)

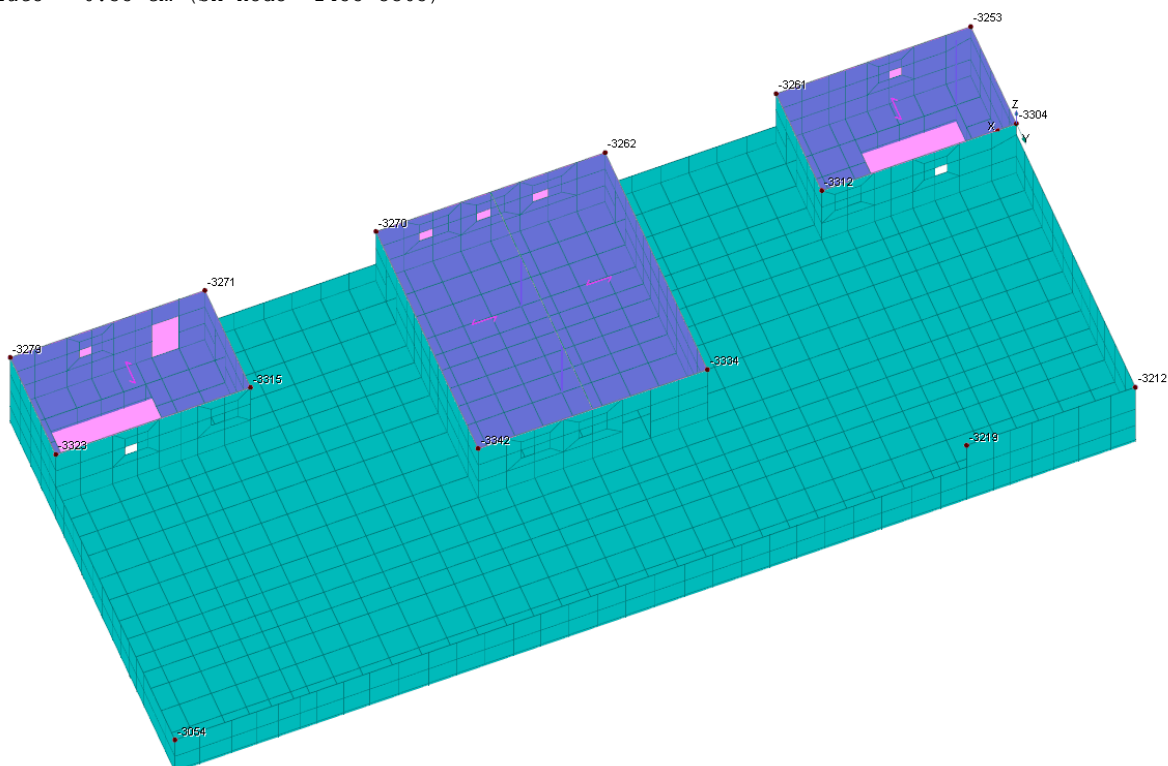
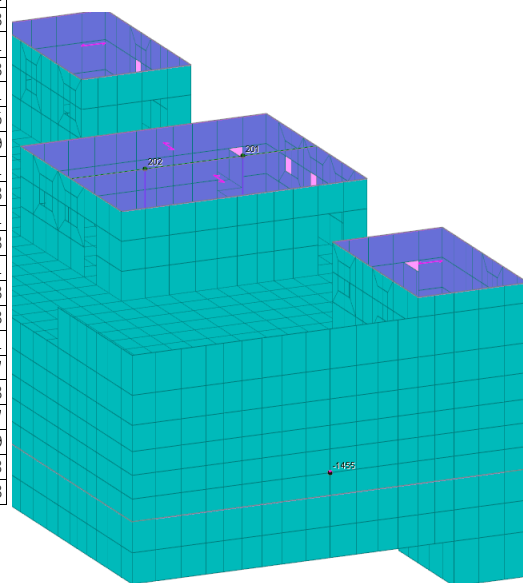


Figura 14: Identificazione nodi di copertura

Tensioni sul terreno

Simbologia

Nodo = Numero del nodo

CC = Numero della combinazione delle condizioni di carico elementari

σ_t = Tensione sul terreno

Nodo	CC	σ_t <daN/cm ² >	Nodo	CC	σ_t <daN/cm ² >	Nodo	CC	σ_t <daN/cm ² >	Nodo	CC	σ_t <daN/cm ² >	Nodo	CC	σ_t <daN/cm ² >
-747	21	1.51	-747	21	1.35	-746	21	1.50	-746	21	1.35	-745	21	1.52
-745	21	1.37	-744	21	1.54	-744	21	1.39	-743	21	1.55	-743	21	1.40
-742	21	1.56	-742	21	1.42	-741	21	1.57	-741	21	1.42	-740	21	0.79
-740	21	0.72	-739	21	0.79	-739	21	0.72	-738	21	0.79	-738	21	0.72
-737	21	0.79	-737	21	0.72	-736	21	0.79	-736	21	0.72	-735	21	0.79
-735	21	0.72	-734	21	0.78	-734	21	0.71	-733	21	0.78	-733	21	0.71
-732	21	0.77	-732	21	0.70	-731	21	0.76	-731	21	0.69	-730	21	0.75
-730	21	0.68	-729	21	0.74	-729	21	0.67	-728	21	0.73	-728	21	0.66
-727	21	0.72	-727	21	0.65	-726	21	0.71	-726	21	0.64	-725	21	0.70
-725	21	0.62	-724	21	0.68	-724	21	0.61	-723	21	0.66	-723	21	0.59
-722	21	0.64	-722	21	0.57	-721	21	0.62	-721	21	0.54	-720	21	0.60
-720	21	0.52	-719	21	0.58	-719	21	0.50	-718	21	0.56	-718	21	0.47
-717	21	0.53	-717	21	0.45	-716	21	0.52	-716	21	0.43	-715	21	0.50
-715	21	0.41	-714	21	0.49	-714	21	0.39	-713	21	0.47	-713	21	0.37
-712	21	0.45	-712	21	0.35	-711	21	0.42	-711	21	0.32	-710	21	1.51
-710	21	1.38	-709	21	1.44	-709	21	1.31	-708	21	1.40	-708	21	1.28
-707	21	1.39	-707	21	1.28	-706	21	1.40	-706	21	1.29	-705	21	1.42
-705	21	1.31	-704	21	1.45	-704	21	1.34	-703	21	0.74	-703	21	0.69
-702	21	0.76	-702	21	0.70	-701	21	0.77	-701	21	0.72	-700	21	0.78
-700	21	0.73	-699	21	0.78	-699	21	0.73	-698	21	0.78	-698	21	0.72
-697	21	0.77	-697	21	0.72	-696	21	0.77	-696	21	0.71	-695	21	0.76
-695	21	0.71	-694	21	0.76	-694	21	0.70	-693	21	0.75	-693	21	0.69
-692	21	0.73	-692	21	0.67	-691	21	0.72	-691	21	0.65	-690	21	0.69
-690	21	0.63	-689	21	0.67	-689	21	0.61	-688	21	0.66	-688	21	0.60
-687	21	0.64	-687	21	0.58	-686	21	0.63	-686	21	0.57	-685	21	0.61
-685	21	0.55	-684	21	0.60	-684	21	0.53	-683	21	0.59	-683	21	0.52
-682	21	0.58	-682	21	0.51	-681	21	0.57	-681	21	0.50	-680	21	0.56
-680	21	0.49	-679	21	0.55	-679	21	0.48	-678	21	0.53	-678	21	0.46
-677	21	0.52	-677	21	0.45	-676	21	0.50	-676	21	0.42	-675	21	0.47
-675	21	0.39	-674	21	0.45	-674	21	0.36	-673	21	1.53	-673	21	1.42
-672	21	1.40	-672	21	1.30	-671	21	1.25	-671	21	1.16	-670	21	1.19
-670	21	1.11	-669	21	1.19	-669	21	1.12	-668	21	1.23	-668	21	1.15
-667	21	1.27	-667	21	1.20	-666	21	0.68	-666	21	0.64	-665	21	0.72
-665	21	0.68	-664	21	0.77	-664	21	0.72	-663	21	0.79	-663	21	0.75
-662	21	0.78	-662	21	0.74	-661	21	0.77	-661	21	0.73	-660	21	0.76
-660	21	0.71	-659	21	0.75	-659	21	0.71	-658	21	0.75	-658	21	0.70
-657	21	0.74	-657	21	0.70	-656	21	0.74	-656	21	0.69	-655	21	0.74
-655	21	0.68	-654	21	0.69	-654	21	0.64	-653	21	0.64	-653	21	0.59
-652	21	0.60	-652	21	0.56	-651	21	0.58	-651	21	0.54	-650	21	0.57
-650	21	0.53	-649	21	0.57	-649	21	0.53	-648	21	0.58	-648	21	0.53
-647	21	0.59	-647	21	0.54	-646	21	0.57	-646	21	0.52	-645	21	0.55
-645	21	0.50	-644	21	0.53	-644	21	0.49	-643	21	0.53	-643	21	0.48
-642	21	0.52	-642	21	0.47	-641	21	0.52	-641	21	0.47	-640	21	0.52
-287	21	0.89	-287	21	0.87	-286	21	0.88	-286	21	0.86	-285	21	0.87
-285	21	0.85	-284	21	0.80	-284	21	0.78	-283	21	0.74	-283	21	0.73
-282	21	0.73	-282	21	0.72	-281	21	0.73	-281	21	0.72	-280	21	0.67
-280	21	0.65	-279	21	0.60	-279	21	0.58	-278	21	0.57	-278	21	0.55
-277	21	0.57	-277	21	0.54	-276	21	0.56	-276	21	0.53	-275	21	0.57
-275	21	0.55	-274	21	0.62	-274	21	0.60	-273	21	0.68	-273	21	0.66
-272	21	0.68	-272	21	0.66	-271	21	0.67	-271	21	0.65	-270	21	0.68
-270	21	0.65	-269	21	0.70	-269	21	0.67	-268	21	0.72	-268	21	0.69
-267	21	0.69	-267	21	0.65	-266	21	1.89	-266	21	1.79	-265	21	1.74
-265	21	1.65	-264	21	1.55	-264	21	1.47	-263	21	1.49	-263	21	1.43
-262	21	1.54	-262	21	1.47	-261	21	1.63	-261	21	1.58	-260	21	1.70
-260	21	1.65	-259	21	0.86	-259	21	0.83	-258	21	0.84	-258	21	0.82
-257	21	0.84	-257	21	0.81	-256	21	0.84	-256	21	0.81	-255	21	0.85
-255	21	0.83	-254	21	0.88	-254	21	0.86	-253	21	0.93	-253	21	0.90
-252	21	0.96	-252	21	0.93	-251	21	0.94	-251	21	0.91	-250	21	0.90
-250	21	0.88	-249	21	0.90	-249	21	0.87	-248	21	0.89	-248	21	0.86
-247	21	0.83	-247	21	0.80	-246	21	0.77	-246	21	0.74	-245	21	0.76
-245	21	0.74	-244	21	0.76	-244	21	0.74	-243	21	0.69	-243	21	0.67
-242	21	0.61	-242	21	0.59	-241	21	0.57	-241	21	0.54	-240	21	0.55
-240	21	0.52	-239	21	0.55	-239	21	0.52	-238	21	0.58	-238	21	0.56
-237	21	0.64	-237	21	0.62	-236	21	0.71	-236	21	0.68	-235	21	0.71
-235	21	0.68	-234	21	0.71	-234	21	0.67	-233	21	0.71	-233	21	0.67
-232	21	0.73	-232	21	0.69	-231	21	0.75	-231	21	0.70	-230	21	0.72
-230	21	0.67	-229	21	1.92	-229	21	1.81	-228	21	1.81	-228	21	1.71
-227	21	1.69	-227	21	1.60	-226	21	1.66	-226	21	1.57	-225	21	1.69
-225	21	1.60	-224	21	1.74	-224	21	1.66	-223	21	1.77	-223	21	1.70
-222	21	0.87	-222	21	0.84	-221	21	0.85	-221	21	0.82	-220	21	0.84
-220	21	0.81	-219	21	0.84	-219	21	0.81	-218	21	0.85	-218	21	0.82

-215	21	0.94	-214	21	0.95	-214	21	0.92	-213	21	0.92	-213	21	0.89
-212	21	0.91	-212	21	0.88	-211	21	0.91	-211	21	0.87	-210	21	0.84
-210	21	0.81	-209	21	0.79	-209	21	0.76	-208	21	0.78	-208	21	0.75
-207	21	0.79	-207	21	0.75	-206	21	0.72	-206	21	0.69	-205	21	0.64
-205	21	0.61	-204	21	0.58	-204	21	0.55	-203	21	0.56	-203	21	0.53
-202	21	0.57	-202	21	0.54	-201	21	0.61	-201	21	0.58	-200	21	0.67
-200	21	0.64	-199	21	0.74	-199	21	0.70	-198	21	0.75	-198	21	0.70
-197	21	0.75	-197	21	0.70	-196	21	0.75	-196	21	0.70	-195	21	0.76
-195	21	0.71	-194	21	0.77	-194	21	0.71	-193	21	0.74	-193	21	0.68
-192	21	1.97	-192	21	1.84	-191	21	1.91	-191	21	1.79	-190	21	1.87
-190	21	1.75	-189	21	1.86	-189	21	1.74	-188	21	1.87	-188	21	1.75
-187	21	1.88	-187	21	1.77	-186	21	1.85	-186	21	1.76	-185	21	0.90
-185	21	0.86	-184	21	0.88	-184	21	0.84	-183	21	0.86	-183	21	0.83
-182	21	0.86	-182	21	0.83	-181	21	0.88	-181	21	0.84	-180	21	0.91
-180	21	0.87	-179	21	0.96	-179	21	0.92	-178	21	0.99	-178	21	0.95
-177	21	0.97	-177	21	0.93	-176	21	0.94	-176	21	0.90	-175	21	0.93
-175	21	0.89	-174	21	0.93	-174	21	0.88	-173	21	0.87	-173	21	0.83
-172	21	0.82	-172	21	0.78	-171	21	0.82	-171	21	0.78	-170	21	0.82
-170	21	0.78	-169	21	0.76	-169	21	0.72	-168	21	0.69	-168	21	0.65
-167	21	0.64	-167	21	0.60	-166	21	0.62	-166	21	0.58	-165	21	0.62
-586	68	1.10	-585	68	1.09	-584	68	1.08	-583	68	1.07	-582	68	1.07
-581	68	1.04	-580	68	0.93	-579	68	0.80	-578	68	0.70	-577	68	0.65
-576	68	0.65	-575	68	0.68	-574	68	0.75	-573	68	0.79	-572	68	0.74
-571	68	0.66	-570	68	0.62	-569	68	0.60	-568	68	0.60	-567	68	0.62
-566	68	0.65	-565	68	0.71	-564	68	0.74	-563	68	0.71	-562	68	2.22
-561	68	1.95	-560	68	1.56	-559	68	1.38	-558	68	1.38	-557	68	1.50
-556	68	1.64	-555	68	0.94	-554	68	1.04	-553	68	1.14	-552	68	1.19
-551	68	1.18	-550	68	1.15	-549	68	1.13	-548	68	1.12	-547	68	1.11
-546	68	1.09	-545	68	1.09	-544	68	1.06	-543	68	0.95	-542	68	0.80
-541	68	0.70	-540	68	0.66	-539	68	0.65	-538	68	0.68	-537	68	0.75
-536	68	0.79	-535	68	0.74	-534	68	0.66	-533	68	0.62	-532	68	0.60
-531	68	0.60	-530	68	0.62	-529	68	0.66	-528	68	0.72	-527	68	0.77
-526	68	0.74	-525	68	2.27	-524	68	1.97	-523	68	1.57	-522	68	1.40
-521	68	1.42	-520	68	1.58	-519	68	1.73	-518	68	0.99	-517	68	1.08
-516	68	1.16	-515	68	1.21	-514	68	1.21	-513	68	1.18	-512	68	1.18
-511	68	1.17	-510	68	1.15	-509	68	1.12	-508	68	1.11	-507	68	1.08
-506	68	0.97	-505	68	0.83	-504	68	0.74	-503	68	0.71	-502	68	0.69
-501	68	0.70	-500	68	0.76	-499	68	0.80	-498	68	0.75	-497	68	0.68
-496	68	0.65	-495	68	0.64	-494	68	0.64	-493	68	0.65	-492	68	0.68
-491	68	0.75	-490	68	0.80	-489	68	0.76	-488	68	2.31	-487	68	2.01
-486	68	1.60	-485	68	1.45	-484	68	1.50	-483	68	1.70	-482	68	1.88
-481	68	1.05	-480	68	1.12	-479	68	1.20	-478	68	1.24	-477	68	1.23
-476	68	1.22	-475	68	1.22	-474	68	1.23	-473	68	1.19	-472	68	1.16
-471	68	1.13	-470	68	1.10	-469	68	0.99	-468	68	0.86	-467	68	0.80
-466	68	0.79	-465	68	0.75	-464	68	0.74	-463	68	0.78	-462	68	0.81
-461	68	0.76	-460	68	0.70	-459	68	0.69	-458	68	0.71	-457	68	0.69
-456	68	0.69	-455	68	0.72	-454	68	0.78	-453	68	0.83	-452	68	0.79
-451	68	2.36	-450	68	2.06	-449	68	1.65	-448	68	1.51	-447	68	1.59
-446	68	1.82	-445	68	2.02	-444	68	1.11	-443	68	1.17	-442	68	1.23
-441	68	1.27	-440	68	1.26	-439	68	1.25	-438	68	1.27	-437	68	1.28
-436	68	1.24	-435	68	1.19	-434	68	1.16	-433	68	1.13	-432	68	1.03
-196	68	1.00	-195	68	1.02	-194	68	1.04	-193	68	1.01	-192	68	2.73
-191	68	2.65	-190	68	2.60	-189	68	2.60	-188	68	2.61	-187	68	2.63
-186	68	2.62	-185	68	1.29	-184	68	1.26	-183	68	1.24	-182	68	1.24
-181	68	1.26	-180	68	1.30	-179	68	1.36	-178	68	1.40	-177	68	1.37
-176	68	1.33	-175	68	1.31	-174	68	1.30	-173	68	1.21	-172	68	1.13
-171	68	1.12	-170	68	1.12	-169	68	1.04	-168	68	0.93	-167	68	0.86
-166	68	0.83	-165	68	0.83	-164	68	0.88	-163	68	0.95	-162	68	1.03
-161	68	1.06	-160	68	1.06	-159	68	1.05	-158	68	1.05	-157	68	1.06
-156	68	1.04	-152	68	1.37	-151	68	1.36	-150	68	1.34	-149	68	1.32
-148	68	1.31	-147	68	1.31	-146	68	1.33	-145	68	1.36	-144	68	1.40
-143	68	1.43	-142	68	1.40	-141	68	1.37	-140	68	1.35	-139	68	1.33
-138	68	1.27	-137	68	1.21	-136	68	1.19	-135	68	1.18	-134	68	1.13
-133	68	1.06	-132	68	1.02	-131	68	1.00	-130	68	0.99	-129	68	1.01
-128	68	1.04	-127	68	1.08	-126	68	1.10	-117	68	1.40	-116	68	1.41
-115	68	1.42	-114	68	1.42	-113	68	1.42	-112	68	1.42	-111	68	1.43
-110	68	1.44	-109	68	1.45	-108	68	1.46	-107	68	1.44	-106	68	1.42
-105	68	1.40	-104	68	1.38	-103	68	1.34	-102	68	1.31	-101	68	1.28
-100	68	1.26	-99	68	1.24	-98	68	1.21	-97	68	1.19	-96	68	1.17
-95	68	1.16	-94	68	1.15	-93	68	1.14	-92	68	1.13	-91	68	1.13
-80	68	1.44	-79	68	1.45	-78	68	1.50	-77	68	1.52	-76	68	1.52
-75	68	1.52	-74	68	1.52	-73	68	1.51	-72	68	1.50	-71	68	1.49
-70	68	1.48	-69	68	1.46	-68	68	1.45	-67	68	1.43	-66	68	1.41
-65	68	1.39	-64	68	1.37	-63	68	1.35	-62	68	1.33	-61	68	1.31
-60	68	1.29	-59	68	1.27	-58	68	1.25	-57	68	1.23	-56	68	1.21
-55	68	1.18	-54	68	1.16	-48	68	1.36	-47	68	1.34	-46	68	1.32
-45	68	1.31	-44	68	1.32	-43	68	1.34	-42	68	1.08	-41	68	1.06
-40	68	1.06	-39	68	1.06	-38	68	1.06	-37	68	1.06	-36	68	1.38
-35	68	1.35	-34	68	1.32	-33	68	1.29	-32	68	1.31	-31	68	1.36

< Omissis >

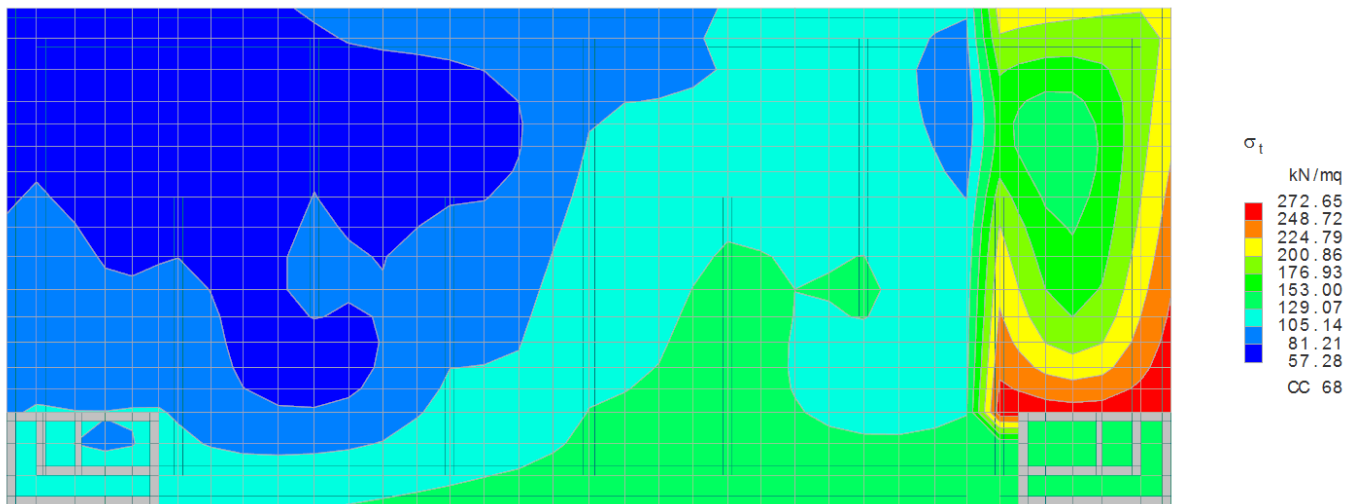


Figura 15: Mappa dello stato tensionale massimo sul terreno a SLU in condizioni statiche (CC 68)

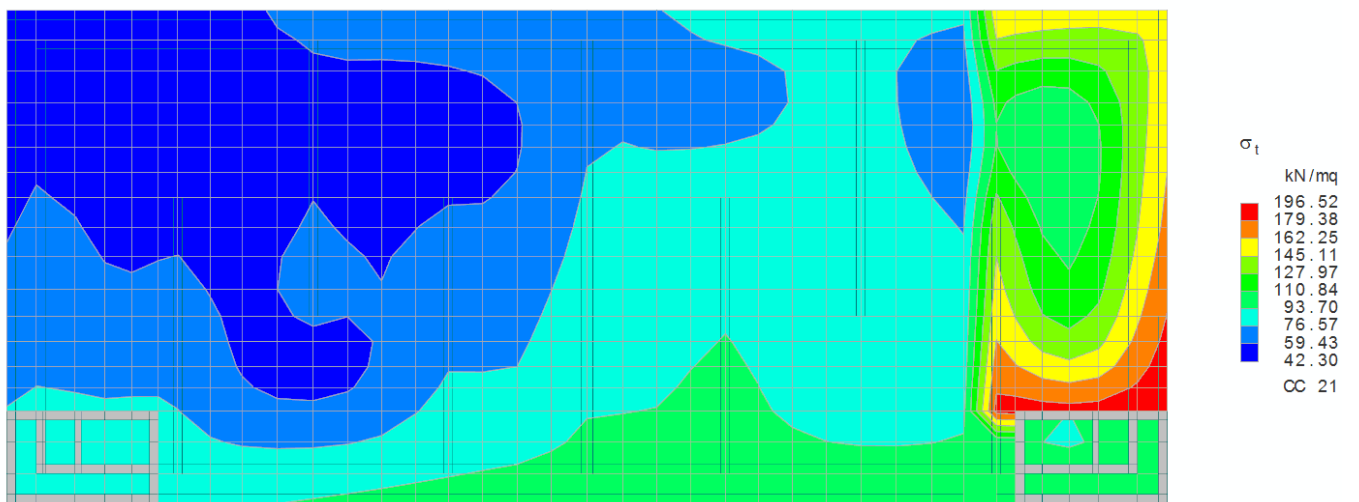


Figura 16: Mappa dello stato tensionale massimo sul terreno a SLU in condizioni sismiche (CC 21)

Sollecitazioni aste

Simbologia

Asta = Numero dell'asta

N1 = Nodo1

N2 = Nodo2

X = Coordinata progressiva rispetto al nodo iniziale

N = Sforzo normale

CC = Numero della combinazione delle condizioni di carico elementari

Ty = Taglio in dir. Y

Mz = Momento flettente intorno all'asse Z

Tz = Taglio in dir. Z

My = Momento flettente intorno all'asse Y

Mx = Momento torcente intorno all'asse X

Asta	N1	N2		X <cm>	N <daN>	CC	Ty <daN>	CC	Mz <daNm>	CC	Tz <daN>	CC	My <daNm>	CC	Mx <daNm>	CC
1	101	201	Max	0.00	-13255.60	5	804.93	29	425.77	5	229.30	9	576.90	17	77.85	9
1	101	201	Max	330.00	-12513.10	5	804.93	29	1456.79	21	229.30	9	208.55	9	77.85	9
1	101	201	Min.	0.00	-25578.70	83	-156.95	5	-1199.96	29	-242.12	17	-548.15	9	-78.90	17
1	101	201	Min.	330.00	-24613.50	83	-156.95	5	-92.63	13	-242.12	17	-222.13	17	-78.90	17
2	102	202	Max	0.00	-13275.20	5	210.30	29	1143.54	5	276.48	9	684.39	17	65.44	9
2	102	202	Max	330.00	-12532.70	5	210.30	29	176.01	29	276.48	9	228.30	9	65.44	9
2	102	202	Min.	0.00	-25579.70	84	-774.97	5	-517.99	29	-278.48	17	-684.13	9	-70.35	17
2	102	202	Min.	330.00	-24614.40	84	-774.97	5	-1413.86	5	-278.48	17	-234.63	17	-70.35	17
218	201	-3266	Max	0.00	1902.48	29	1200.38	17	1619.55	9	11299.90	83	-3251.31	5	286.26	9
218	201	-3266	Max	174.44					62.69	83			2344.06	83		
218	201	-3266	Max	280.00	1902.48	29	1200.38	17	1789.30	17	-2883.81	29	651.64	29	286.26	9
218	201	-3266	Min.	0.00	-2603.78	5	-1161.14	9	-1575.02	17	5290.34	5	-7558.41	83	-287.42	17
218	201	-3266	Min.	195.52					22.94	21			505.50	21		
218	201	-3266	Min.	280.00	-2603.78	5	-1161.14	9	-1634.89	9	-6910.76	36	-1965.74	5	-287.42	17
218	202	201	Max	30.00	-496.60	29	84.00	17	1656.93	9	11296.30	35	-2659.41	29	13.14	1
218	202	201	Max	205.03					-5.50	36			4637.01	36		
218	202	201	Max	380.00	-496.60	29	84.00	17	1550.37	9	-5962.99	5	-2678.96	5	13.14	1
218	202	201	Min.	30.00	-1748.23	36	-57.58	9	-1711.74	17	5943.94	29	-5260.00	35	3.12	25
218	202	201	Min.	202.87					-497.46	29			2456.21	29		
218	202	201	Min.	380.00	-1748.23	36	-57.58	9	-1512.71	17	-11303.80	84	-5293.27	84	3.12	25
218	-3338	202	Max	30.00	1705.18	29	1155.75	9	1461.28	9	6867.88	35	678.89	29	325.43	17
218	-3338	202	Max	134.24					-56.47	84			2351.43	84		
218	-3338	202	Max	310.00	1705.18	29	1155.75	9	1732.28	9	-5315.09	5	-3288.11	5	325.43	17
218	-3338	202	Min.	30.00	-2489.79	5	-1131.33	17	-1587.48	17	2861.12	29	-1933.26	5	-302.24	9
218	-3338	202	Min.	111.76					-330.52	21			477.44	21		
218	-3338	202	Min.	310.00	-2489.79	5	-1131.33	17	-1790.10	17	-11331.30	84	-7606.31	84	-302.24	9
401	-1068	-1069	Max	30.00	-28332.90	42	0.00	1	0.00	1	121.82	33	0.00	1	0.00	1
401	-1068	-1069	Max	65.00									21.32	33		
401	-1068	-1069	Max	100.00	-28332.90	42	0.00	1	0.00	1	-62.33	1	0.00	33	0.00	1
401	-1068	-1069	Min.	30.00	-44775.20	81	0.00	1	0.00	1	62.33	1	0.00	1	0.00	1
401	-1068	-1069	Min.	65.00									10.91	1		
401	-1068	-1069	Min.	100.00	-44775.20	81	0.00	1	0.00	1	-121.82	33	0.00	1	0.00	1
402	-1114	-1115	Max	30.00	-24000.70	78	0.00	1	0.00	1	195.32	33	0.00	1	0.00	1
402	-1114	-1115	Max	65.00									34.18	33		
402	-1114	-1115	Max	100.00	-24000.70	78	0.00	1	0.00	1	-96.46	1	0.00	33	0.00	1
402	-1114	-1115	Min.	30.00	-42963.00	49	0.00	1	0.00	1	96.46	1	0.00	1	0.00	1
402	-1114	-1115	Min.	63.95									16.86	1		
402	-1114	-1115	Min.	100.00	-42963.00	49	0.00	1	0.00	1	-195.32	33	0.00	1	0.00	1
403	-1132	-1133	Max	30.00	-15475.20	93	0.00	1	0.00	1	175.72	33	0.00	1	0.00	1
403	-1132	-1133	Max	65.01									30.75	33		
403	-1132	-1133	Max	100.00	-15475.20	93	0.00	1	0.00	1	-87.36	1	0.00	33	0.00	1
403	-1132	-1133	Min.	30.00	-31754.70	34	0.00	1	0.00	1	87.36	1	0.00	1	0.00	1
403	-1132	-1133	Min.	65.00									15.29	1		
403	-1132	-1133	Min.	100.00	-31754.70	34	0.00	1	0.00	1	-175.72	33	0.00	1	0.00	1
404	-1150	-1151	Max	30.00	-19830.90	77	0.00	1	0.00	1	200.22	33	0.00	1	0.00	1
404	-1150	-1151	Max	65.00									35.04	33		
404	-1150	-1151	Max	100.00	-19830.90	77	0.00	1	0.00	1	-98.73	1	0.00	1	0.00	1
404	-1150	-1151	Min.	30.00	-39330.80	50	0.00	1	0.00	1	98.73	1	0.00	1	0.00	1
404	-1150	-1151	Min.	65.00									17.28	1		
404	-1150	-1151	Min.	100.00	-39330.80	50	0.00	1	0.00	1	-200.22	33	0.00	37	0.00	1
405	-1172	-1173	Max	30.00	-21723.40	77	0.00	1	0.00	1	214.92	33	0.00	1	0.00	1
405	-1172	-1173	Max	65.01									37.61	33		
405	-1172	-1173	Max	100.00	-21723.40	77	0.00	1	0.00	1	-105.56	1	0.00	33	0.00	1
405	-1172	-1173	Min.	30.00	-43042.50	50	0.00	1	0.00	1	105.56	1	0.00	1	0.00	1
405	-1172	-1173	Min.	65.00									18.47	1		
405	-1172	-1173	Min.	100.00	-43042.50	50	0.00	1	0.00	1	-214.92	33	0.00	1	0.00	1
406	-1194	-1195	Max	30.00	-19987.20	77	0.00	1	0.00	1	200.22	33	0.00	1	0.00	1
406	-1194	-1195	Max	65.00									35.04	33		
406	-1194	-1195	Max	100.00	-19987.20	77	0.00	1	0.00	1	-98.73	1	0.00	33	0.00	1
406	-1194	-1195	Min.	30.00	-39598.40	50	0.00	1	0.00	1	98.73	1	0.00	1	0.00	1
406	-1194	-1195	Min.	65.00									17.28	1		

< Omissis >

Sollecitazioni elementi bidimensionali

Simbologia

Bid. = Numero del muro/elemento bidimensionale

Nodo = Numero del nodo

σ_{xx} = Tensione normale sulle facce perp. all'asse X

CC = Numero della combinazione delle condizioni di carico elementari

σ_{zz} = Tensione normale sulle facce perp. all'asse Z

τ_{xz} = Tensione in dir. Z sulle facce perp. all'asse X

Mxx = Momento che provoca variazione di tensione sulle facce perp. all'asse X

Mzz = Momento che provoca variazione di tensione sulle facce perp. all'asse Z

Mxz = Momento che provoca variazione di tensione tangenziale sulle facce perp. all'asse X

τ_{zy} = Tensione in dir. Y sulle facce perp. all'asse Z

τ_{xy} = Tensione in dir. Y sulle facce perp. all'asse X

Bid.		Nodo	σ_{xx} <daN/mq>	CC	σ_{zz} <daN/mq>	CC	τ_{xz} <daN/mq>	CC	Mxx <daNm/m>	CC	Mzz <daNm/m>	CC	Mxz <daNm/m>	CC	τ_{zy} <daN/mq>	CC	τ_{xy} <daN/mq>	CC
105	Max	-2206	9462.86	65	-16349.40	47	-504.93	55	458.30	13	152.95	21	379.03	21	687.31	13	-1810.82	13
105	Max	-2205	9462.86	65	-16349.40	47	-504.93	55	458.30	13	152.95	21	379.03	21	687.31	13	-1810.82	13
105	Max	-2894	9462.86	65	-16349.40	47	-504.93	55	458.30	13	152.95	21	379.03	21	687.31	13	-1810.82	13
105	Max	-2895	9462.86	65	-16349.40	47	-504.93	55	458.30	13	152.95	21	379.03	21	687.31	13	-1810.82	13
105	Min.	-2206	4194.62	54	-27089.40	84	-8392.95	68	144.22	80	-96.24	13	44.33	13	-1145.40	21	-3956.26	67
105	Min.	-2205	4194.62	54	-27089.40	84	-8392.95	68	144.22	80	-96.24	13	44.33	13	-1145.40	21	-3956.26	67
105	Min.	-2894	4194.62	54	-27089.40	84	-8392.95	68	144.22	80	-96.24	13	44.33	13	-1145.40	21	-3956.26	67
105	Min.	-2895	4194.62	54	-27089.40	84	-8392.95	68	144.22	80	-96.24	13	44.33	13	-1145.40	21	-3956.26	67
105	Max	-770	-1941.20	60	-10311.40	75	-819.10	70	-31.83	29	-128.76	55	193.12	82	3757.97	83	-1341.08	40
105	Max	-769	-1941.20	60	-10311.40	75	-819.10	70	-31.83	29	-128.76	55	193.12	82	3757.97	83	-1341.08	40
105	Max	-1052	-1941.20	60	-10311.40	75	-819.10	70	-31.83	29	-128.76	55	193.12	82	3757.97	83	-1341.08	40
105	Max	-1053	-1941.20	60	-10311.40	75	-819.10	70	-31.83	29	-128.76	55	193.12	82	3757.97	83	-1341.08	40
105	Min.	-770	-9746.22	67	-20485.30	52	-17062.50	49	-819.78	36	-408.43	68	72.97	37	1303.59	40	-6097.32	83
105	Min.	-769	-9746.22	67	-20485.30	52	-17062.50	49	-819.78	36	-408.43	68	72.97	37	1303.59	40	-6097.32	83
105	Min.	-1052	-9746.22	67	-20485.30	52	-17062.50	49	-819.78	36	-408.43	68	72.97	37	1303.59	40	-6097.32	83
105	Min.	-1053	-9746.22	67	-20485.30	52	-17062.50	49	-819.78	36	-408.43	68	72.97	37	1303.59	40	-6097.32	83
105	Max	-71	-1928.31	64	-11640.80	70	-1081.16	70	104.58	51	1087.15	51	233.94	51	-4920.31	72	1286.37	68
105	Max	-70	-1928.31	64	-11640.80	70	-1081.16	70	104.58	51	1087.15	51	233.94	51	-4920.31	72	1286.37	68
105	Max	-769	-1928.31	64	-11640.80	70	-1081.16	70	104.58	51	1087.15	51	233.94	51	-4920.31	72	1286.37	68
105	Max	-770	-1928.31	64	-11640.80	70	-1081.16	70	104.58	51	1087.15	51	233.94	51	-4920.31	72	1286.37	68
105	Min.	-71	-4242.13	67	-29611.20	49	-18181.40	49	-236.64	68	64.45	72	81.32	72	-10445.50	51	-71.69	51
105	Min.	-70	-4242.13	67	-29611.20	49	-18181.40	49	-236.64	68	64.45	72	81.32	72	-10445.50	51	-71.69	51
105	Min.	-769	-4242.13	67	-29611.20	49	-18181.40	49	-236.64	68	64.45	72	81.32	72	-10445.50	51	-71.69	51
105	Min.	-770	-4242.13	67	-29611.20	49	-18181.40	49	-236.64	68	64.45	72	81.32	72	-10445.50	51	-71.69	51
105	Max	-769	-2691.36	60	-12015.40	79	698.53	70	144.66	36	-61.45	40	89.18	83	8341.22	36	8752.68	36
105	Max	-768	-2691.36	60	-12015.40	79	698.53	70	144.66	36	-61.45	40	89.18	83	8341.22	36	8752.68	36
105	Max	-1051	-2691.36	60	-12015.40	79	698.53	70	144.66	36	-61.45	40	89.18	83	8341.22	36	8752.68	36
105	Max	-1052	-2691.36	60	-12015.40	79	698.53	70	144.66	36	-61.45	40	89.18	83	8341.22	36	8752.68	36
105	Min.	-769	-9775.38	67	-21762.50	52	-20732.70	49	-401.23	83	-551.25	83	-59.90	36	1570.33	95	2226.34	95
105	Min.	-768	-9775.38	67	-21762.50	52	-20732.70	49	-401.23	83	-551.25	83	-59.90	36	1570.33	95	2226.34	95
105	Min.	-1051	-9775.38	67	-21762.50	52	-20732.70	49	-401.23	83	-551.25	83	-59.90	36	1570.33	95	2226.34	95
105	Min.	-1052	-9775.38	67	-21762.50	52	-20732.70	49	-401.23	83	-551.25	83	-59.90	36	1570.33	95	2226.34	95
105	Max	-3061	-11322.50	93	-4160.07	17	-60.80	86	488.61	29	604.62	29	243.76	13	1284.24	5	1113.91	21
105	Max	-2911	-11322.50	93	-4160.07	17	-60.80	86	488.61	29	604.62	29	243.76	13	1284.24	5	1113.91	21
105	Max	-3104	-11322.50	93	-4160.07	17	-60.80	86	488.61	29	604.62	29	243.76	13	1284.24	5	1113.91	21
105	Max	-3105	-11322.50	93	-4160.07	17	-60.80	86	488.61	29	604.62	29	243.76	13	1284.24	5	1113.91	21
105	Min.	-3061	-23166.60	34	-7768.91	49	-4363.86	33	-259.29	5	-71.15	5	-505.48	21	-1350.57	29	-3052.38	13
105	Min.	-2911	-23166.60	34	-7768.91	49	-4363.86	33	-259.29	5	-71.15	5	-505.48	21	-1350.57	29	-3052.38	13
105	Min.	-3104	-23166.60	34	-7768.91	49	-4363.86	33	-259.29	5	-71.15	5	-505.48	21	-1350.57	29	-3052.38	13
105	Min.	-3105	-23166.60	34	-7768.91	49	-4363.86	33	-259.29	5	-71.15	5	-505.48	21	-1350.57	29	-3052.38	13
105	Max	-2913	-10469.00	25	-4494.32	9	3382.56	17	521.52	13	592.91	29	490.64	13	2212.82	5	3287.84	21
105	Max	-3063	-10469.00	25	-4494.32	9	3382.56	17	521.52	13	592.91	29	490.64	13	2212.82	5	3287.84	21
105	Max	-3107	-10469.00	25	-4494.32	9	3382.56	17	521.52	13	592.91	29	490.64	13	2212.82	5	3287.84	21
105	Max	-3108	-10469.00	25	-4494.32	9	3382.56	17	521.52	13	592.91	29	490.64	13	2212.82	5	3287.84	21
105	Min.	-2913	-20964.90	33	-10755.40	66	-2155.53	49	-295.06	21	27.05	5	-191.41	21	-2166.86	29	-1212.85	13
105	Min.	-3063	-20964.90	33	-10755.40	66	-2155.53	49	-295.06	21	27.05	5	-191.41	21	-2166.86	29	-1212.85	13
105	Min.	-3107	-20964.90	33	-10755.40	66	-2155.53	49	-295.06	21	27.05	5	-191.41	21	-2166.86	29	-1212.85	13
105	Min.	-3108	-20964.90	33	-10755.40	66	-2155.53	49	-295.06	21	27.05	5	-191.41	21	-2166.86	29	-1212.85	13
105	Max	-1938	-9695.25	78	519.58	21	147.13	70	59.31	29	177.99	29	65.25	13	1179.56	21	674.43	29
105	Max	-1937	-9695.25	78	519.58	21	147.13	70	59.31	29	177.99	29	65.25	13	1179.56	21	674.43	29
105	Max	-2220	-9695.25	78	519.58	21	147.13	70	59.31	29	177.99	29	65.25	13	1179.56	21	674.43	29
105	Max	-2221	-9695.25	78	519.58	21	147.13	70	59.31	29	177.99	29	65.25	13	1179.56	21	674.43	29
105	Min.	-1938	-30561.40	49	-5132.32	52	-14476.00	9	-1.45	56	-276.69	36	-66.82	21	-348.91	56	-194.45	5
105	Min.	-1937	-30561.40	49	-5132.32	52	-14476.00	9	-1.45	56	-276.69	36	-66.82	21	-348.91	56	-194.45	5
105	Min.	-2220	-30561.40	49	-5132.32	52	-14476.00	9	-1.45	56	-276.69	36	-66.82	21	-348.91	56	-194.45	5
105	Min.	-2221	-30561.40	49	-5132.32	52	-14476.00	9	-1.45	56	-276.69	36	-66.82	21	-348.91	56	-194.45	5
105	Max	-3105	-13089.30	93	-3760.81	1	7712.58	34	719.34	13	578.36	65	163.50	13	2343.86	13	2253.82	29
105	Max	-3104	-13089.30	93	-3760.81	1	7712.58	34	719.34	13	578.36	65	163.50	13	2343.86	13	2253.82	29
105	Max	-3265	-13089.30	93	-3760.81	1	7712.58	34	719.34	13	578.36	65	163.50	13	2343.86	13	2253.82	29
105	Max	-3226	-13089.30	93	-3760.81	1	7712.58	34	719.34	13	578.36	65	163.50	13	2343.86	13	2253.82	29
105	Min.	-3105	-26153.60	34	-7966.33	82	3035.40	25	-852.73	21	224.21	13	-488.68	21	-3804.30	21	-5820.70	5
105	Min.	-3104	-26153.60	34	-7966.33	82	3035.40	25	-852.73	21	224.21	13	-488.68	21	-3804.30	21	-5820.70	5
105	Min.	-3265	-26153.60	34	-7966.33	82	3035.40	25	-852.73	21	224.21	13	-488.68	21	-3804.30	21	-5820.70	5
105	Min.	-3226	-26153.60	34	-7966.33	82	3035.40	25	-852.73	21	224.21	13	-488.68	21	-3804.30	21	-5820.70	5
105	Max	-3227	-16657.60	25	-7580.79	5	8739.70	50	1453.70	13	1737.84	36	30.77	17	10889.50	13	8999.49	21
105	Max	-3226																

Armature minime teoriche degli elementi bidimensionali

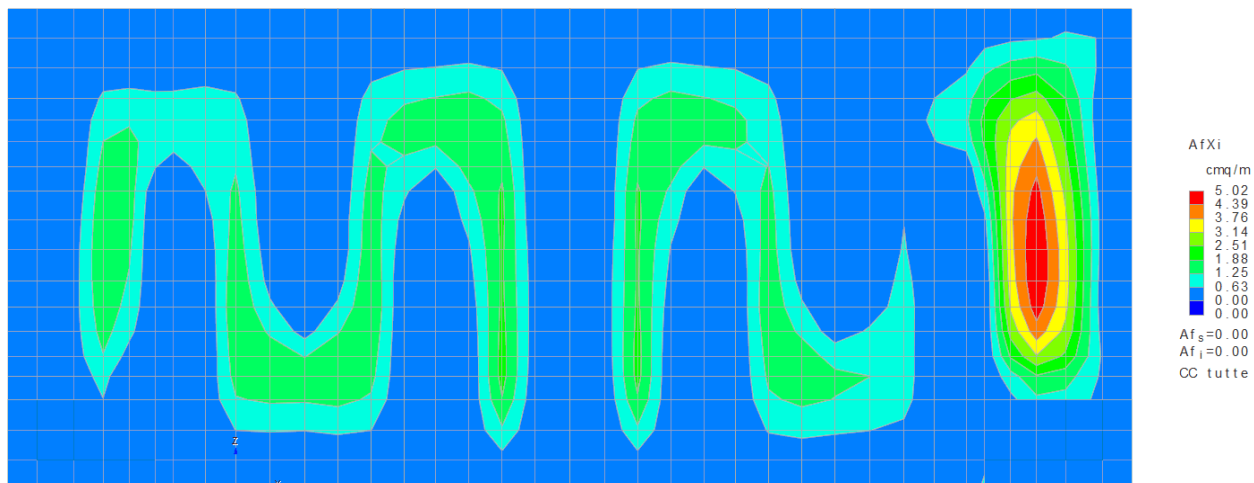


Figura 17: Armatura minima teorica platea in direzione X inferiore

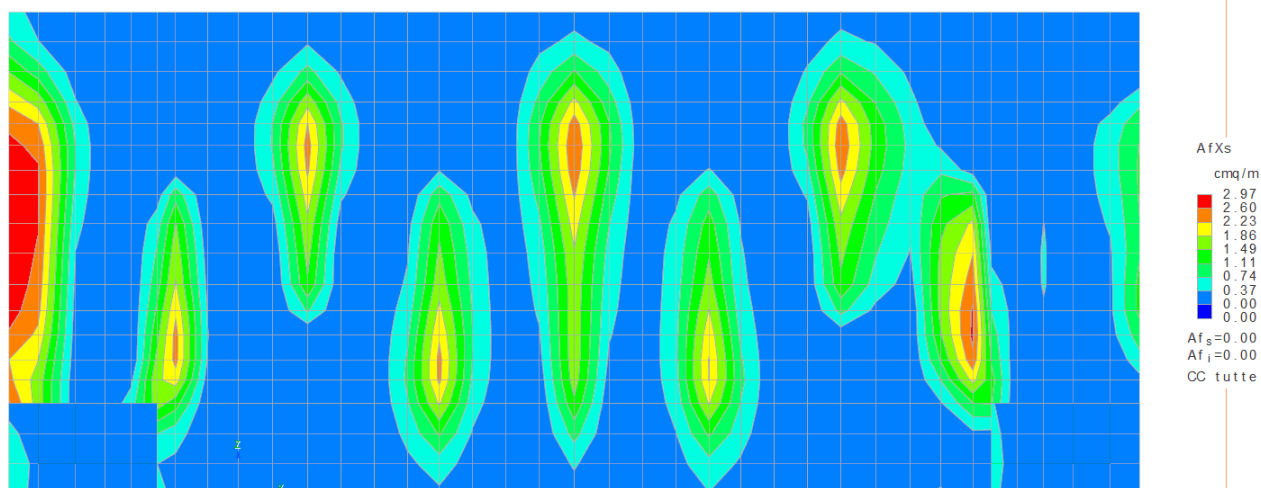


Figura 18: Armatura minima teorica platea in direzione X superiore

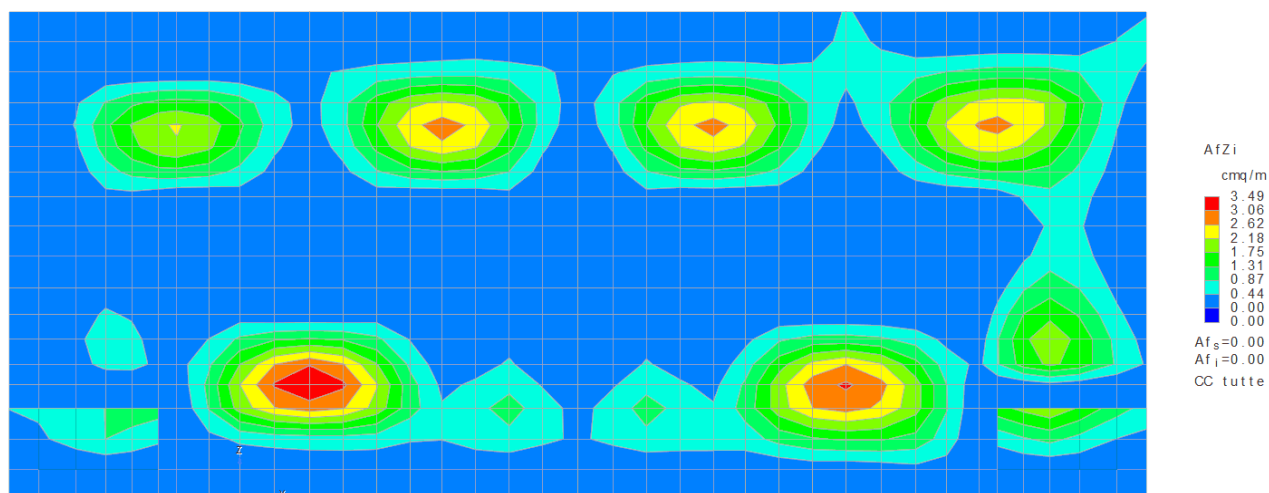


Figura 19: Armatura minima teorica platea in direzione Z inferiore

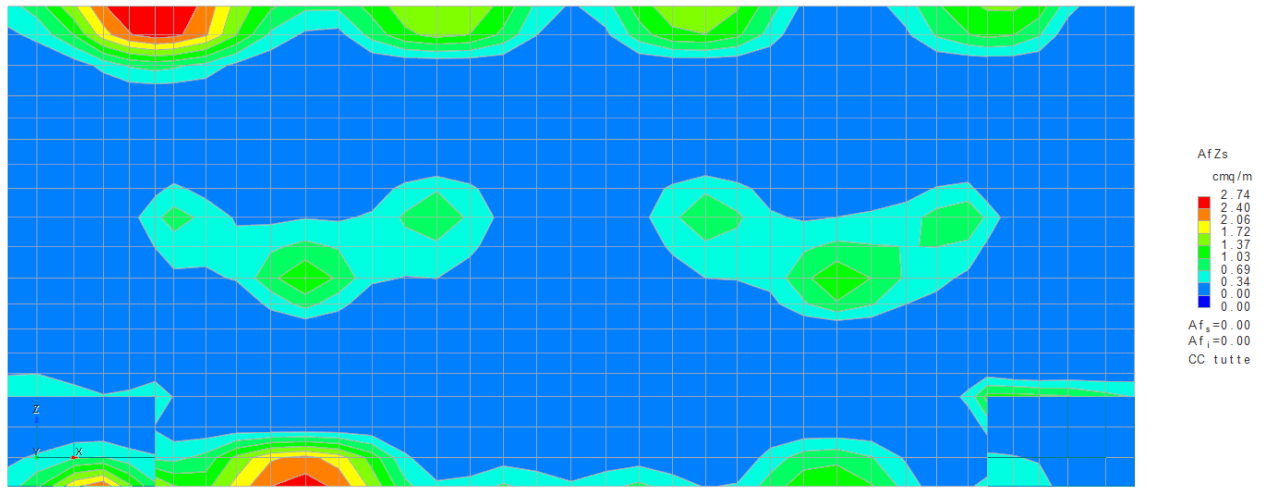


Figura 20: Armatura minima teorica platea in direzione Z superiore

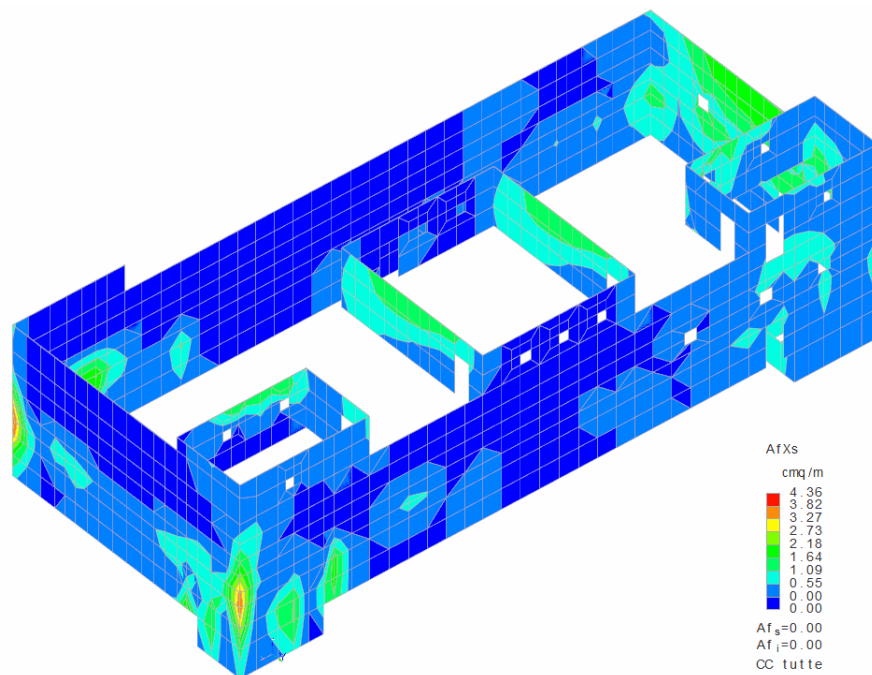


Figura 21: Armatura minima teorica pareti esterne (intercapedine) in direzione orizzontale

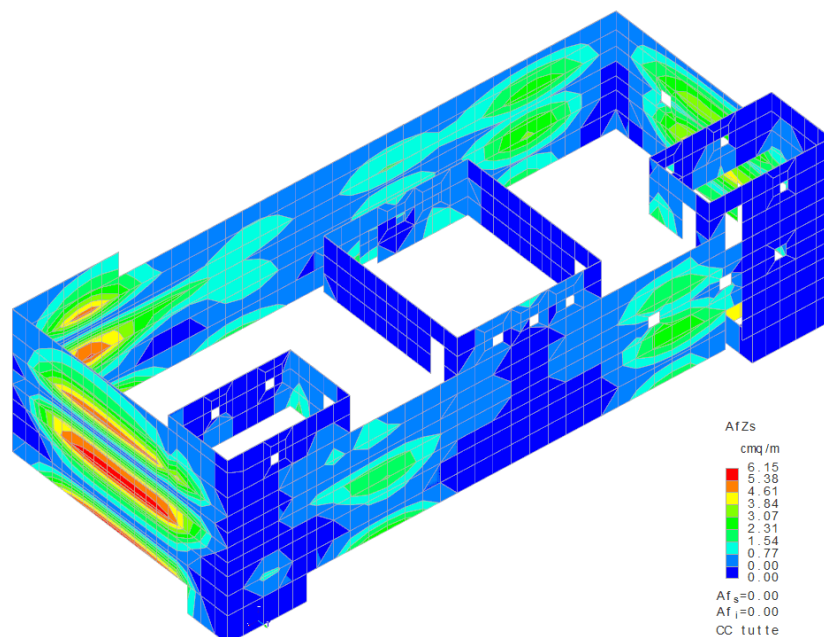


Figura 22: Armatura minima teorica pareti esterne (intercapedine) in direzione verticale

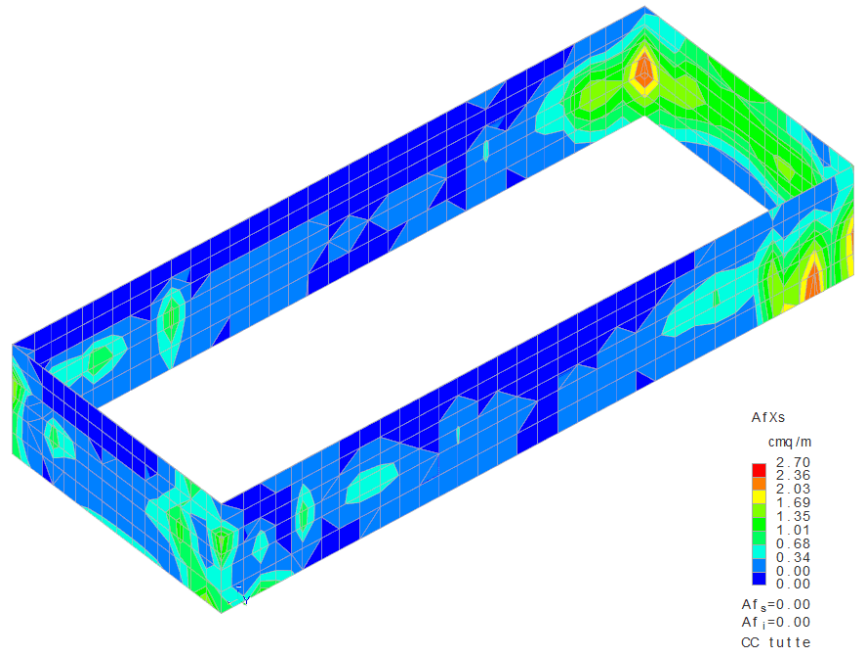


Figura 23: Armatura minima teorica pareti interne (serbatoio) in direzione orizzontale

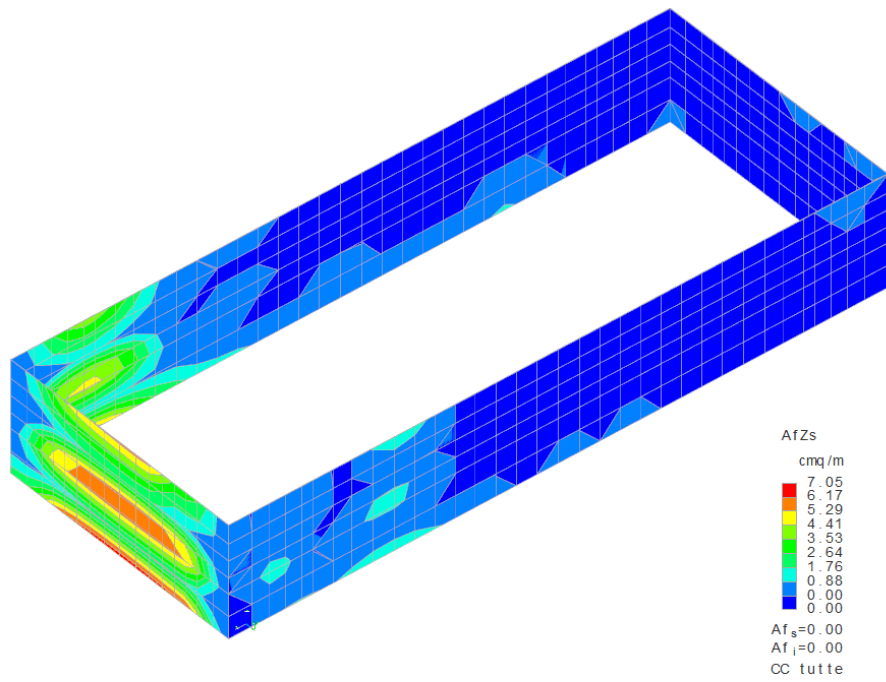


Figura 24: Armatura minima teorica pareti interne (serbatoio) in direzione verticale

Criteri di progetto utilizzati

Pilastri in c.a.

Generali	-
Parametri di progetto	-
Pilastro prefabbricato	No
Progettazione dell'armatura con sollecitazioni più gravose	Si
Disaccoppia sovrarresistenza	No
Limita fattore di sovrarresistenza al massimo valore di struttura	No
Tipo verifica di stabilità	
-Per $N^*\Omega$ -M e per N-c*M (standard)	Si
-Per $N^*\Omega$ -c*M (doppia)	No
-Per $N^*\Omega$ (sforzo normale e momento nullo)	No
-Per c*M (momento e sforzo normale nullo)	No
Max angolo di piegatura ferri <grad>	20.00
Progettazione armatura di ripresa	Si
Minimizzazione armatura di ripresa	No
Minimizzazione area di ferro totale nella sezione	No
Non progettare riprese ma estendi solo i ferri	Si
Verifiche in relazione	Minimizzate
Ancoraggi	-
Lunghezza ancoraggi	
-Lunghezza imposta come multiplo del diametro	40.00
Ancoraggi tutti uguali	Si
Piegatura ancoraggi per discontinuità	Si
Piegatura ancoraggi ferri di ripresa	Si
Armatura a taglio	-
Staffatura a spirale pilastri circolari	Si
Cambiare le staffe nei nodi appartenenti all'impalcato 0 se sul nodo incidono elementi	Si
Zone critiche e relative limitazioni del D.M. 08	Interpretazione della normativa Italiana
Considera solo la zona critica alla base della pilastrata (strutture pendolari)	No
Interpretazione di Ast e bst della formula 7.4.28 del D.M. 08	Considera tutti i bracci della staffa esterna (bst= dimensione max della staffa)
Progetta a taglio con traliccio ad inclinazione variabile	Si
-Classe A	
-In zona critica limita ctg θ a	1.00
-In zona non critica limita ctg θ a	2.50
-Classe B	
-In zona critica limita ctg θ a	2.50
-In zona non critica limita ctg θ a	2.50
Verifiche a taglio per elementi esistenti come per elementi nuovi	Si
Estendi nel nodo staffe sottostanti anche se non richiesto dalla normativa	No

Specifici	2
Materiali	-
-Considera come elemento esistente	No
-Calcestruzzo	
-Livello di conoscenza	LC2
-Fattore di confidenza	1.20
-Tipo di calcestruzzo	C28/35
-Rck calcestruzzo	350.00
-Modulo elastico <daN/cm ² >	325881.00
-Resistenza caratteristica cilindrica (Fck)	290.50
-Resistenza caratteristica a trazione (Fctk)	19.84
-Resistenza media (Fcm) <daN/cm ² >	370.50
-Resistenza media a trazione (Fctm) <daN/cm ² >	28.35
- σ amm. calcestruzzo <daN/cm ² >	110.00
- τ_{c0} <daN/cm ² >	6.70
- τ_{c1} <daN/cm ² >	19.70
-Riduci Fcd per tutte le verifiche secondo il D.M. 08	Si
- γ_c per stati limite ultimi	
-Automatico	x
-Pari a	
-Acciaio	
-Livello di conoscenza	LC2

-Fattore di confidenza	1.20
-Tipo di acciaio	B450C
-Modulo elastico <daN/cm ² >	2060000.00
-Tensione caratteristica di snervamento (Fyk) <daN/cm ² >	4500.00
-Tensione media di snervamento (Fym) <daN/cm ² >	4500.00
-Sigma amm. acciaio <daN/cm ² >	2600.00
-Sigma amm. reti e tralicci <daN/cm ² >	2600.00
-Allungamento per verifiche di duttilità (Agt) <%>	4.00
-γ _s per stati limite ultimi	
-Automatico	x
-Pari a	
-Coeff. di omogeneizzazione	15.00
Parametri per verifiche di duttilità	-
Considera formulazione per pareti	No
Considera rotazione massima di esercizio per determinare SLO e SLD	No
Modalità di calcolo luce di taglio Lv	
-Lv=L/2	x
-Lv=M/V	
-Lv=Punto di nullo del momento flettente	
Capacità di rotazione alla corda al collasso	
-Formula C8A.6.1 con fattore di riduzione pari a	
-Formula C8A.6.5	x
Sforzo normale di verifica per analisi pushover	
-Gravitazionale	
-Dal calcolo	x
Parametri di calcolo	-
Strategia di progetto	RETTANG
Copriferro reale al bordo staffa <cm>	3.00
Diametro staffa teorica <mm>	9.00
Continuità dei ferri nei nodi appartenenti all'impalcato 0	Si
Coeff. β in direzione Z locale	1.00
Coeff. β in direzione Y locale	1.00
Armatura secondo Circ. 65 del 10/04/97	No
-Raffittimento staffe in testa e al piede del pilastro	No
-Passo <cm>	
Parametri di progetto secondo il D.M. 08	
Non progettare in gerarchia delle resistenze	No
Non effettuare verifiche per CC sismiche (elemento secondario)	No
Rispetta i disposti del punto 7.4.4.2.2.1 solo per stati limite sismici	No
Incremento percentuale per piano debole	No
Non effettuare verifiche dei nodi fra trave e pilastro	Si
Verifiche a pressoflessione deviata	Si
Per calcoli secondo il D.M. 08 usa espressione 4.1.10 con esponente	No
Verifiche a taglio	-
Verifiche a taglio per sezioni circolari	
-Usa formulazione sezioni generiche	
-Considera rettangolo inscritto con B/H pari a	1.00
Verifiche a taglio per sezioni generiche	
-Considera Vrdu minimo	
-Considera Vrdu calcolato in corrispondenza di bw minimo	
-Considera Vrdu in corrispondenza di bw medio	x
-Considera Vrdu in corrispondenza di bw massimo	
-Considera sempre Af Staffe non proiettata in direzione del taglio	Si
Armatura a pressoflessione	-
Elenco diametri ferri longitudinali 1 <mm>	14
Elenco diametri ferri longitudinali 2 <mm>	16
Elenco diametri ferri longitudinali 3 <mm>	20
Elenco diametri ferri longitudinali 4 <mm>	24
Elenco diametri ferri longitudinali 5 <mm>	
Elenco diametri ferri longitudinali 6 <mm>	
Elenco diametri ferri longitudinali 7 <mm>	
Max distanza fra i ferri su un lato <cm>	25.00
Min. interferro ammissibile <cm>	7.00
Distanza fra i ferri di spigolo <cm>	3.00
Min. numero ferri per pilastri circolari	8.00
Reggistaffe aggiuntivi sezioni non rettangolari	Si
Fattore di riduzione rc0 per ancoraggio ferri	1.00
Armatura a taglio	-
Elenco diametri staffe 1 <mm>	8
Elenco diametri staffe 2 <mm>	10
Elenco diametri staffe 3 <mm>	12
Elenco diametri staffe 4 <mm>	
Elenco diametri staffe 5 <mm>	
Elenco diametri staffe 6 <mm>	
Elenco diametri staffe 7 <mm>	

Mantieni diametro costante nell'interpiano	
Passi staffe	4.00
-Minimo <cm>	Si
-Massimo <cm>	30.00
-Incremento <cm>	2.00
Tipo di minimizzazione staffatura	
-Minimizza il numero delle staffe	
-Minimizza il peso delle staffe	x
Max distanza fra ferri non collegati <cm>	20.00
Max numero ferri non collegati	1.00
Collegamento ferri con staffe anziché con spilli	Si
Ferri orizzontali pareti realizzati con staffe	No
<u>Dati per progettazione interattiva sezioni</u>	-
Distanza fra ferri su più strati <cm>	1.00
Integrare lo scorrimento lungo il tratto	Si
-Lunghezza del tratto <m>	1.00
<u>Dati per progettazione agli stati limite</u>	-
Gruppo di esigenza	
-Ambiente poco aggressivo	x
-Ambiente moderatamente aggressivo	
-Ambiente molto aggressivo	
Usa dominio N-M per flessioni rette	No
-Ricerca della sicurezza con sforzo normale costante	
-Ricerca della sicurezza con eccentricità costante	
Controllo rapporto X/D	No
Barre da considerare tese per verifiche a taglio	
-Solo le barre con deformazione percentuale rispetto alla barra più tesa non inferiore al <%>	30.00
-Tutte le barre in trazione	

Travi in c.a.

<u>Generali</u>	-
<u>Parametri di progetto</u>	-
Passo di progettazione <m>	0.30
Tipo di sollecitazioni zone rigide	Costanti
Min. angolo per spinte a vuoto <grad>	10.00
Invertire i ferri anche in presenza di pilastro sottostante	Si
Max differenza larghezza travi continue <cm>	5.00
Progetta a taglio con traliccio ad inclinazione variabile	Si
-Classe A	
-In zona critica limita ctg θ a	1.00
-In zona non critica limita ctg θ a	2.50
-Classe B	
-In zona critica limita ctg θ a	2.50
-In zona non critica limita ctg θ a	2.50
Verifiche a taglio per elementi esistenti come per elementi nuovi	Si
<u>Lunghezze e arrotondamenti</u>	-
Max lunghezza barre <m>	12.00
Arrotondamento lunghezza ferri <cm>	50.00
Lunghezza ferri nei muri d'estremità <m>	1.20
Min. interferro ammissibile <cm>	2.00
Elenco diametri minimizzazione interferri <mm>	16 18 20 22
Riduzione ancoraggi	
-Nella zona compressa per flessione	No
-Nei punti inferiori della travata	Si
Considerare nel calcolo degli ancoraggi i risvolti specificati nei criteri generali di disegno	No
Considera indicazione formula 4.1.22 come aggiuntive all'ancoraggio	No
<u>Reggistaffe</u>	-
Interruzione reggistaffe in campata	No
Modalità di sovrapposizione reggistaffe	Per garantire la copertura del momento negativo
Modalità di unificazione reggistaffe	Solo se la geometria della travata e la lunghezza totale delle barre lo consentono

Minimi di regolamento	-
Min. percentuale di regolamento	
-Per le travi di fondazione	No
-Per le travi di elevazione	Si
Per le travi di fondazione ai sensi del D.M. 08 considerare 0.2% anzichè 1.4/fyk	Si
Min. di armatura a taglio	
-Per le travi di fondazione	Si
-Per le travi di elevazione	Si
Tipo di armatura per taglio (T.A.)	Mista
Controllo passo e l2Fi	Si
Min. di regolamento a torsione nell'ala	No
Min. di regolamento nell'ala	No
Stampe	-
Verifiche a flessione in relazione	Minimizzate
Verifiche a taglio in relazione	Max scorrimento per taglio e torsione
Parametri di disegno	-
Scala disegno travi	50.00
Scala disegno sezioni	25.00
Campitura sezioni	Fitta
Disegno sezione travi in falso	Si
Disegna sezioni	Si
Campitura travi in falso	Fitta
Campitura muri	Rada
Tipo di quotatura luci nette trave	Con riferimento ai pilastri superiori
Lunghezza monconi di pilastro	Minimizzata
Linee di riferimento quote	Si
Quotatura zone di staffatura	No
Quotatura zone di staffatura	No
Indicazione numero bracci staffe	Solo se il numero è maggiore di due
Disegno ferri longitudinali	-
Disegno ferri dentro la trave	Si
Disegno esploso ferri di parete	No
Distanza fra ferri esplosi <cm>	0.10
Disegno reggistaffe aggiuntivi per travi a T e L	Reggistaffe aggiuntivi tipo 3
Disegno staffe	-
Posizione staffe esterne	In automatico
Disegno staffe dentro la sezione	Si

Specifici	<u>1</u>
Materiali	-
-Considera come elemento esistente	No
-Calcestruzzo	
-Livello di conoscenza	LC2
-Fattore di confidenza	1.20
-Tipo di calcestruzzo	C28/35
-Rck calcestruzzo	350.00
-Modulo elastico <daN/cm²>	325881.00
-Resistenza caratteristica cilindrica (Fck)	290.50
-Resistenza caratteristica a trazione (Fctk)	19.84
-Resistenza media (Fcm) <daN/cm²>	370.50
-Resistenza media a trazione (Fctm) <daN/cm²>	28.35
-σ amm. calcestruzzo <daN/cm²>	110.00
-τc0 <daN/cm²>	6.70
-τc1 <daN/cm²>	19.70
-Riduci Fcd per tutte le verifiche secondo il D.M. 08	Si
-γs per stati limite ultimi	
-Automatico	x
-Pari a	
-Acciaio	
-Livello di conoscenza	LC2
-Fattore di confidenza	1.20
-Tipo di acciaio	B450C
-Modulo elastico <daN/cm²>	2060000.00
-Tensione caratteristica di snervamento (Fyk) <daN/cm²>	4500.00
-Tensione media di snervamento (Fym) <daN/cm²>	4500.00
-Sigma amm. acciaio <daN/cm²>	2600.00
-Sigma amm. reti e tralicci <daN/cm²>	2600.00
-Allungamento per verifiche di duttilità (Agt) <%>	4.00
-γs per stati limite ultimi	
-Automatico	x
-Pari a	
-Coeff. di omogeneizzazione	15.00

Parametri per verifiche di duttilità	-
Considera rotazione massima di esercizio per determinare SLO e SLD	No
Modalità di calcolo luce di taglio Lv	
-Lv=L/2	x
-Lv=M/V	
-Lv=Punto di nullo del momento flettente	
Capacità di rotazione alla corda al collasso	
-Formula C8A.6.1 con fattore di riduzione pari a	
-Formula C8A.6.5	x
Sforzo normale di verifica per analisi pushover	
-Gravitazionale	
-Dal calcolo	x
Parametri di calcolo	-
Progetto a pressoflessione	Si
-Per tutte le travi	
-Solo per travi inclinate	x
-Min. angolo per pressoflessione <grad>	10.00
-Compressione massima senza progetto a pressoflessione <%>	10.00
Progetto a torsione	No
-Trazione senza progetto a torsione<%>	
Armatura secondo Circ. 65 del 10/04/97	No
Non progettare in gerarchia delle resistenze	Si
Non effettuare verifiche per CC sismiche (elemento secondario)	No
Escludi dal calcolo sovrarresistenza per pilastri incidenti	No
Rispetta limitazioni geometriche e d'armatura per zone sismiche	Si
Sollecitazioni complanari ad eventuali elementi bidimensionali	No
Copriferro teorico superiore <cm>	4.00
Copriferro teorico inferiore <cm>	4.00
Min. momento fittizio agli appoggi	No
-Denominatore	
Min. momento fittizio in campata	No
-Denominatore	
Incremento percentuale momento in campata <%>	10.00
Usa taglio max per traslazione momento (S.L.)	Si
Limitare momento traslato al valore max di appoggio (S.L.)	No
Limitare momento traslato al valore max di campata (S.L.)	No
Taglio da momento resistente in fondazione (S.L.)	No
Tipo di progetto in doppia armatura (T.A.)	
-Tensioni pari ai valori amm.	
-Tensioni pari ai valori amm. con AfComp/AfTesa minore o pari a	1.00
-Con AfComp/AfTesa pari a	
Parametri di progettazione armatura	-
Max differenza fra diametri per unificazioni	2.00
Max distanza fra barre per unificazioni <m>	1.00
Denominatore per individuazione zona di campata	32.00
Fattore di copertura appoggi (0÷1)	0.00
Fattore di riduzione per ancoraggio ferri	1.00
Minimizzazione momenti resistenti di appoggio (stati limite D.M. 08)	Si
-Arretramento reggistaffe dall'appoggio <m>	2.00
-Tolleranza di copertura da sovrapposizione <%>	10.00
Tipo di distribuzione armatura eccedente in fase di verifica	
-Ripartita proporzionalmente per flessione, torsione e taglio	x
-Tutta agente per flessione	
-Tutta agente per taglio	
Armatura a flessione	-
Elenco diametri ferri longitudinali 1 <mm>	12
Elenco diametri ferri longitudinali 2 <mm>	14
Elenco diametri ferri longitudinali 3 <mm>	16
Elenco diametri ferri longitudinali 4 <mm>	18
Elenco diametri ferri longitudinali 5 <mm>	20
Elenco diametri ferri longitudinali 6 <mm>	24
Elenco diametri ferri longitudinali 7 <mm>	
Max differenza fra diametri nella trave	8.00
Max differenza fra diametri ferri accoppiati	4.00
Reggistaffe superiori	
-Numero	
-Pari a	2.00
-Max mutua distanza <cm>	
-Diametro	
-Automatico	x
-Pari a <mm>	
-Minimo <mm>	
Reggistaffe inferiori	
-Numero	
-Pari a	2.00
-Max mutua distanza <cm>	
-Diametro	

-Automatico	x
-Pari a <mm>	
-Minimo <mm>	
Armatura a taglio	-
Scorrimento (T.A.)	
-Percentuale assorbita dalle staffe <%>	100.00
-Percentuale assorbita dai ferri piegati <%>	0.00
-Percentuale assorbita dai ferri di parete <%>	0
-Considerare il valore relativo alle staffe come minimo percentuale da adottare	No
Variabilità staffe	
-Staffe uguali a passo costante	
-Staffe diverse in tre parti della trave in funzione delle zone critiche	x
-Staffe diverse in tre parti della trave in funzione di un multiplo dell'altezza pari a	
Variabilità staffe ala	
-Passi uguali a passi anima	x
-Passi multipli di passi anima	
-Passi indipendenti da passi anima	
Min. lunghezza tratto centrale come multiplo dell'altezza della trave	1.10
Elenco diametri staffe 1 <mm>	8
Elenco diametri staffe 2 <mm>	10
Elenco diametri staffe 3 <mm>	12
Elenco diametri staffe 4 <mm>	
Elenco diametri staffe 5 <mm>	
Elenco diametri staffe 6 <mm>	
Elenco diametri staffe 7 <mm>	
Elenco numero bracci staffe 1	2
Elenco numero bracci staffe 2	4
Elenco numero bracci staffe 3	
Elenco numero bracci staffe 4	
Elenco numero bracci staffe 5	
Passi staffe	
-Minimo <cm>	4.00
-Massimo <cm>	32.00
-Incremento <cm>	4.00
Elementi costanti	
-Diametro	Si
-Passo	No
-Bracci	Si
Tipo di minimizzazione staffatura	
-Minimizza il numero delle staffe	x
-Minimizza il peso delle staffe	
Raffittimento staffe all'estremità della trave	No
-Passo non superiore a	
Lunghezza max del tratto di calcolo scorrimento	
-Pari al tratto in cui $\tau > \tau_{c0}$	x
-Pari a <cm>	
-Come multiplo dell'altezza pari a	
Armatura a taglio e torsione	-
Elenco diametri ferri piegati 1 <mm>	12
Elenco diametri ferri piegati 2 <mm>	14
Elenco diametri ferri piegati 3 <mm>	16
Elenco diametri ferri piegati 4 <mm>	18
Elenco diametri ferri piegati 5 <mm>	20
Elenco diametri ferri piegati 6 <mm>	
Elenco diametri ferri piegati 7 <mm>	
Angolo di piegatura <grad>	45.00
Posizione primo punto di piegatura	
-Pari al multiplo dell'altezza	
-Distanza <cm>	5.00
Interasse punti di piegatura	
-Pari al multiplo dell'altezza	
-Distanza <cm>	25.00
Tipo di ferri piegati	
-Solo sagomati	
-Solo cavallotti	
-Sia sagomati che cavallotti	x
Ferri di parete	Si
-Max distanza fra le barre <cm>	30.00
Elenco diametri ferri di parete 1 <mm>	12
Elenco diametri ferri di parete 2 <mm>	14
Elenco diametri ferri di parete 3 <mm>	16
Elenco diametri ferri di parete 4 <mm>	18
Elenco diametri ferri di parete 5 <mm>	20
Elenco diametri ferri di parete 6 <mm>	
Elenco diametri ferri di parete 7 <mm>	
Elenco diametri staffe orizzontali 1 <mm>	6
Elenco diametri staffe orizzontali 2 <mm>	8
Elenco diametri staffe orizzontali 3 <mm>	

Elenco diametri staffe orizzontali 4 <mm>	
Elenco diametri staffe orizzontali 5 <mm>	
Elenco diametri staffe orizzontali 6 <mm>	
Elenco diametri staffe orizzontali 7 <mm>	
Parametri di disegno	-
Risvolto ferri superiori	Si
-Pari a <cm>	25.00
-Pari all'altezza della trave	
Risvolto ferri inferiori	Si
-Pari a <cm>	25.00
-Pari all'altezza della trave	
Risvolto ferri laterali	Si
-Pari a <cm>	25.00
-Pari alla larghezza della trave	
Magrone	Si
-Allargamento laterale <cm>	0.00
-Altezza <cm>	20.00
Dati per progettazione interattiva sezioni	-
Copriferro reale al bordo staffa <cm>	2.00
Diametro staffa teorica <mm>	8.00
Distanza fra ferri su più strati <cm>	1.00
Integrare lo scorrimento lungo il tratto	Si
-Lunghezza del tratto <m>	1.00
Dati per progettazione agli stati limite	-
Gruppo di esigenza	
-Ambiente poco aggressivo	x
-Ambiente moderatamente aggressivo	
-Ambiente molto aggressivo	
Usa dominio N-M per flessioni rette	Si
-Ricerca della sicurezza con sforzo normale costante	
-Ricerca della sicurezza con eccentricità costante	x
Controllo rapporto X/D	Si
Barre da considerare tese per verifiche a taglio	
-Solo le barre con deformazione percentuale rispetto alla barra più tesa non inferiore al <%>	30.00
-Tutte le barre in trazione	

Aste in acciaio

Generali	-
Verifica aste in acciaio	-
Numero punti di verifica	10.00
Numero CC da considerare di tipo I	99.00
Stati limite D.M. 08	-
Verifiche con EC3	No
Coeff. amplificativo sollecitazioni per effetti del secondo ordine	1.00
Stampe	-
Verifiche da riportare in relazione	Tutte

Specifici	1
Materiali	-
CNR 10011	
Tipo di acciaio	FE360
D.M. 08	
Tipo di acciaio per profilati a sezione aperta	S235
	UNI EN
	10025-2
Tipo di acciaio per profilati a sezione cava	S235H
	UNI EN
	10210-1
EC3	
Tipo di acciaio	S235
-Fy <daN/cm ² >	2350.00
-Fu <daN/cm ² >	3600.00
γ M0	1.00
γ M1	1.00
γ M2	1.25

γ_{Rd}	1.30
γ_{Ov}	1.25
-Considera come elemento esistente (S.L. D.M. 08/EC3)	No
-Livello di conoscenza	LC1
-Fattore di confidenza	1.35
Verifiche di resistenza	-
Rapporto fra area effettiva e area nominale	1.00
Rapporto fra area netta e area nominale	1.00
Coeff. di forma intorno all'asse Y	1.00
Coeff. di forma intorno all'asse Z	1.00
Verifica le bielle solo con sollecitazioni di trazione moltiplicate per	Si
Valutare la τ per torsione nei punti di spigolo (CNR 10011)	No
-Pari a	
Stati limite D.M. 08/EC3	
-Fai sempre verifiche in campo elastico	No
-Effettua le verifiche della gerarchia delle resistenze per strutture intelaiate	No
-Usa classe 1 in pressoflessione deviata se non presente in archivio	No
Stati limite D.M. 08	
-Usa prescrizioni EC3 quando più dettagliate	Si
-Considera prescrizioni relative ai ponti	No
Verifiche di deformabilità	-
Max valore del rapporto tra la luce e la freccia (totale)	250.00
Max valore del rapporto tra la luce e la freccia (solo accidentali)	300.00
Max valore del rapporto tra altezza e spostamento orizz. (aste)	300.00
Max valore del rapporto tra altezza e spostamento orizz. (membrature)	500.00
Considerare anche spostamento relativo nodi per calcolo freccia	No
Considerare solo la verifica di deformabilità delle membrature	Si
Trascura deformazione dovuta al sisma (T.A.)	No
Verifiche di stabilità asta	-
Riduzione lunghezza libera d'inflessione	
-Distanza fra i nodi dell'asta	x
-Distanza ridotta delle zone rigide moltiplicate per il valore	
Tipo di accoppiamento aste composte	
-Separate	
-Calastrellate	
-Imbottite	
-Automatico	x
Calcolo momento medio usando valori assoluti	Si
Interasse calastrelli o imbottiture	
-Distanza pari a <m>	
-Interasse da normativa moltiplicato per il valore	0.80
-Aste rigidamente collegate	
Curva di stabilità (D.M. 08/EC3)	Automatica
Aste laminate	Si
Sigma max amm. senza verifiche di stabilità (CNR 10011) <%>	2.00
Verifiche di stabilità globale in dir. Y locale	Si
-Coeff. β intorno all'asse Y	1.00
Verifiche di stabilità globale in dir. Z locale	Si
-Coeff. β intorno all'asse Z	1.00
Verifiche di stabilità flesso - torsionale	Si
-Coeff. per calcolo interasse ritegni torsionali	1.00
Aste inflesse (D.M. 08/EC3)	
-Coeff. Ψ per calcolo momento critico	
-Valuta in base ai momenti dell'asta	x
-Utilizza valore imposto	
-Fattore correttivo di distribuzione K_c	0.94
-Snellezza di riferimento $\lambda_{LT,0}$	0.40
-Coeff. β	0.75
Aste pressoinflesse (D.M. 08/EC3)	
-Considera come molto deformabile a torsione	No
-Fattore correttivo di distribuzione α_{mY}/C_{mY}	0.95
-Fattore correttivo di distribuzione α_{mZ}/C_{mZ}	0.95
-Fattore correttivo di distribuzione α_{mLT}/C_{mLT}	0.95
Eseguire anche le verifiche al punto 7.3.2 (CNR 10011)	Si
Carichi sull'estradosso (CNR 10011)	Si
Verifiche di stabilità all'imbozzamento (CNR 10011)	
-Numero irrigidimenti orizzontali anima	0.00
-Interasse irrigidimenti verticali anima	
-Numero di suddivisioni	
-Distanza non inferiore a <cm>	
-Pari alla lunghezza dell'asta	x
-Modalità di calcolo $\sigma_{cr,id}$	
-Normativa	
-Massonet	x
-Ballio	

Verifiche di stabilità membratura	
Massimo numero aste costituenti unica membratura	1.00
Sforzo normale di verifica	
-Massimo valore fra tutte le aste	x
-Media aritmetica dei valori di tutte le aste	
-Media pesata di tutte le aste	
Contributo eventuali sforzi di trazione	No
Verifica nei piani principali	Si
Incremento snellezza	Si
Verifiche di stabilità globale in dir. Y locale	Si
-Coeff. β calcolato in funzione dello sforzo normale	
-Coeff. β	1.00
Verifiche di stabilità globale in dir. Z locale	Si
-Coeff. β calcolato in funzione dello sforzo normale	
-Coeff. β	1.00

Pareti

Generali	-
Verifiche a taglio per elementi esistenti come per elementi nuovi	Si
Parametri di disegno	-
Scala disegno pareti	50.00
Campitura disegno parete	Rada
Disegno armatura diffusa	No
Disegno prospetto e pianta	Sempre
Stampe	-
Tipo di relazione	Sintetica

Specifici	1	4
Materiali	-	-
-Considera come elemento esistente	No	No
-Calcestruzzo		
-Livello di conoscenza	LC2	LC2
-Fattore di confidenza	1.20	1.20
-Tipo di calcestruzzo	C28/35	C28/35
-Rck calcestruzzo	350.00	350.00
-Modulo elastico <daN/cm ² >	325881.00	325881.00
-Resistenza caratteristica cilindrica (Fck)	290.50	290.50
-Resistenza caratteristica a trazione (Fctk)	19.84	19.84
-Resistenza media (Fcm) <daN/cm ² >	370.50	370.50
-Resistenza media a trazione (Fctm) <daN/cm ² >	28.35	28.35
- σ amm. calcestruzzo <daN/cm ² >	110.00	110.00
- τ_{c0} <daN/cm ² >	6.70	6.70
- τ_{c1} <daN/cm ² >	19.70	19.70
-Riduci Fcd per tutte le verifiche secondo il D.M. 08	Si	Si
- γ_s per stati limite ultimi		
-Automatico	x	x
-Pari a		
-Acciaio		
-Livello di conoscenza	LC2	LC2
-Fattore di confidenza	1.20	1.20
-Tipo di acciaio	32	B450C
-Modulo elastico <daN/cm ² >	2060000.00	2060000.00
-Tensione caratteristica di snervamento (Fyk) <daN/cm ² >	3150.00	4500.00
-Tensione media di snervamento (Fym) <daN/cm ² >	3150.00	4500.00
-Sigma amm. acciaio <daN/cm ² >	1600.00	2600.00
-Sigma amm. reti e tralicci <daN/cm ² >	2200.00	2600.00
-Allungamento per verifiche di duttilità (Agt) <%>	4.00	4.00
- γ_s per stati limite ultimi		
-Automatico	x	x
-Pari a		
-Coeff. di omogeneizzazione	15.00	15.00
Parametri di calcolo	-	-
Copriferro <cm>	4.00	4.00
Fattore moltiplicativo per calcolo τ_l	1.00	1.00
Fattore moltiplicativo per calcolo τ_t	1.00	1.00
Fattore di riduzione per ancoraggio ferri	1.00	1.00
Lunghezza ancoraggi armature		
-Calcolata in funzione della σ_f	x	x
-Imposta come multiplo del diametro		
Lunghezza minima pari a <m>	0.50	0.50

-Inserire solo armatura al centro della parete	No	No
Modalità di progettazione e verifica armatura verticale		
-In funzione delle zone di incidenza elementi		x
-In funzione delle sollecitazioni globali	x	
-Inserisci armatura di rinforzo nelle zone di incidenza elementi	Si	Si
-Dimensione minima zone di incidenza elementi	Si	Si
-Pari a multiplo dello spessore	1.00	1.00
-Passo di verifica	1.50	1.50
-Trascura zone con pilastro inglobato	Si	Si
-Effettuare verifiche nel piano della parete	No	No
-Elimina armatura diffusa nelle zone di rinforzo	Si	Si
Elimina armatura diffusa nell'architrave	Si	Si
-Effettuare verifiche su sezioni verticali	No	Si
-Passo di verifica	1.00	1.00
Controllare resistenza a taglio trasversale come sezione priva di armatura a taglio	No	Si
Min. Af armatura diffusa <cmq/m>	3.00	3.00
Considera come parete debolmente armata ai sensi D.M. 08	No	No
-Modalità di valutazione parametri nel caso di sisma diverso per X e Y		
-Usa valore massimo	x	x
-Componi in direzione parete		
-Incremento del 50% delle forze assiali		
Sempre	x	x
-Solo per analisi sismiche statiche		
-Mai		
Coeff. β per controllo snellezza <m>	1.00	1.00
Rispetta i disposti del punto 7.4.4.5.2.1 solo per stati limite sismici	Si	Si
Armatura diffusa	-	-
Considera armatura con rete elettrosaldata	No	No
Armatura verticale o rete		
Elenco diametri utilizzabili 1 <mm>	10	10
Elenco diametri utilizzabili 2 <mm>	12	12
Elenco diametri utilizzabili 3 <mm>	14	14
Elenco diametri utilizzabili 4 <mm>	16	16
Elenco diametri utilizzabili 5 <mm>	20	18
Elenco diametri utilizzabili 6 <mm>	22	20
Elenco diametri utilizzabili 7 <mm>	24	
Passi utilizzabili		
-Minimo <cm>	15.00	10.00
-Massimo <cm>	30.00	30.00
-Incremento <cm>	5.00	5.00
-Modalità di completamento armatura		
-Adattata	x	x
-Terminata		
-Nessuna		
Armatura orizzontale		
Elenco diametri utilizzabili 1 <mm>	10	10
Elenco diametri utilizzabili 2 <mm>	12	12
Elenco diametri utilizzabili 3 <mm>	14	14
Elenco diametri utilizzabili 4 <mm>	16	16
Elenco diametri utilizzabili 5 <mm>		18
Elenco diametri utilizzabili 6 <mm>		20
Elenco diametri utilizzabili 7 <mm>		
Passi utilizzabili		
-Minimo <cm>	15.00	10.00
-Massimo <cm>	30.00	30.00
-Incremento <cm>	5.00	5.00
Tipo di armatura orizzontale		
-Dritta	x	x
-Con risvolti di estremità		
-Modalità di chiusura orizzontale		
-Nessuna chiusura		
-Chiusura con ferri ad U	x	x
-Chiusura con staffe		
-Lunghezza armatura di chiusura		
-Multiplo dello spessore pari a		
-Lunghezza fissa pari a <cm>	0.50	0.50
-Tipo di ottimizzazione armatura		
-Minimizza il peso complessivo dei ferri	x	x
-Minimizza il numero dei ferri		
Armatura di rinforzo	-	-
Elenco diametri utilizzabili 1 <mm>	16	12
Elenco diametri utilizzabili 2 <mm>		14
Elenco diametri utilizzabili 3 <mm>		16
Elenco diametri utilizzabili 4 <mm>		18
Elenco diametri utilizzabili 5 <mm>		20
Elenco diametri utilizzabili 6 <mm>		
Elenco diametri utilizzabili 7 <mm>		
Numero minimo ferri	2.00	2.00
Interferro minimo <cm>	10.00	10.00

-Aggiungi staffe chiuse	Si	Si
-Stesso diametro armatura diffusa orizzontale	x	x
-Diametro imposto		
-Stesso passo armatura diffusa orizzontale	x	x
-Passo imposto		
Armatura secondaria	-	-
Diametro ferri di collegamento <mm>	6.00	6.00
Numero ferri di collegamento (a mq)	6.00	6.00
Lunghezza ancoraggio ferri di collegamento <cm>	10.00	10.00
Dati per progettazione agli stati limite	-	-
Gruppo di esigenza		
-Ambiente poco aggressivo	x	x
-Ambiente moderatamente aggressivo		
-Ambiente molto aggressivo		
Usa dominio N-M per flessioni rette	No	No
-Ricerca della sicurezza con sforzo normale costante		
-Ricerca della sicurezza con eccentricità costante		
Controllo rapporto X/D	No	No
Barre da considerare tese per verifiche a taglio		
-Solo le barre con deformazione percentuale rispetto alla barra più tesa non inferiore al <%>	30.00	30.00
-Tutte le barre in trazione		

Solette/Platee

Generali	-
Parametri di progetto	-
Controllo resistenza a taglio allo S.L.U.	No
Calcolo armature con metodo di Wood	No
Accoppia pilastri per calcolo punzonamento	Si
Verifiche a taglio per elementi esistenti come per elementi nuovi	Si
-Massima distanza come un moltiplicatore dello spessore	1.50
Parametri di disegno	-
Disposizione disegno	2A
Particolari nel disegno principale	
-Eliminare le quotature	No
-Eliminare le campiture	No
-Eliminare la numerazione dei pilastri	No
-Eliminare la numerazione delle travi e dei muri	No
Particolari nei disegni secondari	
-Eliminare le quotature	Si
-Eliminare le campiture	Si
-Eliminare la numerazione dei pilastri	Si
-Eliminare la numerazione delle travi e dei muri	Si
Disegno armatura diffusa	No
Posizione particolari punzonamento	In automatico
Copriferro per calcolo lunghezza ferri <cm>	3.50
Risvoltare al bordo i ferri	
-Inferiori	Si
-Superiori	Si
Lunghezza risvolti ferri al bordo	Pari all'altezza meno due volte il copriferro
Disegno particolare ferri al bordo	Si
Scala disegno particolare ferri al bordo	20.00
Calcolo lunghezza ferri semplificato	No
Stampe	-
Tipo di relazione	Sintetica

Specifici	1	2
Materiali	-	-
-Considera come elemento esistente	No	No
-Calcestruzzo		
-Livello di conoscenza	LC2	LC2
-Fattore di confidenza	1.20	1.20
-Tipo di calcestruzzo	C28/35	C28/35
-Rck calcestruzzo	350.00	350.00
-Modulo elastico <daN/cm²>	325881.00	325881.00
-Resistenza caratteristica cilindrica (Fck)	290.50	290.50
-Resistenza caratteristica a trazione (Fctk)	19.84	19.84

-Resistenza media (Fcm) <daN/cm²>	370.50	370.50
-Resistenza media a trazione (Fctm) <daN/cm²>	28.35	28.35
-σ amm. calcestruzzo <daN/cm²>	110.00	110.00
-τc0 <daN/cm²>	6.70	6.70
-τc1 <daN/cm²>	19.70	19.70
-Riduci Fcd per tutte le verifiche secondo il D.M. 08	Si	Si
-γc per stati limite ultimi		
-Automatico	x	x
-Pari a		
-Acciaio		
-Livello di conoscenza	LC2	LC2
-Fattore di confidenza	1.20	1.20
-Tipo di acciaio	B450C	B450C
-Modulo elastico <daN/cm²>	2060000.00	2060000.00
-Tensione caratteristica di snervamento (Fyk) <daN/cm²>	4500.00	4500.00
-Tensione media di snervamento (Fym) <daN/cm²>	4500.00	4500.00
-Sigma amm. acciaio <daN/cm²>	2600.00	2600.00
-Sigma amm. reti e tralicci <daN/cm²>	2600.00	2600.00
-Allungamento per verifiche di duttilità (Agt) <%>	4.00	4.00
-γs per stati limite ultimi		
-Automatico	x	x
-Pari a		
-Coeff. di omogeneizzazione	15.00	15.00
Armatura a flessione	-	-
Angolo d'armatura <grad>	0.00	0.00
Copriferro teorico superiore <cm>	4.00	5.00
Copriferro teorico inferiore <cm>	4.00	5.00
Tipo di progetto in doppia armatura		
-Tensione pari ai valori amm.		
-Tensione pari ai valori amm. con AfComp/AfTesa minore o pari a	1.00	1.00
-Tensione pari ai valori amm. con AfComp/AfTesa pari a		
Min. percentuale di regolamento		
-Platee di fondazione su suolo elastico	Si	No
-Solette di elevazione	No	Si
Controlla min. armatura di ripartizione	Si	Si
Elenco diametri utilizzabili 1 <mm>	14	10
Elenco diametri utilizzabili 2 <mm>	16	12
Elenco diametri utilizzabili 3 <mm>		14
Elenco diametri utilizzabili 4 <mm>		16
Elenco diametri utilizzabili 5 <mm>		
Elenco diametri utilizzabili 6 <mm>		
Elenco diametri utilizzabili 7 <mm>		
Passi utilizzabili		
-Minimo <cm>	20.00	15.00
-Massimo <cm>	20.00	30.00
-Incremento <cm>	5.00	5.00
Uniformizzazione interassi armatura	No	No
-Sempre		
-Nella stessa direzione		
-Nella stessa posizione		
Uniformizzazione diametri armatura	No	No
-Sempre		
-Nella stessa direzione		
-Nella stessa posizione		
Tipo di ottimizzazione armatura a flessione		
-Minimizza il numero dei ferri		
-Minimizza il peso complessivo dei ferri	x	x
Verifiche a taglio	-	-
-Escludi punti di verifica sotto piramidi di punzonamento	No	No
-Escludi punti di verifica sotto muri/bidimensionali	No	No
Ancoraggi	-	-
Fattore di riduzione per ancoraggio ferri	1.00	1.00
Lunghezza ancoraggi armature		
-Calcolata in funzione della Sigmaf	x	x
-Imposta come multiplo del diametro		
Lunghezza ancoraggi ferri punzonamento		
-Calcolata in funzione della Sigmaf	x	x
-Imposta come multiplo del diametro		
Armatura a punzonamento	-	-
Fattore di riduzione altezza soletta/platea	0.90	0.90
Modifica altezza soletta/platea	Si	Si
Allargamento piastra pilastri in acciaio <cm>	5.00	5.00
Distanza dal bordo libero		
-Distanza come un moltiplicatore dello spessore	1.00	1.00
-Distanza imposta a <cm>		
Moltiplicatore altezza utile per valutare perimetro efficace (D.M. 08)	2.00	2.00

Tolleranza di posizionamento barre		
-Distanza come un moltiplicatore dello spessore	0.10	0.10
-Distanza imposta a <cm>		
Elenco diametri utilizzabili 1 <mm>	12	12
Elenco diametri utilizzabili 2 <mm>	14	14
Elenco diametri utilizzabili 3 <mm>	16	16
Elenco diametri utilizzabili 4 <mm>	18	18
Elenco diametri utilizzabili 5 <mm>	20	20
Elenco diametri utilizzabili 6 <mm>		
Elenco diametri utilizzabili 7 <mm>		
Passi utilizzabili		
-Minimo <cm>	10.00	10.00
-Massimo <cm>	20.00	20.00
-Incremento <cm>	2.00	2.00
Tipo di ottimizzazione armatura a punzonamento		
-Minimizza il numero dei ferri	x	x
-Minimizza il peso complessivo dei ferri		
<u>Dati per progettazione agli stati limite</u>	-	-
Gruppo di esigenza		
-Ambiente poco aggressivo	x	x
-Ambiente moderatamente aggressivo		
-Ambiente molto aggressivo		
Usa dominio N-M per flessioni rette	No	No
-Ricerca della sicurezza con sforzo normale costante		
-Ricerca della sicurezza con eccentricità costante		
Controllo rapporto X/D	No	No
Barre da considerare tese per verifiche a taglio		
-Solo le barre con deformazione percentuale rispetto		
Incremento <%>	30.00	30.00
-Tutte le barre in trazione		

Verifiche e armature travi

Simbologia

Caso	= Caso di verifica
Xg	= Coordinata progressiva (dal primo nodo) in cui viene effettuato il progetto/verifica
CC	= Combinazione delle condizioni di carico elementari
	c = momento fittizio in campata
	a = momento fittizio agli appoggi
	TG = taglio da gerarchia delle resistenze
	T = momento traslato per taglio
	e = eccentricità aggiuntiva in caso di compressione o pressoflessione
TCC	= Tipo di combinazione di carico
	SLU = Stato limite ultimo
	SLU S = Stato limite ultimo (azione sismica)
	SLE R = Stato limite d'esercizio, combinazione rara
	SLE F = Stato limite d'esercizio, combinazione frequente
	SLE Q = Stato limite d'esercizio, combinazione quasi permanente
	SLD = Stato limite di danno
	SLV = Stato limite di salvaguardia della vita
	SLC = Stato limite di prevenzione del collasso
	SLO = Stato limite di operatività
	SLU I = Stato limite di resistenza al fuoco
El	= Elemento (asta) in cui viene effettuato il progetto/verifica (progressivo sul numero di aste)
Sez.	= Numero della sezione
Crit.	= Numero del criterio di progetto
X	= Coordinata progressiva rispetto al nodo iniziale
AfE S	= Area di ferro effettiva totale presente nel punto di verifica, superiore
AfE I	= Area di ferro effettiva totale presente nel punto di verifica, inferiore
AfEP S	= Area di ferro effettiva parziale presente nella CC considerata, per la sollecitazione indicata, superiore
AfEP I	= Area di ferro effettiva parziale presente nella CC considerata, per la sollecitazione indicata, inferiore
My	= Momento flettente intorno all'asse Y
Myu	= Momento ultimo intorno all'asse Y
Sic.	= Sicurezza a rottura
σ_f sup	= Tensione nel ferro - superiore
σ_f inf	= Tensione nel ferro - inferiore
σ_c	= Tensione nel calcestruzzo
Tz	= Taglio in dir. Z
X0	= Coordinata progressiva (dal nodo iniziale) dell'inizio del tratto
X1	= Coordinata progressiva (dal nodo iniziale) della fine del tratto
Lung.	= Lunghezza del tratto di progettazione
Staff.	= Staffatura adottata
AfE St.	= Area di ferro effettiva della staffatura (d'anima per travi a T o L)
bw	= Larghezza membratura resistente al taglio
Vsdu	= Taglio agente nella direzione del momento ultimo
ctg θ	= Cotangente dell'angolo di inclinazione dei puntoni di calcestruzzo
VRsd	= Taglio ultimo lato armatura
VRcd	= Taglio ultimo lato calcestruzzo
Vrdu	= Taglio ultimo assorbibile dal solo calcestruzzo
Sic.T	= Sicurezza a rottura per taglio
c	= Ricoprimento dell'armatura
s	= Distanza minima tra le barre
K3	= Coefficiente di forma del diagramma delle tensioni prima della fessurazione
s_{rm}	= Distanza media tra le fessure
Φ	= Diametro della barra
A_s	= Area complessiva dei ferri nell'area di calcestruzzo efficace
$A_{c\ eff}$	= Area di calcestruzzo efficace
σ_s	= Tensione nell'acciaio nella sezione fessurata
σ_{sr}	= Tensione nell'acciaio corrispondente al raggiungimento della resistenza a trazione nel calcestruzzo
ϵ_{sm}	= Deformazione unitaria media dell'armatura (*1000)
Wk	= Apertura delle fessure
Tipo	= Tipologia
	2C = Doppia C lato labbri
	2Cdx = Doppia C lato costola
	2I = Doppia I
	2L = Doppia L lato labbri
	2Ldx = Doppia L lato costole
	C = C
	Cdx = C destra
	Cir. = Circolare
	Cir.c = Circolare cava
	I = I
	L = L
	Ldx = L destra
	Om. = Omega
	Pg = Pi greco
	Pr = Poligono regolare
	Prc = Poligono regolare cavo
	Pc = Per coordinate
	Ia = Inerzie assegnate

R = Rettangolare
Rc = Rettangolare cava
T = T
U = U
Ur = U rovescia
V = V
Vr = V rovescia
Z = Z
Zdx = Z destra
Ts = T stondata
Ls = L stondata
Cs = C stondata
Is = I stondata
Dis. = Disegnata

B = Base
H = Altezza
Cf sup = Copriferro superiore
Cf inf = Copriferro inferiore
Cls = Tipo di calcestruzzo
Fck = Resistenza caratteristica cilindrica a compressione del calcestruzzo
Fctk = Resistenza caratteristica a trazione del calcestruzzo
Fcd = Resistenza di calcolo a compressione del calcestruzzo
Fctd = Resistenza di calcolo a trazione del calcestruzzo
Acc. = Tipo di acciaio
Fyk = Tensione caratteristica di snervamento dell'acciaio
Fyd = Resistenza di calcolo dell'acciaio

Travata n. 218

Nodi: -3266 201 202 -3338

Caratteristiche delle sezioni e dei materiali utilizzati

Sez.	Tipo	B <cm>	H <cm>	Cf sup <cm>	Cf inf <cm>	Cls	Fck <daN/cm²>	Fctk <daN/cm²>	Fcd <daN/cm²>	Fctd <daN/cm²>	Acc.	Fyk <daN/cm²>	Fyd <daN/cm²>
7R		60.00	30.00	4.00	4.00	C28/35	290.50	19.84	164.62	13.23	B450C	4500.00	3913.04

Stato limite ultimo - Ferri longitudinali - Verifiche armatura

Xg <m>	CC	TCC	El	X <cm>	AfE S <cmq>	AfE I <cmq>	AfEP S <cmq>	AfEP I <cmq>	My <daNm>	Myu <daNm>	Sic.
0.30	5	SLV	1	280.00	8.04	8.04	8.04	6.11	-1965.74	-7667.94	3.901
1.35	83	SLU	1	175.43	8.04	8.04	8.04	7.77	2578.70	7432.46	2.882
3.10	83	SLU	1	0.00	8.04	8.04	8.04	5.15	-7558.41	-7667.79	1.014
3.40	84	SLU	2	380.00	8.04	8.04	8.04	5.15	-5293.27	-7667.76	1.449
5.15	36	SLU	2	205.00	8.04	8.04	8.04	8.01	5100.71	7637.99	1.497
6.90	35	SLU	2	30.00	8.04	8.04	8.04	5.16	-5260.00	-7667.79	1.458
7.20	84	SLU	3	310.00	8.04	8.04	8.04	5.15	-7606.31	-7667.77	1.008
8.96	84	SLU	3	134.24	8.04	8.04	8.04	7.78	2586.58	7436.48	2.875
10.00	5	SLV	3	30.00	8.04	8.04	8.04	6.12	-1933.26	-7667.92	3.966

Stato limite ultimo - Ferri longitudinali - Verifiche armatura a taglio

Xg <m>	CC	TCC	El	X <cm>	AfE I <cmq>	Tz <daN>	AfEP I <cmq>	σ _f inf <daN/cm²>
0.30	36	SLU	1	280.00	8.04	-6910.76	1.93	3583.94
1.35	5	SLV	1	175.43	8.04	-763.45	0.27	2819.59
3.10	83	SLU	1	0.00	8.04	11299.90	2.89	3913.04
3.40	84	SLU	2	380.00	8.04	-11303.80	2.89	3913.04
5.15	29	SLV	2	205.00	8.04	-95.07	0.03	2736.48
6.90	35	SLU	2	30.00	8.04	11296.30	2.89	3913.04
7.20	84	SLU	3	310.00	8.04	-11331.30	2.90	3913.04
8.96	5	SLV	3	134.24	8.04	750.03	0.27	2817.92
10.00	35	SLU	3	30.00	8.04	6867.88	1.92	3578.61

Stato limite d'esercizio - Ferri longitudinali - Verifiche armatura

Xg <m>	CC	TCC	El	X <cm>	AfE S <cmq>	AfE I <cmq>	My <daNm>	σ _f sup <daN/cm²>	σ _f inf <daN/cm²>	σ _c <daN/cm²>
0.30	40	SLE R	1	280.00	8.04	8.04	-1067.73	573.42	-115.01	16.01
0.30	48	SLE Q	1	280.00	8.04	8.04	-778.76	418.23	-83.88	11.68
1.35	87	SLE R	1	175.43	8.04	8.04	1871.88	-201.62	1005.29	28.07
1.35	95	SLE Q	1	175.43	8.04	8.04	1423.18	-153.29	764.32	21.34
3.10	87	SLE R	1	0.00	8.04	8.04	-5459.67	2932.10	-588.07	81.87
3.10	95	SLE Q	1	0.00	8.04	8.04	-4099.75	2201.76	-441.59	61.48
3.40	88	SLE R	2	380.00	8.04	8.04	-3816.01	2049.38	-411.03	57.22
3.40	96	SLE Q	2	380.00	8.04	8.04	-2859.64	1535.76	-308.01	42.88
5.15	40	SLE R	2	205.00	8.04	8.04	3665.97	-394.87	1968.80	54.97
5.15	48	SLE Q	2	205.00	8.04	8.04	2719.07	-292.87	1460.27	40.78
6.90	39	SLE R	2	30.00	8.04	8.04	-3787.27	2033.94	-407.93	56.79
6.90	47	SLE Q	2	30.00	8.04	8.04	-2822.93	1516.05	-304.06	42.33
7.20	88	SLE R	3	310.00	8.04	8.04	-5493.55	2950.30	-591.72	82.38
7.20	96	SLE Q	3	310.00	8.04	8.04	-4126.02	2215.87	-444.42	61.87
8.96	88	SLE R	3	134.24	8.04	8.04	1877.83	-202.26	1008.49	28.16
8.96	96	SLE Q	3	134.24	8.04	8.04	1429.04	-153.92	767.46	21.43
10.00	39	SLE R	3	30.00	8.04	8.04	-1032.07	554.27	-111.17	15.48
10.00	47	SLE Q	3	30.00	8.04	8.04	-748.54	402.00	-80.63	11.23

Verifiche stato limite di formazione delle fessure

Caso	Xg <m>	CC	TCC	El	Sez.	Crit.	X <cm>	My <daNm>	c <mm>	s <mm>	K3	s _{zm} <mm>	Φ	A _s <cmq>	A _{c eff} <cmq>	σ _s <daN/cmq>	σ _{sr} <daN/cmq>	ε _{sm}	Wk <mm>
68	0.30	48	SLE Q	1	7	1	280.00	-778.76	32	173.33	0.13	182.04	16	8.04	838.16	418.23	1999.92	0.08	0.03
84	0.30	44	SLE F	1	7	1	280.00	-869.17	32	173.33	0.13	182.04	16	8.04	838.16	466.79	1999.92	0.09	0.03
175	1.35	95	SLE Q	1	7	1	175.43	1423.18	32	173.33	0.13	182.04	16	8.04	838.16	764.32	1999.92	0.15	0.05
191	1.35	91	SLE F	1	7	1	175.43	1554.14	32	173.33	0.13	182.04	16	8.04	838.16	834.65	1999.92	0.16	0.05
271	3.10	95	SLE Q	1	7	1	0.00	-4099.75	32	173.33	0.13	182.04	16	8.04	838.16	2201.76	1666.60	0.76	0.24
285	3.10	89	SLE F	1	7	1	0.00	-4444.30	32	173.33	0.13	182.04	16	8.04	838.16	2386.80	1666.60	0.88	0.27
368	3.40	96	SLE Q	2	7	1	380.00	-2859.64	32	173.33	0.13	182.04	16	8.04	838.16	1535.76	1999.92	0.30	0.09
384	3.40	92	SLE F	2	7	1	380.00	-3141.01	32	173.33	0.13	182.04	16	8.04	838.16	1686.87	1999.92	0.33	0.10
452	5.15	48	SLE Q	2	7	1	205.00	2719.07	32	173.33	0.13	182.04	16	8.04	838.16	1460.27	1999.92	0.28	0.09
468	5.15	44	SLE F	2	7	1	205.00	2998.77	32	173.33	0.13	182.04	16	8.04	838.16	1610.49	1999.92	0.31	0.10
547	6.90	47	SLE Q	2	7	1	30.00	-2822.93	32	173.33	0.13	182.04	16	8.04	838.16	1516.05	1999.92	0.29	0.09
563	6.90	43	SLE F	2	7	1	30.00	-3106.14	32	173.33	0.13	182.04	16	8.04	838.16	1668.15	1999.92	0.32	0.10
643	7.20	47	SLE Q	3	7	1	310.00	-3996.27	32	173.33	0.13	182.04	16	8.04	838.16	2146.19	1666.60	0.73	0.23
672	7.20	92	SLE F	3	7	1	310.00	-4527.34	32	173.33	0.13	182.04	16	8.04	838.16	2431.40	1999.92	0.78	0.24
752	8.96	96	SLE Q	3	7	1	134.24	1429.04	32	173.33	0.13	182.04	16	8.04	838.16	767.46	1999.92	0.15	0.05
768	8.96	92	SLE F	3	7	1	134.24	1560.17	32	173.33	0.13	182.04	16	8.04	838.16	837.88	1999.92	0.16	0.05
835	10.00	47	SLE Q	3	7	1	30.00	-748.54	32	173.33	0.13	182.04	16	8.04	838.16	402.00	1999.92	0.08	0.02
851	10.00	43	SLE F	3	7	1	30.00	-836.43	32	173.33	0.13	182.04	16	8.04	838.16	449.20	1999.92	0.09	0.03

Staffe - Verifiche armatura

CC	X0 <m>	X1 <m>	Lung. <m>	Staff.	AfE St. <cmq/m>	bw <m>	Vsdu <daN>	ctgθ	VRsd <daN>	VRcd <daN>	Vrdu <daN>	Sic.T
36 SLU	0.30	0.56	0.27	ø12/ 6 2 br.	37.70	0.60	6910.76	1.54	53054.80	53054.80	53054.80	7.68
83 SLU	0.56	2.83	2.27	ø12/20 2 br.	11.31	0.60	9591.41	2.50	25889.50	39947.50	25889.50	2.70
83 SLU	2.83	3.10	0.27	ø12/ 6 2 br.	37.70	0.60	11299.90	1.53	52984.90	52984.90	52984.90	4.69
84 SLU	3.40	3.67	0.27	ø12/ 6 2 br.	37.70	0.60	11303.80	1.54	53080.70	53080.70	53080.70	4.70
84 SLU	3.67	6.63	2.97	ø12/20 2 br.	11.31	0.60	9595.31	2.50	25889.50	40049.00	25889.50	2.70
35 SLU	6.63	6.90	0.27	ø12/ 6 2 br.	37.70	0.60	11296.30	1.54	53111.70	53111.70	53111.70	4.70
84 SLU	7.20	7.46	0.27	ø12/ 6 2 br.	37.70	0.60	11331.30	1.54	52994.40	52994.40	52994.40	4.68
84 SLU	7.46	9.73	2.27	ø12/20 2 br.	11.31	0.60	9622.78	2.50	25889.50	39957.60	25889.50	2.69
35 SLU	9.73	10.00	0.27	ø12/ 6 2 br.	37.70	0.60	6867.88	1.54	53055.80	53055.80	53055.80	7.73

Verifiche e armature pilastri

Simbologia

Xg	=	Coordinata progressiva (dal primo nodo) in cui viene effettuato il progetto/verifica
CC	=	Combinazione delle condizioni di carico elementari
	e	= eccentricità aggiuntiva in caso di compressione o pressoflessione
	α	= amplificazione per gerarchia delle resistenze
	TG	= taglio da gerarchia delle resistenze
TCC	=	Tipo di combinazione di carico
	SLU	= Stato limite ultimo
	SLU S	= Stato limite ultimo (azione sismica)
	SLE R	= Stato limite d'esercizio, combinazione rara
	SLE F	= Stato limite d'esercizio, combinazione frequente
	SLE Q	= Stato limite d'esercizio, combinazione quasi permanente
	SLD	= Stato limite di danno
	SLV	= Stato limite di salvaguardia della vita
	SLC	= Stato limite di prevenzione del collasso
	SLO	= Stato limite di operatività
	SLU I	= Stato limite di resistenza al fuoco
El	=	Elemento (asta) in cui viene effettuato il progetto/verifica (progressivo sul numero di aste)
Sez.	=	Numero della sezione
X	=	Coordinata progressiva rispetto al nodo iniziale
N	=	Sforzo normale
Mz	=	Momento flettente intorno all'asse Z
My	=	Momento flettente intorno all'asse Y
My ver.	=	Momento flettente di verifica intorno all'asse Y
Mz ver.	=	Momento flettente di verifica intorno all'asse Z
Nu	=	Sforzo normale ultimo
Myu	=	Momento ultimo intorno all'asse Y
Mzu	=	Momento ultimo intorno all'asse Z
α	=	Angolo asse neutro a rottura
ϵ_y	=	Deformazione nell'acciaio (*1000)
Sic.	=	Sicurezza a rottura
AfT	=	Area di ferro tesa
AfC	=	Area di ferro compressa
σ_c	=	Tensione nel calcestruzzo
σ_f	=	Tensione nel ferro
X0	=	Coordinata progressiva (dal nodo iniziale) dell'inizio del tratto
X1	=	Coordinata progressiva (dal nodo iniziale) della fine del tratto
Staff.	=	Staffatura adottata
Br _y	=	Numero bracci in dir. Y locale
Br _z	=	Numero bracci in dir. Z locale
bw _y	=	Larghezza membratura resistente al taglio in dir. Y
Vsdu _y	=	Taglio agente in dir. Y
ctg θ _y	=	Cotangente dell'angolo di inclinazione dei puntoni di calcestruzzo in dir. Y
VRsd _y	=	Taglio ultimo lato armatura in dir. Y
VRcd _y	=	Taglio ultimo lato calcestruzzo in dir. Y
bw _z	=	Larghezza membratura resistente al taglio in dir. Z
Vsdu _z	=	Taglio agente in dir. Z
ctg θ _z	=	Cotangente dell'angolo di inclinazione dei puntoni di calcestruzzo in dir. Z
VRsd _z	=	Taglio ultimo lato armatura in dir. Z
VRcd _z	=	Taglio ultimo lato calcestruzzo in dir. Z
Sic.T	=	Sicurezza a rottura per taglio
Nodo	=	Numero del nodo
Conf.	=	Nodo confinato
	S	= Sì
	N	= No
F.	=	Identificativo faccia del nodo
	Y+	= Faccia sul lato positivo Y locale pilastro
	Z+	= Faccia sul lato positivo Z locale pilastro
	Y-	= Faccia sul lato negativo Y locale pilastro
	Z-	= Faccia sul lato negativo Z locale pilastro
Mod.	=	Modalità di verifica faccia
	I	= Interna
	E	= Esterna
Br.	=	Numero bracci
As1	=	Area di ferro superiore delle travi incidenti sulla faccia
As2	=	Area di ferro inferiore delle travi incidenti sulla faccia
Bj	=	Larghezza effettiva utile del nodo
Hjc	=	Distanza tra armature pilastro
Hjw	=	Distanza tra armature trave
Ash	=	Area totale della sezione della staffa
Rgsn	=	Rapporto geometrico di staffatura nodo (7.4.29)
Tipo	=	Tipologia
	2C	= Doppia C lato labbri
	2Cdx	= Doppia C lato costola
	2I	= Doppia I
	2L	= Doppia L lato labbri
	2Ldx	= Doppia L lato costole
	C	= C
	Cdx	= C destra
	Cir.	= Circolare

Cir.c = Circolare cava
 I = I
 L = L
 Ldx = L destra
 Om. = Omega
 Pg = Pi greco
 Pr = Poligono regolare
 Prc = Poligono regolare cavo
 Pc = Per coordinate
 Ia = Inerzie assegnate
 R = Rettangolare
 Rc = Rettangolare cava
 T = T
 U = U
 Ur = U rovescia
 V = V
 Vr = V rovescia
 Z = Z
 Zdx = Z destra
 Ts = T stondata
 Ls = L stondata
 Cs = C stondata
 Is = I stondata
 Dis. = Disegnata

B = Base
 H = Altezza
 Cf = Copriferro
 Cls = Tipo di calcestruzzo
 Fck = Resistenza caratteristica cilindrica a compressione del calcestruzzo
 Fctk = Resistenza caratteristica a trazione del calcestruzzo
 Fcd = Resistenza di calcolo a compressione del calcestruzzo
 Fctd = Resistenza di calcolo a trazione del calcestruzzo
 Acc. = Tipo di acciaio
 Fyk = Tensione caratteristica di snervamento dell'acciaio
 Fyd = Resistenza di calcolo dell'acciaio

Pilastrata n. 1

Nodi: 101 201

Caratteristiche delle sezioni e dei materiali utilizzati

Sez. Tipo	B <cm>	H <cm>	Cf <cm>	Cls	Fck <daN/cm²>	Fctk <daN/cm²>	Fcd <daN/cm²>	Fctd <daN/cm²>	Acc.	Fyk <daN/cm²>	Fyd <daN/cm²>
3R	30.00	30.00	4.80	C28/35	290.50	19.84	164.62	13.23	B450C	4500.00	3913.04

Stato limite ultimo - Ferri longitudinali - Verifiche armatura

Xg <m>	CC	TCC	El	Sez.	X <cm>	N <daN>	My <daNm>	My ver. <daNm>	Mz <daNm>	Mz ver. <daNm>	Nu <daN>	Myu <daNm>	Mzu <daNm>	α <grad>	ε _y	Sic.
6.35	83(e)	SLU	1	3	0.00	-25578.70	22.27	511.57	-660.73	-660.73	-25578.70	4607.84	-5827.06	309.38	3.55	3.765
6.35	83(e)	SLU	1	3	0.00	-25578.70	22.27	511.57	-660.73	-660.73	-25578.70	4607.84	-5827.06	309.38	3.55	3.765
9.65	83(e)	SLU	1	3	330.00	-24613.50	-7.40	-492.27	1220.78	1220.78	-24613.50	-2989.26	7270.24	116.72	3.80	3.913

Stato limite d'esercizio - Ferri longitudinali - Verifiche armatura

Xg <m>	CC	TCC	El	Sez.	X <cm>	N <daN>	Mz <daNm>	My <daNm>	AfT <cmq>	AfC <cmq>	σ _c <daN/cm²>	σ _f <daN/cm²>
6.35	70	SLE R	1	3	0.00	-18389.50	-511.10	227.95	0.00	12.57	29.68	382.51
6.35	72	SLE R	1	3	0.00	-18344.20	-568.98	171.47	0.00	12.57	29.66	382.13
6.35	78	SLE Q	1	3	0.00	-13918.10	-380.77	196.31	0.00	12.57	22.77	292.61
6.35	70	SLE R	1	3	0.00	-18389.50	-511.10	227.95	0.00	12.57	29.68	382.51
6.35	72	SLE R	1	3	0.00	-18344.20	-568.98	171.47	0.00	12.57	29.66	382.13
6.35	78	SLE Q	1	3	0.00	-13918.10	-380.77	196.31	0.00	12.57	22.77	292.61
9.65	72	SLE R	1	3	330.00	-17601.70	972.31	-11.95	0.00	12.57	33.21	414.60
9.65	80	SLE Q	1	3	330.00	-13130.30	733.55	-10.38	0.00	12.57	24.95	311.02

Staffe - Verifiche armatura

X0 <m>	X1 <m>	Staff.	Br _y	Br _z	CC	TCC	bw _y <m>	Vsdu _y <daN>	ctgθ _y	VRsd _y <daN>	VRcd _y <daN>	bw _z <m>	Vsdu _z <daN>	ctgθ _z	VRsd _z <daN>	VRcd _z <daN>	Sic.T
6.35	6.90	ø8/15	2	2	66	SLU	0.30	602.41	2.50	14810.80	22542.90	0.30	101.13	2.50	14810.80	22542.90	24.59
6.35	6.90	ø8/15	2	2	84	SLU	0.30	638.69	2.50	14810.80	22543.70	0.30	8.93	2.50	14810.80	22543.70	23.19
6.35	6.90	ø8/15	2	2	17(TG)	SLV	0.30	3238.44	2.50	14810.80	20919.50	0.30	2810.39	2.50	14810.80	20919.50	4.57
6.35	6.90	ø8/15	2	2	5(TG)	SLV	0.30	4284.71	2.50	14810.80	20859.20	0.30	1596.00	2.50	14810.80	20859.20	3.46
6.90	9.10	ø8/20	2	2	66	SLU	0.30	602.41	2.50	11108.10	22522.00	0.30	101.13	2.50	11108.10	22522.00	18.44
6.90	9.10	ø8/20	2	2	84	SLU	0.30	638.69	2.50	11108.10	22522.80	0.30	8.93	2.50	11108.10	22522.80	17.39
6.90	9.10	ø8/20	2	2	17(TG)	SLV	0.30	3238.44	2.50	11108.10	20919.50	0.30	2810.39	2.50	11108.10	20919.50	3.43
6.90	9.10	ø8/20	2	2	5(TG)	SLV	0.30	4284.71	2.50	11108.10	20859.20	0.30	1596.00	2.50	11108.10	20859.20	2.59
9.10	9.65	ø8/15	2	2	66	SLU	0.30	602.41	2.50	14810.80	22438.50	0.30	101.13	2.50	14810.80	22438.50	24.59
9.10	9.65	ø8/15	2	2	84	SLU	0.30	638.69	2.50	14810.80	22439.30	0.30	8.93	2.50	14810.80	22439.30	23.19
9.10	9.65	ø8/15	2	2	17(TG)	SLV	0.30	3238.44	2.50	14810.80	20919.50	0.30	2810.39	2.50	14810.80	20919.50	4.57
9.10	9.65	ø8/15	2	2	5(TG)	SLV	0.30	4284.71	2.50	14810.80	20859.20	0.30	1596.00	2.50	14810.80	20859.20	3.46

Verifiche e armature solette/platee

Simbologia

Nodo	= Numero del nodo
X	= Coordinata X del nodo
Y	= Coordinata Y del nodo
DV	= Direzione di verifica
	XX = Verifica per momento Mxx
	YY = Verifica per momento Myy
CC	= Numero della combinazione delle condizioni di carico elementari
TCC	= Tipo di combinazione di carico
	SLU = Stato limite ultimo
	SLU S = Stato limite ultimo (azione sismica)
	SLE R = Stato limite d'esercizio, combinazione rara
	SLE F = Stato limite d'esercizio, combinazione frequente
	SLE Q = Stato limite d'esercizio, combinazione quasi permanente
	SLD = Stato limite di danno
	SLV = Stato limite di salvaguardia della vita
	SLC = Stato limite di prevenzione del collasso
	SLO = Stato limite di operatività
	SLU I = Stato limite di resistenza al fuoco
c	= Ricoprimento dell'armatura
s	= Distanza minima tra le barre
K3	= Coefficiente di forma del diagramma delle tensioni prima della fessurazione
s _{zm}	= Distanza media tra le fessure
Φ	= Diametro della barra
A _s	= Area complessiva dei ferri nell'area di calcestruzzo efficace
A _{c eff}	= Area di calcestruzzo efficace
σ _s	= Tensione nell'acciaio nella sezione fessurata
σ _{sr}	= Tensione nell'acciaio corrispondente al raggiungimento della resistenza a trazione nel calcestruzzo
ε _{sm}	= Deformazione unitaria media dell'armatura (*1000)
Wk	= Apertura delle fessure
AfE S	= Area di ferro effettiva totale presente nel punto di verifica, superiore
AfE I	= Area di ferro effettiva totale presente nel punto di verifica, inferiore
Mom	= Momento flettente
Mu	= Momento ultimo
Sic.	= Sicurezza a rottura
Vsdu	= Taglio agente nella direzione del momento ultimo
Vrdu	= Taglio ultimo assorbibile dal solo calcestruzzo
σ _c	= Tensione nel calcestruzzo
σ _f	= Tensione nel ferro
Pil	= Numero del pilastro
P _{sd}	= Sollecitazione di punzonamento
Pv	= Perimetro di verifica per punzonamento
Ab	= Area di base della superficie di punzonamento
σ _t	= Tensione sul terreno
Af punz.	= Area di ferro resistente a punzonamento
P _{rd}	= Resistenza al punzonamento
Spess.	= Spessore
Cf sup	= Copriferro superiore
Cf inf	= Copriferro inferiore
Cls	= Tipo di calcestruzzo
Fck	= Resistenza caratteristica cilindrica a compressione del calcestruzzo
Fctk	= Resistenza caratteristica a trazione del calcestruzzo
Fcd	= Resistenza di calcolo a compressione del calcestruzzo
Fctd	= Resistenza di calcolo a trazione del calcestruzzo
Acc.	= Tipo di acciaio
Fyk	= Tensione caratteristica di snervamento dell'acciaio
Fyd	= Resistenza di calcolo dell'acciaio

Armatura platea a quota -1.80

Caratteristiche delle sezioni e dei materiali utilizzati

Spess. <cm>	Cf sup <cm>	Cf inf <cm>	Cls	Fck <daN/cm²>	Fctk <daN/cm²>	Fcd <daN/cm²>	Fctd <daN/cm²>	Acc.	Fyk <daN/cm²>	Fyd <daN/cm²>
30.00	4.00	4.00	C28/35	290.50	19.84	164.62	13.23	B450C	4500.00	3913.04

Stato limite ultimo - Ferri longitudinali - Verifiche armatura

Nodo	X <m>	Y <m>	DV	CC	TCC	AfE S <cm²>	AfE I <cm²>	Mom <daNm>	Mu <daNm>	Sic.
-13	-1.00	0.00	XX	51	SLU	7.70	7.70	869.66	7768.06	8.932
-45	34.70	2.10	XX	36	SLU	7.70	7.70	-724.42	-7768.06	10.723
-19	32.90	0.00	XX	34	SLU	7.70	7.70	706.21	7768.06	11.000
-41	3.20	2.10	XX	84	SLU	7.70	7.70	-586.80	-7768.06	13.238
-4	2.30	-1.00	YY	50	SLU	7.70	7.70	3086.83	7768.06	2.517
-45	34.70	2.10	YY	68	SLU	7.70	7.70	-2491.85	-7768.06	3.117
-9	34.70	-1.00	YY	65	SLU	7.70	7.70	679.91	7768.06	11.425
-41	3.20	2.10	YY	68	SLU	7.70	7.70	-1280.74	-7768.06	6.065

Stato limite ultimo - Verifica a taglio del calcestruzzo

Nodo	X <m>	Y <m>	DV	CC	TCC	AfE S <cmq>	AfE I <cmq>	Vsdu <daN>	Vrdu <daN>
-13	-1.00	0.00	XX	84	SLU	7.70	7.70	5140.29	12613.40
-48	38.00	2.10	XX	65	SLU	7.70	7.70	5388.52	12613.40
-3	1.30	-1.00	YY	68	SLU	7.70	7.70	13828.40	12613.40
-7	32.90	-1.00	YY	52	SLU	7.70	7.70	5805.64	12613.40

Stato limite d'esercizio - Ferri longitudinali - Verifiche armatura

Nodo	X <m>	Y <m>	DV	CC	TCC	AfE S <cmq>	AfE I <cmq>	Mom <daNm>	σ_c <daN/cmq>	σ_f <daN/cmq>
-13	-1.00	0.00	XX	55	SLE R	7.70	7.70	572.14	6.74	314.08
-13	-1.00	0.00	XX	63	SLE Q	7.70	7.70	548.77	6.46	301.25
-45	34.70	2.10	XX	40	SLE R	7.70	7.70	-542.02	6.38	297.55
-45	34.70	2.10	XX	48	SLE Q	7.70	7.70	-501.44	5.90	275.27
-19	32.90	0.00	XX	38	SLE R	7.70	7.70	527.78	6.21	289.73
-19	32.90	0.00	XX	46	SLE Q	7.70	7.70	450.67	5.31	247.40
-41	3.20	2.10	XX	88	SLE R	7.70	7.70	-463.63	5.46	254.52
-41	3.20	2.10	XX	96	SLE Q	7.70	7.70	-448.10	5.28	245.99
-4	2.30	-1.00	YY	54	SLE R	7.70	7.70	2099.03	24.71	1152.30
-4	2.30	-1.00	YY	62	SLE Q	7.70	7.70	2017.48	23.75	1107.52
-45	34.70	2.10	YY	72	SLE R	7.70	7.70	-1864.70	21.95	1023.66
-45	34.70	2.10	YY	80	SLE Q	7.70	7.70	-1729.18	20.36	949.26
-9	34.70	-1.00	YY	69	SLE R	7.70	7.70	487.55	5.74	267.65
-8	33.80	-1.00	YY	80	SLE Q	7.70	7.70	428.39	5.04	235.17
-41	3.20	2.10	YY	72	SLE R	7.70	7.70	-996.55	11.73	547.07
-41	3.20	2.10	YY	80	SLE Q	7.70	7.70	-938.45	11.05	515.18

Verifiche stato limite di formazione delle fessure

Nodo	X <m>	Y <m>	DV	CC	TCC	c <mm>	s <mm>	K3	s _{rm} <mm>	Φ	A _s <cmq>	A _{c eff} <cmq>	σ_s <daN/cmq>	σ_{sr} <daN/cmq>	ϵ_{sm}	Wk <mm>
-13	-1.00	0.00	XX	63	SLE Q	33.00	196.00	0.14	215.22	14.00	1.54	223.55	301.25	3105.67	0.06	0.02
-13	-1.00	0.00	XX	59	SLE F	33.00	196.00	0.14	215.22	14.00	1.54	223.55	308.03	3105.67	0.06	0.02
-45	34.70	2.10	XX	48	SLE Q	33.00	196.00	0.14	215.22	14.00	1.54	223.55	275.27	3105.67	0.05	0.02
-45	34.70	2.10	XX	44	SLE F	33.00	196.00	0.14	215.22	14.00	1.54	223.55	284.22	3105.67	0.06	0.02
-19	32.90	0.00	XX	42	SLE F	33.00	196.00	0.14	215.22	14.00	1.54	223.55	266.08	3105.67	0.05	0.02
-19	32.90	0.00	XX	46	SLE Q	33.00	196.00	0.14	215.22	14.00	1.54	223.55	247.40	3105.67	0.05	0.02
-41	3.20	2.10	XX	96	SLE Q	33.00	196.00	0.14	215.22	14.00	1.54	223.55	245.99	3105.67	0.05	0.02
-41	3.20	2.10	XX	92	SLE F	33.00	196.00	0.14	215.22	14.00	1.54	223.55	249.18	3105.67	0.05	0.02
-4	2.30	-1.00	YY	62	SLE Q	33.00	196.00	0.14	215.22	14.00	1.54	223.55	1107.52	3105.67	0.22	0.08
-4	2.30	-1.00	YY	58	SLE F	33.00	196.00	0.14	215.22	14.00	1.54	223.55	1128.26	3105.67	0.22	0.08
-45	34.70	2.10	YY	80	SLE Q	33.00	196.00	0.14	215.22	14.00	1.54	223.55	949.26	3105.67	0.18	0.07
-45	34.70	2.10	YY	76	SLE F	33.00	196.00	0.14	215.22	14.00	1.54	223.55	980.66	3105.67	0.19	0.07
-8	33.80	-1.00	YY	80	SLE Q	33.00	196.00	0.14	215.22	14.00	1.54	223.55	235.17	3105.67	0.05	0.02
-9	34.70	-1.00	YY	73	SLE F	33.00	196.00	0.14	215.22	14.00	1.54	223.55	249.68	3195.81	0.05	0.02
-41	3.20	2.10	YY	80	SLE Q	33.00	196.00	0.14	215.22	14.00	1.54	223.55	515.18	3105.67	0.10	0.04
-41	3.20	2.10	YY	76	SLE F	33.00	196.00	0.14	215.22	14.00	1.54	223.55	527.67	3105.67	0.10	0.04

Armatura platea a quota 0.00
Caratteristiche delle sezioni e dei materiali utilizzati

Spess. <cm>	Cf sup <cm>	Cf inf <cm>	Cl _s	F _{ck} <daN/cmq>	F _{ctk} <daN/cmq>	F _{cd} <daN/cmq>	F _{ctd} <daN/cmq>	Acc.	F _{yk} <daN/cmq>	F _{yd} <daN/cmq>
60.00	4.00	4.00	C28/35	290.50	19.84	164.62	13.23	B450C	4500.00	3913.04
60.00	4.00	4.00	C28/35	290.50	19.84	164.62	13.23	B450C	4500.00	3913.04

Stato limite ultimo - Ferri longitudinali - Verifiche armatura

Nodo	X <m>	Y <m>	DV	CC	TCC	AfE S <cmq>	AfE I <cmq>	Mom <daNm>	Mu <daNm>	Sic.
-415	-1.00	8.30	XX	68	SLU	7.70	7.70	8272.43	16803.60	2.031
-246	16.15	3.60	XX	68	SLU	7.70	7.70	-5557.99	-16803.60	3.023
-411	34.70	7.30	XX	65	SLU	7.70	7.70	-12777.50	-16803.60	1.315
-297	32.26	4.45	XX	51	SLU	7.70	7.70	6973.56	16803.60	2.410
-717	4.75	15.60	YY	82	SLU	7.70	7.70	7600.02	16803.60	2.211
-203	9.30	2.90	YY	68	SLU	7.70	7.70	-8897.69	-16803.60	1.889
-743	33.80	15.60	YY	65	SLU	7.70	7.70	3798.11	16803.60	4.424
-594	32.90	11.75	YY	83	SLU	7.70	7.70	-7040.40	-16803.60	2.387

Stato limite ultimo - Verifica a taglio del calcestruzzo

Nodo	X <m>	Y <m>	DV	CC	TCC	AfE S <cmq>	AfE I <cmq>	Vsdu <daN>	Vrdu <daN>
-335	32.90	5.30	XX	65	SLU	7.70	7.70	16315.10	21332.30
-54	4.10	-1.00	YY	66	SLU	7.70	7.70	18578.90	21332.30
-189	34.70	2.10	YY	68	SLU	7.70	7.70	16332.20	21332.30

Stato limite d'esercizio - Ferri longitudinali - Verifiche armatura

Nodo	X <m>	Y <m>	DV	CC	TCC	AfE S <cmq>	AfE I <cmq>	Mom <daNm>	σ_c <daN/cmq>	σ_f <daN/cmq>
-452	-1.00	9.30	XX	70	SLE R	7.70	7.70	5751.47	19.78	1418.55
-415	-1.00	8.30	XX	80	SLE Q	7.70	7.70	5602.05	19.26	1381.70
-246	16.15	3.60	XX	72	SLE R	7.70	7.70	-4161.44	14.31	1026.38
-246	16.15	3.60	XX	80	SLE Q	7.70	7.70	-3757.98	12.92	926.87
-411	34.70	7.30	XX	69	SLE R	7.70	7.70	-9609.66	33.04	2370.14
-411	34.70	7.30	XX	77	SLE Q	7.70	7.70	-8937.95	30.73	2204.46
-297	32.26	4.45	XX	55	SLE R	7.70	7.70	5244.15	18.03	1293.42
-297	32.26	4.45	XX	63	SLE Q	7.70	7.70	4918.92	16.91	1213.21
-717	4.75	15.60	YY	86	SLE R	7.70	7.70	5321.44	18.30	1312.49
-716	4.10	15.60	YY	94	SLE Q	7.70	7.70	5170.49	17.78	1275.26
-203	9.30	2.90	YY	72	SLE R	7.70	7.70	-6741.32	23.18	1662.69
-203	9.30	2.90	YY	80	SLE Q	7.70	7.70	-6267.65	21.55	1545.86
-743	33.80	15.60	YY	69	SLE R	7.70	7.70	2821.77	9.70	695.96
-594	32.90	11.75	YY	87	SLE R	7.70	7.70	-5353.79	18.41	1320.46
-594	32.90	11.75	YY	95	SLE Q	7.70	7.70	-5151.72	17.72	1270.63
-743	33.80	15.60	YY	77	SLE Q	7.70	7.70	2648.60	9.11	653.25

Verifiche stato limite di formazione delle fessure

Nodo	X <m>	Y <m>	DV	CC	TCC	c <mm>	s <mm>	K3	s _{rm} <mm>	Φ	A _s <cmq>	A _{c eff} <cmq>	σ_s <daN/cmq>	σ_{sr} <daN/cmq>	ϵ_{sm}	W _k <mm>
-415	-1.00	8.30	XX	80	SLE Q	33.00	196.00	0.19	261.86	14.00	1.54	223.55	1381.70	5472.78	0.27	0.12
-415	-1.00	8.30	XX	76	SLE F	33.00	196.00	0.19	261.86	14.00	1.54	223.55	1393.00	5528.74	0.27	0.12
-246	16.15	3.60	XX	80	SLE Q	33.00	196.00	0.19	261.86	14.00	1.54	223.55	926.87	5472.78	0.18	0.08
-246	16.15	3.60	XX	76	SLE F	33.00	196.00	0.19	261.86	14.00	1.54	223.55	968.19	5472.78	0.19	0.08
-411	34.70	7.30	XX	77	SLE Q	33.00	196.00	0.19	261.86	14.00	1.54	223.55	2204.46	5472.78	0.43	0.19
-411	34.70	7.30	XX	73	SLE F	33.00	196.00	0.19	261.86	14.00	1.54	223.55	2270.01	5472.78	0.44	0.20
-297	32.26	4.45	XX	63	SLE Q	33.00	196.00	0.19	261.86	14.00	1.54	223.55	1213.21	5472.78	0.24	0.10
-297	32.26	4.45	XX	59	SLE F	33.00	196.00	0.19	261.86	14.00	1.54	223.55	1237.01	5472.78	0.24	0.11
-716	4.10	15.60	YY	94	SLE Q	33.00	196.00	0.19	261.86	14.00	1.54	223.55	1275.26	5472.78	0.25	0.11
-716	4.10	15.60	YY	90	SLE F	33.00	196.00	0.19	261.86	14.00	1.54	223.55	1284.97	5472.78	0.25	0.11
-203	9.30	2.90	YY	80	SLE Q	33.00	196.00	0.19	261.86	14.00	1.54	223.55	1545.86	5472.78	0.30	0.13
-203	9.30	2.90	YY	76	SLE F	33.00	196.00	0.19	261.86	14.00	1.54	223.55	1588.41	5472.78	0.31	0.14
-594	32.90	11.75	YY	95	SLE Q	33.00	196.00	0.19	261.86	14.00	1.54	223.55	1270.63	5472.78	0.25	0.11
-594	32.90	11.75	YY	91	SLE F	33.00	196.00	0.19	261.86	14.00	1.54	223.55	1281.72	5472.78	0.25	0.11
-743	33.80	15.60	YY	77	SLE Q	33.00	196.00	0.19	261.86	14.00	1.54	223.55	653.25	5472.78	0.13	0.06
-743	33.80	15.60	YY	73	SLE F	33.00	196.00	0.19	261.86	14.00	1.54	223.55	666.15	5472.78	0.13	0.06

Armatura soletta a quota 6.35
Caratteristiche delle sezioni e dei materiali utilizzati

Spess. <cm>	Cf sup <cm>	Cf inf <cm>	Cl _s	F _{ck} <daN/cmq>	F _{ctk} <daN/cmq>	F _{cd} <daN/cmq>	F _{ctd} <daN/cmq>	Acc.	F _{yk} <daN/cmq>	F _{yd} <daN/cmq>
30.00	5.00	5.00	C28/35	290.50	19.84	164.62	13.23	B450C	4500.00	3913.04

Stato limite ultimo - Ferri longitudinali - Verifiche armatura

Nodo	X <m>	Y <m>	DV	CC	TCC	AfE S <cmq>	AfE I <cmq>	Mom <daNm>	Mu <daNm>	Sic.
-2672	-1.00	11.00	XX	50	SLU	5.65	5.65	-2767.96	-6008.65	2.171
-2601	2.30	9.30	XX	33	SLU	5.65	5.65	1913.44	6008.65	3.140
-2715	4.75	11.75	YY	49	SLU	5.65	5.65	2585.05	6008.65	2.324
-2862	4.10	15.60	YY	35	SLU	5.65	5.65	-3178.20	-6008.65	1.891

Stato limite ultimo - Verifica a taglio del calcestruzzo

Nodo	X <m>	Y <m>	DV	CC	TCC	AfE S <cmq>	AfE I <cmq>	V _{sdu} <daN>	V _{rdu} <daN>
-2862	4.10	15.60	YY	84	SLU	5.65	5.65	10797.90	12297.00

Stato limite d'esercizio - Ferri longitudinali - Verifiche armatura

Nodo	X <m>	Y <m>	DV	CC	TCC	AfE S <cmq>	AfE I <cmq>	Mom <daNm>	σ_c <daN/cmq>	σ_f <daN/cmq>
-2672	-1.00	11.00	XX	54	SLE R	5.65	5.65	-1966.44	29.32	1510.70
-2672	-1.00	11.00	XX	62	SLE Q	5.65	5.65	-1863.85	27.79	1431.89
-2601	2.30	9.30	XX	37	SLE R	5.65	5.65	1425.63	21.25	1095.23
-2601	2.30	9.30	XX	45	SLE Q	5.65	5.65	1254.67	18.70	963.89
-2715	4.75	11.75	YY	53	SLE R	5.65	5.65	1920.55	28.63	1475.45
-2715	4.75	11.75	YY	61	SLE Q	5.65	5.65	1709.58	25.49	1313.38
-2863	4.75	15.60	YY	39	SLE R	5.65	5.65	-2263.64	33.75	1739.03
-2862	4.10	15.60	YY	47	SLE Q	5.65	5.65	-2135.03	31.83	1640.23

Verifiche stato limite di formazione delle fessure

Nodo	X <m>	Y <m>	DV	CC	TCC	c <mm>	s <mm>	K3	s _{cr} <mm>	Φ	A _s <cmq>	A _{c eff} <cmq>	σ _s <daN/cmq>	σ _{sr} <daN/cmq>	ε _{sm}	Wk <mm>
-2672	-1.00	11.00	XX	62	SLE Q	44.00	168.00	0.14	231.42	12.00	1.13	186.74	1431.89	4161.45	0.28	0.11
-2672	-1.00	11.00	XX	58	SLE F	44.00	168.00	0.14	231.42	12.00	1.13	186.74	1452.49	4161.45	0.28	0.11
-2601	2.30	9.30	XX	45	SLE Q	44.00	168.00	0.14	231.42	12.00	1.13	186.74	963.89	4161.45	0.19	0.07
-2601	2.30	9.30	XX	41	SLE F	44.00	168.00	0.14	231.42	12.00	1.13	186.74	995.13	4161.45	0.19	0.08
-2715	4.75	11.75	YY	61	SLE Q	44.00	168.00	0.14	231.42	12.00	1.13	186.74	1313.38	4161.45	0.26	0.10
-2715	4.75	11.75	YY	57	SLE F	44.00	168.00	0.14	231.42	12.00	1.13	186.74	1349.27	4161.45	0.26	0.10
-2862	4.10	15.60	YY	47	SLE Q	44.00	168.00	0.14	231.42	12.00	1.13	186.74	1640.23	4161.45	0.32	0.13
-2862	4.10	15.60	YY	43	SLE F	44.00	168.00	0.14	231.42	12.00	1.13	186.74	1667.01	4275.92	0.32	0.13

Verifiche aste in acciaio

Simbologia

Sez.	=	Numero della sezione
Cod.	=	Codice
Tipo	=	Tipologia
		2C = Doppia C lato labbri
		2Cdx = Doppia C lato costola
		2I = Doppia I
		2L = Doppia L lato labbri
		2Ldx = Doppia L lato costole
		C = C
		Cdx = C destra
		Cir. = Circolare
		Cir.c = Circolare cava
		I = I
		L = L
		Ldx = L destra
		Om. = Omega
		Pg = Pi greco
		Pr = Poligono regolare
		Prc = Poligono regolare cavo
		Pc = Per coordinate
		Ia = Inerzie assegnate
		R = Rettangolare
		Rc = Rettangolare cava
		T = T
		U = U
		Ur = U rovescia
		V = V
		Vr = V rovescia
		Z = Z
		Zdx = Z destra
		Ts = T stondata
		Ls = L stondata
		Cs = C stondata
		Is = I stondata
		Dis. = Disegnata
D	<cm>	= Distanza
Area	<cmq>	= Area
Anet	<cmq>	= Area netta per compressione
Aeff	<cmq>	= Area effettiva per trazione
Jy	<cm4>	= Momento d'inerzia rispetto all'asse Y
Jz	<cm4>	= Momento d'inerzia rispetto all'asse Z
Iy	<cm>	= Raggio giratorio d'inerzia rispetto all'asse Y
Iz	<cm>	= Raggio giratorio d'inerzia rispetto all'asse Z
Wymin	<cmc>	= Modulo di resistenza minimo rispetto all'asse Y
Wzmin	<cmc>	= Modulo di resistenza minimo rispetto all'asse Z
Wy,plas	<cmc>	= Modulo di resistenza plastico intorno all'asse Y
Wz,plas	<cmc>	= Modulo di resistenza plastico intorno all'asse Z
Atag,y	<cmq>	= Area resistente a taglio in dir. Y
Atag,z	<cmq>	= Area resistente a taglio in dir. Z
J ₀	<cm6>	= Costante di ingobbamento
CC		= Numero della combinazione delle condizioni di carico elementari
N,Ed	<daN>	= Forza assiale di calcolo
My,Ed	<daNm>	= Momento flettente di calcolo intorno all'asse Y
Nc,Rd	<daN>	= Resistenza a compressione
My,C,Rd	<daNm>	= Resistenza di calcolo a flessione intorno all'asse Y
L	<cm>	= Lunghezza dell'asta
α _{my} , α _{mz} , α _{LT}		= Coefficienti correttivi per il momento flettente
L _{cr}	<m>	= Lunghezza di libera inflessione laterale fra ritegni torsionali
α-imp		= Coefficiente di imperfezione
k _c		= Coeff. di correzione momento flettente per stabilità laterale membrane inflesse
ψ		= Coeff. di correzione momento critico per stabilità laterale membrane inflesse
M,cr	<daNm>	= Momento critico per instabilità flesso torsionale
λ _{LT}		= Coefficiente di imperfezione per stabilità laterale membrane inflesse
λ _{LT,0}		= Coefficiente di imperfezione di confronto per stabilità laterale membrane inflesse
β _{LT}		= Coefficiente per calcolo Φ _{LT}
Φ _{LT}		= Coefficiente Φ per stabilità laterale membrane inflesse
f		= Fattore di modifica per il coefficiente di riduzione
χ _{LT}		= Coefficiente di riduzione per stabilità laterale membrane inflesse
λ _y		= Snellezza per inflessione intorno all'asse y(c)
N _{cr,y}	<daN>	= Sforzo normale critico euleriano per inflessione intorno all'asse y(c)
λ _y *		= Snellezza adimensionale per inflessione intorno all'asse y(c)
Curva		= Curva di instabilità adottata
Φ _y		= Coefficiente Φ per inflessione intorno all'asse y(c)
χ _y		= Coefficiente χ di riduzione per instabilità intorno all'asse y(c)
λ _z		= Snellezza per inflessione intorno all'asse z(e)
N _{cr,z}	<daN>	= Sforzo normale critico euleriano per inflessione intorno all'asse z(e)

λ_z^* = Snellezza adimensionale per inflessione intorno all'asse z(e)
 Φ_z = Coefficiente Φ per inflessione intorno all'asse z(e)
 χ_z = Coefficiente χ di riduzione per instabilità intorno all'asse z(e)
 $K_{yy}, K_{yz}, K_{zy}, K_{zz}$ = Coefficienti di interazione
 X_l <m> = Coordinata progressiva (dal nodo iniziale dell'asta) in cui viene effettuato il progetto/verifica
 N <daN> = Sforzo normale
 T_z <daN> = Taglio in dir. Z
 V, Ed <daN> = Forza di taglio di calcolo
 V_c, Rd <daN> = Resistenza a taglio
 My, b, Rd <daNm> = Resistenza di calcolo a flessione ridotta per stabilità laterale membrane inflesse
 N_{pl}, Rd <daN> = Resistenza plastica a trazione per sezione lorda
 N_u, Rd <daN> = Resistenza a rottura di trazione per sezione netta
 N_t, Rd <daN> = Resistenza a trazione ultima
 $f_{z,L}$ <cm> = Freccia in direzione Z locale
 $f_{z,G}$ <cm> = Freccia in direzione Z globale

Caratteristiche profilati utilizzati

Sez.	Cod.	Tipo	D <cm>	Area <cmq>	Anet <cmq>	Aeff <cmq>	Jy <cm4>	Jz <cm4>	Iy <cm>	Iz <cm>	Wymin <cm>	Wzmin <cm>
5	HEA160 travi intercapedine	Is	--	38.77	38.77	38.77	1673.02	615.58	6.57	3.98	220.13	76.95

Caratteristiche profilati utilizzati

Sez.	Cod.	Wy, plas <cm>	Wz, plas <cm>	Atag, y <cmq>	Atag, z <cmq>	J ϕ <cm6>
5	HEA160 travi intercapedine	246.26	117.79	32.53	13.21	31409.70

Asta n. 401 (-1068 -1069) HEA160 travi intercapedine Crit. 1

- Verifica di stabilità aste presso-inflesse (C4.2.4.1.3.3.2) - CC 81 - Classe 1
 Sollecitazioni: $N, Ed = -44775.20$ $My, Ed = -21.14$
 Resistenze: $N_c, Rd = 86776.70$ $My, c, Rd = 5511.45$ $L = 100.00$
 $\alpha_{my}, \alpha_{mz}, \alpha_{LT} = 0.95, 0.95, 0.95$
 $L_{cr} = 1.00$ Curva b: $\alpha_{imp} = 0.34$ $k_c = 0.94$ $\psi = 1.75$ $M, cr = 169846.00$ $\lambda_{LT} = 0.18$
 $\lambda_{LT,0} = 0.40$ $\beta_{LT} = 0.75$ $\Phi_{LT} = 0.48$ $\beta_{LT} = 0.75$ $f = 0.99$ $\chi_{LT} = 1.00$
 $\lambda_y = 15.22$ $N_{cr,y} = 3467540.00$ $\lambda_y^* = 0.16$ Curva b: $\Phi_y = 0.51$ $\chi_y = 1.00$
 $\lambda_z = 25.10$ $N_{cr,z} = 1275850.00$ $\lambda_z^* = 0.27$ Curva c: $\Phi_z = 0.55$ $\chi_z = 0.97$
 $K_{yy}, K_{yz}, K_{zy}, K_{zz} = 0.93, 0.55, 0.00, 0.92$
 Verifica YY: $0.52 + 0.00 = 0.52$
 Verifica ZZ: $0.52 = 0.52$
- Verifica freccia massima per soli carichi accidentali - CC 53
 $f_{z,L} = 0.00$ (L/55396)
- Verifica freccia massima carichi totali - CC 72
 $f_{z,L} = 0.00$ (L/16311)
- Verifica a compressione (4.2.10) - CC 81 $X_l = 0.30$ - Classe 1
 Sollecitazioni: $N = -44775.20$ $T_z = 121.82$
 $N, Ed = -44775.20$ $N_c, Rd = 86776.70$ $N, Ed / N_c, Rd = 0.52$
- Verifica a taglio dir. Z (4.2.17) - CC 33 $X_l = 0.30$
 Sollecitazioni: $N = -42911.20$ $T_z = 121.82$
 $V, Ed = 121.82$ $V_c, Rd = 17073.30$ $V, Ed / V_c, Rd = 0.01$

Asta n. 402 (-1114 -1115) HEA160 travi intercapedine Crit. 1

- Verifica di stabilità aste presso-inflesse (C4.2.4.1.3.3.2) - CC 49 - Classe 1
 Sollecitazioni: $N, Ed = -42963.00$ $My, Ed = -34.18$
 Resistenze: $N_c, Rd = 86776.70$ $My, c, Rd = 5511.45$ $L = 100.00$
 $\alpha_{my}, \alpha_{mz}, \alpha_{LT} = 0.95, 0.95, 0.95$
 $L_{cr} = 1.00$ Curva b: $\alpha_{imp} = 0.34$ $k_c = 0.94$ $\psi = 1.75$ $M, cr = 169846.00$ $\lambda_{LT} = 0.18$
 $\lambda_{LT,0} = 0.40$ $\beta_{LT} = 0.75$ $\Phi_{LT} = 0.48$ $\beta_{LT} = 0.75$ $f = 0.99$ $\chi_{LT} = 1.00$
 $\lambda_y = 15.22$ $N_{cr,y} = 3467540.00$ $\lambda_y^* = 0.16$ Curva b: $\Phi_y = 0.51$ $\chi_y = 1.00$
 $\lambda_z = 25.10$ $N_{cr,z} = 1275850.00$ $\lambda_z^* = 0.27$ Curva c: $\Phi_z = 0.55$ $\chi_z = 0.97$
 $K_{yy}, K_{yz}, K_{zy}, K_{zz} = 0.93, 0.55, 0.00, 0.92$
 Verifica YY: $0.50 + 0.01 = 0.50$
 Verifica ZZ: $0.50 = 0.50$
- Verifica freccia massima per soli carichi accidentali - CC 53
 $f_{z,L} = 0.00$ (L/22937)
- Verifica freccia massima carichi totali - CC 69
 $f_{z,L} = 0.01$ (L/5581)
- Verifica a compressione (4.2.10) - CC 49 $X_l = 0.30$ - Classe 1

Sollecitazioni: $N=-42963.00$ $T_z=195.32$
 $N, Ed=-42963.00$ $N_c, Rd=-86776.70$ $N, Ed/N_c, Rd=0.50$

- Verifica a taglio dir. Z (4.2.17) - CC 33 $X_l=0.30$
Sollecitazioni: $N=-42962.70$ $T_z=195.32$
 $V, Ed=195.32$ $V_c, Rd=17073.30$ $V, Ed/V_c, Rd=0.01$

Asta n. 403 (-1132 -1133) HEA160 travi intercapedine Crit. 1

- Verifica di stabilità aste presso-inflesse (C4.2.4.1.3.3.2) - CC 34 - Classe 1
Sollecitazioni: $N, Ed=-31754.70$ $M_y, Ed=-30.50$
Resistenze: $N_c, Rd=86776.70$ $M_y, c, Rd=5511.45$ $L=100.00$
 $\alpha_{my}, \alpha_{mz}, \alpha_{LT}=0.95, 0.95, 0.95$
 $L_{cr}=1.00$ Curva b: $\alpha_{imp}=0.34$ $k_c=0.94$ $\psi=1.75$ $M, cr=169846.00$ $\lambda_{LT}=0.18$
 $\lambda_{LT,0}=0.40$ $\beta_{LT}=0.75$ $\Phi_{LT}=0.48$ $\beta_{LT}=0.75$ $f=0.99$ $\chi_{LT}=1.00$
 $\lambda_y=15.22$ $N_{cr,y}=3467540.00$ $\lambda_y^*=0.16$ Curva b: $\Phi_y=0.51$ $\chi_y=1.00$
 $\lambda_z=25.10$ $N_{cr,z}=1275850.00$ $\lambda_z^*=0.27$ Curva c: $\Phi_z=0.55$ $\chi_z=0.97$
 $K_{yy}, K_{yz}, K_{zy}, K_{zz}=0.94, 0.56, 0.00, 0.93$
Verifica YY: $0.37+0.01=0.37$
Verifica ZZ: $0.37=0.37$
- Verifica freccia massima per soli carichi accidentali - CC 53
 $f_{z,L}=0.00$ (L/16402)
- Verifica freccia massima carichi totali - CC 69
 $f_{z,L}=0.02$ (L/3528)
- Verifica a compressione (4.2.10) - CC 34 $X_l=0.30$ - Classe 1
Sollecitazioni: $N=-31754.70$ $T_z=175.72$
 $N, Ed=-31754.70$ $N_c, Rd=-86776.70$ $N, Ed/N_c, Rd=0.37$
- Verifica a taglio dir. Z (4.2.17) - CC 33 $X_l=0.30$
Sollecitazioni: $N=-31751.00$ $T_z=175.72$
 $V, Ed=175.72$ $V_c, Rd=17073.30$ $V, Ed/V_c, Rd=0.01$

Asta n. 404 (-1150 -1151) HEA160 travi intercapedine Crit. 1

- Verifica di stabilità aste presso-inflesse (C4.2.4.1.3.3.2) - CC 50 - Classe 1
Sollecitazioni: $N, Ed=-39330.80$ $M_y, Ed=-35.04$
Resistenze: $N_c, Rd=86776.70$ $M_y, c, Rd=5511.45$ $L=100.00$
 $\alpha_{my}, \alpha_{mz}, \alpha_{LT}=0.95, 0.95, 0.95$
 $L_{cr}=1.00$ Curva b: $\alpha_{imp}=0.34$ $k_c=0.94$ $\psi=1.75$ $M, cr=169846.00$ $\lambda_{LT}=0.18$
 $\lambda_{LT,0}=0.40$ $\beta_{LT}=0.75$ $\Phi_{LT}=0.48$ $\beta_{LT}=0.75$ $f=0.99$ $\chi_{LT}=1.00$
 $\lambda_y=15.22$ $N_{cr,y}=3467540.00$ $\lambda_y^*=0.16$ Curva b: $\Phi_y=0.51$ $\chi_y=1.00$
 $\lambda_z=25.10$ $N_{cr,z}=1275850.00$ $\lambda_z^*=0.27$ Curva c: $\Phi_z=0.55$ $\chi_z=0.97$
 $K_{yy}, K_{yz}, K_{zy}, K_{zz}=0.93, 0.55, 0.00, 0.92$
Verifica YY: $0.45+0.01=0.46$
Verifica ZZ: $0.45=0.45$
- Verifica freccia massima per soli carichi accidentali - CC 53
 $f_{z,L}=0.00$ (L/14322)
- Verifica freccia massima carichi totali - CC 69
 $f_{z,L}=0.02$ (L/3280)
- Verifica a compressione (4.2.10) - CC 50 $X_l=0.30$ - Classe 1
Sollecitazioni: $N=-39330.80$ $T_z=200.22$
 $N, Ed=-39330.80$ $N_c, Rd=-86776.70$ $N, Ed/N_c, Rd=0.45$
- Verifica a taglio dir. Z (4.2.17) - CC 33 $X_l=0.30$
Sollecitazioni: $N=-39324.50$ $T_z=200.22$
 $V, Ed=200.22$ $V_c, Rd=17073.30$ $V, Ed/V_c, Rd=0.01$

< omissis >

Tassi di sfruttamento

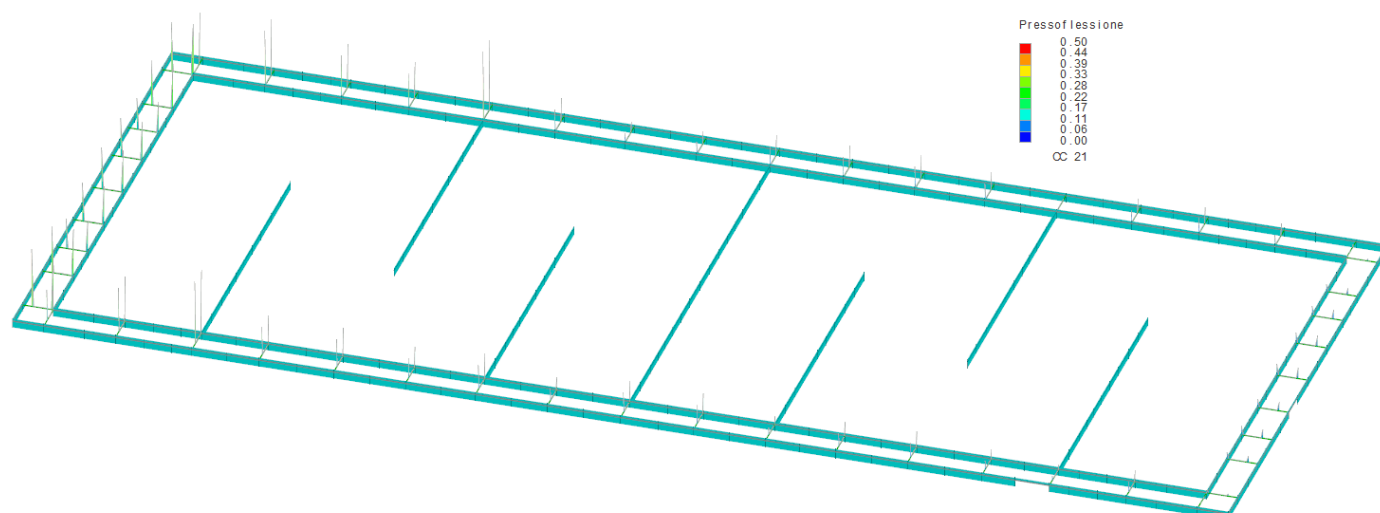


Figura 25: Tassi di sfruttamento aste in acciaio nella combinazione CC21

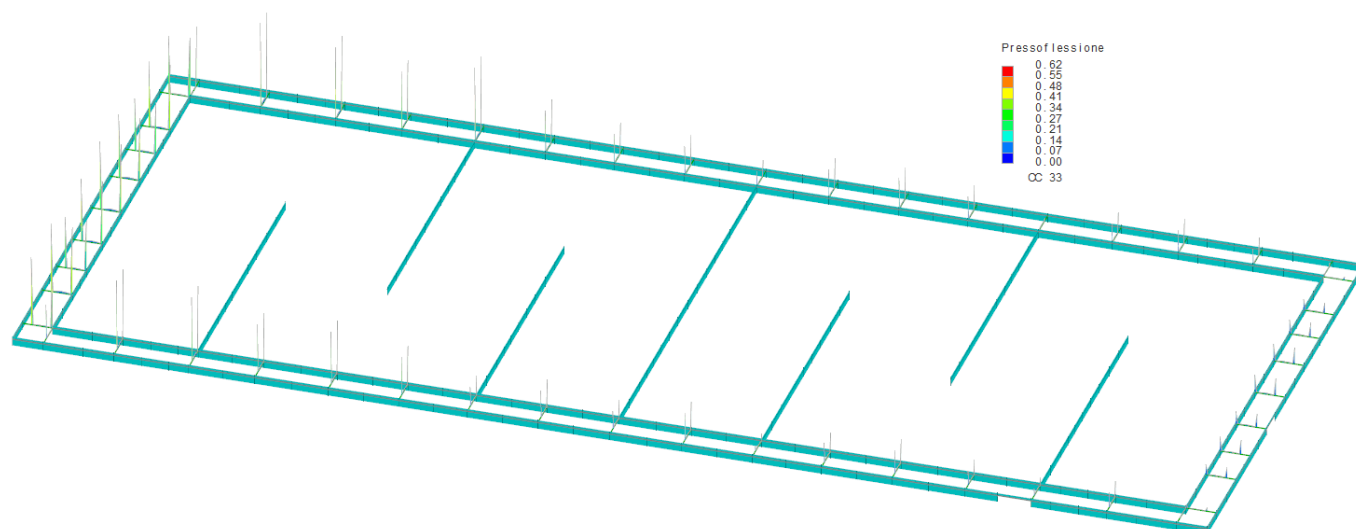


Figura 26: Tassi di sfruttamento aste in acciaio nella combinazione CC33

Verifiche e armature pareti

Simbologia

CC	= Numero della combinazione delle condizioni di carico elementari
Zona	= Zona di verifica
Zv	= Coordinata Z di verifica
Xi	= Coordinata X iniziale
Xf	= Coordinata X finale
Xv	= Coordinata X di verifica
Zi	= Coordinata Z iniziale
Zf	= Coordinata Z finale
TCC	= Tipo di combinazione di carico
SLU	= Stato limite ultimo
SLU S	= Stato limite ultimo (azione sismica)
SLE R	= Stato limite d'esercizio, combinazione rara
SLE F	= Stato limite d'esercizio, combinazione frequente
SLE Q	= Stato limite d'esercizio, combinazione quasi permanente
SLD	= Stato limite di danno
SLV	= Stato limite di salvaguardia della vita
SLC	= Stato limite di prevenzione del collasso
SLO	= Stato limite di operatività
SLU I	= Stato limite di resistenza al fuoco
N	= Sforzo normale
My	= Momento flettente intorno all'asse Y
Nu	= Sforzo normale ultimo
Myu	= Momento ultimo intorno all'asse Y
Sic.	= Sicurezza a rottura
σ_c	= Tensione nel calcestruzzo
σ_f	= Tensione nel ferro
c	= Ricoprimento dell'armatura
s	= Distanza minima tra le barre
K3	= Coefficiente di forma del diagramma delle tensioni prima della fessurazione
s_{xm}	= Distanza media tra le fessure
Φ	= Diametro della barra
A_s	= Area complessiva dei ferri nell'area di calcestruzzo efficace
$A_{c\ eff}$	= Area di calcestruzzo efficace
σ_s	= Tensione nell'acciaio nella sezione fessurata
σ_{sz}	= Tensione nell'acciaio corrispondente al raggiungimento della resistenza a trazione nel calcestruzzo
ϵ_{sm}	= Deformazione unitaria media dell'armatura (*1000)
Wk	= Apertura delle fessure
Ty	= Taglio in dir. Y
Tz	= Taglio in dir. Z
Vsdu	= Taglio agente nella direzione del momento ultimo
VRsd	= Taglio ultimo lato armatura
VRcd	= Taglio ultimo lato calcestruzzo
Vrdu	= Taglio ultimo assorbibile dal solo calcestruzzo
Sic.T	= Sicurezza a rottura per taglio
Sez.	= Sezione di verifica
Spess.	= Spessore
Cf	= Copriferro
Cls	= Tipo di calcestruzzo
Fck	= Resistenza caratteristica cilindrica a compressione del calcestruzzo
Fctk	= Resistenza caratteristica a trazione del calcestruzzo
Fcd	= Resistenza di calcolo a compressione del calcestruzzo
Fctd	= Resistenza di calcolo a trazione del calcestruzzo
Acc.	= Tipo di acciaio
Fyk	= Tensione caratteristica di snervamento dell'acciaio
Fyd	= Resistenza di calcolo dell'acciaio

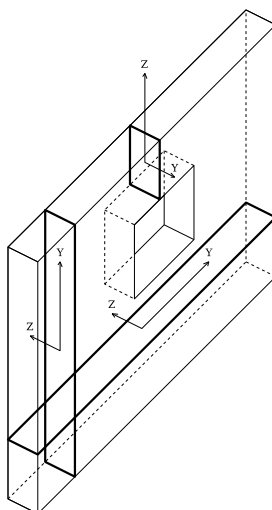


Figura 27: Riferimenti sezione

Parete n. 105

Caratteristiche delle sezioni e dei materiali utilizzati

Sez.	Spess. <cm>	Cf <cm>	Cls	Fck <daN/cm²>	Fctk <daN/cm²>	Fcd <daN/cm²>	Fctd <daN/cm²>	Acc.	Fyk <daN/cm²>	Fyd <daN/cm²>
Oriz.	30.00	5.80	C28/35	290.50	19.84	164.62	13.23	Fe B 32 k	3150.00	2739.13

Verifiche su sezioni orizzontali

Stato limite ultimo - Armatura a flessione

CC	TCC	Zona	Zv <m>	Xi <m>	Xf <m>	N <daN>	My <daNm>	Nu <daN>	Myu <daNm>	Sic.
68	SLU	Diff.	0.00	0.00	5.10	-76428.90	-31893.60	-76430.30	-33661.10	1.055
52	SLU	Diff.	0.00	33.90	39.00	-55985.00	-10686.00	-55986.40	-31185.50	2.918
66	SLU	Diff.	1.43	0.00	5.10	-71526.50	-5868.51	-71529.40	-33068.30	5.635
49	SLU	Diff.	1.43	33.90	39.00	-51089.90	-2093.83	-51092.90	-30592.10	14.611
83	SLU	Diff.	2.87	0.00	32.15	-281505.00	-25868.10	-281508.00	-177435.00	6.859
68	SLU	Diff.	2.87	33.26	39.00	-80120.10	3266.68	-80120.90	36788.20	11.262
36	SLU	Diff.	4.30	0.00	32.15	-179700.00	-65672.00	-179703.00	-164678.00	2.508
35	SLU	Diff.	4.30	33.26	39.00	-77081.80	-4710.57	-77083.70	-36421.70	7.732
35	SLU	Diff.	4.30	0.00	39.00	-245221.00	-68019.20	-245225.00	-204943.00	3.013
29	SLV	Diff.	5.78	0.00	39.00	-161566.00	37389.40	-161568.00	194398.00	5.199
29	SLV	Diff.	5.78	0.00	27.18	-126208.00	36001.10	-126213.00	136129.00	3.781
68	SLU	Diff.	5.78	27.93	31.78	11959.40	-3240.97	11955.50	-14841.50	4.579
68	SLU	Diff.	5.78	32.55	35.35	-27857.00	-899.38	-27859.30	-16493.60	18.339
21	SLV	Diff.	5.78	36.10	39.00	-16077.30	-209.92	-16079.70	-15845.20	75.480
13	SLV	Diff.	6.53	0.00	27.18	-92443.70	22379.90	-92444.30	131763.00	5.888
35	SLU	Diff.	6.53	27.93	31.78	14877.10	1929.15	14881.50	14448.10	7.489
13	SLV	Diff.	6.53	32.55	35.35	-14579.50	1068.97	-14579.60	14832.70	13.876
35	SLU	Diff.	6.53	36.10	39.00	-23316.90	562.29	-23319.30	16750.60	29.790
5	SLV	Diff.	6.53	0.00	39.00	-111521.00	25771.80	-111522.00	187925.00	7.292
29	SLV	Diff.	7.34	0.00	39.00	-100762.00	-18783.00	-100764.00	-186541.00	9.931
29	SLV	Diff.	8.15	0.00	39.00	-85405.50	-45487.90	-85406.50	-184553.00	4.057
29	SLV	Diff.	8.15	0.00	32.15	-44515.20	-27134.30	-44515.60	-147283.00	5.428
13	SLV	Diff.	8.15	33.26	39.00	-26394.00	-6996.84	-26396.50	-30165.40	4.311
29	SLV	Diff.	9.35	0.00	32.15	-15579.10	-7276.95	-15583.10	-143533.00	19.724
13	SLV	Diff.	9.35	33.26	39.00	-21223.50	-2984.28	-21225.10	-29516.90	9.891
21	SLV	Diff.	9.35	0.00	7.90	-19424.10	-3777.01	-19426.00	-38852.30	10.287
29	SLV	Diff.	9.35	14.85	24.15	-12993.00	-5029.38	-12996.60	-41697.40	8.291
21	SLV	Diff.	9.35	31.10	32.15	-1115.80	337.56	-1117.61	4507.73	13.354
13	SLV	Diff.	9.35	33.26	39.00	-20938.00	-3066.16	-20939.00	-29481.00	9.615
21	SLV	Diff.	9.95	0.00	7.90	-16819.90	-2955.95	-16823.50	-38515.60	13.030
29	SLV	Diff.	9.95	14.85	24.15	-9860.10	-3951.60	-9862.50	-41291.10	10.449
13	SLV	Diff.	9.95	31.10	32.15	340.99	-185.19	345.84	-4287.66	23.153
13	SLV	Diff.	9.95	33.26	39.00	-19096.60	-2088.52	-19099.00	-29250.20	14.005
21	SLV	Diff.	9.95	0.00	2.80	-8971.34	-788.79	-8974.19	-14129.70	17.913
21	SLV	Diff.	9.95	3.30	7.90	-6528.63	-1853.32	-6531.86	-21638.80	11.676
29	SLV	Diff.	9.95	14.85	17.15	-888.31	-467.53	-889.01	-9709.53	20.768
29	SLV	Diff.	9.95	17.78	19.50	-3946.00	-1215.02	-3948.37	-8305.28	6.836
29	SLV	Diff.	9.95	20.07	21.85	-2690.53	-1034.55	-2690.94	-8163.35	7.891
13	SLV	Diff.	9.95	22.40	24.15	-87.61	-271.61	-89.37	-7005.13	25.792
13	SLV	Diff.	9.95	31.10	32.15	340.99	-185.19	345.84	-4287.66	23.153
13	SLV	Diff.	9.95	33.26	35.70	-10563.90	-1156.35	-10566.80	-12604.20	10.900
29	SLV	Diff.	9.95	36.20	39.00	-7246.89	-655.74	-7247.02	-13908.20	21.210
21	SLV	Diff.	10.55	0.00	2.80	-8971.34	-788.79	-8974.22	-14129.70	17.913
21	SLV	Diff.	10.55	3.30	7.90	-4657.23	-1066.96	-4657.69	-21396.10	20.053
21	SLV	Diff.	10.55	14.85	17.15	931.25	434.02	932.27	9407.07	21.674
81	SLU	Diff.	10.55	17.78	19.50	-6694.55	-1271.94	-6694.59	-8659.12	6.808
82	SLU	Diff.	10.55	20.07	21.85	-4435.52	-1025.21	-4438.61	-8389.73	8.183
13	SLV	Diff.	10.55	22.40	24.15	1048.58	453.09	1048.39	6804.10	15.017
5	SLV	Diff.	10.55	31.10	32.15	64.67	-217.81	68.11	-4324.81	19.856
13	SLV	Diff.	10.55	33.26	35.70	-9559.02	-437.27	-9563.78	-12478.40	28.537
13	SLV	Diff.	10.55	36.20	39.00	-6169.23	594.27	-6173.74	13768.70	23.169
21	SLV	Diff.	10.55	0.00	7.90	-14930.30	-1195.71	-14933.60	-38271.20	32.007
83	SLU	Diff.	10.55	14.85	24.15	-20629.80	-2427.51	-20632.20	-42686.90	17.585
13	SLV	Diff.	10.55	31.10	39.00	-17260.50	-1332.26	-17264.50	-38572.70	28.953
13	SLV	Diff.	11.75	0.00	7.90	-9741.22	34.61	-9743.86	37597.70	>100
36	SLU	Diff.	11.75	14.85	24.15	-9862.84	-3936.12	-9866.97	-41291.60	10.490
29	SLV	Diff.	11.75	31.10	39.00	-10111.10	-35.76	-10114.00	-37647.40	>100

Stato limite d'esercizio - Armatura a flessione

CC	TCC	Zona	Zv <m>	Xi <m>	Xf <m>	N <daN>	My <daNm>	σ _c <daN/cm²>	σ _f <daN/cm²>
72	SLE R	Diff.	0.00	0.00	5.10	-56302.60	-22005.80	64.30	2206.02
80	SLE Q	Diff.	0.00	0.00	5.10	-53733.00	-21434.70	62.71	2166.51
56	SLE R	Diff.	0.00	33.90	39.00	-41756.60	-7821.88	20.88	457.79
64	SLE Q	Diff.	0.00	33.90	39.00	-39716.80	-7387.61	19.69	428.57
72	SLE R	Diff.	1.43	0.00	5.10	-52860.10	-4093.58	8.79	97.67
87	SLE R	Diff.	1.43	0.00	5.10	-49851.20	-3963.15	8.50	93.66
80	SLE Q	Diff.	1.43	0.00	5.10	-50290.50	-3971.31	8.52	94.08

56	SLE R	Diff.	1.43	33.90	39.00	-38314.10	-1569.42	4.28	53.07
55	SLE R	Diff.	1.43	33.90	39.00	-36984.50	-1544.97	4.17	51.56
64	SLE Q	Diff.	1.43	33.90	39.00	-36274.30	-1490.79	4.06	50.30
87	SLE R	Diff.	2.87	0.00	32.15	-203595.00	-18881.70	6.55	67.75
95	SLE Q	Diff.	2.87	0.00	32.15	-195651.00	-18211.20	6.32	65.27
40	SLE R	Diff.	2.87	33.26	39.00	-63026.00	2275.35	5.92	74.49
71	SLE R	Diff.	2.87	33.26	39.00	-57691.00	2255.71	5.61	69.92
48	SLE Q	Diff.	2.87	33.26	39.00	-58991.10	1985.57	5.39	68.29
40	SLE R	Diff.	4.30	0.00	32.15	-127457.00	-47926.10	22.92	806.52
39	SLE R	Diff.	4.30	0.00	32.15	-124976.00	-47755.20	22.87	809.22
48	SLE Q	Diff.	4.30	0.00	32.15	-125619.00	-40081.50	18.92	622.58
40	SLE R	Diff.	4.30	33.26	39.00	-58652.50	-3428.10	6.97	82.66
71	SLE R	Diff.	4.30	33.26	39.00	-54229.00	-3408.72	6.76	79.14
48	SLE Q	Diff.	4.30	33.26	39.00	-54167.70	-2816.24	6.03	72.63
38	SLE R	Diff.	4.30	0.00	39.00	-177418.00	-49721.60	18.87	581.16
39	SLE R	Diff.	4.30	0.00	39.00	-175388.00	-49666.00	18.87	584.45
47	SLE Q	Diff.	4.30	0.00	39.00	-170411.00	-41613.70	15.53	439.85
87	SLE R	Diff.	5.78	0.00	39.00	-161933.00	26402.90	9.07	174.39
95	SLE Q	Diff.	5.78	0.00	39.00	-151382.00	25157.90	8.69	171.34
87	SLE R	Diff.	5.78	0.00	27.18	-118606.00	25374.90	13.43	345.47
95	SLE Q	Diff.	5.78	0.00	27.18	-111641.00	24183.30	12.83	333.37
72	SLE R	Diff.	5.78	27.93	31.78	8815.16	-2408.41	10.63	733.25
40	SLE R	Diff.	5.78	27.93	31.78	9529.79	-2326.43	10.26	735.00
80	SLE Q	Diff.	5.78	27.93	31.78	7031.10	-1864.84	8.23	573.16
40	SLE R	Diff.	5.78	32.55	35.35	-22580.80	-609.52	3.89	50.53
70	SLE R	Diff.	5.78	32.55	35.35	-20165.30	-643.12	3.70	47.15
48	SLE Q	Diff.	5.78	32.55	35.35	-20606.50	-439.05	3.29	43.71
72	SLE R	Diff.	5.78	36.10	39.00	-20659.40	-144.93	2.56	36.54
55	SLE R	Diff.	5.78	36.10	39.00	-18500.30	79.21	2.18	31.73
80	SLE Q	Diff.	5.78	36.10	39.00	-18888.50	-111.23	2.29	32.99
55	SLE R	Diff.	6.53	0.00	27.18	-82784.40	15183.00	7.77	172.91
63	SLE Q	Diff.	6.53	0.00	27.18	-78827.20	14274.80	7.28	159.82
55	SLE R	Diff.	6.53	27.93	31.78	2781.70	1442.66	6.34	374.01
37	SLE R	Diff.	6.53	27.93	31.78	11156.50	1464.51	6.22	600.18
63	SLE Q	Diff.	6.53	27.93	31.78	2512.77	1353.83	5.95	348.45
53	SLE R	Diff.	6.53	32.55	35.35	-18449.20	841.00	3.95	48.32
87	SLE R	Diff.	6.53	32.55	35.35	-16398.30	748.02	3.51	42.96
61	SLE Q	Diff.	6.53	32.55	35.35	-16458.90	789.13	3.61	43.90
40	SLE R	Diff.	6.53	36.10	39.00	-17838.90	417.14	2.84	37.32
39	SLE R	Diff.	6.53	36.10	39.00	-17184.80	428.00	2.79	36.47
48	SLE Q	Diff.	6.53	36.10	39.00	-16207.20	363.88	2.54	33.61
39	SLE R	Diff.	6.53	0.00	39.00	-108765.00	18204.50	6.30	125.38
47	SLE Q	Diff.	6.53	0.00	39.00	-103192.00	17130.20	5.91	116.47
40	SLE R	Diff.	7.34	0.00	39.00	-79080.70	8172.89	2.40	23.38
95	SLE Q	Diff.	7.34	0.00	39.00	-90201.40	-7756.63	2.19	23.43
87	SLE R	Diff.	8.15	0.00	39.00	-85318.50	-24055.30	9.14	282.27
95	SLE Q	Diff.	8.15	0.00	39.00	-74845.20	-23060.40	8.84	285.64
87	SLE R	Diff.	8.15	0.00	32.15	-57457.00	-18940.80	8.97	299.37
95	SLE Q	Diff.	8.15	0.00	32.15	-51515.00	-18253.60	8.69	299.03
55	SLE R	Diff.	8.15	33.26	39.00	-30815.00	-2934.72	5.69	58.18
63	SLE Q	Diff.	8.15	33.26	39.00	-27283.70	-2759.72	5.43	53.74
87	SLE R	Diff.	9.35	0.00	32.15	-28520.90	-3512.24	1.33	15.44
95	SLE Q	Diff.	9.35	0.00	32.15	-22578.90	-3323.43	1.35	22.35
55	SLE R	Diff.	9.35	33.26	39.00	-25644.50	-899.86	2.38	30.05
87	SLE R	Diff.	9.35	33.26	39.00	-24103.30	-837.30	2.23	28.16
63	SLE Q	Diff.	9.35	33.26	39.00	-22113.20	-838.98	2.12	26.54
71	SLE R	Diff.	9.35	0.00	7.90	-25184.50	-1450.74	2.16	25.68
79	SLE Q	Diff.	9.35	0.00	7.90	-21302.70	-1354.94	1.95	22.78
87	SLE R	Diff.	9.35	14.85	24.15	-16129.80	-2032.98	2.70	33.37
95	SLE Q	Diff.	9.35	14.85	24.15	-14312.10	-1961.26	2.69	39.69
72	SLE R	Diff.	9.35	31.10	32.15	-2461.57	168.45	1.80	20.69
80	SLE Q	Diff.	9.35	31.10	32.15	-1752.05	139.44	1.47	16.12
55	SLE R	Diff.	9.35	33.26	39.00	-25126.40	-935.55	2.39	29.98
87	SLE R	Diff.	9.35	33.26	39.00	-24066.50	-883.15	2.28	28.59
63	SLE Q	Diff.	9.35	33.26	39.00	-21570.40	-873.41	2.13	26.44
71	SLE R	Diff.	9.95	0.00	7.90	-22629.30	-1123.64	1.79	21.71
79	SLE Q	Diff.	9.95	0.00	7.90	-18656.90	-1053.13	1.58	18.85
87	SLE R	Diff.	9.95	14.85	24.15	-13241.40	-2039.39	2.91	52.53
95	SLE Q	Diff.	9.95	14.85	24.15	-11308.50	-1792.37	2.58	48.61
72	SLE R	Diff.	9.95	31.10	32.15	-1987.50	35.12	0.81	10.92
53	SLE R	Diff.	9.95	31.10	32.15	-708.56	-19.44	0.33	4.27
80	SLE Q	Diff.	9.95	31.10	32.15	-1277.94	25.12	0.54	7.16
55	SLE R	Diff.	9.95	33.26	39.00	-23351.50	-607.01	1.94	25.24
87	SLE R	Diff.	9.95	33.26	39.00	-22218.50	-562.78	1.83	23.87
63	SLE Q	Diff.	9.95	33.26	39.00	-19687.80	-565.47	1.69	21.82
71	SLE R	Diff.	9.95	0.00	2.80	-10755.20	-204.29	1.66	22.29
55	SLE R	Diff.	9.95	0.00	2.80	-10181.30	-188.17	1.56	21.00
79	SLE Q	Diff.	9.95	0.00	2.80	-9221.29	-189.73	1.46	19.41
71	SLE R	Diff.	9.95	3.30	7.90	-10531.30	-813.97	1.95	21.65
79	SLE Q	Diff.	9.95	3.30	7.90	-8220.84	-765.27	1.85	19.14
71	SLE R	Diff.	9.95	14.85	17.15	-1020.76	-173.39	1.04	21.84

79	SLE Q	Diff.	9.95	14.85	17.15	-853.50	-149.58	0.91	19.75
87	SLE R	Diff.	9.95	17.78	19.50	-5322.40	-773.75	5.83	93.16
95	SLE Q	Diff.	9.95	17.78	19.50	-4479.85	-657.43	4.97	80.68
87	SLE R	Diff.	9.95	20.07	21.85	-3558.84	-637.17	4.99	108.00
95	SLE Q	Diff.	9.95	20.07	21.85	-3104.15	-546.44	4.26	90.43
71	SLE R	Diff.	9.95	22.40	24.15	-3581.11	-69.77	0.90	12.10
55	SLE R	Diff.	9.95	22.40	24.15	-453.45	-82.27	0.68	15.60
79	SLE Q	Diff.	9.95	22.40	24.15	-2829.97	-58.97	0.73	9.69
72	SLE R	Diff.	9.95	31.10	32.15	-1987.50	35.12	0.81	10.92
53	SLE R	Diff.	9.95	31.10	32.15	-708.56	-19.44	0.33	4.27
80	SLE Q	Diff.	9.95	31.10	32.15	-1277.94	25.12	0.54	7.16
55	SLE R	Diff.	9.95	33.26	35.70	-12837.70	-420.72	2.73	34.77
87	SLE R	Diff.	9.95	33.26	35.70	-11649.20	-384.22	2.49	31.61
63	SLE Q	Diff.	9.95	33.26	35.70	-10759.20	-390.67	2.39	30.04
87	SLE R	Diff.	9.95	36.20	39.00	-9467.19	-83.06	1.25	17.64
55	SLE R	Diff.	9.95	36.20	39.00	-9326.63	-81.89	1.23	17.38
95	SLE Q	Diff.	9.95	36.20	39.00	-7986.22	-77.63	1.07	15.04
71	SLE R	Diff.	10.55	0.00	2.80	-10755.20	-204.29	1.66	22.29
55	SLE R	Diff.	10.55	0.00	2.80	-10181.30	-188.17	1.56	21.00
79	SLE Q	Diff.	10.55	0.00	2.80	-9221.29	-189.73	1.46	19.41
71	SLE R	Diff.	10.55	3.30	7.90	-8693.89	-483.62	1.26	15.02
87	SLE R	Diff.	10.55	3.30	7.90	-8377.83	-461.33	1.20	14.41
79	SLE Q	Diff.	10.55	3.30	7.90	-6390.47	-458.64	1.11	12.56
55	SLE R	Diff.	10.55	14.85	17.15	-1691.83	-101.64	0.51	6.06
70	SLE R	Diff.	10.55	14.85	17.15	433.84	69.95	0.48	44.32
80	SLE Q	Diff.	10.55	14.85	17.15	495.81	89.83	0.62	54.16
85	SLE R	Diff.	10.55	17.78	19.50	-4995.89	-927.58	7.52	166.47
69	SLE R	Diff.	10.55	17.78	19.50	-4666.01	-904.34	7.41	171.19
93	SLE Q	Diff.	10.55	17.78	19.50	-4126.71	-735.88	5.91	125.11
86	SLE R	Diff.	10.55	20.07	21.85	-3352.73	-750.32	6.18	164.31
70	SLE R	Diff.	10.55	20.07	21.85	-2628.96	-688.36	5.83	171.81
94	SLE Q	Diff.	10.55	20.07	21.85	-2843.42	-598.67	4.87	123.40
56	SLE R	Diff.	10.55	22.40	24.15	618.80	144.03	1.45	109.48
53	SLE R	Diff.	10.55	22.40	24.15	645.52	143.70	1.45	110.99
64	SLE Q	Diff.	10.55	22.40	24.15	708.78	152.57	1.54	119.31
71	SLE R	Diff.	10.55	31.10	32.15	-1498.86	-105.87	1.13	12.82
53	SLE R	Diff.	10.55	31.10	32.15	-234.36	-68.45	1.02	32.84
47	SLE Q	Diff.	10.55	31.10	32.15	-568.49	-94.37	1.24	25.30
53	SLE R	Diff.	10.55	33.26	35.70	-11935.60	-198.02	2.05	27.79
87	SLE R	Diff.	10.55	33.26	35.70	-10731.50	-175.53	1.84	24.93
61	SLE Q	Diff.	10.55	33.26	35.70	-9872.01	-182.53	1.74	23.43
56	SLE R	Diff.	10.55	36.20	39.00	-8463.14	65.47	1.10	15.59
64	SLE Q	Diff.	10.55	36.20	39.00	-6970.73	64.99	0.93	13.07
71	SLE R	Diff.	10.55	0.00	7.90	-19512.20	-458.64	1.14	15.01
79	SLE Q	Diff.	10.55	0.00	7.90	-15286.30	-432.97	0.95	12.30
87	SLE R	Diff.	10.55	14.85	24.15	-15334.80	-1760.72	2.26	21.95
95	SLE Q	Diff.	10.55	14.85	24.15	-13410.60	-1360.21	1.67	16.45
55	SLE R	Diff.	10.55	31.10	39.00	-21855.60	-326.25	1.13	15.45
63	SLE Q	Diff.	10.55	31.10	39.00	-17570.70	-304.70	0.94	12.73
39	SLE R	Diff.	11.75	0.00	7.90	-14511.50	4.08	0.58	8.71
55	SLE R	Diff.	11.75	0.00	7.90	-14454.50	5.29	0.58	8.69
47	SLE Q	Diff.	11.75	0.00	7.90	-10210.60	4.82	0.41	6.15
40	SLE R	Diff.	11.75	14.85	24.15	-7080.57	-2854.78	4.75	174.18
48	SLE Q	Diff.	11.75	14.85	24.15	-5156.59	-2134.63	3.55	131.59
40	SLE R	Diff.	11.75	31.10	39.00	-14846.10	-2.84	0.59	8.91
85	SLE R	Diff.	11.75	31.10	39.00	-14706.30	-5.09	0.59	8.84
48	SLE Q	Diff.	11.75	31.10	39.00	-10548.00	-3.45	0.42	6.34

Verifiche stato limite di formazione delle fessure

CC	TCC	Zona	Zv <m>	Xi <m>	Xf <m>	N <daN>	My <daNm>	c <mm>	s <mm>	K3	s _{rm} <mm>	Φ	A _s <cmq>	A _{c eff} <cmq>	σ _s <daN/cmq>	σ _{sr} <daN/cmq>	ε _{sm}	Wk <mm>
80	SLE Q	Diff.	0.00	0.00	5.10	-53733.00	-21434.70	52.00	168.00	0.13	242.03	12	1.13	196.86	2166.02	3221.71	0.47	0.19
76	SLE F	Diff.	0.00	0.00	5.10	-54714.90	-21673.70	52.00	168.00	0.13	242.03	12	1.13	196.86	2184.05	3215.98	0.49	0.20
64	SLE Q	Diff.	0.00	33.90	39.00	-39716.80	-7387.61	52.00	168.00	0.13	242.03	12	1.13	196.86	428.51	2216.61	0.08	0.03
60	SLE F	Diff.	0.00	33.90	39.00	-40464.00	-7563.05	52.00	168.00	0.13	242.03	12	1.13	196.86	441.37	2226.14	0.09	0.04
95	SLE Q	Diff.	1.43	0.00	5.10	-47607.40	-3862.43	52.00	168.00	0.13	242.03	12	1.13	196.86	16.02	303.85	0.00	0.00
91	SLE F	Diff.	1.43	0.00	5.10	-48426.40	-3902.00	52.00	168.00	0.13	242.03	12	1.13	196.86	15.28	290.11	0.00	0.00
95	SLE Q	Diff.	2.87	0.00	32.15	-195651.00	-18211.20	52.00	168.00	0.13	242.03	12	1.13	196.86	28.59	595.71	0.01	0.00
91	SLE F	Diff.	2.87	0.00	32.15	-198735.00	-18480.50	52.00	168.00	0.13	242.03	12	1.13	196.86	28.88	593.61	0.01	0.00
47	SLE Q	Diff.	4.30	0.00	32.15	-123139.00	-39910.60	52.00	168.00	0.13	242.03	12	1.13	196.86	625.20	3241.02	0.12	0.05
43	SLE F	Diff.	4.30	0.00	32.15	-123143.00	-43705.50	52.00	168.00	0.13	242.03	12	1.13	196.86	716.52	3338.51	0.14	0.06
47	SLE Q	Diff.	4.30	0.00	39.00	-170411.00	-41613.70	52.00	168.00	0.13	242.03	12	1.13	196.86	439.85	2823.45	0.09	0.04
43	SLE F	Diff.	4.30	0.00	39.00	-171549.00	-45530.80	52.00	168.00	0.13	242.03	12	1.13	196.86	512.73	2946.94	0.10	0.04
95	SLE Q	Diff.	5.78	0.00	39.00	-151382.00	25157.90	52.00	168.00	0.13	242.05	12	1.13	196.87	171.34	2071.91	0.03	0.01
91	SLE F	Diff.	5.78	0.00	39.00	-155232.00	25689.00	52.00	168.00	0.13	242.05	12	1.13	196.87	173.79	2061.88	0.03	0.01
95	SLE Q	Diff.	5.78	0.00	27.18	-111641.00	24183.30	52.00	168.00	0.13	242.05	12	1.13	196.87	333.37	2654.12	0.06	0.03
91	SLE F	Diff.	5.78	0.00	27.18	-114221.00	24691.40	52.00	168.00	0.13	242.05	12	1.13	196.87	339.68	2650.36	0.07	0.03
48	SLE Q	Diff.	5.78	27.93	31.78	7602.80	-1799.25	52.00	168.00	0.15	265.16	12	1.13	196.86	574.58	5501.40	0.11	0.05
44	SLE F	Diff.	5.78	27.93	31.78	8526.38	-2063.95	52.00	168.00	0.15	264.84	12	1.13	196.86	653.97	5480.03	0.13	0.06
63	SLE Q	Diff.	6.53	0.00	27.18	-78827.20	14274.80	52.00	168.00	0.13	242.05	12	1.13	196.87	159.82	2292.37	0.03	0.01
59	SLE F	Diff.	6.53	0.00	27.18	-79872.10	14630.70	52.00	168.00	0.13	242.05	12	1.13	196.87	166.35	2317.67	0.03	0.01
45	SLE Q	Diff.	6.53	27.93	31.78	9239.75	1369.99	52.00	168.00	0.16	272.89	12	1.13	196.87	529.31	6023.91	0.10	0.05
41	SLE F	Diff.	6.53	27.93	31.78	10156.70	1407.70	52.00	168.00	0.16	274.18	12	1.13	196.87	561.65	6112.32	0.11	0.05

47	SLE Q	Diff.	6.53	0.00	39.00	-103192.00	17130.20	52.00	168.00	0.13	242.05	12	1.13	196.87	116.46	2069.28	0.02	0.01
43	SLE F	Diff.	6.53	0.00	39.00	-104507.00	17547.40	52.00	168.00	0.13	242.05	12	1.13	196.87	121.45	2096.18	0.02	0.01
95	SLE Q	Diff.	7.34	0.00	39.00	-90201.40	-7756.63	52.00	168.00	0.13	242.03	12	1.13	196.86	6.47	426.90	0.00	0.00
44	SLE F	Diff.	7.34	0.00	39.00	-74857.80	6635.17	52.00	168.00	0.13	242.05	12	1.13	196.87	6.62	489.60	0.00	0.00
95	SLE Q	Diff.	8.15	0.00	39.00	-74845.20	-23060.40	52.00	168.00	0.13	242.03	12	1.13	196.86	285.64	3139.60	0.06	0.02
91	SLE F	Diff.	8.15	0.00	39.00	-78616.40	-23612.50	52.00	168.00	0.13	242.03	12	1.13	196.86	288.17	3109.05	0.06	0.02
95	SLE Q	Diff.	8.15	0.00	32.15	-51515.00	-18253.60	52.00	168.00	0.13	242.03	12	1.13	196.86	299.03	3336.84	0.06	0.02
91	SLE F	Diff.	8.15	0.00	32.15	-53251.90	-18474.90	52.00	168.00	0.13	242.03	12	1.13	196.86	299.61	3315.06	0.06	0.02
63	SLE Q	Diff.	8.15	33.26	39.00	-27283.70	-2759.72	52.00	168.00	0.13	242.03	12	1.13	196.86	34.07	769.65	0.01	0.00
59	SLE F	Diff.	8.15	33.26	39.00	-28402.70	-2819.91	52.00	168.00	0.13	242.03	12	1.13	196.86	32.28	727.14	0.01	0.00
95	SLE Q	Diff.	9.35	0.00	32.15	-22578.90	-3323.43	52.00	168.00	0.13	242.03	12	1.13	196.86	22.35	1787.24	0.00	0.00
91	SLE F	Diff.	9.35	0.00	32.15	-24315.80	-3378.83	52.00	168.00	0.13	242.03	12	1.13	196.86	20.11	1632.86	0.00	0.00
95	SLE Q	Diff.	9.35	14.85	24.15	-14312.10	-1961.26	52.00	168.00	0.13	242.03	12	1.13	196.86	39.69	1614.68	0.01	0.00
91	SLE F	Diff.	9.35	14.85	24.15	-14829.70	-1978.38	52.00	168.00	0.13	242.03	12	1.13	196.86	37.57	1539.61	0.01	0.00
80	SLE Q	Diff.	9.35	31.10	32.15	-1752.05	139.44	52.00	168.00	0.13	242.05	12	1.13	196.87	2.52	276.85	0.00	0.00
76	SLE F	Diff.	9.35	31.10	32.15	-1995.13	151.88	52.00	168.00	0.13	242.05	12	1.13	196.87	1.69	184.59	0.00	0.00
95	SLE Q	Diff.	9.95	14.85	24.15	-11308.50	-1792.37	52.00	168.00	0.13	242.03	12	1.13	196.86	48.61	2006.20	0.01	0.00
91	SLE F	Diff.	9.95	14.85	24.15	-11857.30	-1864.89	52.00	168.00	0.13	242.03	12	1.13	196.86	49.89	1986.31	0.01	0.00
61	SLE Q	Diff.	9.95	31.10	32.15	-240.60	-19.70	52.00	168.00	0.13	242.03	12	1.13	196.86	0.45	335.27	0.00	0.00
79	SLE Q	Diff.	9.95	3.30	7.90	-8220.84	-765.27	52.00	168.00	0.13	242.03	12	1.13	196.86	8.33	591.03	0.00	0.00
75	SLE F	Diff.	9.95	3.30	7.90	-8908.50	-783.39	52.00	168.00	0.13	242.03	12	1.13	196.86	6.34	471.48	0.00	0.00
79	SLE Q	Diff.	9.95	14.85	17.15	-853.50	-149.58	52.00	168.00	0.13	242.03	12	1.13	196.86	19.75	2311.63	0.00	0.00
75	SLE F	Diff.	9.95	14.85	17.15	-886.74	-156.35	52.00	168.00	0.13	242.03	12	1.13	196.86	20.83	2326.48	0.00	0.00
95	SLE Q	Diff.	9.95	17.78	19.50	-4479.85	-657.43	52.00	168.00	0.13	242.03	12	1.13	196.86	80.68	1751.37	0.02	0.01
91	SLE F	Diff.	9.95	17.78	19.50	-4718.61	-691.75	52.00	168.00	0.13	242.03	12	1.13	196.86	84.71	1748.67	0.02	0.01
95	SLE Q	Diff.	9.95	20.07	21.85	-3104.15	-546.44	52.00	168.00	0.13	242.03	12	1.13	196.86	90.43	2244.17	0.02	0.01
91	SLE F	Diff.	9.95	20.07	21.85	-3229.66	-573.10	52.00	168.00	0.13	242.03	12	1.13	196.86	95.93	2262.57	0.02	0.01
63	SLE Q	Diff.	9.95	22.40	24.15	-327.85	-68.97	52.00	168.00	0.13	242.03	12	1.13	196.86	15.66	2816.35	0.00	0.00
59	SLE F	Diff.	9.95	22.40	24.15	-338.00	-73.30	52.00	168.00	0.13	242.03	12	1.13	196.86	17.17	2879.18	0.00	0.00
61	SLE Q	Diff.	9.95	31.10	32.15	-240.60	-19.70	52.00	168.00	0.13	242.03	12	1.13	196.86	0.45	335.27	0.00	0.00
79	SLE Q	Diff.	10.55	3.30	7.90	-6390.47	-458.64	52.00	168.00	0.13	242.03	12	1.13	196.86	0.26	47.97	0.00	0.00
78	SLE Q	Diff.	10.55	14.85	17.15	524.73	87.76	52.00	168.00	0.16	270.64	12	1.13	196.87	54.72	5980.71	0.01	0.00
74	SLE F	Diff.	10.55	14.85	17.15	523.99	83.37	52.00	168.00	0.16	271.53	12	1.13	196.87	53.13	6041.28	0.01	0.00
77	SLE Q	Diff.	10.55	17.78	19.50	-3862.81	-717.29	52.00	168.00	0.13	242.03	12	1.13	196.86	128.75	2306.33	0.03	0.01
73	SLE F	Diff.	10.55	17.78	19.50	-4077.35	-772.25	52.00	168.00	0.13	242.03	12	1.13	196.86	142.14	2347.66	0.03	0.01
78	SLE Q	Diff.	10.55	20.07	21.85	-2264.40	-549.11	52.00	168.00	0.13	242.03	12	1.13	196.86	129.09	2870.29	0.03	0.01
74	SLE F	Diff.	10.55	20.07	21.85	-2334.80	-588.23	52.00	168.00	0.13	242.03	12	1.13	196.86	142.60	2930.83	0.03	0.01
61	SLE Q	Diff.	10.55	22.40	24.15	735.50	152.24	52.00	168.00	0.16	267.16	12	1.13	196.87	120.83	6016.04	0.02	0.01
57	SLE F	Diff.	10.55	22.40	24.15	738.08	150.48	52.00	168.00	0.16	267.39	12	1.13	196.87	120.13	6033.12	0.02	0.01
61	SLE Q	Diff.	10.55	31.10	32.15	233.58	-66.45	52.00	168.00	0.15	262.69	12	1.13	196.86	76.21	5552.68	0.01	0.01
57	SLE F	Diff.	10.55	31.10	32.15	111.29	-67.31	52.00	168.00	0.14	255.41	12	1.13	196.86	64.67	5056.24	0.01	0.01
95	SLE Q	Diff.	10.55	14.85	24.15	-13410.60	-1360.21	52.00	168.00	0.13	242.03	12	1.13	196.86	10.85	799.70	0.00	0.00
91	SLE F	Diff.	10.55	14.85	24.15	-13975.60	-1482.30	52.00	168.00	0.13	242.03	12	1.13	196.86	14.06	911.21	0.00	0.00
48	SLE Q	Diff.	11.75	14.85	24.15	-5156.59	-2134.63	52.00	168.00	0.13	242.03	12	1.13	196.86	131.59	3542.66	0.03	0.01
44	SLE F	Diff.	11.75	14.85	24.15	-5721.46	-2351.12	52.00	168.00	0.13	242.03	12	1.13	196.86	144.53	3536.26	0.03	0.01

Parete n. 106

Caratteristiche delle sezioni e dei materiali utilizzati

Sez.	Spess. <cm>	Cf <cm>	Cls	Fck <daN/cm²>	Fctk <daN/cm²>	Fcd <daN/cm²>	Fctd <daN/cm²>	Acc.	Fyk <daN/cm²>	Fyd <daN/cm²>
Oriz.	30.00	5.90	C28/35	290.50	19.84	164.62	13.23	Fe B 32 k	3150.00	2739.13

Verifiche su sezioni orizzontali

Stato limite ultimo - Armatura a flessione

CC	TCC	Zona	Zv <m>	Xi <m>	Xf <m>	N <daN>	My <daNm>	Nu <daN>	Myu <daNm>	Sic.
49	SLU	Diff.	0.00	0.00	16.60	-251450.00	51169.20	-251454.00	126416.00	2.471
65	SLU	Diff.	1.32	0.00	16.60	-252971.00	68159.00	-252973.00	126570.00	1.857
65	SLU	Diff.	2.63	0.00	16.60	-242730.00	106426.00	-242733.00	125532.00	1.180
33	SLU	Diff.	3.95	0.00	16.60	-187770.00	52134.20	-187774.00	119280.00	2.288
17	SLV	Diff.	5.27	0.00	16.60	-10989.80	-56008.80	-10993.40	-98166.60	1.753
25	SLV	Diff.	6.58	0.00	16.60	-6674.85	-6466.33	-6675.56	-97642.80	15.100
21	SLV	Diff.	7.90	0.00	16.60	3139.81	1386.26	3137.38	96101.30	69.324
17	SLV	Diff.	7.90	0.00	4.60	-2871.15	1151.80	-2873.34	27920.90	24.241
5	SLV	Diff.	8.70	0.00	4.60	-315.78	-127.62	-316.77	-27611.20	>100

Stato limite d'esercizio - Armatura a flessione

CC	TCC	Zona	Zv <m>	Xi <m>	Xf <m>	N <daN>	My <daNm>	σ _c <daN/cm²>	σ _s <daN/cm²>
53	SLE R	Diff.	0.00	0.00	16.60	-172725.00	33867.30	26.14	536.27
37	SLE R	Diff.	0.00	0.00	16.60	-166316.00	33523.20	25.99	546.71
61	SLE Q	Diff.	0.00	0.00	16.60	-176464.00	32890.70	25.18	491.51
69	SLE R	Diff.	1.32	0.00	16.60	-172867.00	45233.80	36.19	921.25
77	SLE Q	Diff.	1.32	0.00	16.60	-173197.00	44795.60	35.80	904.97
69	SLE R	Diff.	2.63	0.00	16.60	-164631.00	71137.00	58.72	1855.88
77	SLE Q	Diff.	2.63	0.00	16.60	-164847.00	70278.90	57.98	1824.91
37	SLE R	Diff.	3.95	0.00	16.60	-123342.00	35485.90	28.63	768.22
45	SLE Q	Diff.	3.95	0.00	16.60	-129833.00	34726.90	27.84	717.88
69	SLE R	Diff.	5.27	0.00	16.60	-15734.60	-29859.10	25.18	991.86
77	SLE Q	Diff.	5.27	0.00	16.60	-15137.50	-28522.80	24.05	947.03
85	SLE R	Diff.	6.58	0.00	16.60	-8777.25	-2239.04	1.79	44.79
69	SLE R	Diff.	6.58	0.00	16.60	-8422.07	-2228.32	1.78	45.73
93	SLE Q	Diff.	6.58	0.00	16.60	-8158.24	-2074.02	1.65	41.39

69	SLE R	Diff.	7.90	0.00	16.60	1537.92	652.26	0.55	29.47
77	SLE Q	Diff.	7.90	0.00	16.60	2085.90	623.68	0.52	30.78
72	SLE R	Diff.	7.90	0.00	4.60	-3091.20	524.75	1.41	24.48
69	SLE R	Diff.	7.90	0.00	4.60	-3075.04	524.21	1.41	24.59
80	SLE Q	Diff.	7.90	0.00	4.60	-2850.82	495.44	1.34	23.86
72	SLE R	Diff.	8.70	0.00	4.60	-331.20	-72.14	0.20	4.46
69	SLE R	Diff.	8.70	0.00	4.60	-315.04	-70.77	0.20	4.50
80	SLE Q	Diff.	8.70	0.00	4.60	-90.82	-69.87	0.21	7.37

Verifiche stato limite di formazione delle fessure

CC	TCC	Zona	Zv <m>	Xi <m>	Xf <m>	N <daN>	My <daNm>	c <mm>	s <mm>	K3	s _{zm} <mm>	Φ	A _s <cmq>	A _{c eff} <cmq>	σ _s <daN/cmq>	σ _{sr} <daN/cmq>	ε _{sm}	Wk <mm>
45	SLE Q	Diff.	0.00	0.00	16.60	-171337.00	32615.40	52.00	196.00	0.13	259.25	14	1.54	255.20	499.58	1916.57	0.10	0.04
41	SLE F	Diff.	0.00	0.00	16.60	-168733.00	33063.80	52.00	196.00	0.13	259.25	14	1.54	255.20	523.18	1959.74	0.10	0.04
77	SLE Q	Diff.	1.32	0.00	16.60	-173197.00	44795.60	52.00	196.00	0.13	259.25	14	1.54	255.20	904.95	2308.28	0.18	0.08
73	SLE F	Diff.	1.32	0.00	16.60	-173010.00	45011.90	52.00	196.00	0.13	259.25	14	1.54	255.20	913.08	2314.52	0.18	0.08
77	SLE Q	Diff.	2.63	0.00	16.60	-164847.00	70278.90	52.00	196.00	0.13	259.25	14	1.54	255.20	1824.88	2709.03	0.40	0.18
73	SLE F	Diff.	2.63	0.00	16.60	-164739.00	70655.40	52.00	196.00	0.13	259.25	14	1.54	255.20	1838.52	2712.56	0.41	0.18
45	SLE Q	Diff.	3.95	0.00	16.60	-129833.00	34726.90	52.00	196.00	0.13	259.25	14	1.54	255.20	717.87	2343.25	0.14	0.06
41	SLE F	Diff.	3.95	0.00	16.60	-126610.00	35061.80	52.00	196.00	0.13	259.25	14	1.54	255.20	741.36	2377.98	0.14	0.06
77	SLE Q	Diff.	5.27	0.00	16.60	-15137.50	-28522.80	52.00	196.00	0.13	259.25	14	1.54	255.20	947.01	3138.37	0.18	0.08
73	SLE F	Diff.	5.27	0.00	16.60	-15245.70	-29077.20	52.00	196.00	0.13	259.25	14	1.54	255.20	966.18	3139.79	0.19	0.08
77	SLE Q	Diff.	6.58	0.00	16.60	-7874.10	-2065.44	52.00	196.00	0.13	259.25	14	1.54	255.20	42.14	2323.10	0.01	0.00
73	SLE F	Diff.	6.58	0.00	16.60	-8012.49	-2131.59	52.00	196.00	0.13	259.25	14	1.54	255.20	43.90	2337.71	0.01	0.00
77	SLE Q	Diff.	7.90	0.00	16.60	2085.90	623.68	52.00	196.00	0.14	271.58	14	1.54	255.20	30.78	3885.59	0.01	0.00
73	SLE F	Diff.	7.90	0.00	16.60	1947.51	637.50	52.00	196.00	0.14	270.26	14	1.54	255.20	30.68	3836.83	0.01	0.00
77	SLE Q	Diff.	7.90	0.00	4.60	-2834.66	494.90	52.00	196.00	0.13	259.25	14	1.54	255.20	23.98	1740.87	0.00	0.00
73	SLE F	Diff.	7.90	0.00	4.60	-2903.27	508.02	52.00	196.00	0.13	259.25	14	1.54	255.20	24.69	1744.48	0.00	0.00
77	SLE Q	Diff.	8.70	0.00	4.60	-74.66	-68.50	52.00	196.00	0.13	259.25	14	1.54	255.20	7.43	2932.47	0.00	0.00
73	SLE F	Diff.	8.70	0.00	4.60	-143.27	-69.54	52.00	196.00	0.13	259.25	14	1.54	255.20	6.61	2708.44	0.00	0.00

Parete n. 606

Caratteristiche delle sezioni e dei materiali utilizzati

Sez.	Spess. <cm>	Cf <cm>	Cls	Fck <daN/cmq>	Fctk <daN/cmq>	Fcd <daN/cmq>	Fctd <daN/cmq>	Acc.	Fyk <daN/cmq>	Fyd <daN/cmq>
Oriz.	30.00	6.40	C28/35	290.50	19.84	164.62	13.23	Fe B 32 k	3150.00	2739.13

Verifiche su sezioni orizzontali

Stato limite ultimo - Armatura a flessione

CC	TCC	Zona	Zv <m>	Xi <m>	Xf <m>	N <daN>	My <daNm>	Nu <daN>	Myu <daNm>	Sic.
50	SLU	Diff.	0.00	0.00	3.10	-36340.40	-6915.58	-36342.70	-46989.50	6.795
68	SLU	Diff.	0.90	0.00	3.10	-21481.40	-2690.04	-21481.60	-45648.80	16.970
50	SLU	Diff.	1.80	0.00	3.10	-30899.90	2853.11	-30902.40	46499.00	16.298
65	SLU	Diff.	1.80	0.00	16.60	-294637.00	-210442.00	-294641.00	-256958.00	1.221
49	SLU	Diff.	3.05	0.00	16.60	-251661.00	50869.60	-251665.00	253094.00	4.975

Stato limite d'esercizio - Armatura a flessione

CC	TCC	Zona	Zv <m>	Xi <m>	Xf <m>	N <daN>	My <daNm>	σ _c <daN/cmq>	σ _f <daN/cmq>
54	SLE R	Diff.	0.00	0.00	3.10	-28545.50	-5248.24	15.50	174.74
86	SLE R	Diff.	0.00	0.00	3.10	-22022.50	-4668.18	13.79	175.79
62	SLE Q	Diff.	0.00	0.00	3.10	-26471.20	-5031.36	14.86	172.85
72	SLE R	Diff.	0.90	0.00	3.10	-17457.00	-1891.81	5.56	53.66
69	SLE R	Diff.	0.90	0.00	3.10	-16966.00	-1883.01	5.53	52.92
80	SLE Q	Diff.	0.90	0.00	3.10	-17178.50	-1855.88	5.45	52.70
54	SLE R	Diff.	1.80	0.00	3.10	-24360.50	2443.19	7.19	71.41
62	SLE Q	Diff.	1.80	0.00	3.10	-22286.20	2104.45	6.21	62.99
69	SLE R	Diff.	1.80	0.00	16.60	-205482.00	-141569.00	78.32	1593.63
77	SLE Q	Diff.	1.80	0.00	16.60	-205227.00	-140232.00	77.58	1576.36
53	SLE R	Diff.	3.05	0.00	16.60	-173071.00	33694.50	18.73	224.69
37	SLE R	Diff.	3.05	0.00	16.60	-166082.00	33369.70	18.56	228.67
61	SLE Q	Diff.	3.05	0.00	16.60	-176186.00	32749.90	18.20	209.28

Verifiche stato limite di formazione delle fessure

CC	TCC	Zona	Zv <m>	Xi <m>	Xf <m>	N <daN>	My <daNm>	c <mm>	s <mm>	K3	s _{zm} <mm>	Φ	A _s <cmq>	A _{c eff} <cmq>	σ _s <daN/cmq>	σ _{sr} <daN/cmq>	ε _{sm}	Wk <mm>
94	SLE Q	Diff.	0.00	0.00	3.10	-21252.70	-4567.31	52.00	198.13	0.13	256.85	24.00	72.38	6829.50	173.81	964.39	0.03	0.01
90	SLE F	Diff.	0.00	0.00	3.10	-21489.20	-4598.41	52.00	198.13	0.13	256.85	24.00	72.38	6829.50	174.42	962.52	0.03	0.01
77	SLE Q	Diff.	0.90	0.00	3.10	-16687.50	-1847.07	52.00	198.13	0.13	256.85	24.00	72.38	6829.50	27.12	520.02	0.01	0.00
73	SLE F	Diff.	0.90	0.00	3.10	-16678.30	-1860.47	52.00	198.13	0.13	256.85	24.00	72.38	6829.50	27.88	527.44	0.01	0.00
62	SLE Q	Diff.	1.80	0.00	3.10	-22286.20	2104.45	52.00	198.13	0.13	256.85	24.00	72.38	6829.49	18.02	353.07	0.00	0.00
58	SLE F	Diff.	1.80	0.00	3.10	-23175.00	2263.63	52.00	198.13	0.13	256.85	24.00	72.38	6829.49	22.28	391.28	0.00	0.00
77	SLE Q	Diff.	1.80	0.00	16.60	-205227.00	-140232.00	52.00	198.13	0.13	258.94	24.00	380.01	36517.30	1576.36	1258.89	0.64	0.28
73	SLE F	Diff.	1.80	0.00	16.60	-205229.00	-140840.00	52.00	198.13	0.13	258.94	24.00	380.01	36517.30	1584.36	1259.39	0.65	0.29
45	SLE Q	Diff.	3.05	0.00	16.60	-170595.00	32490.00	52.00	198.13	0.13	258.94	24.00	380.01	36517.30	212.39	918.96	0.04	0.02
41	SLE F	Diff.	3.05	0.00	16.60	-168213.00	32925.00	52.00	198.13	0.13	258.94	24.00	380.01	36517.30	220.59	932.92	0.04	0.02

Parete n. 107**Caratteristiche delle sezioni e dei materiali utilizzati**

Sez.	Spess. <cm>	Cf <cm>	Cls	Fck <daN/cmq>	Fctk <daN/cmq>	Fcd <daN/cmq>	Fctd <daN/cmq>	Acc.	Fyk <daN/cmq>	Fyd <daN/cmq>
Oriz.	30.00	5.80	C28/35	290.50	19.84	164.62	13.23	Fe B 32 k	3150.00	2739.13

Verifiche su sezioni orizzontali**Stato limite ultimo - Armatura a flessione**

CC	TCC	Zona	Zv <m>	Xi <m>	Xf <m>	N <daN>	My <daNm>	Nu <daN>	Myu <daNm>	Sic.
84	SLU	Diff.	0.00	0.00	32.15	-219393.00	-127664.00	-219398.00	-168907.00	1.323
35	SLU	Diff.	1.26	0.00	32.15	-74305.70	-15251.20	-74309.50	-150369.00	9.859
35	SLU	Diff.	2.52	0.00	32.15	-39973.00	-31775.80	-39973.60	-145920.00	4.592
84	SLU	Diff.	3.77	0.00	32.15	-99122.70	41214.00	-99127.10	153516.00	3.725
36	SLU	Diff.	5.03	0.00	32.15	9128.38	28249.60	9128.75	138697.00	4.910
35	SLU	Diff.	6.29	0.00	32.15	37721.60	17850.10	37719.30	134975.00	7.562
17	SLV	Diff.	7.55	0.00	32.15	-3761.01	-1704.65	-3762.25	-141226.00	82.847

Stato limite d'esercizio - Armatura a flessione

CC	TCC	Zona	Zv <m>	Xi <m>	Xf <m>	N <daN>	My <daNm>	σ_c <daN/cm ² >	σ_f <daN/cm ² >
88	SLE R	Diff.	0.00	0.00	32.15	-159940.00	-88282.70	42.74	1696.66
96	SLE Q	Diff.	0.00	0.00	32.15	-159661.00	-86365.90	41.78	1650.83
39	SLE R	Diff.	1.26	0.00	32.15	-50282.60	-13386.70	6.17	186.08
47	SLE Q	Diff.	1.26	0.00	32.15	-62995.90	-9882.24	4.09	75.11
39	SLE R	Diff.	2.52	0.00	32.15	-23752.70	-25302.50	12.43	549.14
47	SLE Q	Diff.	2.52	0.00	32.15	-37253.60	-18523.80	8.93	345.62
88	SLE R	Diff.	3.77	0.00	32.15	-66828.30	28205.00	13.50	498.19
96	SLE Q	Diff.	3.77	0.00	32.15	-67539.10	27156.30	12.96	470.81
56	SLE R	Diff.	5.03	0.00	32.15	-20808.50	21062.70	10.34	454.29
40	SLE R	Diff.	5.03	0.00	32.15	14320.30	20551.60	10.25	544.01
64	SLE Q	Diff.	5.03	0.00	32.15	-26225.10	20519.70	10.03	425.54
39	SLE R	Diff.	6.29	0.00	32.15	36798.80	16769.80	8.37	518.39
47	SLE Q	Diff.	6.29	0.00	32.15	24835.20	13755.30	6.87	409.26
72	SLE R	Diff.	7.55	0.00	32.15	-2873.60	-707.02	0.32	9.26
70	SLE R	Diff.	7.55	0.00	32.15	-2832.14	-702.89	0.32	9.27
80	SLE Q	Diff.	7.55	0.00	32.15	-2898.00	-661.16	0.30	8.12

Verifiche stato limite di formazione delle fessure

CC	TCC	Zona	Zv <m>	Xi <m>	Xf <m>	N <daN>	My <daNm>	c <mm>	s <mm>	K3	s _{rm} <mm>	Φ	A _s <cm ² >	A _{c eff} <cm ² >	σ_s <daN/cm ² >	σ_{sz} <daN/cm ² >	ϵ_{sm}	Wk <mm>
96	SLE Q	Diff.	0.00	0.00	32.15	-159661.00	-86365.90	51.97	168.00	0.13	241.95	12	1.13	196.82	1650.83	3680.16	0.32	0.13
92	SLE F	Diff.	0.00	0.00	32.15	-160331.00	-87264.50	51.97	168.00	0.13	241.95	12	1.13	196.82	1670.80	3684.00	0.32	0.13
47	SLE Q	Diff.	1.26	0.00	32.15	-62995.90	-9882.24	51.97	168.00	0.13	241.95	12	1.13	196.82	75.11	1954.36	0.01	0.01
43	SLE F	Diff.	1.26	0.00	32.15	-57147.40	-11593.90	51.97	168.00	0.13	241.95	12	1.13	196.82	126.52	2534.51	0.02	0.01
47	SLE Q	Diff.	2.52	0.00	32.15	-37253.60	-18523.80	51.97	168.00	0.13	241.95	12	1.13	196.82	345.62	3624.97	0.07	0.03
43	SLE F	Diff.	2.52	0.00	32.15	-31090.80	-21884.20	51.97	168.00	0.13	241.95	12	1.13	196.82	444.81	3822.53	0.09	0.04
96	SLE Q	Diff.	3.77	0.00	32.15	-67539.10	27156.30	52.03	168.00	0.13	242.13	12	1.13	196.90	470.81	3460.53	0.09	0.04
92	SLE F	Diff.	3.77	0.00	32.15	-67750.80	27624.20	52.03	168.00	0.13	242.13	12	1.13	196.90	481.56	3472.69	0.09	0.04
48	SLE Q	Diff.	5.03	0.00	32.15	1877.96	20110.80	52.03	168.00	0.13	248.34	12	1.13	196.90	496.75	4292.82	0.10	0.04
44	SLE F	Diff.	5.03	0.00	32.15	7554.56	20264.30	52.03	168.00	0.13	249.69	12	1.13	196.90	517.11	4373.69	0.10	0.04
47	SLE Q	Diff.	6.29	0.00	32.15	24835.20	13755.30	52.03	168.00	0.14	256.10	12	1.13	196.90	409.26	4762.28	0.08	0.03
43	SLE F	Diff.	6.29	0.00	32.15	30296.30	15233.60	52.03	168.00	0.14	256.86	12	1.13	196.90	461.56	4809.00	0.09	0.04
78	SLE Q	Diff.	7.55	0.00	32.15	-2856.54	-657.03	51.97	168.00	0.13	241.95	12	1.13	196.82	8.13	2764.61	0.00	0.00
74	SLE F	Diff.	7.55	0.00	32.15	-2851.14	-677.03	51.97	168.00	0.13	241.95	12	1.13	196.82	8.61	2817.88	0.00	0.00

Parete n. 507**Caratteristiche delle sezioni e dei materiali utilizzati**

Sez.	Spess. <cm>	Cf <cm>	Cls	Fck <daN/cmq>	Fctk <daN/cmq>	Fcd <daN/cmq>	Fctd <daN/cmq>	Acc.	Fyk <daN/cmq>	Fyd <daN/cmq>
Oriz.	30.00	6.40	C28/35	290.50	19.84	164.62	13.23	Fe B 32 k	3150.00	2739.13

Verifiche su sezioni orizzontali**Stato limite ultimo - Armatura a flessione**

CC	TCC	Zona	Zv <m>	Xi <m>	Xf <m>	N <daN>	My <daNm>	Nu <daN>	Myu <daNm>	Sic.
68	SLU	Diff.	0.00	0.00	6.85	-103574.00	-84167.00	-103574.00	-105151.00	1.249
68	SLU	Diff.	0.63	0.00	6.85	-99399.60	-31271.10	-99401.10	-104775.00	3.351
52	SLU	Diff.	1.25	0.00	6.85	-79323.20	23510.50	-79324.30	102968.00	4.380

Stato limite d'esercizio - Armatura a flessione

CC	TCC	Zona	Zv <m>	Xi <m>	Xf <m>	N <daN>	My <daNm>	σ_c <daN/cm ² >	σ_f <daN/cm ² >
72	SLE R	Diff.	0.00	0.00	6.85	-71679.70	-56907.90	75.72	1571.02
80	SLE Q	Diff.	0.00	0.00	6.85	-71641.80	-56394.20	75.04	1554.91
70	SLE R	Diff.	0.63	0.00	6.85	-68700.10	-21404.50	28.71	461.93
72	SLE R	Diff.	0.63	0.00	6.85	-68468.80	-21404.10	28.71	462.61
78	SLE Q	Diff.	0.63	0.00	6.85	-68662.10	-21180.80	28.41	455.06
56	SLE R	Diff.	1.25	0.00	6.85	-53478.40	15496.50	20.80	323.25
53	SLE R	Diff.	1.25	0.00	6.85	-53408.40	15493.00	20.79	323.35
64	SLE Q	Diff.	1.25	0.00	6.85	-55796.40	15151.00	20.34	305.64

Verifiche stato limite di formazione delle fessure

CC	TCC	Zona	Zv <m>	Xi <m>	Xf <m>	N <daN>	My <daNm>	c <mm>	s <mm>	K3	s _{rm} <mm>	Φ	A _s <cmq>	A _{c eff} <cmq>	σ _s <daN/cmq>	σ _{sr} <daN/cmq>	ε _{sm}	Wk <mm>
80	SLE Q	Diff.	0.00	0.00	6.85	-71641.80	-56394.20	52.00	197.71	0.13	257.87	24.00	158.34	15084.80	1554.91	1263.53	0.63	0.28
76	SLE F	Diff.	0.00	0.00	6.85	-71776.20	-56631.10	52.00	197.71	0.13	257.87	24.00	158.34	15084.80	1561.97	1263.76	0.63	0.28
80	SLE Q	Diff.	0.63	0.00	6.85	-68430.80	-21180.30	52.00	197.71	0.13	257.87	24.00	158.34	15084.80	455.74	1100.98	0.09	0.04
76	SLE F	Diff.	0.63	0.00	6.85	-68565.20	-21284.70	52.00	197.71	0.13	257.87	24.00	158.34	15084.80	458.59	1101.82	0.09	0.04
61	SLE Q	Diff.	1.25	0.00	6.85	-55726.40	15147.50	52.00	197.71	0.13	257.86	24.00	158.34	15084.50	305.74	1061.05	0.06	0.03
57	SLE F	Diff.	1.25	0.00	6.85	-54682.90	15315.40	52.00	197.71	0.13	257.86	24.00	158.34	15084.50	314.04	1070.81	0.06	0.03

Parete n. 607

Caratteristiche delle sezioni e dei materiali utilizzati

Sez.	Spess. <cm>	Cf <cm>	Cls	Fck <daN/cmq>	Fctk <daN/cmq>	Fcd <daN/cmq>	Fctd <daN/cmq>	Acc.	Fyk <daN/cmq>	Fyd <daN/cmq>
Oriz.	30.00	5.90	C28/35	290.50	19.84	164.62	13.23	Fe B 32 k	3150.00	2739.13

Verifiche su sezioni orizzontali

Stato limite ultimo - Armatura a flessione

CC	TCC	Zona	Zv <m>	Xi <m>	Xf <m>	N <daN>	My <daNm>	Nu <daN>	Myu <daNm>	Sic.
49	SLU	Diff.	0.00	0.00	6.85	-80372.80	22403.90	-80373.50	49888.30	2.227
84	SLU	Diff.	1.32	0.00	6.85	-84081.40	22668.10	-84084.50	50321.30	2.220
68	SLU	Diff.	2.63	0.00	6.85	-79234.00	37562.80	-79237.20	49755.60	1.325
34	SLU	Diff.	3.95	0.00	6.85	-56875.60	19538.60	-56876.80	47141.90	2.413
17	SLV	Diff.	5.27	0.00	6.85	-7301.26	-24767.50	-7304.03	-41191.50	1.663
17	SLV	Diff.	6.58	0.00	6.85	-4142.88	-5226.37	-4147.38	-40808.60	7.808
25	SLV	Diff.	7.90	0.00	6.85	11.03	95.66	11.16	40166.60	>100

Stato limite d'esercizio - Armatura a flessione

CC	TCC	Zona	Zv <m>	Xi <m>	Xf <m>	N <daN>	My <daNm>	σ _c <daN/cmq>	σ _ε <daN/cmq>
53	SLE R	Diff.	0.00	0.00	6.85	-54449.60	14757.40	28.58	739.11
61	SLE Q	Diff.	0.00	0.00	6.85	-56793.60	14367.90	27.65	686.28
88	SLE R	Diff.	1.32	0.00	6.85	-57051.80	15022.90	29.02	738.04
96	SLE Q	Diff.	1.32	0.00	6.85	-57476.40	14869.30	28.67	721.63
72	SLE R	Diff.	2.63	0.00	6.85	-53359.00	25149.20	50.19	1620.43
80	SLE Q	Diff.	2.63	0.00	6.85	-53793.20	24814.20	49.48	1588.10
38	SLE R	Diff.	3.95	0.00	6.85	-36636.10	13384.90	26.44	785.75
46	SLE Q	Diff.	3.95	0.00	6.85	-39624.10	13097.00	25.73	734.23
72	SLE R	Diff.	5.27	0.00	6.85	-8447.40	-12580.30	25.52	985.00
80	SLE Q	Diff.	5.27	0.00	6.85	-8437.43	-11960.80	24.25	932.55
72	SLE R	Diff.	6.58	0.00	6.85	-4240.34	-2164.47	4.33	142.77
80	SLE Q	Diff.	6.58	0.00	6.85	-4230.98	-2018.81	4.03	130.56
88	SLE R	Diff.	7.90	0.00	6.85	-79.76	34.79	0.07	2.19
54	SLE R	Diff.	7.90	0.00	6.85	77.29	33.69	0.07	3.63
64	SLE Q	Diff.	7.90	0.00	6.85	44.74	32.06	0.07	3.16

Verifiche stato limite di formazione delle fessure

CC	TCC	Zona	Zv <m>	Xi <m>	Xf <m>	N <daN>	My <daNm>	c <mm>	s <mm>	K3	s _{rm} <mm>	Φ	A _s <cmq>	A _{c eff} <cmq>	σ _s <daN/cmq>	σ _{sr} <daN/cmq>	ε _{sm}	Wk <mm>
61	SLE Q	Diff.	0.00	0.00	6.85	-56793.60	14367.90	52.01	196.00	0.13	259.27	14.00	1.54	255.22	686.28	2265.86	0.13	0.06
57	SLE F	Diff.	0.00	0.00	6.85	-55738.30	14557.90	52.01	196.00	0.13	259.27	14.00	1.54	255.22	711.21	2299.59	0.14	0.06
96	SLE Q	Diff.	1.32	0.00	6.85	-57476.40	14869.30	52.01	196.00	0.13	259.27	14.00	1.54	255.22	721.63	2289.63	0.14	0.06
92	SLE F	Diff.	1.32	0.00	6.85	-57404.00	14949.20	52.01	196.00	0.13	259.27	14.00	1.54	255.22	728.86	2296.56	0.14	0.06
80	SLE Q	Diff.	2.63	0.00	6.85	-53793.20	24814.20	52.01	196.00	0.13	259.27	14.00	1.54	255.22	1588.10	2729.51	0.31	0.14
76	SLE F	Diff.	2.63	0.00	6.85	-53722.90	24960.90	52.01	196.00	0.13	259.27	14.00	1.54	255.22	1601.13	2733.33	0.31	0.14
46	SLE Q	Diff.	3.95	0.00	6.85	-39624.10	13097.00	52.01	196.00	0.13	259.27	14.00	1.54	255.22	734.23	2512.81	0.14	0.06
42	SLE F	Diff.	3.95	0.00	6.85	-38287.50	13219.70	52.01	196.00	0.13	259.27	14.00	1.54	255.22	756.72	2546.20	0.15	0.06
80	SLE Q	Diff.	5.27	0.00	6.85	-8437.43	-11960.80	51.99	196.00	0.13	259.23	14.00	1.54	255.19	932.55	3071.23	0.18	0.08
76	SLE F	Diff.	5.27	0.00	6.85	-8439.63	-12224.80	51.99	196.00	0.13	259.23	14.00	1.54	255.19	954.92	3074.57	0.19	0.08
80	SLE Q	Diff.	6.58	0.00	6.85	-4230.98	-2018.81	51.99	196.00	0.13	259.23	14.00	1.54	255.19	130.56	2747.01	0.03	0.01
76	SLE F	Diff.	6.58	0.00	6.85	-4236.28	-2080.49	51.99	196.00	0.13	259.23	14.00	1.54	255.19	135.72	2761.56	0.03	0.01
62	SLE Q	Diff.	7.90	0.00	6.85	45.23	32.04	52.01	196.00	0.13	262.15	14.00	1.54	255.22	3.17	3506.48	0.00	0.00
58	SLE F	Diff.	7.90	0.00	6.85	60.64	32.73	52.01	196.00	0.13	264.45	14.00	1.54	255.22	3.38	3588.79	0.00	0.00

Parete n. 108

Caratteristiche delle sezioni e dei materiali utilizzati

Sez.	Spess. <cm>	Cf <cm>	Cls	Fck <daN/cmq>	Fctk <daN/cmq>	Fcd <daN/cmq>	Fctd <daN/cmq>	Acc.	Fyk <daN/cmq>	Fyd <daN/cmq>
Oriz.	30.00	5.80	C28/35	290.50	19.84	164.62	13.23	B450C	4500.00	3913.04
Vert.	30.00	4.60	C28/35	290.50	19.84	164.62	13.23	B450C	4500.00	3913.04

Verifiche su sezioni orizzontali

Stato limite ultimo - Armatura a flessione

CC	TCC	Zona	Zv <m>	Xi <m>	Xf <m>	N <daN>	My <daNm>	Nu <daN>	Myu <daNm>	Sic.
1	SLV	Diff.	0.00	0.00	9.30	-160201.00	6471.37	-160204.00	74008.10	11.436
17	SLV	Diff.	1.27	0.00	9.30	-130953.00	-903.74	-130958.00	-71005.30	78.568
17	SLV	Diff.	2.54	0.00	9.30	-128798.00	-1960.00	-128803.00	-70782.40	36.113
17	SLV	Diff.	3.81	0.00	9.30	-126373.00	-1572.64	-126376.00	-70531.40	44.849
17	SLV	Diff.	5.08	0.00	9.30	-123173.00	748.64	-123177.00	70185.50	93.751
17	SLV	Diff.	6.35	0.00	9.30	-115787.00	3107.02	-115788.00	69419.80	22.343

Stato limite d'esercizio - Armatura a flessione

CC	TCC	Zona	Zv <m>	Xi <m>	Xf <m>	N <daN>	My <daNm>	σ_c <daN/cm ² >	σ_f <daN/cm ² >
53	SLE R	Diff.	0.00	0.00	9.30	-226781.00	2669.50	9.49	131.87
69	SLE R	Diff.	0.00	0.00	9.30	-139032.00	1172.33	5.50	77.97
61	SLE Q	Diff.	0.00	0.00	9.30	-207938.00	2386.30	8.66	120.54
54	SLE R	Diff.	1.27	0.00	9.30	-199320.00	511.52	7.10	104.54
70	SLE R	Diff.	1.27	0.00	9.30	-136614.00	54.91	4.67	69.82
62	SLE Q	Diff.	1.27	0.00	9.30	-181821.00	454.62	6.47	95.28
54	SLE R	Diff.	2.54	0.00	9.30	-181467.00	275.51	6.34	93.99
69	SLE R	Diff.	2.54	0.00	9.30	-137542.00	-134.33	4.75	70.78
62	SLE Q	Diff.	2.54	0.00	9.30	-165062.00	261.63	5.77	85.57
54	SLE R	Diff.	3.81	0.00	9.30	-168184.00	132.39	5.79	86.35
70	SLE R	Diff.	3.81	0.00	9.30	-135866.00	113.53	4.68	69.80
62	SLE Q	Diff.	3.81	0.00	9.30	-152553.00	151.98	5.27	78.52
53	SLE R	Diff.	5.08	0.00	9.30	-155115.00	70.44	5.31	79.32
70	SLE R	Diff.	5.08	0.00	9.30	-134155.00	315.34	4.76	70.18
61	SLE Q	Diff.	5.08	0.00	9.30	-140258.00	118.70	4.84	72.07
69	SLE R	Diff.	6.35	0.00	9.30	-128916.00	997.69	5.04	71.74
77	SLE Q	Diff.	6.35	0.00	9.30	-116497.00	937.52	4.58	65.06

Stato limite ultimo - Armatura a taglio

CC	Zona	Zv <m>	Xi <m>	Xf <m>	TCC	Ty <daN>	Tz <daN>	Vsdu <daN>	VRsd <daN>	VRcd <daN>	Vrdu <daN>	Sic.T
1	Diff.	0.00	0.00	9.30	SLV	0.00	6549.24	6549.24			131368.00	20.06
1	Diff.	1.27	0.00	9.30	SLV	0.00	-2078.78	2078.78			130024.00	62.55
9	Diff.	2.54	0.00	9.30	SLV	0.00	-805.06	805.06			131986.00	>100
17	Diff.	3.81	0.00	9.30	SLV	0.00	983.67	983.67			127286.00	>100
17	Diff.	5.08	0.00	9.30	SLV	0.00	1699.57	1699.57			126899.00	74.67
17	Diff.	6.35	0.00	9.30	SLV	0.00	-1798.89	1798.89			125995.00	70.04

Verifiche su sezioni verticali
Stato limite ultimo - Armatura a flessione

CC	TCC	Xv <m>	Zi <m>	Zf <m>	N <daN>	My <daNm>	Nu <daN>	Myu <daNm>	Sic.
34	SLU	0.00	0.00	0.64	2750.46	-70.57	2746.92	-4213.20	59.703
34	SLU	0.00	0.64	1.91	9569.41	-292.75	9573.08	-5848.09	19.976
34	SLU	0.00	1.91	3.17	12732.80	-495.00	12736.30	-5454.91	11.020
34	SLU	0.00	3.17	4.45	8836.91	-472.18	8836.78	-6996.44	14.817
66	SLU	0.00	4.45	5.71	3513.91	-188.02	3511.81	-6593.91	35.071
9	SLV	1.86	5.71	6.35	-277.48	-34.66	-281.54	-4631.47	>100

Stato limite d'esercizio - Armatura a flessione

CC	TCC	Xv <m>	Zi <m>	Zf <m>	N <daN>	My <daNm>	σ_c <daN/cm ² >	σ_f <daN/cm ² >
55	SLE R	7.44	0.00	0.64	-2720.68	1.30	1.36	20.36
40	SLE R	0.00	0.00	0.64	2098.46	-49.85	0.00	316.03
63	SLE Q	7.44	0.00	0.64	-2494.36	0.69	1.25	18.61
54	SLE R	0.00	0.64	1.91	989.27	-173.36	2.28	192.97
40	SLE R	0.00	0.64	1.91	7466.45	-208.08	0.00	811.36
62	SLE Q	0.00	0.64	1.91	907.44	-162.69	2.14	179.30
56	SLE R	0.00	1.91	3.17	-2261.89	-241.55	2.15	23.16
40	SLE R	0.00	1.91	3.17	10061.30	-353.65	0.00	1152.76
64	SLE Q	0.00	1.91	3.17	-2137.93	-229.11	2.04	21.96
54	SLE R	0.00	3.17	4.45	-1259.11	-182.89	1.74	27.64
40	SLE R	0.00	3.17	4.45	6815.82	-341.96	0.00	717.95
62	SLE Q	0.00	3.17	4.45	-1223.23	-177.94	1.69	26.97
38	SLE R	0.00	4.45	5.71	1617.90	-140.02	1.77	232.04
72	SLE R	0.00	4.45	5.71	2551.24	-143.62	0.36	328.56
46	SLE Q	0.00	4.45	5.71	924.45	-123.49	1.61	156.62
69	SLE R	8.37	5.71	6.35	-2897.89	13.61	1.57	22.89
72	SLE R	0.00	5.71	6.35	684.97	-21.07	0.00	108.26
77	SLE Q	8.37	5.71	6.35	-2388.50	11.32	1.29	18.88

Verifiche stato limite di formazione delle fessure

CC	TCC	Xv <m>	Zi <m>	Zf <m>	N <daN>	My <daNm>	c <mm>	s <mm>	K3	s _{rm} <mm>	Φ	A _s <cm ² >	A _{c eff} <cm ² >	σ_s <daN/cm ² >	σ_{sr} <daN/cm ² >	ε _{sm}	Wk <mm>
48	SLE Q	0.00	0.00	0.64	1840.11	-46.40	40.02	168.00	0.21	278.61	12.00	1.13	181.32	261.80	5501.91	0.05	0.02
44	SLE F	0.00	0.00	0.64	1970.32	-47.67	40.02	168.00	0.22	279.36	12.00	1.13	181.32	278.19	5533.21	0.05	0.03
48	SLE Q	0.00	0.64	1.91	6099.36	-190.34	40.02	168.00	0.21	274.60	12.00	1.13	181.32	677.22	7800.22	0.13	0.06
44	SLE F	0.00	0.64	1.91	6788.45	-197.30	40.02	168.00	0.21	275.97	12.00	1.13	181.32	743.43	7897.90	0.14	0.07
48	SLE Q	0.00	1.91	3.17	7720.66	-318.79	40.02	168.00	0.20	268.97	12.00	1.13	181.32	918.17	7445.83	0.18	0.08
44	SLE F	0.00	1.91	3.17	8904.25	-332.41	40.02	168.00	0.20	271.02	12.00	1.13	181.32	1033.95	7593.82	0.20	0.09
48	SLE Q	0.00	3.17	4.45	5250.27	-304.68	40.02	168.00	0.19	262.05	12.00	1.13	181.32	578.10	5892.82	0.11	0.05
44	SLE F	0.00	3.17	4.45	6033.13	-317.22	40.02	168.00	0.20	264.10	12.00	1.13	181.32	644.32	6013.73	0.13	0.06
80	SLE Q	0.00	4.45	5.71	1677.68	-125.93	40.02	168.00	0.19	256.66	12.00	1.13	181.32	232.34	7632.58	0.05	0.02
76	SLE F	0.00	4.45	5.71	2109.18	-128.87	40.02	168.00	0.19	260.85	12.00	1.13	181.32	277.96	8162.98	0.05	0.02
80	SLE Q	0.00	5.71	6.35	327.13	-17.35	40.02	168.00	0.20	263.78	12.00	1.13	181.32	56.21	4881.54	0.01	0.00
76	SLE F	0.00	5.71	6.35	505.41	-17.56	40.02	168.00	0.21	272.44	12.00	1.13	181.32	77.02	5244.57	0.01	0.01

Stato limite ultimo - Armatura a taglio

CC	Xv <m>	Zi <m>	Zf <m>	TCC	Ty <daN>	Tz <daN>	Vsdu <daN>	Vrdu <daN>	Sic.T
49	0.00	0.00	0.64	SLU	0.00	-293.74	293.74	7888.82	26.86
52	0.00	0.64	1.91	SLU	0.00	-590.78	590.78	15777.60	26.71
34	0.00	1.91	3.17	SLU	0.00	-474.38	474.38	15777.60	33.26
34	0.00	3.17	4.45	SLU	0.00	-399.29	399.29	15777.60	39.51
9	0.00	4.45	5.71	SLV	0.00	410.12	410.12	16080.30	39.21
9	0.00	5.71	6.35	SLV	0.00	614.19	614.19	8096.10	13.18

Parete n. 109
Caratteristiche delle sezioni e dei materiali utilizzati

Sez.	Spess. <cm>	Cf <cm>	Cls	Fck <daN/cm²>	Fctk <daN/cm²>	Fcd <daN/cm²>	Fctd <daN/cm²>	Acc.	Fyk <daN/cm²>	Fyd <daN/cm²>
Oriz.	30.00	5.80	C28/35	290.50	19.84	164.62	13.23	B450C	4500.00	3913.04
Vert.	30.00	4.60	C28/35	290.50	19.84	164.62	13.23	B450C	4500.00	3913.04

Verifiche su sezioni orizzontali
Stato limite ultimo - Armatura a flessione

CC	TCC	Zona	Zv <m>	Xi <m>	Xf <m>	N <daN>	My <daNm>	Nu <daN>	Myu <daNm>	Sic.
17	SLV	Diff.	0.00	0.00	9.30	-104704.00	7869.96	-104706.00	68268.90	8.675
66	SLU	Diff.	1.27	0.00	9.30	-126704.00	875.12	-126708.00	70550.00	80.618
1	SLV	Diff.	2.54	0.00	9.30	-97253.00	-2246.87	-97257.90	-67512.40	30.047
17	SLV	Diff.	3.81	0.00	9.30	-81834.60	-2426.10	-81838.60	-65907.70	27.166
17	SLV	Diff.	5.08	0.00	9.30	-73920.20	-1945.15	-73924.50	-65082.60	33.459
66	SLU	Diff.	6.35	0.00	9.30	-91769.90	-4535.42	-91774.20	-66942.10	14.760

Stato limite d'esercizio - Armatura a flessione

CC	TCC	Zona	Zv <m>	Xi <m>	Xf <m>	N <daN>	My <daNm>	σ _c <daN/cm²>	σ _f <daN/cm²>
85	SLE R	Diff.	0.00	0.00	9.30	-159839.00	1982.61	6.75	93.57
69	SLE R	Diff.	0.00	0.00	9.30	-102785.00	3537.14	5.87	74.19
93	SLE Q	Diff.	0.00	0.00	9.30	-151642.00	1888.06	6.41	88.82
53	SLE R	Diff.	1.27	0.00	9.30	-148552.00	-121.80	5.12	76.30
70	SLE R	Diff.	1.27	0.00	9.30	-95956.00	633.39	3.68	52.72
61	SLE Q	Diff.	1.27	0.00	9.30	-137771.00	-70.50	4.72	70.50
53	SLE R	Diff.	2.54	0.00	9.30	-127895.00	-429.04	4.63	67.70
69	SLE R	Diff.	2.54	0.00	9.30	-92309.40	-281.96	3.32	48.69
61	SLE Q	Diff.	2.54	0.00	9.30	-118035.00	-394.75	4.27	62.47
53	SLE R	Diff.	3.81	0.00	9.30	-111531.00	-617.73	4.20	60.55
69	SLE R	Diff.	3.81	0.00	9.30	-86434.80	-922.13	3.55	49.67
61	SLE Q	Diff.	3.81	0.00	9.30	-102370.00	-595.98	3.87	55.75
85	SLE R	Diff.	5.08	0.00	9.30	-90422.30	-983.24	3.73	52.08
69	SLE R	Diff.	5.08	0.00	9.30	-79688.70	-1509.18	3.72	49.88
93	SLE Q	Diff.	5.08	0.00	9.30	-82812.60	-924.39	3.43	47.84
70	SLE R	Diff.	6.35	0.00	9.30	-68454.80	-3327.21	4.56	55.42
78	SLE Q	Diff.	6.35	0.00	9.30	-61719.50	-2929.38	4.07	49.53

Stato limite ultimo - Armatura a taglio

CC	Zona	Zv <m>	Xi <m>	Xf <m>	TCC	Ty <daN>	Tz <daN>	Vsdu <daN>	VRsd <daN>	VRcd <daN>	Vrdu <daN>	Sic.T
17	Diff.	0.00	0.00	9.30	SLV	0.00	-7141.29	7141.29			124653.00	17.46
17	Diff.	1.27	0.00	9.30	SLV	0.00	2704.88	2704.88			123511.00	45.66
65	Diff.	2.54	0.00	9.30	SLU	0.00	1421.24	1421.24			126771.00	89.20
66	Diff.	3.81	0.00	9.30	SLU	0.00	1233.13	1233.13			125839.00	>100
66	Diff.	5.08	0.00	9.30	SLU	0.00	1354.04	1354.04			124820.00	92.18
66	Diff.	6.35	0.00	9.30	SLU	0.00	-2391.46	2391.46			123100.00	51.47

Verifiche su sezioni verticali
Stato limite ultimo - Armatura a flessione

CC	TCC	Xv <m>	Zi <m>	Zf <m>	N <daN>	My <daNm>	Nu <daN>	Myu <daNm>	Sic.
66	SLU	0.00	0.00	0.64	2619.86	-43.82	2618.98	-4228.23	96.489
66	SLU	0.00	0.64	1.91	10602.60	-167.74	10601.30	-5720.42	34.104
66	SLU	0.00	1.91	3.17	15817.00	-230.76	15820.70	-5069.23	21.967
25	SLV	0.00	3.17	4.45	-1057.63	-154.99	-1058.14	-8340.14	53.810
17	SLV	0.00	4.45	5.71	1467.50	141.49	1468.34	6845.43	48.382
17	SLV	0.00	5.71	6.35	69.73	65.41	71.80	4528.66	69.233

Stato limite d'esercizio - Armatura a flessione

CC	TCC	Xv <m>	Zi <m>	Zf <m>	N <daN>	My <daNm>	σ _c <daN/cm²>	σ _f <daN/cm²>
56	SLE R	7.44	0.00	0.64	-3091.17	3.56	1.57	23.33
37	SLE R	0.00	0.00	0.64	2435.29	-19.11	0.00	325.59
64	SLE Q	7.44	0.00	0.64	-2887.14	3.89	1.47	21.85
56	SLE R	7.44	0.64	1.91	-6627.56	4.13	1.69	25.18
39	SLE R	0.00	0.64	1.91	8981.68	-83.99	0.00	858.20

64	SLE Q	7.44	0.64	1.91	-6181.61	4.60	1.58	23.52
56	SLE R	6.51	1.91	3.17	-5767.07	-2.64	1.47	21.87
39	SLE R	0.00	1.91	3.17	12578.40	-123.17	0.00	1215.18
64	SLE Q	6.51	1.91	3.17	-5341.41	-2.04	1.36	20.23
85	SLE R	6.51	3.17	4.45	-3552.61	-9.59	0.94	13.79
38	SLE R	0.00	3.17	4.45	7828.52	-66.01	0.00	626.20
93	SLE Q	6.51	3.17	4.45	-3188.91	-9.26	0.84	12.42
71	SLE R	7.44	4.45	5.71	-2692.12	-32.03	0.83	11.77
39	SLE R	2.79	4.45	5.71	3271.20	-25.65	0.00	309.06
45	SLE Q	0.00	4.45	5.71	715.62	61.83	0.78	102.57
69	SLE R	0.00	5.71	6.35	214.37	48.35	1.05	73.21
56	SLE R	6.51	5.71	6.35	2860.34	-8.31	0.00	367.40
61	SLE Q	0.00	5.71	6.35	-1519.21	16.71	0.91	12.95

Verifiche stato limite di formazione delle fessure

CC	TCC	Xv <m>	Zi <m>	Zf <m>	N <daN>	My <daNm>	c <mm>	s <mm>	K3	S _{cm} <mm>	Φ	A _s <cmq>	A _{c eff} <cmq>	σ _s <daN/cmq>	σ _{sε} <daN/cmq>	ε _{sm}	Wk <mm>
45	SLE Q	0.00	0.00	0.64	2226.60	-18.09	40.02	168.00	0.24	294.52	12.00	1.13	181.33	276.36	6168.57	0.05	0.03
41	SLE F	0.00	0.00	0.64	2337.78	-18.58	40.02	168.00	0.24	294.74	12.00	1.13	181.33	289.72	6177.48	0.06	0.03
47	SLE Q	0.00	0.64	1.91	7641.95	-79.24	40.02	168.00	0.23	292.01	12.00	1.13	181.33	735.69	9037.60	0.14	0.07
43	SLE F	0.00	0.64	1.91	8326.72	-81.50	40.02	168.00	0.23	292.67	12.00	1.13	181.33	798.19	9084.15	0.15	0.08
47	SLE Q	0.00	1.91	3.17	10089.10	-117.33	40.02	168.00	0.23	290.62	12.00	1.13	181.33	987.83	9005.29	0.19	0.09
43	SLE F	0.00	1.91	3.17	11345.80	-120.09	40.02	168.00	0.23	291.75	12.00	1.13	181.33	1102.47	9087.30	0.21	0.11
47	SLE Q	0.00	3.17	4.45	6233.28	-58.87	40.02	168.00	0.23	293.10	12.00	1.13	181.33	502.43	7727.54	0.10	0.05
43	SLE F	0.00	3.17	4.45	7060.67	-58.04	40.02	168.00	0.24	294.53	12.00	1.13	181.33	563.87	7812.05	0.11	0.05
47	SLE Q	2.79	4.45	5.71	2804.04	-22.65	40.02	168.00	0.24	294.65	12.00	1.13	181.33	265.39	9226.29	0.05	0.03
43	SLE F	2.79	4.45	5.71	3041.22	-24.20	40.02	168.00	0.24	294.79	12.00	1.13	181.33	287.58	9236.55	0.06	0.03
64	SLE Q	6.51	5.71	6.35	2670.00	-8.56	40.02	168.00	0.24	300.89	12.00	1.13	181.33	317.43	6437.40	0.06	0.03
60	SLE F	6.51	5.71	6.35	2777.56	-8.31	40.02	168.00	0.24	301.19	12.00	1.13	181.33	329.58	6450.24	0.06	0.03

Stato limite ultimo - Armatura a taglio

CC	Xv <m>	Zi <m>	Zf <m>	TCC	Ty <daN>	Tz <daN>	Vsdu <daN>	Vrdu <daN>	Sic.T
65	0.00	0.00	0.64	SLU	0.00	228.30	228.30	7888.78	34.55
67	0.00	0.64	1.91	SLU	0.00	462.02	462.02	15777.60	34.15
66	0.00	1.91	3.17	SLU	0.00	301.48	301.48	15777.50	52.33
17	0.00	3.17	4.45	SLV	0.00	-195.60	195.60	15778.90	80.67
65	0.00	4.45	5.71	SLU	0.00	-632.63	632.63	15778.90	24.94
65	0.00	5.71	6.35	SLU	0.00	-874.84	874.84	7889.47	9.02

Parete n. 110

Caratteristiche delle sezioni e dei materiali utilizzati

Sez.	Spess. <cm>	Cf <cm>	Cls	Fck <daN/cmq>	Fctk <daN/cmq>	Fcd <daN/cmq>	Fctd <daN/cmq>	Acc.	Fyk <daN/cmq>	Fyd <daN/cmq>
Oriz.	30.00	5.80	C28/35	290.50	19.84	164.62	13.23	B450C	4500.00	3913.04
Vert.	30.00	4.60	C28/35	290.50	19.84	164.62	13.23	B450C	4500.00	3913.04

Verifiche su sezioni orizzontali

Stato limite ultimo - Armatura a flessione

CC	TCC	Zona	Zv <m>	Xi <m>	Xf <m>	N <daN>	My <daNm>	Nu <daN>	Myu <daNm>	Sic.
1	SLV	Diff.	0.00	0.00	9.30	-136865.00	8892.92	-136866.00	71608.20	8.052
66	SLU	Diff.	1.27	0.00	9.30	-188229.00	1785.29	-188232.00	76906.60	43.078
9	SLV	Diff.	2.54	0.00	9.30	-108419.00	-1503.01	-108422.00	-68662.90	45.684
1	SLV	Diff.	3.81	0.00	9.30	-108014.00	-1556.11	-108014.00	-68620.50	44.097
65	SLU	Diff.	5.08	0.00	9.30	-152994.00	-1103.75	-152998.00	-73272.60	66.385
17	SLV	Diff.	6.35	0.00	9.30	-88144.90	-3256.57	-88149.70	-66555.60	20.437

Stato limite d'esercizio - Armatura a flessione

CC	TCC	Zona	Zv <m>	Xi <m>	Xf <m>	N <daN>	My <daNm>	σ _c <daN/cmq>	σ _ε <daN/cmq>
69	SLE R	Diff.	0.00	0.00	9.30	-170533.00	6482.76	10.15	126.89
77	SLE Q	Diff.	0.00	0.00	9.30	-158487.00	6162.43	9.52	118.78
70	SLE R	Diff.	1.27	0.00	9.30	-145481.00	1262.89	5.78	81.81
56	SLE R	Diff.	1.27	0.00	9.30	-133186.00	706.00	4.99	72.11
78	SLE Q	Diff.	1.27	0.00	9.30	-133738.00	1193.72	5.34	75.41
70	SLE R	Diff.	2.54	0.00	9.30	-131162.00	499.28	4.78	69.80
86	SLE R	Diff.	2.54	0.00	9.30	-127907.00	445.85	4.64	67.81
78	SLE Q	Diff.	2.54	0.00	9.30	-119617.00	483.81	4.38	63.83
69	SLE R	Diff.	3.81	0.00	9.30	-124640.00	-303.15	4.43	65.27
85	SLE R	Diff.	3.81	0.00	9.30	-122289.00	-237.09	4.31	63.66
77	SLE Q	Diff.	3.81	0.00	9.30	-113114.00	-278.31	4.02	59.25
69	SLE R	Diff.	5.08	0.00	9.30	-116105.00	-839.21	4.50	64.25
77	SLE Q	Diff.	5.08	0.00	9.30	-104707.00	-783.57	4.08	58.11
70	SLE R	Diff.	6.35	0.00	9.30	-101425.00	-2137.71	4.88	64.83
78	SLE Q	Diff.	6.35	0.00	9.30	-90260.50	-2051.88	4.44	58.62

Stato limite ultimo - Armatura a taglio

CC	Zona	Zv <m>	Xi <m>	Xf <m>	TCC	Ty <daN>	Tz <daN>	Vsdu <daN>	VRsd <daN>	VRcd <daN>	Vrdu <daN>	Sic.T
1	Diff.	0.00	0.00	9.30	SLV	0.00	-7678.82	7678.82			128551.00	16.74
1	Diff.	1.27	0.00	9.30	SLV	0.00	2354.09	2354.09			126493.00	53.73
17	Diff.	2.54	0.00	9.30	SLV	0.00	1107.19	1107.19			125547.00	>100
66	Diff.	3.81	0.00	9.30	SLU	0.00	1090.46	1090.46			131713.00	>100
17	Diff.	5.08	0.00	9.30	SLV	0.00	1318.44	1318.44			124247.00	94.24
17	Diff.	6.35	0.00	9.30	SLV	0.00	-2152.28	2152.28			122656.00	56.99

Verifiche su sezioni verticali
Stato limite ultimo - Armatura a flessione

CC	TCC	Xv <m>	Zi <m>	Zf <m>	N <daN>	My <daNm>	Nu <daN>	Myu <daNm>	Sic.
68	SLU	7.44	0.00	0.64	-3330.68	163.22	-3331.04	4970.35	30.452
66	SLU	8.37	0.64	1.91	-15326.30	-361.63	-15329.90	-8961.68	24.781
66	SLU	8.37	1.91	3.17	-33042.10	-338.44	-33046.20	-10939.80	32.324
9	SLV	8.37	3.17	4.45	-4638.34	205.27	-4642.04	8743.08	42.592
25	SLV	8.37	4.45	5.71	-3789.32	203.32	-3789.77	7665.03	37.699
25	SLV	8.37	5.71	6.35	-2669.84	102.02	-2673.04	4897.46	48.007

Stato limite d'esercizio - Armatura a flessione

CC	TCC	Xv <m>	Zi <m>	Zf <m>	N <daN>	My <daNm>	σ_c <daN/cm ² >	σ_s <daN/cm ² >
72	SLE R	7.44	0.00	0.64	-2220.26	123.13	2.28	28.73
39	SLE R	8.37	0.00	0.64	1424.52	13.42	0.00	192.81
80	SLE Q	7.44	0.00	0.64	-2170.18	117.79	2.20	27.81
70	SLE R	8.37	0.64	1.91	-10017.50	-274.37	3.86	51.64
40	SLE R	6.51	0.64	1.91	-1750.16	153.12	1.31	15.23
78	SLE Q	8.37	0.64	1.91	-9855.18	-257.65	3.74	50.18
70	SLE R	8.37	1.91	3.17	-21995.40	-263.80	6.83	96.26
38	SLE R	6.51	1.91	3.17	-1768.06	148.45	1.27	14.92
78	SLE Q	8.37	1.91	3.17	-21547.60	-245.22	6.63	93.63
87	SLE R	7.44	3.17	4.45	-10426.50	32.08	2.76	40.68
38	SLE R	6.51	3.17	4.45	-1276.78	95.54	0.82	9.83
95	SLE Q	7.44	3.17	4.45	-10171.40	30.68	2.69	39.66
87	SLE R	7.44	4.45	5.71	-6679.18	87.18	2.11	29.58
54	SLE R	8.37	4.45	5.71	-263.64	-12.84	0.13	1.64
95	SLE Q	7.44	4.45	5.71	-6355.17	81.01	2.00	28.05
85	SLE R	5.58	5.71	6.35	-4231.61	-55.39	2.63	36.94
56	SLE R	8.37	5.71	6.35	-1201.64	27.49	0.86	11.66
93	SLE Q	5.58	5.71	6.35	-4005.10	-54.99	2.51	35.22

Verifiche stato limite di formazione delle fessure

CC	TCC	Xv <m>	Zi <m>	Zf <m>	N <daN>	My <daNm>	c <mm>	s <mm>	K3	S _{rm} <mm>	Φ	A _s <cm ² >	A _{c eff} <cm ² >	σ _s <daN/cm ² >	σ _{sr} <daN/cm ² >	ε _{sm}	Wk <mm>
47	SLE Q	8.37	0.00	0.64	1096.94	0.57	40.00	168.00	0.25	304.77	12.00	1.13	181.30	127.26	6604.55	0.02	0.01
43	SLE F	8.37	0.00	0.64	1263.04	7.48	40.00	168.00	0.24	297.21	12.00	1.13	181.30	153.78	6282.69	0.03	0.02
44	SLE F	6.51	0.64	1.91	-2091.96	150.80	40.00	168.00	0.13	209.78	12.00	1.13	181.30	1.16	179.23	0.00	0.00

Stato limite ultimo - Armatura a taglio

CC	Xv <m>	Zi <m>	Zf <m>	TCC	Ty <daN>	Tz <daN>	Vsdu <daN>	Vrdu <daN>	Sic.T
68	8.37	0.00	0.64	SLU	0.00	-715.98	715.98	7941.86	11.09
68	8.37	0.64	1.91	SLU	0.00	-1504.74	1504.74	17725.40	11.78
66	8.37	1.91	3.17	SLU	0.00	-732.70	732.70	19974.60	27.26
9	8.37	3.17	4.45	SLV	0.00	283.31	283.31	16367.30	57.77
65	6.51	4.45	5.71	SLU	0.00	498.81	498.81	17193.20	34.47
25	6.51	5.71	6.35	SLV	0.00	898.14	898.14	8603.09	9.58

Parete n. 111
Caratteristiche delle sezioni e dei materiali utilizzati

Sez.	Spess. <cm>	Cf <cm>	Cls	Fck <daN/cm ² >	Fctk <daN/cm ² >	Fcd <daN/cm ² >	Fctd <daN/cm ² >	Acc.	Fyk <daN/cm ² >	Fyd <daN/cm ² >
Oriz.	30.00	5.80	C28/35	290.50	19.84	164.62	13.23	Fe B 32 k	3150.00	2739.13

Verifiche su sezioni orizzontali
Stato limite ultimo - Armatura a flessione

CC	TCC	Zona	Zv <m>	Xi <m>	Xf <m>	N <daN>	My <daNm>	Nu <daN>	Myu <daNm>	Sic.
65	SLU	Diff.	0.00	0.00	3.10	-33293.70	-5639.60	-33294.10	-18104.20	3.210
52	SLU	Diff.	1.43	0.00	3.10	-22011.90	-796.51	-22013.60	-16692.30	20.957
65	SLU	Diff.	2.87	0.00	6.30	-32604.30	7679.10	-32606.80	31974.70	4.164
65	SLU	Diff.	2.87	7.20	16.60	-9948.47	9567.12	-9951.03	42919.30	4.486
33	SLU	Diff.	4.30	0.00	6.30	-6020.99	-15449.40	-6025.06	-28571.50	1.849
33	SLU	Diff.	4.30	7.20	16.60	16820.70	-30036.80	16816.80	-39245.50	1.307
33	SLU	Diff.	4.30	0.00	16.60	20392.10	-44681.80	20390.90	-69910.80	1.565
33	SLU	Diff.	5.78	0.00	16.60	52207.10	-13445.30	52203.00	-65659.60	4.883
33	SLU	Diff.	5.78	0.00	3.50	-7406.96	-1277.52	-7409.15	-15774.60	12.348

65	SLU	Diff.	5.78	4.25	7.88	21212.10	-4182.89	21213.80	-13568.10	3.244
65	SLU	Diff.	5.78	8.63	12.38	28487.00	-4599.47	28486.80	-12610.50	2.742
65	SLU	Diff.	5.78	13.13	16.60	376.30	-1019.49	375.86	-15476.20	15.180
34	SLU	Diff.	6.53	0.00	3.50	-4454.50	562.45	-4457.69	15377.90	27.341
34	SLU	Diff.	6.53	4.25	7.88	25895.60	2561.23	25893.00	12923.70	5.046
34	SLU	Diff.	6.53	8.63	12.38	32216.50	3354.93	32219.10	12092.10	3.604
34	SLU	Diff.	6.53	13.13	16.60	6191.71	1231.57	6193.01	14705.00	11.940
34	SLU	Diff.	6.53	0.00	16.60	69868.60	9719.51	69868.50	63221.80	6.505
33	SLU	Diff.	7.94	0.00	16.60	81650.20	33339.00	81646.30	61641.10	1.849
13	SLV	Diff.	9.35	0.00	16.60	-1420.61	230.76	-1422.94	73085.30	>100
29	SLV	Diff.	9.35	0.00	4.60	-6753.74	-228.05	-6756.34	-20873.90	91.534
13	SLV	Diff.	10.55	0.00	4.60	-4171.32	241.69	-4172.33	20519.90	84.901
5	SLV	Diff.	11.75	0.00	4.60	-117.68	-40.83	-120.55	-20013.60	>100

Stato limite d'esercizio - Armatura a flessione

CC	TCC	Zona	Zv <m>	Xi <m>	Xf <m>	N <daN>	My <daNm>	σ_c <daN/cm ² >	σ_f <daN/cm ² >
69	SLE R	Diff.	0.00	0.00	3.10	-24962.10	-4194.51	18.24	363.84
85	SLE R	Diff.	0.00	0.00	3.10	-21814.20	-3955.46	17.53	382.85
77	SLE Q	Diff.	0.00	0.00	3.10	-23537.80	-4003.01	17.46	353.66
88	SLE R	Diff.	1.43	0.00	3.10	-19760.80	-611.22	3.24	41.45
54	SLE R	Diff.	1.43	0.00	3.10	-16083.90	-598.58	2.84	35.62
96	SLE Q	Diff.	1.43	0.00	3.10	-18966.10	-589.71	3.12	39.84
69	SLE R	Diff.	2.87	0.00	6.30	-24771.40	5633.76	12.95	350.07
37	SLE R	Diff.	2.87	0.00	6.30	-17489.10	5272.35	12.57	403.25
77	SLE Q	Diff.	2.87	0.00	6.30	-25668.70	4319.89	9.30	187.27
69	SLE R	Diff.	2.87	7.20	16.60	-8156.34	6925.85	11.54	492.02
37	SLE R	Diff.	2.87	7.20	16.60	-5326.66	6753.37	11.31	505.20
62	SLE Q	Diff.	2.87	7.20	16.60	-23674.10	-5681.19	8.79	246.46
37	SLE R	Diff.	4.30	0.00	6.30	-4802.37	-11469.80	28.99	1350.24
39	SLE R	Diff.	4.30	0.00	6.30	-4397.02	-11438.00	28.93	1352.27
45	SLE Q	Diff.	4.30	0.00	6.30	-7605.87	-9325.25	23.45	1043.52
37	SLE R	Diff.	4.30	7.20	16.60	12101.50	-22320.60	37.80	1960.29
45	SLE Q	Diff.	4.30	7.20	16.60	7476.29	-18316.70	31.00	1584.35
37	SLE R	Diff.	4.30	0.00	16.60	14255.10	-33214.80	32.09	1646.77
45	SLE Q	Diff.	4.30	0.00	16.60	5636.72	-27238.10	26.27	1316.21
69	SLE R	Diff.	5.78	0.00	16.60	32835.00	-10076.20	9.71	663.46
37	SLE R	Diff.	5.78	0.00	16.60	38384.50	-9950.80	9.54	689.91
77	SLE Q	Diff.	5.78	0.00	16.60	24093.60	-7902.48	7.63	510.70
37	SLE R	Diff.	5.78	0.00	3.50	-5601.83	-946.26	3.76	77.34
39	SLE R	Diff.	5.78	0.00	3.50	-5376.30	-928.37	3.71	78.49
45	SLE Q	Diff.	5.78	0.00	3.50	-5982.68	-757.16	2.70	33.86
69	SLE R	Diff.	5.78	4.25	7.88	15670.90	-3095.06	13.14	1046.38
37	SLE R	Diff.	5.78	4.25	7.88	16334.30	-3048.40	12.87	1053.95
77	SLE Q	Diff.	5.78	4.25	7.88	12390.40	-2418.75	10.26	821.46
69	SLE R	Diff.	5.78	8.63	12.38	21097.70	-3401.59	15.71	1277.01
37	SLE R	Diff.	5.78	8.63	12.38	21372.40	-3366.60	15.53	1277.24
77	SLE Q	Diff.	5.78	8.63	12.38	17104.70	-2646.67	12.20	1012.34
69	SLE R	Diff.	5.78	13.13	16.60	178.68	-752.80	3.42	170.36
37	SLE R	Diff.	5.78	13.13	16.60	759.82	-741.01	3.38	183.12
77	SLE Q	Diff.	5.78	13.13	16.60	-492.41	-574.86	2.58	113.69
38	SLE R	Diff.	6.53	0.00	3.50	-3302.56	434.48	1.57	21.50
46	SLE Q	Diff.	6.53	0.00	3.50	-3640.95	396.08	1.33	12.50
38	SLE R	Diff.	6.53	4.25	7.88	19186.10	1940.34	7.01	901.36
40	SLE R	Diff.	6.53	4.25	7.88	19322.90	1926.38	6.91	902.10
46	SLE Q	Diff.	6.53	4.25	7.88	15766.40	1769.68	6.71	776.56
38	SLE R	Diff.	6.53	8.63	12.38	23851.60	2537.94	11.31	1176.50
37	SLE R	Diff.	6.53	8.63	12.38	24176.20	2519.62	11.19	1181.84
46	SLE Q	Diff.	6.53	8.63	12.38	19683.80	2353.83	10.66	1023.60
38	SLE R	Diff.	6.53	13.13	16.60	4538.88	934.82	4.14	327.78
39	SLE R	Diff.	6.53	13.13	16.60	4571.38	933.03	4.13	328.27
46	SLE Q	Diff.	6.53	13.13	16.60	3607.39	872.89	3.91	288.88
38	SLE R	Diff.	6.53	0.00	16.60	51685.50	7357.22	6.63	647.52
46	SLE Q	Diff.	6.53	0.00	16.60	41647.60	6729.33	6.20	559.02
37	SLE R	Diff.	7.94	0.00	16.60	60940.40	25013.70	24.25	1528.81
45	SLE Q	Diff.	7.94	0.00	16.60	51553.50	21708.00	21.05	1319.06
69	SLE R	Diff.	9.35	0.00	16.60	-5851.55	-72.80	0.14	1.92
54	SLE R	Diff.	9.35	0.00	16.60	-2783.95	185.09	0.13	1.45
62	SLE Q	Diff.	9.35	0.00	16.60	-2203.37	178.53	0.12	1.29
85	SLE R	Diff.	9.35	0.00	4.60	-8069.25	-140.28	0.75	10.08
55	SLE R	Diff.	9.35	0.00	4.60	-7685.34	-116.80	0.69	9.39
93	SLE Q	Diff.	9.35	0.00	4.60	-7492.75	-138.09	0.70	9.46
54	SLE R	Diff.	10.55	0.00	4.60	-4640.79	176.72	0.56	7.00
62	SLE Q	Diff.	10.55	0.00	4.60	-4337.16	173.35	0.53	6.65
69	SLE R	Diff.	11.75	0.00	4.60	-678.92	-27.93	0.08	1.05
38	SLE R	Diff.	11.75	0.00	4.60	-610.49	-27.75	0.08	0.98
45	SLE Q	Diff.	11.75	0.00	4.60	-323.32	-25.35	0.06	0.67

Verifiche stato limite di formazione delle fessure

CC	TCC	Zona	Zv <m>	Xi <m>	Xf <m>	N <daN>	My <daNm>	c <mm>	s <mm>	K3	s _{rm} <mm>	Φ	A _s <cmq>	A _{c eff} <cmq>	σ _s <daN/cmq>	σ _{sr} <daN/cmq>	ε _{sm}	Wk <mm>
93	SLE Q	Diff.	0.00	0.00	3.10	-21019.50	-3811.76	51.93	168.00	0.13	241.86	12	1.13	196.78	368.99	2259.70	0.07	0.03
89	SLE F	Diff.	0.00	0.00	3.10	-21304.70	-3866.14	51.93	168.00	0.13	241.86	12	1.13	196.78	374.60	2261.19	0.07	0.03
45	SLE Q	Diff.	2.87	0.00	6.30	-19842.80	4030.76	52.07	168.00	0.13	242.21	12	1.13	196.94	223.59	2525.33	0.04	0.02
41	SLE F	Diff.	2.87	0.00	6.30	-18501.20	4653.51	52.07	168.00	0.13	242.21	12	1.13	196.94	314.73	2895.31	0.06	0.03
45	SLE Q	Diff.	2.87	7.20	16.60	-9522.79	4361.95	52.07	168.00	0.13	242.21	12	1.13	196.94	268.03	3527.29	0.05	0.02
41	SLE F	Diff.	2.87	7.20	16.60	-7536.87	5557.24	52.07	168.00	0.13	242.21	12	1.13	196.94	385.23	3801.40	0.07	0.03
47	SLE Q	Diff.	4.30	0.00	6.30	-7200.51	-9293.49	51.93	168.00	0.13	243.67	12	1.13	196.78	1045.39	4007.27	0.20	0.08
43	SLE F	Diff.	4.30	0.00	6.30	-5671.48	-10351.10	51.93	168.00	0.13	244.87	12	1.13	196.78	1198.76	4077.14	0.23	0.10
45	SLE Q	Diff.	4.30	7.20	16.60	7476.29	-18316.70	51.93	168.00	0.13	249.66	12	1.13	196.78	1584.34	4330.60	0.31	0.13
41	SLE F	Diff.	4.30	7.20	16.60	9660.96	-20268.30	51.93	168.00	0.13	249.98	12	1.13	196.78	1766.88	4349.83	0.34	0.15
45	SLE Q	Diff.	4.30	0.00	16.60	5636.72	-27238.10	51.93	168.00	0.13	248.69	12	1.13	196.78	1316.17	4312.72	0.26	0.11
41	SLE F	Diff.	4.30	0.00	16.60	9861.11	-30172.70	51.93	168.00	0.13	249.27	12	1.13	196.78	1478.42	4347.24	0.29	0.12
45	SLE Q	Diff.	5.78	0.00	16.60	28533.10	-7802.18	51.93	168.00	0.15	263.01	12	1.13	196.78	531.81	5190.74	0.10	0.05
41	SLE F	Diff.	5.78	0.00	16.60	33322.50	-8870.29	51.93	168.00	0.15	263.36	12	1.13	196.78	609.76	5212.86	0.12	0.05
47	SLE Q	Diff.	5.78	0.00	3.50	-5757.15	-739.26	51.93	168.00	0.13	241.86	12	1.13	196.78	34.37	1457.35	0.01	0.00
43	SLE F	Diff.	5.78	0.00	3.50	-5437.95	-832.83	51.93	168.00	0.13	241.86	12	1.13	196.78	57.51	1958.07	0.01	0.00
45	SLE Q	Diff.	5.78	4.25	7.88	12921.10	-2381.42	51.93	168.00	0.16	268.84	12	1.13	196.78	827.33	5384.51	0.16	0.07
41	SLE F	Diff.	5.78	4.25	7.88	14574.60	-2713.69	51.93	168.00	0.16	268.67	12	1.13	196.78	938.89	5374.07	0.18	0.08
45	SLE Q	Diff.	5.78	8.63	12.38	17324.50	-2618.68	51.93	168.00	0.16	272.43	12	1.13	196.78	1012.55	5899.59	0.20	0.09
41	SLE F	Diff.	5.78	8.63	12.38	19180.80	-2990.18	51.93	168.00	0.16	271.86	12	1.13	196.78	1139.82	5860.78	0.22	0.10
45	SLE Q	Diff.	5.78	13.13	16.60	-27.50	-565.42	51.93	168.00	0.13	247.43	12	1.13	196.78	123.71	4146.63	0.02	0.01
41	SLE F	Diff.	5.78	13.13	16.60	350.11	-653.63	51.93	168.00	0.14	250.26	12	1.13	196.78	153.06	4310.69	0.03	0.01
46	SLE Q	Diff.	6.53	0.00	3.50	-3640.95	396.08	52.07	168.00	0.13	242.21	12	1.13	196.94	11.04	977.34	0.00	0.00
42	SLE F	Diff.	6.53	0.00	3.50	-3350.44	415.31	52.07	168.00	0.13	242.21	12	1.13	196.94	17.53	1354.64	0.00	0.00
48	SLE Q	Diff.	6.53	4.25	7.88	15903.30	1755.72	52.07	168.00	0.17	278.89	12	1.13	196.94	777.07	5997.22	0.15	0.07
44	SLE F	Diff.	6.53	4.25	7.88	17560.00	1834.77	52.07	168.00	0.17	280.07	12	1.13	196.94	836.76	6071.91	0.16	0.08
45	SLE Q	Diff.	6.53	8.63	12.38	20008.30	2335.52	52.07	168.00	0.17	277.83	12	1.13	196.94	1028.84	6257.33	0.20	0.09
41	SLE F	Diff.	6.53	8.63	12.38	21914.30	2415.26	52.07	168.00	0.17	279.04	12	1.13	196.94	1097.83	6343.03	0.21	0.10
45	SLE Q	Diff.	6.53	13.13	16.60	3722.48	859.02	52.07	168.00	0.15	265.63	12	1.13	196.94	288.98	5220.42	0.06	0.03
41	SLE F	Diff.	6.53	13.13	16.60	4169.84	885.90	52.07	168.00	0.15	266.86	12	1.13	196.94	307.04	5296.56	0.06	0.03
46	SLE Q	Diff.	6.53	0.00	16.60	41647.60	6729.33	52.07	168.00	0.16	271.41	12	1.13	196.94	559.00	5710.51	0.11	0.05
42	SLE F	Diff.	6.53	0.00	16.60	46509.20	7016.13	52.07	168.00	0.16	272.66	12	1.13	196.94	601.04	5791.19	0.12	0.05
45	SLE Q	Diff.	7.94	0.00	16.60	51553.50	21708.00	52.07	168.00	0.14	258.49	12	1.13	196.94	1319.01	4893.87	0.26	0.11
41	SLE F	Diff.	7.94	0.00	16.60	56083.10	23298.90	52.07	168.00	0.14	258.62	12	1.13	196.94	1420.02	4901.78	0.28	0.12
62	SLE Q	Diff.	9.35	0.00	16.60	-2203.37	178.53	52.07	168.00	0.13	242.21	12	1.13	196.94	0.23	306.10	0.00	0.00
58	SLE F	Diff.	9.35	0.00	16.60	-2337.81	182.31	52.07	168.00	0.13	242.21	12	1.13	196.94	0.16	227.46	0.00	0.00
46	SLE Q	Diff.	11.75	0.00	4.60	-284.92	-24.02	51.93	168.00	0.13	241.86	12	1.13	196.78	0.15	389.89	0.00	0.00

Parete n. 112
Caratteristiche delle sezioni e dei materiali utilizzati

Sez.	Spess. <cm>	Cf <cm>	Cls	Fck <daN/cmq>	Fctk <daN/cmq>	Fcd <daN/cmq>	Fctd <daN/cmq>	Acc.	Fyk <daN/cmq>	Fyd <daN/cmq>
Oriz.	30.00	5.80	C28/35	290.50	19.84	164.62	13.23	B450C	4500.00	3913.04
Vert.	30.00	4.60	C28/35	290.50	19.84	164.62	13.23	B450C	4500.00	3913.04

Verifiche su sezioni orizzontali
Stato limite ultimo - Armatura a flessione

CC	TCC	Zona	Zv <m>	Xi <m>	Xf <m>	N <daN>	My <daNm>	Nu <daN>	Myu <daNm>	Sic.
9	SLV	Diff.	0.00	0.00	9.30	-147492.00	6054.64	-147494.00	72711.60	12.009
1	SLV	Diff.	1.27	0.00	9.30	-155029.00	-1125.23	-155031.00	-73475.70	65.298
9	SLV	Diff.	2.54	0.00	9.30	-131812.00	-2269.44	-131814.00	-71079.40	31.320
9	SLV	Diff.	3.81	0.00	9.30	-128413.00	-2199.20	-128416.00	-70728.00	32.161
9	SLV	Diff.	5.08	0.00	9.30	-124235.00	-1499.48	-124236.00	-70295.30	46.880
25	SLV	Diff.	6.35	0.00	9.30	-120513.00	-2521.58	-120518.00	-69910.30	27.725

Stato limite d'esercizio - Armatura a flessione

CC	TCC	Zona	Zv <m>	Xi <m>	Xf <m>	N <daN>	My <daNm>	σ _c <daN/cmq>	σ _f <daN/cmq>
70	SLE R	Diff.	0.00	0.00	9.30	-231769.00	-911.65	8.47	123.52
53	SLE R	Diff.	0.00	0.00	9.30	-154506.00	955.62	5.88	84.50
78	SLE Q	Diff.	0.00	0.00	9.30	-212782.00	-585.42	7.61	111.84
69	SLE R	Diff.	1.27	0.00	9.30	-201558.00	-526.48	7.19	105.77
53	SLE R	Diff.	1.27	0.00	9.30	-147165.00	-144.20	5.09	75.74
77	SLE Q	Diff.	1.27	0.00	9.30	-183947.00	-452.15	6.54	96.35
69	SLE R	Diff.	2.54	0.00	9.30	-182140.00	-622.38	6.59	96.49
53	SLE R	Diff.	2.54	0.00	9.30	-143535.00	-374.78	5.12	75.32
77	SLE Q	Diff.	2.54	0.00	9.30	-165626.00	-598.11	6.02	87.94
69	SLE R	Diff.	3.81	0.00	9.30	-168783.00	-547.92	6.09	89.23
53	SLE R	Diff.	3.81	0.00	9.30	-140443.00	-485.18	5.09	74.43
77	SLE Q	Diff.	3.81	0.00	9.30	-153011.00	-567.21	5.57	81.33
72	SLE R	Diff.	5.08	0.00	9.30	-155503.00	-363.34	5.52	81.33
53	SLE R	Diff.	5.08	0.00	9.30	-136694.00	-499.87	4.97	72.61
80	SLE Q	Diff.	5.08	0.00	9.30	-140472.00	-425.24	5.05	74.07
54	SLE R	Diff.	6.35	0.00	9.30	-129167.00	-1387.31	5.31	74.29
62	SLE Q	Diff.	6.35	0.00	9.30	-116561.00	-1398.27	4.89	67.94

Stato limite ultimo - Armatura a taglio

CC	Zona	Zv <m>	Zi <m>	Zf <m>	TCC	Ty <daN>	Tz <daN>	Vsdu <daN>	VRsd <daN>	VRcd <daN>	Vrdu <daN>	Sic.T
9	Diff.	0.00	0.00	9.30	SLV	0.00	6298.22	6298.22			129842.00	20.62
9	Diff.	1.27	0.00	9.30	SLV	0.00	-2115.54	2115.54			128571.00	60.77
25	Diff.	2.54	0.00	9.30	SLV	0.00	-739.76	739.76			130149.00	>100
1	Diff.	3.81	0.00	9.30	SLV	0.00	751.37	751.37			128693.00	>100
1	Diff.	5.08	0.00	9.30	SLV	0.00	1278.05	1278.05			127735.00	99.95
25	Diff.	6.35	0.00	9.30	SLV	0.00	1483.52	1483.52			126567.00	85.32

Verifiche su sezioni verticali
Stato limite ultimo - Armatura a flessione

CC	TCC	Xv <m>	Zi <m>	Zf <m>	N <daN>	My <daNm>	Nu <daN>	Myu <daNm>	Sic.
25	SLV	0.00	0.00	0.64	510.26	-37.55	507.53	-4477.51	>100
82	SLU	0.00	0.64	1.91	-3666.68	-186.99	-3669.37	-7652.41	40.923
82	SLU	0.00	1.91	3.17	-11363.90	-384.56	-11366.10	-8516.38	22.146
25	SLV	0.00	3.17	4.45	-4776.68	-376.02	-4777.57	-8759.17	23.295
9	SLV	0.00	4.45	5.71	1411.36	152.71	1409.79	6850.60	44.862
9	SLV	0.00	5.71	6.35	222.81	72.48	222.08	4509.96	62.223

Stato limite d'esercizio - Armatura a flessione

CC	TCC	Xv <m>	Zi <m>	Zf <m>	N <daN>	My <daNm>	σ_c <daN/cm ² >	σ_f <daN/cm ² >
71	SLE R	7.44	0.00	0.64	-2763.16	2.68	1.40	20.81
38	SLE R	0.00	0.00	0.64	2117.17	-8.69	0.00	274.56
79	SLE Q	7.44	0.00	0.64	-2542.95	3.47	1.30	19.25
71	SLE R	7.44	0.64	1.91	-5788.30	7.20	1.49	22.17
40	SLE R	0.00	0.64	1.91	5681.53	-42.11	0.00	534.93
79	SLE Q	7.44	0.64	1.91	-5328.85	7.92	1.38	20.48
87	SLE R	0.00	1.91	3.17	-7442.02	-241.23	3.05	40.27
40	SLE R	0.00	1.91	3.17	5800.80	-94.96	0.00	587.31
95	SLE Q	0.00	1.91	3.17	-7091.60	-241.63	2.97	38.97
86	SLE R	0.00	3.17	4.45	-3710.65	-243.24	2.14	26.38
40	SLE R	0.00	3.17	4.45	4553.82	-78.57	0.00	388.57
94	SLE Q	0.00	3.17	4.45	-3590.13	-239.40	2.09	25.77
56	SLE R	7.44	4.45	5.71	-4325.70	-24.85	1.21	17.55
56	SLE R	0.00	4.45	5.71	1888.73	58.74	0.00	209.56
64	SLE Q	7.44	4.45	5.71	-3706.06	-24.40	1.05	15.20
56	SLE R	8.37	5.71	6.35	-2443.66	-20.24	1.41	20.17
56	SLE R	0.00	5.71	6.35	299.67	36.89	0.74	73.29
64	SLE Q	8.37	5.71	6.35	-2027.85	-18.32	1.18	16.89

Verifiche stato limite di formazione delle fessure

CC	TCC	Xv <m>	Zi <m>	Zf <m>	N <daN>	My <daNm>	c <mm>	s <mm>	K3	s_{rm} <mm>	Φ	A_s <cm ² >	$A_{c\ eff}$ <cm ² >	σ_s <daN/cm ² >	σ_{sr} <daN/cm ² >	ϵ_{sm}	Wk <mm>
46	SLE Q	0.00	0.00	0.64	1820.61	-12.12	39.99	168.00	0.24	296.23	12.00	1.13	181.28	223.06	6242.76	0.04	0.02
42	SLE F	0.00	0.00	0.64	1968.26	-10.82	39.99	168.00	0.24	297.72	12.00	1.13	181.28	238.73	6305.11	0.05	0.02
48	SLE Q	0.00	0.64	1.91	4290.71	-58.33	39.99	168.00	0.23	288.49	12.00	1.13	181.28	422.78	8792.55	0.08	0.04
44	SLE F	0.00	0.64	1.91	4992.15	-51.93	39.99	168.00	0.23	291.88	12.00	1.13	181.28	480.60	9033.19	0.09	0.05
48	SLE Q	1.86	1.91	3.17	3961.28	-52.72	39.99	168.00	0.23	288.76	12.00	1.13	181.28	392.48	8877.20	0.08	0.04
44	SLE F	0.00	1.91	3.17	4691.25	-112.74	39.99	168.00	0.22	279.41	12.00	1.13	181.28	500.44	8202.99	0.10	0.05
48	SLE Q	0.00	3.17	4.45	3035.72	-106.58	39.99	168.00	0.21	272.29	12.00	1.13	181.28	291.95	6502.15	0.06	0.03
44	SLE F	0.00	3.17	4.45	3798.47	-98.07	39.99	168.00	0.21	278.21	12.00	1.13	181.28	343.87	6851.94	0.07	0.03
48	SLE Q	2.79	4.45	5.71	1212.12	-44.60	39.99	168.00	0.20	271.22	12.00	1.13	181.28	139.36	7566.27	0.03	0.01
60	SLE F	0.00	4.45	5.71	1502.87	45.93	40.01	168.00	0.21	274.99	12.00	1.13	181.32	166.18	7829.09	0.03	0.02
48	SLE Q	2.79	5.71	6.35	256.58	-16.67	39.99	168.00	0.19	259.51	12.00	1.13	181.28	47.34	5645.54	0.01	0.00
44	SLE F	2.79	5.71	6.35	307.94	-15.04	39.99	168.00	0.20	265.40	12.00	1.13	181.28	51.53	4952.33	0.01	0.00

Stato limite ultimo - Armatura a taglio

CC	Xv <m>	Zi <m>	Zf <m>	TCC	Ty <daN>	Tz <daN>	Vsdu <daN>	Vrdu <daN>	Sic.T
49	0.00	0.00	0.64	SLU	0.00	-102.25	102.25	7889.42	77.16
25	0.00	0.64	1.91	SLU	0.00	-208.69	208.69	16204.40	77.65
25	0.00	1.91	3.17	SLV	0.00	-308.03	308.03	17021.90	55.26
25	0.00	3.17	4.45	SLV	0.00	-340.54	340.54	16385.50	48.12
9	0.00	4.45	5.71	SLV	0.00	684.05	684.05	15777.70	23.07
9	0.00	5.71	6.35	SLV	0.00	784.51	784.51	7888.87	10.06

Parete n. 113

Caratteristiche delle sezioni e dei materiali utilizzati

Sez.	Spess. <cm>	Cf <cm>	Cls	Fck <daN/cm²>	Fctk <daN/cm²>	Fcd <daN/cm²>	Fctd <daN/cm²>	Acc.	Fyk <daN/cm²>	Fyd <daN/cm²>
Oriz.	30.00	5.80	C28/35	290.50	19.84	164.62	13.23	B450C	4500.00	3913.04
Vert.	30.00	4.60	C28/35	290.50	19.84	164.62	13.23	B450C	4500.00	3913.04

Verifiche su sezioni orizzontali

Stato limite ultimo - Armatura a flessione

CC	TCC	Zona	Zv <m>	Xi <m>	Xf <m>	N <daN>	My <daNm>	Nu <daN>	Myu <daNm>	Sic.
84	SLU	Diff.	0.00	0.00	37.00	-205981.00	-151765.00	-205986.00	-248840.00	1.640
84	SLU	Diff.	1.27	0.00	37.00	-207376.00	36807.60	-207377.00	248847.00	6.761
84	SLU	Diff.	2.54	0.00	37.00	-210902.00	68445.20	-210903.00	249216.00	3.641
35	SLU	Diff.	3.81	0.00	37.00	-308266.00	-21613.80	-308268.00	-259527.00	12.007
35	SLU	Diff.	5.08	0.00	37.00	-293080.00	-20516.80	-293081.00	-257942.00	12.572
84	SLU	Diff.	6.35	0.00	37.00	-165752.00	-49274.20	-165754.00	-244131.00	4.955

Stato limite d'esercizio - Armatura a flessione

CC	TCC	Zona	Zv <m>	Xi <m>	Xf <m>	N <daN>	My <daNm>	σ _c <daN/cm²>	σ _f <daN/cm²>
88	SLE R	Diff.	0.00	0.00	37.00	-170217.00	-107215.00	45.33	1853.44
96	SLE Q	Diff.	0.00	0.00	37.00	-153619.00	-104868.00	44.44	1844.68
88	SLE R	Diff.	1.27	0.00	37.00	-169593.00	23943.70	8.32	128.81
96	SLE Q	Diff.	1.27	0.00	37.00	-152613.00	23164.90	8.25	144.30
88	SLE R	Diff.	2.54	0.00	37.00	-171992.00	45776.50	18.34	554.06
96	SLE Q	Diff.	2.54	0.00	37.00	-155640.00	44491.90	17.97	565.12
39	SLE R	Diff.	3.81	0.00	37.00	-246144.00	-17386.00	5.23	59.58
88	SLE R	Diff.	3.81	0.00	37.00	-164617.00	13861.00	4.13	44.50
96	SLE Q	Diff.	3.81	0.00	37.00	-148310.00	13714.80	4.13	42.79
39	SLE R	Diff.	5.08	0.00	37.00	-235167.00	-14132.70	4.44	52.30
40	SLE R	Diff.	5.08	0.00	37.00	-231477.00	-13935.30	4.37	51.53
47	SLE Q	Diff.	5.08	0.00	37.00	-204343.00	-12136.90	3.83	45.20
88	SLE R	Diff.	6.35	0.00	37.00	-139861.00	-30789.10	12.00	318.28
96	SLE Q	Diff.	6.35	0.00	37.00	-123272.00	-27941.40	10.94	296.89

Verifiche stato limite di formazione delle fessure

CC	TCC	Zona	Zv <m>	Xi <m>	Xf <m>	N <daN>	My <daNm>	c <mm>	s <mm>	K3	s _{rm} <mm>	Φ	A _s <cm²>	A _{c eff} <cm²>	σ _s <daN/cm²>	σ _{sr} <daN/cm²>	ε _{sm}	Wk <mm>
96	SLE Q	Diff.	0.00	0.00	37.00	-153619.00	-104868.00	51.97	168.00	0.13	241.96	12	1.13	196.83	1844.68	3815.83	0.36	0.15
92	SLE F	Diff.	0.00	0.00	37.00	-156391.00	-105781.00	51.97	168.00	0.13	241.96	12	1.13	196.83	1857.19	3811.36	0.36	0.15
96	SLE Q	Diff.	1.27	0.00	37.00	-152613.00	23164.90	52.03	168.00	0.13	242.12	12	1.13	196.90	144.30	1872.77	0.03	0.01
92	SLE F	Diff.	1.27	0.00	37.00	-155614.00	23470.70	52.03	168.00	0.13	242.12	12	1.13	196.90	144.45	1856.19	0.03	0.01
96	SLE Q	Diff.	2.54	0.00	37.00	-155640.00	44491.90	52.03	168.00	0.13	242.12	12	1.13	196.90	565.12	3097.59	0.11	0.05
92	SLE F	Diff.	2.54	0.00	37.00	-158409.00	45005.30	52.03	168.00	0.13	242.12	12	1.13	196.90	569.38	3089.43	0.11	0.05
96	SLE Q	Diff.	3.81	0.00	37.00	-148310.00	13714.80	52.03	168.00	0.13	242.12	12	1.13	196.90	18.12	582.69	0.00	0.00
92	SLE F	Diff.	3.81	0.00	37.00	-151083.00	13823.70	52.03	168.00	0.13	242.12	12	1.13	196.90	17.32	559.60	0.00	0.00
96	SLE Q	Diff.	6.35	0.00	37.00	-123272.00	-27941.40	51.97	168.00	0.13	241.96	12	1.13	196.83	296.89	2744.52	0.06	0.02
92	SLE F	Diff.	6.35	0.00	37.00	-126182.00	-28672.20	51.97	168.00	0.13	241.96	12	1.13	196.83	305.35	2748.84	0.06	0.02

Stato limite ultimo - Armatura a taglio

CC	Zona	Zv <m>	Xi <m>	Xf <m>	TCC	Ty <daN>	Tz <daN>	Vsdu <daN>	VRsd <daN>	VRcd <daN>	Vrdu <daN>	Sic.T
35	Diff.	0.00	0.00	37.00	SLU	0.00	-243746.00	243746.00			493177.00	2.02
36	Diff.	1.27	0.00	37.00	SLU	0.00	-115221.00	115221.00			486815.00	4.23
36	Diff.	2.54	0.00	37.00	SLU	0.00	86650.80	86650.80			484353.00	5.59
84	Diff.	3.81	0.00	37.00	SLU	0.00	37300.20	37300.20			469706.00	12.59
84	Diff.	5.08	0.00	37.00	SLU	0.00	31232.90	31232.90			468804.00	15.01
35	Diff.	6.35	0.00	37.00	SLU	0.00	27791.90	27791.90			476890.00	17.16

Verifiche su sezioni verticali

Stato limite ultimo - Armatura a flessione

CC	TCC	Xv <m>	Zi <m>	Zf <m>	N <daN>	My <daNm>	Nu <daN>	Myu <daNm>	Sic.
84	SLU	0.00	0.00	0.64	-180.61	-808.13	-181.12	-4619.69	5.716
84	SLU	0.00	0.64	1.91	-13249.60	-3109.79	-13252.50	-8726.24	2.806
84	SLU	0.00	1.91	3.17	-29127.30	-5310.33	-29129.10	-10502.70	1.978
65	SLU	0.00	3.17	4.45	-13577.60	-4747.64	-13578.40	-9738.78	2.051
65	SLU	0.00	4.45	5.71	-4837.54	-1896.45	-4838.03	-7780.34	4.103
65	SLU	0.00	5.71	6.35	-3580.10	-405.27	-3581.44	-4997.01	12.330

Stato limite d'esercizio - Armatura a flessione

CC	TCC	Xv <m>	Zi <m>	Zf <m>	N <daN>	My <daNm>	σ _c <daN/cm²>	σ _f <daN/cm²>
88	SLE R	0.00	0.00	0.64	33.85	-531.11	11.55	521.75
72	SLE R	0.00	0.00	0.64	89.68	-528.87	11.51	526.13
96	SLE Q	0.00	0.00	0.64	55.48	-526.04	11.45	519.35
85	SLE R	0.00	0.64	1.91	-8541.95	-2045.78	22.98	676.09
37	SLE R	36.00	0.64	1.91	6609.09	1071.92	14.10	1235.37
93	SLE Q	0.00	0.64	1.91	-8416.70	-2026.19	22.78	672.57
85	SLE R	0.00	1.91	3.17	-19294.90	-3512.58	37.26	862.99

37	SLE R	36.00	1.91	3.17	8345.78	1689.11	22.48	1771.93
93	SLE Q	0.00	1.91	3.17	-19082.80	-3480.37	36.94	857.21
69	SLE R	0.00	3.17	4.45	-9015.55	-3159.17	34.88	1166.06
37	SLE R	36.00	3.17	4.45	4722.31	1570.92	18.84	1201.08
77	SLE Q	0.00	3.17	4.45	-8951.08	-3135.56	34.62	1157.16
69	SLE R	0.00	4.45	5.71	-3503.79	-1272.66	15.05	548.40
85	SLE R	0.00	4.45	5.71	-3401.73	-1261.51	14.95	548.82
77	SLE Q	0.00	4.45	5.71	-3487.47	-1268.86	15.01	547.19
69	SLE R	0.00	5.71	6.35	-2554.28	-270.69	4.60	50.37
69	SLE R	36.00	5.71	6.35	-534.11	195.62	4.07	130.22
77	SLE Q	0.00	5.71	6.35	-2506.07	-270.02	4.60	50.08

Verifiche stato limite di formazione delle fessure

CC	TCC	Xv <m>	Zi <m>	Zf <m>	N <daN>	My <daNm>	c <mm>	s <mm>	K3	S _{rm} <mm>	Φ	A _s <cmq>	A _{c eff} <cmq>	σ _s <daN/cm²>	σ _{sr} <daN/cm²>	ε _{sm}	Wk <mm>
78	SLE Q	0.00	0.00	0.64	116.42	-522.07	40.03	168.00	0.14	223.81	12.00	1.13	181.35	515.54	3488.32	0.10	0.04
43	SLE F	36.00	0.00	0.64	1852.24	269.79	39.97	168.00	0.17	244.46	12.00	1.13	181.26	480.57	4695.73	0.09	0.04
45	SLE Q	36.00	0.64	1.91	5744.73	895.58	39.97	168.00	0.17	243.37	12.00	1.13	181.26	1051.47	6157.54	0.20	0.08
41	SLE F	36.00	0.64	1.91	6176.20	982.32	39.97	168.00	0.17	243.06	12.00	1.13	181.26	1142.47	6129.87	0.22	0.09
45	SLE Q	36.00	1.91	3.17	6933.39	1391.79	39.97	168.00	0.16	239.70	12.00	1.13	181.26	1464.87	5844.17	0.28	0.12
41	SLE F	36.00	1.91	3.17	7635.90	1537.75	39.97	168.00	0.16	239.65	12.00	1.13	181.26	1616.40	5840.41	0.31	0.13
77	SLE Q	0.00	3.17	4.45	-8951.08	-3135.56	40.03	168.00	0.13	209.87	12.00	1.13	181.35	1157.16	3059.08	0.22	0.08
41	SLE F	36.00	3.17	4.45	4252.71	1412.78	39.97	168.00	0.16	233.94	12.00	1.13	181.26	1080.59	4672.01	0.21	0.08
93	SLE Q	0.00	4.45	5.71	-3405.82	-1259.94	40.03	168.00	0.13	209.87	12.00	1.13	181.35	547.52	3523.49	0.11	0.04
89	SLE F	0.00	4.45	5.71	-3417.13	-1264.40	40.03	168.00	0.13	209.87	12.00	1.13	181.35	549.52	3523.72	0.11	0.04
77	SLE Q	36.00	5.71	6.35	-608.57	157.40	39.97	168.00	0.13	209.70	12.00	1.13	181.26	85.25	2416.49	0.02	0.01
73	SLE F	36.00	5.71	6.35	-575.58	175.16	39.97	168.00	0.13	209.70	12.00	1.13	181.26	105.25	2584.41	0.02	0.01

Stato limite ultimo - Armatura a taglio

CC	Xv <m>	Zi <m>	Zf <m>	TCC	Ty <daN>	Tz <daN>	Vsdu <daN>	Vrdu <daN>	Sic.T
49	15.00	0.00	0.64	SLU	0.00	2554.66	2554.66	7963.34	3.12
52	2.00	0.64	1.91	SLU	0.00	5840.37	5840.37	16711.30	2.86
52	2.00	1.91	3.17	SLU	0.00	12897.50	12897.50	17326.90	1.34
68	0.00	3.17	4.45	SLU	0.00	8224.38	8224.38	17498.70	2.13
67	27.00	4.45	5.71	SLU	0.00	1552.39	1552.39	17447.60	11.24
49	28.00	5.71	6.35	SLU	0.00	864.13	864.13	7897.63	9.14

Parete n. 114

Caratteristiche delle sezioni e dei materiali utilizzati

Sez.	Spess. <cm>	Cf <cm>	Cls	Fck <daN/cm²>	Fctk <daN/cm²>	Fcd <daN/cm²>	Fctd <daN/cm²>	Acc.	Fyk <daN/cm²>	Fyd <daN/cm²>
Oriz.	30.00	6.20	C28/35	290.50	19.84	164.62	13.23	B450C	4500.00	3913.04
Vert.	30.00	4.60	C28/35	290.50	19.84	164.62	13.23	B450C	4500.00	3913.04

Verifiche su sezioni orizzontali

Stato limite ultimo - Armatura a flessione

CC	TCC	Zona	Zv <m>	Xi <m>	Xf <m>	N <daN>	My <daNm>	Nu <daN>	Myu <daNm>	Sic.
65	SLU	Diff.	0.00	0.00	14.60	33108.60	-170012.00	33113.10	-199144.00	1.171
81	SLU	Diff.	1.27	0.00	14.60	40282.60	56433.70	40287.10	198470.00	3.517
65	SLU	Diff.	2.54	0.00	14.60	55506.90	101539.00	55511.10	197041.00	1.941
65	SLU	Diff.	3.81	0.00	14.60	61087.60	39267.60	61087.60	196517.00	5.005
50	SLU	Diff.	5.08	0.00	14.60	7965.84	-17088.20	7965.88	-201503.00	11.792
81	SLU	Diff.	6.35	0.00	14.60	78269.80	-87900.00	78272.80	-194903.00	2.217
65	SLU	Loc.	2.54	6.95	7.65	4353.66	6464.41	4358.25	10303.40	1.594

Stato limite d'esercizio - Armatura a flessione

CC	TCC	Zona	Zv <m>	Xi <m>	Xf <m>	N <daN>	My <daNm>	σ _c <daN/cm²>	σ _f <daN/cm²>
69	SLE R	Diff.	0.00	0.00	14.60	2361.27	-115119.00	82.58	2400.93
77	SLE Q	Diff.	0.00	0.00	14.60	7834.35	-113637.00	81.49	2382.32
85	SLE R	Diff.	1.27	0.00	14.60	8492.60	37241.60	26.68	793.99
69	SLE R	Diff.	1.27	0.00	14.60	15030.40	37056.90	26.52	804.80
93	SLE Q	Diff.	1.27	0.00	14.60	15714.90	36842.20	26.36	801.88
85	SLE R	Diff.	2.54	0.00	14.60	15584.10	67727.60	48.52	1444.26
69	SLE R	Diff.	2.54	0.00	14.60	20348.70	67684.80	48.47	1454.05
93	SLE Q	Diff.	2.54	0.00	14.60	22608.70	66995.50	47.97	1444.77
69	SLE R	Diff.	3.81	0.00	14.60	24965.00	26304.50	18.75	603.50
77	SLE Q	Diff.	3.81	0.00	14.60	31505.20	26089.70	18.55	613.86
54	SLE R	Diff.	5.08	0.00	14.60	-14206.00	-11528.20	8.30	208.58
85	SLE R	Diff.	5.08	0.00	14.60	28593.50	-8292.41	5.72	237.79
62	SLE Q	Diff.	5.08	0.00	14.60	1350.80	-10619.60	7.61	224.01
85	SLE R	Diff.	6.35	0.00	14.60	39309.20	-57795.50	41.28	1290.90
93	SLE Q	Diff.	6.35	0.00	14.60	46723.40	-56834.90	40.55	1287.64
85	SLE R	Loc.	2.54	6.95	7.65	1768.79	4309.86	60.84	1745.57
69	SLE R	Loc.	2.54	6.95	7.65	1866.50	4307.70	60.80	1748.77
93	SLE Q	Loc.	2.54	6.95	7.65	2219.46	4263.29	60.13	1746.15

Verifiche stato limite di formazione delle fessure

CC	TCC	Zona	Zv <m>	Xi <m>	Xf <m>	N <daN>	My <daNm>	c <mm>	s <mm>	K3	s _{rm} <mm>	Φ	A _s <cmq>	A _{c eff} <cmq>	σ _s <daN/cmq>	σ _{sr} <daN/cmq>	ε _{sm}	Wk <mm>
77	SLE Q	Diff.	0.00	0.00	14.60	7834.35	-113637.00	52.00	198.30	0.13	261.64	20.00	232.48	27427.70	2382.32	1812.43	0.82	0.37
73	SLE F	Diff.	0.00	0.00	14.60	7177.49	-114248.00	52.00	198.30	0.13	261.64	20.00	232.48	27427.70	2393.55	1811.81	0.83	0.37
77	SLE Q	Diff.	1.27	0.00	14.60	20945.10	36694.50	52.00	198.30	0.13	261.64	20.00	232.48	27427.70	810.56	1862.91	0.16	0.07
73	SLE F	Diff.	1.27	0.00	14.60	20075.60	36841.70	52.00	198.30	0.13	261.64	20.00	232.48	27427.70	811.66	1860.35	0.16	0.07
77	SLE Q	Diff.	2.54	0.00	14.60	26420.40	66961.30	52.00	198.30	0.13	261.64	20.00	232.48	27427.70	1452.61	1845.38	0.28	0.13
73	SLE F	Diff.	2.54	0.00	14.60	25451.80	67263.90	52.00	198.30	0.13	261.64	20.00	232.48	27427.70	1456.73	1843.77	0.28	0.13
77	SLE Q	Diff.	3.81	0.00	14.60	31505.20	26089.70	52.00	198.30	0.13	261.64	20.00	232.48	27427.70	613.86	1924.47	0.12	0.05
73	SLE F	Diff.	3.81	0.00	14.60	30306.30	26203.20	52.00	198.30	0.13	261.64	20.00	232.48	27427.70	613.50	1919.64	0.12	0.05
93	SLE Q	Diff.	5.08	0.00	14.60	35869.70	-8018.59	52.00	198.30	0.13	261.64	20.00	232.48	27427.70	249.08	2200.45	0.05	0.02
89	SLE F	Diff.	5.08	0.00	14.60	34303.20	-8084.35	52.00	198.30	0.13	261.64	20.00	232.48	27427.70	246.78	2182.99	0.05	0.02
93	SLE Q	Diff.	6.35	0.00	14.60	46723.40	-56834.90	52.00	198.30	0.13	261.64	20.00	232.48	27427.70	1287.64	1887.53	0.25	0.11
89	SLE F	Diff.	6.35	0.00	14.60	45092.00	-57131.80	52.00	198.30	0.13	261.64	20.00	232.48	27427.70	1290.14	1884.34	0.25	0.11
77	SLE Q	Loc.	2.54	6.95	7.65	2297.63	4261.56	52.00	198.30	0.13	249.06	20.00	12.57	1324.55	1748.71	1691.66	0.45	0.19
73	SLE F	Loc.	2.54	6.95	7.65	2213.45	4280.91	52.00	198.30	0.13	249.06	20.00	12.57	1324.55	1752.73	1689.71	0.46	0.19

Stato limite ultimo - Armatura a taglio

CC	Zona	Zv <m>	Xi <m>	Xf <m>	TCC	Ty <daN>	Tz <daN>	Vsdu <daN>	VRsd <daN>	VRcd <daN>	Vrdu <daN>	Sic.T
65	Diff.	0.00	0.00	14.60	SLU	0.00	-117403.00	117403.00			214879.00	1.83
65	Diff.	1.27	0.00	14.60	SLU	0.00	131584.00	131584.00			214879.00	1.63
33	Diff.	2.54	0.00	14.60	SLU	0.00	-90341.00	90341.00			216241.00	2.39
81	Diff.	3.81	0.00	14.60	SLU	0.00	-57544.20	57544.20			214879.00	3.73
81	Diff.	5.08	0.00	14.60	SLU	0.00	-52773.50	52773.50			214879.00	4.07
81	Diff.	6.35	0.00	14.60	SLU	0.00	47210.00	47210.00			214879.00	4.55

Verifiche su sezioni verticali
Stato limite ultimo - Armatura a flessione

CC	TCC	Xv <m>	Zi <m>	Zf <m>	N <daN>	My <daNm>	Nu <daN>	Myu <daNm>	Sic.
65	SLU	0.00	0.00	0.64	300.00	-905.08	301.72	-4501.12	4.973
81	SLU	0.00	0.64	1.91	-13384.90	-3512.17	-13388.70	-8743.37	2.489
81	SLU	0.00	1.91	3.17	-30224.00	-6031.88	-30226.10	-10626.30	1.762
68	SLU	0.00	3.17	4.45	-12948.40	-5513.99	-12949.80	-9670.70	1.754
68	SLU	0.00	4.45	5.71	-3733.50	-2153.41	-3735.38	-7658.94	3.557
81	SLU	13.63	5.71	6.35	-1185.33	-586.25	-1189.58	-4732.89	8.073

Stato limite d'esercizio - Armatura a flessione

CC	TCC	Xv <m>	Zi <m>	Zf <m>	N <daN>	My <daNm>	σ _c <daN/cmq>	σ _f <daN/cmq>
85	SLE R	0.00	0.00	0.64	312.60	-594.14	12.97	616.01
40	SLE R	12.65	0.00	0.64	6802.50	-173.21	0.00	1036.69
93	SLE Q	0.00	0.00	0.64	331.76	-588.55	12.85	612.85
85	SLE R	0.00	0.64	1.91	-8623.67	-2307.60	26.37	832.09
69	SLE R	0.00	0.64	1.91	-8550.67	-2303.97	26.35	834.92
93	SLE Q	0.00	0.64	1.91	-8493.38	-2285.71	26.14	827.58
88	SLE R	0.00	1.91	3.17	-20063.70	-3988.78	43.23	1094.63
85	SLE R	13.63	1.91	3.17	-14616.20	-3465.37	38.91	1135.80
96	SLE Q	0.00	1.91	3.17	-19836.80	-3952.42	42.86	1087.45
72	SLE R	0.00	3.17	4.45	-8619.01	-3670.95	41.09	1471.45
80	SLE Q	0.00	3.17	4.45	-8549.13	-3643.36	40.78	1460.71
72	SLE R	0.00	4.45	5.71	-2782.99	-1447.44	17.55	712.85
85	SLE R	13.63	4.45	5.71	-1012.04	-1378.83	17.20	804.61
80	SLE Q	0.00	4.45	5.71	-2784.16	-1443.97	17.50	710.55
85	SLE R	13.63	5.71	6.35	-762.51	-387.93	8.21	290.82
53	SLE R	12.65	5.71	6.35	4011.16	218.60	0.00	735.07
93	SLE Q	13.63	5.71	6.35	-673.19	-379.63	8.06	292.75

Verifiche stato limite di formazione delle fessure

CC	TCC	Xv <m>	Zi <m>	Zf <m>	N <daN>	My <daNm>	c <mm>	s <mm>	K3	s _{rm} <mm>	Φ	A _s <cmq>	A _{c eff} <cmq>	σ _s <daN/cmq>	σ _{sr} <daN/cmq>	ε _{sm}	Wk <mm>
48	SLE Q	12.65	0.00	0.64	5777.80	-141.04	40.00	168.00	0.22	279.15	12.00	1.13	181.30	817.01	5526.01	0.16	0.08
44	SLE F	12.65	0.00	0.64	6271.06	-157.16	40.00	168.00	0.21	278.68	12.00	1.13	181.30	891.09	5506.01	0.17	0.08
77	SLE Q	0.00	0.64	1.91	-8434.98	-2282.80	40.00	168.00	0.13	209.78	12.00	1.13	181.30	829.84	3133.26	0.16	0.06
44	SLE F	13.63	0.64	1.91	1289.62	-1039.14	40.00	168.00	0.15	227.79	12.00	1.13	181.30	769.36	4856.99	0.15	0.06
93	SLE Q	13.63	1.91	3.17	-14276.00	-3416.65	40.00	168.00	0.13	209.78	12.00	1.13	181.30	1128.95	2938.53	0.22	0.08
89	SLE F	13.63	1.91	3.17	-14415.10	-3437.76	40.00	168.00	0.13	209.78	12.00	1.13	181.30	1132.49	2932.45	0.22	0.08
80	SLE Q	0.00	3.17	4.45	-8549.13	-3643.36	40.00	168.00	0.13	211.27	12.00	1.13	181.30	1460.71	3223.76	0.28	0.10
76	SLE F	0.00	3.17	4.45	-8587.04	-3659.34	40.00	168.00	0.13	211.26	12.00	1.13	181.30	1467.09	3223.72	0.28	0.10
93	SLE Q	13.63	4.45	5.71	-912.02	-1352.81	40.00	168.00	0.14	219.80	12.00	1.13	181.30	795.72	4253.30	0.15	0.06
89	SLE F	13.63	4.45	5.71	-948.20	-1363.53	40.00	168.00	0.14	219.70	12.00	1.13	181.30	799.77	4246.14	0.16	0.06
61	SLE Q	12.65	5.71	6.35	3933.24	213.32	40.00	168.00	0.19	263.27	12.00	1.13	181.30	680.84	4861.72	0.13	0.06
57	SLE F	12.65	5.71	6.35	3964.97	214.78	40.00	168.00	0.19	263.30	12.00	1.13	181.30	686.05	4862.77	0.13	0.06

Stato limite ultimo - Armatura a taglio

CC	Xv <m>	Zi <m>	Zf <m>	TCC	Ty <daN>	Tz <daN>	Vsdu <daN>	Vrdu <daN>	Sic.T
65	12.65	0.00	0.64	SLU	0.00	-1751.78	1751.78	7889.13	4.50
50	12.65	0.64	1.91	SLU	0.00	5590.55	5590.55	15778.30	2.82
81	12.65	1.91	3.17	SLU	0.00	11378.70	11378.70	17901.60	1.57
65	0.00	3.17	4.45	SLU	0.00	-8543.32	8543.32	17419.90	2.04
65	13.63	4.45	5.71	SLU	0.00	3119.61	3119.61	15960.50	5.12
17	13.63	5.71	6.35	SLV	0.00	3021.90	3021.90	8054.58	2.67

Parete n. 115
Caratteristiche delle sezioni e dei materiali utilizzati

Sez.	Spess. <cm>	Cf <cm>	Cls	Fck <daN/cm²>	Fctk <daN/cm²>	Fcd <daN/cm²>	Fctd <daN/cm²>	Acc.	Fyk <daN/cm²>	Fyd <daN/cm²>
Oriz.	30.00	5.80	C28/35	290.50	19.84	164.62	13.23	B450C	4500.00	3913.04
Vert.	30.00	4.60	C28/35	290.50	19.84	164.62	13.23	B450C	4500.00	3913.04

Verifiche su sezioni orizzontali
Stato limite ultimo - Armatura a flessione

CC	TCC	Zona	Zv <m>	Xi <m>	Xf <m>	N <daN>	My <daNm>	Nu <daN>	Myu <daNm>	Sic.
65	SLU	Diff.	0.00	0.00	14.60	-382633.00	64495.30	-382634.00	129894.00	2.014
33	SLU	Diff.	1.27	0.00	14.60	-324387.00	-26069.50	-324390.00	-123951.00	4.755
33	SLU	Diff.	2.54	0.00	14.60	-297280.00	-25795.70	-297285.00	-121147.00	4.696
33	SLU	Diff.	3.81	0.00	14.60	-274394.00	-22346.70	-274396.00	-118775.00	5.315
65	SLU	Diff.	5.08	0.00	14.60	-255106.00	-2494.90	-255108.00	-116794.00	46.813
33	SLU	Diff.	6.35	0.00	14.60	-219318.00	46613.30	-219322.00	113037.00	2.425

Stato limite d'esercizio - Armatura a flessione

CC	TCC	Zona	Zv <m>	Xi <m>	Xf <m>	N <daN>	My <daNm>	σ _c <daN/cm²>	σ _f <daN/cm²>
69	SLE R	Diff.	0.00	0.00	14.60	-286965.00	47439.60	43.84	863.53
37	SLE R	Diff.	0.00	0.00	14.60	-272340.00	46604.50	43.48	894.98
77	SLE Q	Diff.	0.00	0.00	14.60	-261021.00	35579.80	30.88	445.98
37	SLE R	Diff.	1.27	0.00	14.60	-243280.00	-19435.30	14.63	160.81
40	SLE R	Diff.	1.27	0.00	14.60	-241697.00	-19355.70	14.57	160.02
45	SLE Q	Diff.	1.27	0.00	14.60	-221439.00	-16213.90	12.28	138.64
37	SLE R	Diff.	2.54	0.00	14.60	-222984.00	-19164.10	14.47	154.75
77	SLE Q	Diff.	2.54	0.00	14.60	-209308.00	-15432.20	11.68	131.59
69	SLE R	Diff.	3.81	0.00	14.60	-211563.00	-16655.40	12.54	138.53
37	SLE R	Diff.	3.81	0.00	14.60	-205803.00	-16547.10	12.46	136.61
77	SLE Q	Diff.	3.81	0.00	14.60	-190836.00	-13203.60	10.09	115.63
69	SLE R	Diff.	5.08	0.00	14.60	-191260.00	-1769.24	4.89	68.93
54	SLE R	Diff.	5.08	0.00	14.60	-134227.00	1342.81	3.47	48.78
77	SLE Q	Diff.	5.08	0.00	14.60	-171960.00	-1033.39	4.16	59.77
37	SLE R	Diff.	6.35	0.00	14.60	-164244.00	34918.50	34.19	877.85
45	SLE Q	Diff.	6.35	0.00	14.60	-146430.00	29391.80	28.46	694.74

Verifiche stato limite di formazione delle fessure

CC	TCC	Zona	Zv <m>	Xi <m>	Xf <m>	N <daN>	My <daNm>	c <mm>	s <mm>	K3	s _{cm} <mm>	Φ	A _s <cm²>	A _{c eff} <cm²>	σ _s <daN/cm²>	σ _{sz} <daN/cm²>	ε _{sm}	Wk <mm>
45	SLE Q	Diff.	0.00	0.00	14.60	-249322.00	34911.70	52.05	168.00	0.13	242.16	12.00	1.13	196.92	464.97	1649.61	0.09	0.04
41	SLE F	Diff.	0.00	0.00	14.60	-258446.00	40832.20	52.05	168.00	0.13	242.16	12.00	1.13	196.92	689.07	1964.74	0.13	0.06
48	SLE Q	Diff.	1.27	0.00	14.60	-219856.00	-16134.30	51.95	168.00	0.13	241.91	12.00	1.13	196.80	6.18	96.82	0.00	0.00
44	SLE F	Diff.	1.27	0.00	14.60	-228426.00	-17743.80	51.95	168.00	0.13	241.91	12.00	1.13	196.80	17.32	220.10	0.00	0.00
45	SLE Q	Diff.	2.54	0.00	14.60	-202483.00	-15461.20	51.95	168.00	0.13	241.91	12.00	1.13	196.80	12.21	183.96	0.00	0.00
41	SLE F	Diff.	2.54	0.00	14.60	-210438.00	-17319.50	51.95	168.00	0.13	241.91	12.00	1.13	196.80	28.73	338.86	0.01	0.00
41	SLE F	Diff.	3.81	0.00	14.60	-193747.00	-14806.70	51.95	168.00	0.13	241.91	12.00	1.13	196.80	11.83	185.76	0.00	0.00
45	SLE Q	Diff.	6.35	0.00	14.60	-146430.00	29391.80	52.05	168.00	0.13	242.16	12.00	1.13	196.92	694.74	2502.72	0.13	0.06
41	SLE F	Diff.	6.35	0.00	14.60	-153126.00	32289.50	52.05	168.00	0.13	242.16	12.00	1.13	196.92	804.96	2597.72	0.16	0.06

Stato limite ultimo - Armatura a taglio

CC	Zona	Zv <m>	Xi <m>	Xf <m>	TCC	Ty <daN>	Tz <daN>	Vsdu <daN>	VRsd <daN>	VRcd <daN>	Vrdu <daN>	Sic.T
33	Diff.	0.00	0.00	14.60	SLU	0.00	132603.00	132603.00			219691.00	1.66
50	Diff.	1.27	0.00	14.60	SLU	0.00	6284.83	6284.83			202830.00	32.27
66	Diff.	2.54	0.00	14.60	SLU	0.00	-8818.41	8818.41			212949.00	24.15
33	Diff.	3.81	0.00	14.60	SLU	0.00	15224.40	15224.40			209042.00	13.73
33	Diff.	5.08	0.00	14.60	SLU	0.00	27674.00	27674.00			206200.00	7.45
33	Diff.	6.35	0.00	14.60	SLU	0.00	-33868.30	33868.30			202322.00	5.97

Verifiche su sezioni verticali

Stato limite ultimo - Armatura a flessione

CC	TCC	Xv <m>	Zi <m>	Zf <m>	N <daN>	My <daNm>	Nu <daN>	Myu <daNm>	Sic.
36	SLU	-0.00	0.00	0.64	7843.65	450.05	7844.77	3608.32	8.018
36	SLU	-0.00	0.64	1.91	12046.80	1714.08	12049.50	5544.76	3.235
67	SLU	13.63	1.91	3.17	11344.30	2703.26	11347.70	5632.06	2.083
67	SLU	13.63	3.17	4.45	7054.49	2390.77	7049.96	7216.75	3.019
67	SLU	13.63	4.45	5.71	433.96	1058.73	434.16	6973.17	6.586
68	SLU	-0.00	5.71	6.35	1915.98	327.00	1915.47	4313.46	13.191

Stato limite d'esercizio - Armatura a flessione

CC	TCC	Xv <m>	Zi <m>	Zf <m>	N <daN>	My <daNm>	σ_c <daN/cm ² >	σ_f <daN/cm ² >
69	SLE R	13.63	0.00	0.64	2177.34	368.39	7.79	626.46
40	SLE R	1.95	0.00	0.64	8073.25	-171.12	0.00	1194.15
77	SLE Q	13.63	0.00	0.64	1983.44	310.63	6.51	547.07
71	SLE R	13.63	0.64	1.91	6953.16	1311.10	17.28	1413.69
40	SLE R	-0.00	0.64	1.91	8952.42	1275.26	16.71	1564.52
79	SLE Q	13.63	0.64	1.91	6031.74	1100.47	14.50	1203.32
71	SLE R	13.63	1.91	3.17	8456.68	2015.22	26.77	1986.46
79	SLE Q	13.63	1.91	3.17	6985.17	1662.30	22.08	1639.39
71	SLE R	13.63	3.17	4.45	5235.78	1776.72	21.31	1350.85
79	SLE Q	13.63	3.17	4.45	4242.66	1427.71	17.12	1088.01
71	SLE R	13.63	4.45	5.71	256.68	783.11	9.97	522.32
69	SLE R	10.71	4.45	5.71	7841.60	-191.44	0.00	833.11
79	SLE Q	13.63	4.45	5.71	-121.36	608.60	7.67	380.54
72	SLE R	-0.00	5.71	6.35	1353.47	238.17	5.06	398.12
69	SLE R	7.79	5.71	6.35	4690.87	110.16	0.00	704.78
80	SLE Q	-0.00	5.71	6.35	1176.17	198.42	4.20	337.85

Verifiche stato limite di formazione delle fessure

CC	TCC	Xv <m>	Zi <m>	Zf <m>	N <daN>	My <daNm>	c <mm>	s <mm>	K3	s_{rm} <mm>	Φ	A_s <cm ² >	$A_{c\ eff}$ <cm ² >	σ_s <daN/cm ² >	σ_{sr} <daN/cm ² >	ϵ_{sm}	Wk <mm>
48	SLE Q	1.95	0.00	0.64	6917.56	-137.65	40.05	168.00	0.22	282.84	12.00	1.13	181.37	945.36	5676.42	0.18	0.09
44	SLE F	1.95	0.00	0.64	7470.69	-154.19	40.05	168.00	0.22	282.23	12.00	1.13	181.37	1026.83	5650.75	0.20	0.10
48	SLE Q	-0.00	0.64	1.91	7306.69	1044.73	39.95	168.00	0.17	244.70	12.00	1.13	181.24	1279.30	6281.15	0.25	0.10
44	SLE F	-0.00	0.64	1.91	8123.08	1158.77	39.95	168.00	0.17	244.73	12.00	1.13	181.24	1420.60	6284.59	0.28	0.11
79	SLE Q	13.63	1.91	3.17	6985.17	1662.30	39.95	168.00	0.16	237.48	12.00	1.13	181.24	1639.39	5657.10	0.32	0.13
75	SLE F	13.63	1.91	3.17	7719.05	1835.63	39.95	168.00	0.16	237.48	12.00	1.13	181.24	1810.79	5657.85	0.35	0.14
79	SLE Q	13.63	3.17	4.45	4242.66	1427.71	39.95	168.00	0.16	233.78	12.00	1.13	181.24	1088.01	4662.99	0.21	0.08
75	SLE F	13.63	3.17	4.45	4728.47	1597.07	39.95	168.00	0.16	233.75	12.00	1.13	181.24	1215.83	4660.51	0.24	0.09
77	SLE Q	8.76	4.45	5.71	7542.86	-9.04	40.05	168.00	0.25	304.11	12.00	1.13	181.37	677.31	9893.70	0.13	0.07
73	SLE F	8.76	4.45	5.71	8076.85	-11.97	40.05	168.00	0.25	303.68	12.00	1.13	181.37	726.88	9862.90	0.14	0.07
77	SLE Q	7.79	5.71	6.35	4108.79	93.32	39.95	168.00	0.22	280.25	12.00	1.13	181.24	573.38	5578.03	0.11	0.05
73	SLE F	7.79	5.71	6.35	4390.41	102.64	39.95	168.00	0.22	279.74	12.00	1.13	181.24	615.79	5556.64	0.12	0.06

Stato limite ultimo - Armatura a taglio

CC	Xv <m>	Zi <m>	Zf <m>	TCC	Ty <daN>	Tz <daN>	Vsdu <daN>	Vrdu <daN>	Sic.T
33	-0.00	0.00	0.64	SLU	0.00	3040.99	3040.99	7890.08	2.59
33	-0.00	0.64	1.91	SLU	0.00	6204.72	6204.72	15780.20	2.54
33	13.63	1.91	3.17	SLU	0.00	-6796.65	6796.65	15780.20	2.32
65	13.63	3.17	4.45	SLU	0.00	-4392.83	4392.83	15780.20	3.59
65	-0.00	4.45	5.71	SLU	0.00	859.47	859.47	15780.20	18.36
17	-0.00	5.71	6.35	SLV	0.00	649.12	649.12	7890.08	12.16

Parete n. 116

Caratteristiche delle sezioni e dei materiali utilizzati

Sez.	Spess. <cm>	Cf <cm>	Cls	Fck <daN/cm ² >	Fctk <daN/cm ² >	Fcd <daN/cm ² >	Fctd <daN/cm ² >	Acc.	Fyk <daN/cm ² >	Fyd <daN/cm ² >
Oriz.	30.00	5.80	C28/35	290.50	19.84	164.62	13.23	B450C	4500.00	3913.04
Vert.	30.00	4.60	C28/35	290.50	19.84	164.62	13.23	B450C	4500.00	3913.04

Verifiche su sezioni orizzontali

Stato limite ultimo - Armatura a flessione

CC	TCC	Zona	Zv <m>	Zi <m>	Zf <m>	N <daN>	My <daNm>	Nu <daN>	Myu <daNm>	Sic.
1	SLV	Diff.	0.00	0.00	9.30	-139833.00	6754.25	-139837.00	71918.60	10.648
9	SLV	Diff.	1.27	0.00	9.30	-103337.00	-1063.16	-103337.00	-68132.00	64.084
9	SLV	Diff.	2.54	0.00	9.30	-91480.90	-2326.91	-91483.40	-66899.60	28.750
1	SLV	Diff.	3.81	0.00	9.30	-92556.30	-2022.87	-92558.90	-67011.50	33.127
17	SLV	Diff.	5.08	0.00	9.30	-87535.10	-906.95	-87536.50	-66488.80	73.311
9	SLV	Diff.	6.35	0.00	9.30	-66804.80	2424.19	-66808.80	64334.60	26.539

Stato limite d'esercizio - Armatura a flessione

CC	TCC	Zona	Zv <m>	Xi <m>	Xf <m>	N <daN>	My <daNm>	σ_c <daN/cm ² >	σ_f <daN/cm ² >
69	SLE R	Diff.	0.00	0.00	9.30	-190902.00	2516.46	8.17	112.68
53	SLE R	Diff.	0.00	0.00	9.30	-132129.00	772.91	5.00	71.98
77	SLE Q	Diff.	0.00	0.00	9.30	-178430.00	2432.26	7.69	105.81
70	SLE R	Diff.	1.27	0.00	9.30	-152283.00	300.06	5.37	79.31
53	SLE R	Diff.	1.27	0.00	9.30	-112676.00	-319.02	4.04	59.28
78	SLE Q	Diff.	1.27	0.00	9.30	-141084.00	259.24	4.96	73.36
69	SLE R	Diff.	2.54	0.00	9.30	-126694.00	-268.18	4.48	66.09
53	SLE R	Diff.	2.54	0.00	9.30	-101307.00	-440.33	3.73	54.25
77	SLE Q	Diff.	2.54	0.00	9.30	-116531.00	-291.76	4.15	61.07
69	SLE R	Diff.	3.81	0.00	9.30	-112689.00	-407.17	4.09	59.83
53	SLE R	Diff.	3.81	0.00	9.30	-95352.40	-277.21	3.42	50.21
77	SLE Q	Diff.	3.81	0.00	9.30	-103258.00	-419.94	3.78	55.12
69	SLE R	Diff.	5.08	0.00	9.30	-97082.10	-297.27	3.49	51.21
54	SLE R	Diff.	5.08	0.00	9.30	-87759.00	284.25	3.17	46.39
77	SLE Q	Diff.	5.08	0.00	9.30	-88434.20	-299.14	3.20	46.83
53	SLE R	Diff.	6.35	0.00	9.30	-74405.50	1098.81	3.26	44.65
61	SLE Q	Diff.	6.35	0.00	9.30	-66968.20	878.11	2.86	39.50

Stato limite ultimo - Armatura a taglio

CC	Zona	Zv <m>	Xi <m>	Xf <m>	TCC	Ty <daN>	Tz <daN>	Vsdu <daN>	VRsd <daN>	VRcd <daN>	Vrdu <daN>	Sic.T
1	Diff.	0.00	0.00	9.30	SLV	0.00	6565.63	6565.63			128912.00	19.63
1	Diff.	1.27	0.00	9.30	SLV	0.00	-2245.27	2245.27			125860.00	56.06
17	Diff.	2.54	0.00	9.30	SLV	0.00	-946.38	946.38			125537.00	>100
9	Diff.	3.81	0.00	9.30	SLV	0.00	877.39	877.39			122487.00	>100
9	Diff.	5.08	0.00	9.30	SLV	0.00	1715.72	1715.72			121654.00	70.91
9	Diff.	6.35	0.00	9.30	SLV	0.00	-1957.76	1957.76			120075.00	61.33

Verifiche su sezioni verticali
Stato limite ultimo - Armatura a flessione

CC	TCC	Xv <m>	Zi <m>	Zf <m>	N <daN>	My <daNm>	Nu <daN>	Myu <daNm>	Sic.
66	SLU	8.37	0.00	0.64	1291.84	-111.28	1287.90	-4385.74	39.413
34	SLU	8.37	0.64	1.91	-3389.12	-393.16	-3392.16	-7620.99	19.384
34	SLU	8.37	1.91	3.17	-15158.60	-711.42	-15161.10	-8943.13	12.571
34	SLU	8.37	3.17	4.45	-2631.73	-750.75	-2634.15	-8518.57	11.347
50	SLU	8.37	4.45	5.71	1409.73	-319.75	1407.98	-6852.13	21.430
50	SLU	8.37	5.71	6.35	-1568.50	-57.24	-1571.64	-4775.56	83.431

Stato limite d'esercizio - Armatura a flessione

CC	TCC	Xv <m>	Zi <m>	Zf <m>	N <daN>	My <daNm>	σ_c <daN/cm ² >	σ_f <daN/cm ² >
72	SLE R	0.93	0.00	0.64	-3483.66	4.25	1.77	26.32
38	SLE R	8.37	0.00	0.64	2122.20	-62.80	0.00	332.72
80	SLE Q	0.93	0.00	0.64	-3260.03	3.99	1.66	24.63
88	SLE R	8.37	0.64	1.91	-8659.89	-271.65	3.51	46.39
38	SLE R	8.37	0.64	1.91	-913.01	-258.67	2.98	97.03
96	SLE Q	8.37	0.64	1.91	-8448.73	-271.44	3.45	45.58
72	SLE R	8.37	1.91	3.17	-21808.10	-506.28	7.97	107.84
55	SLE R	0.00	1.91	3.17	-1076.70	-0.80	0.28	4.10
80	SLE Q	8.37	1.91	3.17	-21449.20	-501.09	7.85	106.23
38	SLE R	8.37	3.17	4.45	-813.73	-503.46	5.73	225.47
46	SLE Q	8.37	3.17	4.45	-2394.24	-500.78	5.19	127.87
54	SLE R	8.37	4.45	5.71	895.03	-218.68	2.88	213.39
55	SLE R	8.37	4.45	5.71	966.65	-211.78	2.79	215.08
62	SLE Q	8.37	4.45	5.71	169.08	-211.64	2.71	149.15
70	SLE R	8.37	5.71	6.35	-2644.16	-28.18	1.58	22.45
70	SLE R	2.79	5.71	6.35	1092.34	-13.40	0.00	151.15
78	SLE Q	8.37	5.71	6.35	-2487.94	-27.58	1.50	21.23

Verifiche stato limite di formazione delle fessure

CC	TCC	Xv <m>	Zi <m>	Zf <m>	N <daN>	My <daNm>	c <mm>	s <mm>	K3	s _{cm} <mm>	Φ	A _s <cmq>	A _{c eff} <cmq>	σ _s <daN/cmq>	σ _{sz} <daN/cmq>	ε _{sm}	Wk <mm>
46	SLE Q	8.37	0.00	0.64	1867.95	-63.45	39.99	168.00	0.21	272.85	12.00	1.13	181.29	283.09	5262.63	0.05	0.03
42	SLE F	8.37	0.00	0.64	1999.60	-63.12	39.99	168.00	0.21	274.29	12.00	1.13	181.29	297.95	5323.01	0.06	0.03
46	SLE Q	8.37	0.64	1.91	-2235.99	-261.52	39.99	168.00	0.13	209.76	12.00	1.13	181.29	25.75	1227.33	0.01	0.00
42	SLE F	8.37	0.64	1.91	-1556.54	-260.09	39.99	168.00	0.13	209.76	12.00	1.13	181.29	56.34	2185.11	0.01	0.00
46	SLE Q	8.37	3.17	4.45	-2394.24	-500.78	39.99	168.00	0.13	209.76	12.00	1.13	181.29	127.87	2397.24	0.02	0.01
42	SLE F	8.37	3.17	4.45	-1603.62	-501.90	39.99	168.00	0.13	209.76	12.00	1.13	181.29	174.67	2945.70	0.03	0.01
63	SLE Q	8.37	4.45	5.71	240.70	-204.73	39.99	168.00	0.15	227.53	12.00	1.13	181.29	150.50	4837.52	0.03	0.01
59	SLE F	8.37	4.45	5.71	588.59	-208.05	39.99	168.00	0.16	233.35	12.00	1.13	181.29	181.06	5301.14	0.04	0.01
78	SLE Q	2.79	5.71	6.35	950.04	-13.09	39.99	168.00	0.23	288.23	12.00	1.13	181.29	123.60	5908.59	0.02	0.01
74	SLE F	2.79	5.71	6.35	1032.37	-13.32	39.99	168.00	0.23	289.11	12.00	1.13	181.29	133.35	5945.62	0.03	0.01

Stato limite ultimo - Armatura a taglio

CC	Xv <m>	Zi <m>	Zf <m>	TCC	Ty <daN>	Tz <daN>	Vsdu <daN>	Vrdu <daN>	Sic.T
65	8.37	0.00	0.64	SLU	0.00	293.49	293.49	7889.26	26.88
68	8.37	0.64	1.91	SLU	0.00	643.87	643.87	17400.50	27.02
66	8.37	1.91	3.17	SLU	0.00	656.84	656.84	19975.70	30.41
34	8.37	3.17	4.45	SLU	0.00	623.13	623.13	16112.80	25.86
50	7.44	4.45	5.71	SLU	0.00	188.69	188.69	15995.10	84.77
25	8.37	5.71	6.35	SLV	0.00	-237.60	237.60	8216.61	34.58

Parete n. 117
Caratteristiche delle sezioni e dei materiali utilizzati

Sez.	Spess. <cm>	Cf <cm>	Cls	Fck <daN/cm²>	Fctk <daN/cm²>	Fcd <daN/cm²>	Fctd <daN/cm²>	Acc.	Fyk <daN/cm²>	Fyd <daN/cm²>
Oriz.	40.00	6.10	C28/35	290.50	19.84	164.62	13.23	B450C	4500.00	3913.04
Vert.	40.00	4.70	C28/35	290.50	19.84	164.62	13.23	B450C	4500.00	3913.04

Verifiche su sezioni orizzontali
Stato limite ultimo - Armatura a flessione

CC	TCC	Zona	Zv <m>	Xi <m>	Xf <m>	N <daN>	My <daNm>	Nu <daN>	Myu <daNm>	Sic.
49	SLU	Diff.	0.00	0.00	14.60	-342233.00	156899.00	-342234.00	210533.00	1.342
66	SLU	Diff.	1.27	0.00	14.60	-286124.00	33982.80	-286128.00	202182.00	5.950
66	SLU	Diff.	2.54	0.00	14.60	-259387.00	56832.10	-259388.00	198194.00	3.487
66	SLU	Diff.	3.81	0.00	14.60	-240340.00	43030.20	-240341.00	195352.00	4.540
49	SLU	Diff.	5.08	0.00	14.60	-224385.00	-15511.60	-224390.00	-192981.00	12.441
66	SLU	Diff.	6.35	0.00	14.60	-187644.00	-39098.00	-187647.00	-187510.00	4.796
49	SLU	Loc.	0.00	2.05	2.45	-11141.40	1787.45	-11145.80	5982.69	3.347
49	SLU	Loc.	0.00	5.85	6.25	-10058.80	2689.32	-10062.20	5821.85	2.165

Stato limite d'esercizio - Armatura a flessione

CC	TCC	Zona	Zv <m>	Xi <m>	Xf <m>	N <daN>	My <daNm>	σ_s <daN/cm²>	σ_f <daN/cm²>
53	SLE R	Diff.	0.00	0.00	14.60	-259236.00	115930.00	61.51	2132.77
61	SLE Q	Diff.	0.00	0.00	14.60	-244869.00	93092.40	48.86	1561.11
70	SLE R	Diff.	1.27	0.00	14.60	-216455.00	25068.60	10.38	120.96
78	SLE Q	Diff.	1.27	0.00	14.60	-200823.00	20124.80	8.39	101.16
70	SLE R	Diff.	2.54	0.00	14.60	-195670.00	42104.70	20.28	390.71
78	SLE Q	Diff.	2.54	0.00	14.60	-178044.00	33747.10	15.72	248.42
70	SLE R	Diff.	3.81	0.00	14.60	-180350.00	31950.40	14.59	203.12
78	SLE Q	Diff.	3.81	0.00	14.60	-161281.00	25589.80	11.30	123.02
53	SLE R	Diff.	5.08	0.00	14.60	-167304.00	-11433.10	5.41	68.82
70	SLE R	Diff.	5.08	0.00	14.60	-164068.00	11215.90	5.31	67.50
61	SLE Q	Diff.	5.08	0.00	14.60	-146121.00	-9223.31	4.55	58.22
70	SLE R	Diff.	6.35	0.00	14.60	-138624.00	-28659.00	13.67	248.60
78	SLE Q	Diff.	6.35	0.00	14.60	-116828.00	-23196.00	10.95	187.00
53	SLE R	Loc.	0.00	2.05	2.45	-8384.80	1319.88	21.31	228.41
71	SLE R	Loc.	0.00	2.05	2.45	-8146.51	-1298.57	21.09	232.92
61	SLE Q	Loc.	0.00	2.05	2.45	-7869.64	1060.21	16.67	181.80
53	SLE R	Loc.	0.00	5.85	6.25	-7558.05	1987.16	39.48	915.72
61	SLE Q	Loc.	0.00	5.85	6.25	-7086.85	1596.03	29.98	596.41

Verifiche stato limite di formazione delle fessure

CC	TCC	Zona	Zv <m>	Xi <m>	Xf <m>	N <daN>	My <daNm>	c <mm>	s <mm>	K3	s _{rm} <mm>	Φ	A _s <cm²>	A _{c eff} <cm²>	σ_s <daN/cm²>	σ_{sr} <daN/cm²>	ϵ_{sm}	Wk <mm>
61	SLE Q	Diff.	0.00	0.00	14.60	-244869.00	93092.40	54.00	196.00	0.13	268.50	14.00	1.54	258.27	1561.11	2937.38	0.30	0.14
57	SLE F	Diff.	0.00	0.00	14.60	-248715.00	104522.00	54.00	196.00	0.13	270.83	14.00	1.54	258.27	1860.55	3054.17	0.36	0.17
78	SLE Q	Diff.	1.27	0.00	14.60	-200823.00	20124.80	54.00	196.00	0.13	264.64	14.00	1.54	258.27	11.23	251.99	0.00	0.00
74	SLE F	Diff.	1.27	0.00	14.60	-205240.00	22599.20	54.00	196.00	0.13	264.64	14.00	1.54	258.27	25.74	431.25	0.00	0.00
78	SLE Q	Diff.	2.54	0.00	14.60	-178044.00	33747.10	54.00	196.00	0.13	264.64	14.00	1.54	258.27	248.42	1653.80	0.05	0.02
74	SLE F	Diff.	2.54	0.00	14.60	-183395.00	37925.60	54.00	196.00	0.13	264.64	14.00	1.54	258.27	329.14	1862.19	0.06	0.03
78	SLE Q	Diff.	3.81	0.00	14.60	-161281.00	25589.80	54.00	196.00	0.13	264.64	14.00	1.54	258.27	123.02	1213.12	0.02	0.01
74	SLE F	Diff.	3.81	0.00	14.60	-167266.00	28767.60	54.00	196.00	0.13	264.64	14.00	1.54	258.27	170.53	1413.07	0.03	0.01
78	SLE Q	Diff.	6.35	0.00	14.60	-116828.00	-23196.00	54.00	196.00	0.13	264.64	14.00	1.54	258.27	187.00	1766.06	0.04	0.02
74	SLE F	Diff.	6.35	0.00	14.60	-123990.00	-25936.40	54.00	196.00	0.13	264.64	14.00	1.54	258.27	229.59	1888.82	0.04	0.02
78	SLE Q	Loc.	2.54	2.05	2.45	-5333.19	828.04	54.00	196.00	0.13	264.64	14.00	1.54	258.26	137.67	1146.01	0.03	0.01
74	SLE F	Loc.	2.54	2.05	2.45	-5549.39	930.13	54.00	196.00	0.13	264.64	14.00	1.54	258.26	191.17	1342.28	0.04	0.02
61	SLE Q	Loc.	0.00	5.85	6.25	-7086.85	1596.03	54.00	196.00	0.13	264.64	14.00	1.54	258.26	596.41	2101.45	0.12	0.05
57	SLE F	Loc.	0.00	5.85	6.25	-7221.03	1791.77	54.00	196.00	0.13	264.64	14.00	1.54	258.26	768.38	2319.45	0.15	0.07

Stato limite ultimo - Armatura a taglio

CC	Zona	Zv <m>	Xi <m>	Xf <m>	TCC	Ty <daN>	Tz <daN>	Vsdu <daN>	VRsd <daN>	VRcd <daN>	Vrdu <daN>	Sic.T
49	Diff.	0.00	0.00	14.60	SLU	0.00	191576.00	191576.00			263016.00	1.37
49	Diff.	1.27	0.00	14.60	SLU	0.00	-41831.80	41831.80			257049.00	6.14
65	Diff.	2.54	0.00	14.60	SLU	0.00	-4382.24	4382.24			252468.00	57.61
66	Diff.	3.81	0.00	14.60	SLU	0.00	-25016.70	25016.70			250063.00	10.00
66	Diff.	5.08	0.00	14.60	SLU	0.00	-34538.20	34538.20			247474.00	7.17
66	Diff.	6.35	0.00	14.60	SLU	0.00	36045.00	36045.00			243364.00	6.75

Verifiche su sezioni verticali**Stato limite ultimo - Armatura a flessione**

CC	TCC	Xv <m>	Zi <m>	Zf <m>	N <daN>	My <daNm>	Nu <daN>	Myu <daNm>	Sic.
49	SLU	0.00	0.00	0.64	1937.60	495.79	1936.69	7977.04	16.090
49	SLU	13.63	0.64	1.91	3340.76	1811.38	3344.66	12124.80	6.694
51	SLU	13.63	1.91	3.17	0.50	3164.65	0.03	14656.00	4.631
49	SLU	13.63	3.17	4.45	1766.78	3214.61	1762.95	12393.60	3.855
49	SLU	13.63	4.45	5.71	303.14	1756.30	303.93	12641.10	7.198
49	SLU	0.00	5.71	6.35	291.57	460.04	288.50	8249.18	17.932

Stato limite d'esercizio - Armatura a flessione

CC	TCC	Xv <m>	Zi <m>	Zf <m>	N <daN>	My <daNm>	σ_c <daN/cm ² >	σ_s <daN/cm ² >
53	SLE R	0.00	0.00	0.64	1525.91	366.68	3.69	322.29
56	SLE R	13.63	0.00	0.64	1869.32	356.85	3.38	349.43
61	SLE Q	0.00	0.00	0.64	1394.03	295.47	2.89	274.91
53	SLE R	13.63	0.64	1.91	3090.24	1345.43	8.69	633.97
61	SLE Q	13.63	0.64	1.91	2585.63	1078.39	6.96	514.62
53	SLE R	13.63	1.91	3.17	900.47	2352.94	13.95	731.76
55	SLE R	13.63	1.91	3.17	992.70	2347.69	13.92	734.72
61	SLE Q	13.63	1.91	3.17	-50.22	1884.74	11.15	548.84
53	SLE R	13.63	3.17	4.45	1685.87	2382.88	15.43	902.19
55	SLE R	13.63	3.17	4.45	1747.34	2374.88	15.38	903.01
61	SLE Q	13.63	3.17	4.45	983.61	1910.50	12.35	702.28
53	SLE R	13.63	4.45	5.71	105.68	1298.73	8.33	445.22
56	SLE R	0.00	4.45	5.71	679.71	1250.04	8.06	461.27
61	SLE Q	13.63	4.45	5.71	-314.48	1047.21	6.68	336.64
53	SLE R	13.63	5.71	6.35	-364.18	336.59	3.67	142.98
56	SLE R	0.00	5.71	6.35	228.30	331.42	3.63	189.32
61	SLE Q	0.00	5.71	6.35	99.88	276.26	3.03	150.16

Verifiche stato limite di formazione delle fessure

CC	TCC	Xv <m>	Zi <m>	Zf <m>	N <daN>	My <daNm>	c <mm>	s <mm>	K3	s_{xm} <mm>	Φ	A_s <cm ² >	$A_{c\ off}$ <cm ² >	σ_s <daN/cm ² >	σ_{sr} <daN/cm ² >	ϵ_{sm}	Wk <mm>
64	SLE Q	13.63	0.00	0.64	1793.54	286.39	40.00	196.00	0.19	279.69	14.00	1.54	235.71	299.50	4711.06	0.06	0.03
60	SLE F	13.63	0.00	0.64	1839.07	321.59	40.00	196.00	0.19	278.23	14.00	1.54	235.71	320.64	4614.48	0.06	0.03
61	SLE Q	13.63	0.64	1.91	2585.63	1078.39	40.00	196.00	0.17	267.15	14.00	1.54	235.71	514.62	5159.36	0.10	0.05
57	SLE F	13.63	0.64	1.91	2860.06	1211.80	40.00	196.00	0.17	267.00	14.00	1.54	235.71	575.58	5146.75	0.11	0.05
63	SLE Q	13.63	1.91	3.17	42.02	1879.49	40.00	196.00	0.16	256.16	14.00	1.54	235.71	551.74	3754.15	0.11	0.05
59	SLE F	13.63	1.91	3.17	543.23	2113.50	40.00	196.00	0.16	257.42	14.00	1.54	235.71	644.39	3835.68	0.13	0.05
64	SLE Q	0.00	3.17	4.45	1502.05	1818.41	40.00	196.00	0.16	260.26	14.00	1.54	235.71	700.86	4600.01	0.14	0.06
59	SLE F	13.63	3.17	4.45	1396.64	2138.69	40.00	196.00	0.16	259.42	14.00	1.54	235.71	803.06	4533.37	0.16	0.07
64	SLE Q	5.84	4.45	5.71	3291.05	-323.79	40.00	196.00	0.20	288.18	14.00	1.54	235.71	329.14	7500.61	0.06	0.03
60	SLE F	0.00	4.45	5.71	550.04	1133.75	40.00	196.00	0.16	258.58	14.00	1.54	235.71	414.57	4464.95	0.08	0.04
62	SLE Q	8.76	5.71	6.35	1232.18	125.39	40.00	196.00	0.20	287.61	14.00	1.54	235.71	171.26	5238.88	0.03	0.02
60	SLE F	8.76	5.71	6.35	1158.74	140.86	40.00	196.00	0.19	284.36	14.00	1.54	235.71	172.53	5033.92	0.03	0.02

Stato limite ultimo - Armatura a taglio

CC	Xv <m>	Zi <m>	Zf <m>	TCC	Ty <daN>	Tz <daN>	Vsdu <daN>	Vrdu <daN>	Sic.T
65	13.63	0.00	0.64	SLU	0.00	490.43	490.43	9811.96	20.01
65	13.63	0.64	1.91	SLU	0.00	3395.04	3395.04	19623.90	5.78
66	13.63	1.91	3.17	SLU	0.00	7036.33	7036.33	19668.80	2.80
49	13.63	3.17	4.45	SLU	0.00	-6008.11	6008.11	19623.90	3.27
49	0.00	4.45	5.71	SLU	0.00	2640.91	2640.91	19623.90	7.43
9	0.00	5.71	6.35	SLV	0.00	833.52	833.52	9811.97	11.77

Parete n. 119**Caratteristiche delle sezioni e dei materiali utilizzati**

Sez.	Spess. <cm>	Cf <cm>	Cls	Fck <daN/cm ² >	Fctk <daN/cm ² >	Fcd <daN/cm ² >	Fctd <daN/cm ² >	Acc.	Fyk <daN/cm ² >	Fyd <daN/cm ² >
Oriz.	30.00	5.80	C28/35	290.50	19.84	164.62	13.23	B450C	4500.00	3913.04
Vert.	30.00	4.60	C28/35	290.50	19.84	164.62	13.23	B450C	4500.00	3913.04

Verifiche su sezioni orizzontali**Stato limite ultimo - Armatura a flessione**

CC	TCC	Zona	Zv <m>	Xi <m>	Xf <m>	N <daN>	My <daNm>	Nu <daN>	Myu <daNm>	Sic.
83	SLU	Diff.	0.00	0.00	37.00	-347030.00	-78903.00	-347033.00	-263503.00	3.340
83	SLU	Diff.	1.27	0.00	37.00	-326125.00	21896.00	-326129.00	261323.00	11.935
83	SLU	Diff.	2.54	0.00	37.00	-311032.00	35972.90	-311032.00	259749.00	7.221
36	SLU	Diff.	3.81	0.00	37.00	-327525.00	-18206.40	-327529.00	-261470.00	14.361
36	SLU	Diff.	5.08	0.00	37.00	-301483.00	-12035.30	-301485.00	-258753.00	21.500
35	SLU	Diff.	6.35	0.00	37.00	-255057.00	26873.70	-255060.00	253905.00	9.448

Stato limite d'esercizio - Armatura a flessione

CC	TCC	Zona	Zv <m>	Xi <m>	Xf <m>	N <daN>	My <daNm>	σ_c <daN/cm ² >	σ_f <daN/cm ² >
87	SLE R	Diff.	0.00	0.00	37.00	-262794.00	-56170.90	21.78	564.04
95	SLE Q	Diff.	0.00	0.00	37.00	-241072.00	-54454.30	21.32	576.82
40	SLE R	Diff.	1.27	0.00	37.00	-304620.00	-12816.00	4.77	58.91
87	SLE R	Diff.	1.27	0.00	37.00	-246192.00	14349.30	4.55	53.99
96	SLE Q	Diff.	1.27	0.00	37.00	-232030.00	13720.80	4.33	51.22
87	SLE R	Diff.	2.54	0.00	37.00	-235617.00	23990.90	7.40	72.78
95	SLE Q	Diff.	2.54	0.00	37.00	-216042.00	23235.60	7.30	69.33
40	SLE R	Diff.	3.81	0.00	37.00	-250200.00	-13824.70	4.48	53.59
38	SLE R	Diff.	3.81	0.00	37.00	-248570.00	-13704.60	4.45	53.19
48	SLE Q	Diff.	3.81	0.00	37.00	-225988.00	-10513.90	3.71	45.27
40	SLE R	Diff.	5.08	0.00	37.00	-231997.00	-8178.63	3.36	42.40
87	SLE R	Diff.	5.08	0.00	37.00	-202702.00	-6326.60	2.80	35.77
48	SLE Q	Diff.	5.08	0.00	37.00	-209212.00	-7392.31	3.04	38.27
39	SLE R	Diff.	6.35	0.00	37.00	-198289.00	23231.00	7.52	76.95
47	SLE Q	Diff.	6.35	0.00	37.00	-176823.00	18617.70	5.80	55.92

Verifiche stato limite di formazione delle fessure

CC	TCC	Zona	Zv <m>	Xi <m>	Xf <m>	N <daN>	My <daNm>	c <mm>	s <mm>	K3	s_{rm} <mm>	Φ	A_s <cm ² >	$A_{c\ eff}$ <cm ² >	σ_s <daN/cm ² >	σ_{sr} <daN/cm ² >	ϵ_{sm}	Wk <mm>
95	SLE Q	Diff.	0.00	0.00	37.00	-241072.00	-54454.30	52.00	168.00	0.13	242.04	12.00	1.13	196.86	576.82	2738.77	0.11	0.05
91	SLE F	Diff.	0.00	0.00	37.00	-247909.00	-55102.10	52.00	168.00	0.13	242.04	12.00	1.13	196.86	574.93	2710.35	0.11	0.05
95	SLE Q	Diff.	2.54	0.00	37.00	-216042.00	23235.60	52.00	168.00	0.13	242.04	12.00	1.13	196.86	57.88	941.03	0.01	0.00
91	SLE F	Diff.	2.54	0.00	37.00	-222073.00	23553.70	52.00	168.00	0.13	242.04	12.00	1.13	196.86	55.77	905.62	0.01	0.00
47	SLE Q	Diff.	6.35	0.00	37.00	-176823.00	18617.70	52.00	168.00	0.13	242.04	12.00	1.13	196.86	42.90	887.22	0.01	0.00
43	SLE F	Diff.	6.35	0.00	37.00	-184102.00	21042.40	52.00	168.00	0.13	242.04	12.00	1.13	196.86	64.48	1100.42	0.01	0.01

Stato limite ultimo - Armatura a taglio

CC	Zona	Zv <m>	Xi <m>	Xf <m>	TCC	Ty <daN>	Tz <daN>	Vsdu <daN>	VRsd <daN>	VRcd <daN>	Vrdu <daN>	Sic.T
36	Diff.	0.00	0.00	37.00	SLU	0.00	249607.00	249607.00			504088.00	2.02
35	Diff.	1.27	0.00	37.00	SLU	0.00	89611.10	89611.10			493404.00	5.51
35	Diff.	2.54	0.00	37.00	SLU	0.00	-63073.30	63073.30			488359.00	7.74
83	Diff.	3.81	0.00	37.00	SLU	0.00	-18418.10	18418.10			479998.00	26.06
36	Diff.	5.08	0.00	37.00	SLU	0.00	18193.30	18193.30			482031.00	26.49
35	Diff.	6.35	0.00	37.00	SLU	0.00	-29407.10	29407.10			476414.00	16.20

Verifiche su sezioni verticali
Stato limite ultimo - Armatura a flessione

CC	TCC	Xv <m>	Zi <m>	Zf <m>	N <daN>	My <daNm>	Nu <daN>	Myu <daNm>	Sic.
65	SLU	34.00	0.00	0.64	4848.36	-1860.51	4849.65	-3964.48	2.131
65	SLU	34.00	0.64	1.91	8269.55	-2891.91	8267.70	-6010.57	2.078
83	SLU	3.00	1.91	3.17	-18744.10	4351.78	-18744.90	9344.92	2.147
65	SLU	0.00	3.17	4.45	-13519.20	-3830.05	-13523.10	-9734.52	2.542
65	SLU	0.00	4.45	5.71	-10464.30	-2060.53	-10468.90	-8414.43	4.084
65	SLU	0.00	5.71	6.35	-14343.00	-708.58	-14343.20	-6184.55	8.728

Stato limite d'esercizio - Armatura a flessione

CC	TCC	Xv <m>	Zi <m>	Zf <m>	N <daN>	My <daNm>	σ_c <daN/cm ² >	σ_f <daN/cm ² >
72	SLE R	34.00	0.00	0.64	3412.89	-1382.96	30.31	1757.48
69	SLE R	34.00	0.00	0.64	3528.02	-1379.50	30.23	1768.22
80	SLE Q	34.00	0.00	0.64	2642.16	-1119.67	24.55	1408.10
72	SLE R	34.00	0.64	1.91	5865.94	-2151.66	28.16	1854.35
69	SLE R	34.00	0.64	1.91	6042.28	-2145.77	28.10	1865.19
80	SLE Q	34.00	0.64	1.91	4498.06	-1727.69	22.59	1471.46
87	SLE R	3.00	1.91	3.17	-12611.30	2913.21	32.56	932.98
69	SLE R	36.00	1.91	3.17	7417.71	1278.84	17.03	1436.15
95	SLE Q	3.00	1.91	3.17	-12352.00	2855.22	31.92	914.97
69	SLE R	0.00	3.17	4.45	-9058.09	-2559.38	27.69	837.30
37	SLE R	36.00	3.17	4.45	3948.59	1084.98	13.02	878.87
77	SLE Q	0.00	3.17	4.45	-8951.76	-2526.34	27.32	825.86
69	SLE R	0.00	4.45	5.71	-7178.76	-1382.96	14.87	365.36
69	SLE R	36.00	4.45	5.71	408.24	577.75	7.40	402.90
77	SLE Q	0.00	4.45	5.71	-7005.66	-1358.05	14.62	361.51
69	SLE R	0.00	5.71	6.35	-9621.14	-470.88	9.26	118.15
69	SLE R	36.00	5.71	6.35	1460.05	201.75	4.14	377.51
77	SLE Q	0.00	5.71	6.35	-9409.46	-461.43	9.07	115.64

Verifiche stato limite di formazione delle fessure

CC	TCC	Xv <m>	Zi <m>	Zf <m>	N <daN>	My <daNm>	c <mm>	s <mm>	K3	s_{rm} <mm>	Φ	A_s <cm ² >	$A_{c\ eff}$ <cm ² >	σ_s <daN/cm ² >	σ_{sr} <daN/cm ² >	ϵ_{sm}	Wk <mm>
77	SLE Q	34.00	0.00	0.64	2757.29	-1116.21	40.00	168.00	0.15	232.20	12.00	1.13	181.30	1395.42	3960.50	0.27	0.11
73	SLE F	34.00	0.00	0.64	3159.40	-1247.33	40.00	168.00	0.15	232.41	12.00	1.13	181.30	1568.63	3972.64	0.30	0.12
77	SLE Q	34.00	0.64	1.91	4674.40	-1721.81	40.00	168.00	0.16	233.00	12.00	1.13	181.30	1482.27	5270.86	0.29	0.11
73	SLE F	34.00	0.64	1.91	5386.56	-1933.68	40.00	168.00	0.16	233.23	12.00	1.13	181.30	1676.00	5289.75	0.33	0.13
77	SLE Q	36.00	1.91	3.17	5971.05	1029.50	40.00	168.00	0.17	241.92	12.00	1.13	181.30	1156.10	6032.65	0.22	0.09
73	SLE F	36.00	1.91	3.17	6697.99	1153.84	40.00	168.00	0.17	241.94	12.00	1.13	181.30	1296.23	6033.77	0.25	0.10

77	SLE Q	0.00	3.17	4.45	-8951.76	-2526.34	40.00	168.00	0.13	209.78	12.00	1.13	181.30	825.86	2828.15	0.16	0.06
41	SLE F	36.00	3.17	4.45	3534.72	976.94	40.00	168.00	0.16	235.93	12.00	1.13	181.30	789.87	4807.24	0.15	0.06
77	SLE Q	0.00	4.45	5.71	-7005.66	-1358.05	40.00	168.00	0.13	209.78	12.00	1.13	181.30	361.51	2529.74	0.07	0.03
73	SLE F	36.00	4.45	5.71	297.61	520.90	40.00	168.00	0.14	225.17	12.00	1.13	181.30	357.62	4654.93	0.07	0.03
77	SLE Q	36.00	5.71	6.35	1243.70	169.47	40.00	168.00	0.17	245.61	12.00	1.13	181.30	311.78	4763.63	0.06	0.03
73	SLE F	36.00	5.71	6.35	1358.83	185.68	40.00	168.00	0.17	245.57	12.00	1.13	181.30	341.13	4760.71	0.07	0.03

Stato limite ultimo - Armatura a taglio

CC	Xv <m>	Zi <m>	Zf <m>	TCC	Ty <daN>	Tz <daN>	Vsdu <daN>	Vrdu <daN>	Sic.T
68	33.00	0.00	0.64	SLU	0.00	4899.11	4899.11	7889.14	1.61
68	33.00	0.64	1.91	SLU	0.00	6145.25	6145.25	15778.30	2.57
51	2.00	1.91	3.17	SLU	0.00	-10239.40	10239.40	17487.30	1.71
67	0.00	3.17	4.45	SLU	0.00	-6604.01	6604.01	17492.70	2.65
67	0.00	4.45	5.71	SLU	0.00	-2518.15	2518.15	17100.90	6.79
25	0.00	5.71	6.35	SLV	0.00	-2084.20	2084.20	9444.54	4.53

Parete n. 120

Caratteristiche delle sezioni e dei materiali utilizzati

Sez.	Spess. <cm>	Cf <cm>	Cls	Fck <daN/cm²>	Fctk <daN/cm²>	Fcd <daN/cm²>	Fctd <daN/cm²>	Acc.	Fyk <daN/cm²>	Fyd <daN/cm²>
Oriz.	30.00	5.80	C28/35	290.50	19.84	164.62	13.23	Fe B 32 k	3150.00	2739.13

Verifiche su sezioni orizzontali

Stato limite ultimo - Armatura a flessione

CC	TCC	Zona	Zv <m>	Xi <m>	Xf <m>	N <daN>	My <daNm>	Nu <daN>	Myu <daNm>	Sic.
33	SLU	Diff.	0.00	0.00	2.55	10693.20	-3319.68	10694.70	-10631.80	3.203
21	SLV	Diff.	0.00	3.60	4.60	-6919.15	-549.20	-6922.45	-6005.97	10.936
66	SLU	Diff.	1.20	0.00	2.55	5887.37	-610.17	5887.18	-11259.20	18.453
13	SLV	Diff.	1.20	3.60	4.60	-5458.57	-303.48	-5458.58	-5827.30	19.201
21	SLV	Diff.	2.40	0.00	2.55	6917.28	331.06	6918.40	11125.20	33.605
66	SLU	Diff.	2.40	3.60	4.60	-10584.10	-212.06	-10584.20	-6449.67	30.415
13	SLV	Diff.	2.40	0.00	4.60	-4376.91	219.93	-4381.89	22963.00	>100
52	SLU	Diff.	3.60	0.00	4.60	-1137.87	-57.01	-1141.09	-22544.00	>100

Stato limite d'esercizio - Armatura a flessione

CC	TCC	Zona	Zv <m>	Xi <m>	Xf <m>	N <daN>	My <daNm>	σ_c <daN/cm²>	σ_f <daN/cm²>
37	SLE R	Diff.	0.00	0.00	2.55	7840.90	-2485.55	14.91	974.17
45	SLE Q	Diff.	0.00	0.00	2.55	6512.42	-2284.75	13.74	871.38
72	SLE R	Diff.	0.00	3.60	4.60	-7950.56	-256.91	4.07	51.86
69	SLE R	Diff.	0.00	3.60	4.60	-7945.30	-256.79	4.07	51.83
80	SLE Q	Diff.	0.00	3.60	4.60	-7486.01	-233.48	3.78	48.35
86	SLE R	Diff.	1.20	0.00	2.55	2673.02	-441.63	2.52	217.84
70	SLE R	Diff.	1.20	0.00	2.55	4305.54	-461.83	2.33	281.13
94	SLE Q	Diff.	1.20	0.00	2.55	2192.15	-393.69	2.27	187.49
70	SLE R	Diff.	1.20	3.60	4.60	-8814.93	195.96	3.97	52.44
53	SLE R	Diff.	1.20	3.60	4.60	-7629.93	-220.35	3.75	48.28
64	SLE Q	Diff.	1.20	3.60	4.60	-7155.53	-189.92	3.41	44.32
37	SLE R	Diff.	2.40	0.00	2.55	6447.49	216.58	0.00	277.94
69	SLE R	Diff.	2.40	0.00	2.55	6599.14	221.99	0.00	284.59
45	SLE Q	Diff.	2.40	0.00	2.55	5670.44	204.60	0.00	249.29
70	SLE R	Diff.	2.40	3.60	4.60	-7914.93	-156.27	3.44	45.96
53	SLE R	Diff.	2.40	3.60	4.60	-6729.93	69.03	2.53	35.44
78	SLE Q	Diff.	2.40	3.60	4.60	-7097.73	-117.75	2.94	39.94
53	SLE R	Diff.	2.40	0.00	4.60	-4929.79	129.43	0.51	6.66
37	SLE R	Diff.	2.40	0.00	4.60	-4574.80	102.48	0.45	5.96
61	SLE Q	Diff.	2.40	0.00	4.60	-4666.69	131.09	0.50	6.41
56	SLE R	Diff.	3.60	0.00	4.60	-808.18	-42.78	0.11	1.36
37	SLE R	Diff.	3.60	0.00	4.60	-434.80	-35.70	0.08	0.92
64	SLE Q	Diff.	3.60	0.00	4.60	-545.09	-38.88	0.09	1.06

Verifiche stato limite di formazione delle fessure

CC	TCC	Zona	Zv <m>	Xi <m>	Xf <m>	N <daN>	My <daNm>	c <mm>	s <mm>	K3	s_{rm} <mm>	Φ	A_s <cm²>	$A_{s\ off}$ <cm²>	σ_s <daN/cm²>	σ_{sz} <daN/cm²>	ε_{sm}	Wk <mm>
45	SLE Q	Diff.	0.00	0.00	2.55	6512.42	-2284.75	52.00	168.00	0.15	260.20	12.00	1.13	196.86	871.38	4643.79	0.17	0.07
41	SLE F	Diff.	0.00	0.00	2.55	6970.88	-2328.98	52.00	168.00	0.15	260.74	12.00	1.13	196.86	899.76	4674.61	0.17	0.08
78	SLE Q	Diff.	1.20	0.00	2.55	3498.17	-409.85	52.00	168.00	0.17	277.48	12.00	1.13	196.86	238.06	5656.10	0.05	0.02
74	SLE F	Diff.	1.20	0.00	2.55	3788.26	-423.87	52.00	168.00	0.17	278.44	12.00	1.13	196.86	252.24	5713.70	0.05	0.02
80	SLE Q	Diff.	2.40	0.00	2.55	5881.68	198.56	52.00	168.00	0.20	306.88	12.00	1.13	196.86	253.89	5953.35	0.05	0.03
76	SLE F	Diff.	2.40	0.00	2.55	6171.77	201.33	52.00	168.00	0.20	307.69	12.00	1.13	196.86	264.00	5980.37	0.05	0.03
45	SLE Q	Diff.	3.60	0.00	4.60	-242.70	-33.20	52.00	168.00	0.13	242.04	12.00	1.13	196.86	1.24	1493.55	0.00	0.00
41	SLE F	Diff.	3.60	0.00	4.60	-288.95	-34.24	52.00	168.00	0.13	242.04	12.00	1.13	196.86	0.89	1136.64	0.00	0.00

Parete n. 122**Caratteristiche delle sezioni e dei materiali utilizzati**

Sez.	Spess. <cm>	Cf <cm>	Cls	Fck <daN/cmq>	Fctk <daN/cmq>	Fcd <daN/cmq>	Fctd <daN/cmq>	Acc.	Fyk <daN/cmq>	Fyd <daN/cmq>
Oriz.	30.00	5.80	C28/35	290.50	19.84	164.62	13.23	Fe B 32 k	3150.00	2739.13

Verifiche su sezioni orizzontali**Stato limite ultimo - Armatura a flessione**

CC	TCC	Zona	Zv <m>	Xi <m>	Xf <m>	N <daN>	My <daNm>	Nu <daN>	Myu <daNm>	Sic.
13	SLV	Diff.	0.00	0.00	1.00	-13898.60	363.61	-13901.70	6845.36	18.826
34	SLU	Diff.	0.00	2.05	4.60	7067.53	-853.40	7064.37	-11106.30	13.014
13	SLV	Diff.	1.20	0.00	1.00	-10873.20	352.10	-10875.00	6484.80	18.418
49	SLU	Diff.	1.20	2.05	4.60	5711.32	-1260.87	5714.91	-11281.70	8.948
13	SLV	Diff.	2.40	0.00	1.00	-9973.23	-306.38	-9977.64	-6376.27	20.811
21	SLV	Diff.	2.40	2.05	4.60	5674.37	248.71	5672.13	11287.00	45.383
9	SLV	Diff.	2.40	0.00	4.60	-4789.63	-169.07	-4791.89	-23016.10	>100
13	SLV	Diff.	3.60	0.00	4.60	-495.42	38.04	-496.70	22460.30	>100

Stato limite d'esercizio - Armatura a flessione

CC	TCC	Zona	Zv <m>	Xi <m>	Xf <m>	N <daN>	My <daNm>	σ_c <daN/cmq>	σ_f <daN/cmq>
87	SLE R	Diff.	0.00	0.00	1.00	-14415.60	25.90	4.66	68.97
55	SLE R	Diff.	0.00	0.00	1.00	-12825.50	77.58	4.48	64.47
95	SLE Q	Diff.	0.00	0.00	1.00	-13392.60	23.41	4.33	64.04
70	SLE R	Diff.	0.00	2.05	4.60	3407.48	-807.23	4.78	346.35
38	SLE R	Diff.	0.00	2.05	4.60	5281.50	-820.28	4.63	415.75
78	SLE Q	Diff.	0.00	2.05	4.60	2676.36	-686.97	4.09	286.95
53	SLE R	Diff.	1.20	0.00	1.00	-11673.90	238.79	5.12	68.26
55	SLE R	Diff.	1.20	0.00	1.00	-11533.80	234.24	5.05	67.35
61	SLE Q	Diff.	1.20	0.00	1.00	-10774.20	202.76	4.62	62.00
85	SLE R	Diff.	1.20	2.05	4.60	2890.39	-875.51	5.24	347.60
53	SLE R	Diff.	1.20	2.05	4.60	4095.51	-888.33	5.23	393.23
93	SLE Q	Diff.	1.20	2.05	4.60	2421.74	-815.71	4.90	314.45
53	SLE R	Diff.	2.40	0.00	1.00	-10773.90	-227.86	4.77	63.43
55	SLE R	Diff.	2.40	0.00	1.00	-10633.80	-228.26	4.73	62.79
61	SLE Q	Diff.	2.40	0.00	1.00	-9874.23	-196.83	4.30	57.45
37	SLE R	Diff.	2.40	2.05	4.60	6242.44	157.69	0.00	251.25
54	SLE R	Diff.	2.40	2.05	4.60	6398.84	162.55	0.00	257.86
45	SLE Q	Diff.	2.40	2.05	4.60	5562.37	148.74	0.00	226.71
53	SLE R	Diff.	2.40	0.00	4.60	-4950.56	-81.00	0.45	6.08
61	SLE Q	Diff.	2.40	0.00	4.60	-4724.06	-63.44	0.41	5.63
85	SLE R	Diff.	3.60	0.00	4.60	-1060.48	13.01	0.09	1.25
55	SLE R	Diff.	3.60	0.00	4.60	-783.13	20.97	0.08	1.06
93	SLE Q	Diff.	3.60	0.00	4.60	-784.00	13.47	0.07	0.97

Verifiche stato limite di formazione delle fessure

CC	TCC	Zona	Zv <m>	Xi <m>	Xf <m>	N <daN>	My <daNm>	c <mm>	s <mm>	K3	s_{rm} <mm>	Φ	A_s <cmq>	$A_{c\ eff}$ <cmq>	σ_s <daN/cmq>	σ_{sr} <daN/cmq>	ϵ_{sm}	Wk <mm>
46	SLE Q	Diff.	0.00	2.05	4.60	4175.57	-697.41	52.00	168.00	0.16	270.67	12.00	1.13	196.86	342.40	5252.16	0.07	0.03
42	SLE F	Diff.	0.00	2.05	4.60	4532.68	-706.10	52.00	168.00	0.16	271.92	12.00	1.13	196.86	357.40	5325.75	0.07	0.03
61	SLE Q	Diff.	1.20	2.05	4.60	3385.83	-825.97	52.00	168.00	0.15	264.69	12.00	1.13	196.86	350.87	4902.73	0.07	0.03
57	SLE F	Diff.	1.20	2.05	4.60	3630.49	-844.51	52.00	168.00	0.15	265.37	12.00	1.13	196.86	364.64	4941.98	0.07	0.03
64	SLE Q	Diff.	2.40	2.05	4.60	5780.09	144.39	52.00	168.00	0.21	313.77	12.00	1.13	196.86	232.09	6183.00	0.05	0.02
60	SLE F	Diff.	2.40	2.05	4.60	6024.74	144.35	52.00	168.00	0.21	314.68	12.00	1.13	196.86	239.80	6213.18	0.05	0.02

Parete n. 125**Caratteristiche delle sezioni e dei materiali utilizzati**

Sez.	Spess. <cm>	Cf <cm>	Cls	Fck <daN/cmq>	Fctk <daN/cmq>	Fcd <daN/cmq>	Fctd <daN/cmq>	Acc.	Fyk <daN/cmq>	Fyd <daN/cmq>
Oriz.	30.00	5.80	C28/35	290.50	19.84	164.62	13.23	Fe B 32 k	3150.00	2739.13

Verifiche su sezioni orizzontali**Stato limite ultimo - Armatura a flessione**

CC	TCC	Zona	Zv <m>	Xi <m>	Xf <m>	N <daN>	My <daNm>	Nu <daN>	Myu <daNm>	Sic.
13	SLV	Diff.	0.00	0.00	7.90	-43864.60	-5813.16	-43869.50	-42717.80	7.348
13	SLV	Diff.	0.90	0.00	7.90	-40307.50	-4047.78	-40310.30	-42271.90	10.443
29	SLV	Diff.	1.80	0.00	7.90	-27259.30	-1958.41	-27259.80	-40635.90	20.749
21	SLV	Diff.	1.80	0.00	2.80	-6456.63	-647.84	-6460.09	-13805.90	21.311
13	SLV	Diff.	1.80	3.30	6.30	-15301.20	-1013.17	-15303.40	-15794.60	15.589
13	SLV	Diff.	1.80	6.85	7.90	-2358.36	201.33	-2361.11	5465.76	27.148
21	SLV	Diff.	2.40	0.00	2.80	-5290.69	619.33	-5293.87	13655.40	22.049
29	SLV	Diff.	2.40	3.30	6.30	-12412.40	-389.45	-12415.80	-15432.50	39.626
21	SLV	Diff.	2.40	6.85	7.90	-4357.41	-434.63	-4358.09	-5715.90	13.151
13	SLV	Diff.	2.40	0.00	7.90	-18682.00	-1353.60	-18684.00	-39555.90	29.223
52	SLU	Diff.	3.60	0.00	7.90	-23176.10	112.66	-23179.20	40124.90	>100

Stato limite d'esercizio - Armatura a flessione

CC	TCC	Zona	Zv <m>	Xi <m>	Xf <m>	N <daN>	My <daNm>	σ_c <daN/cm ² >	σ_s <daN/cm ² >
56	SLE R	Diff.	0.00	0.00	7.90	-52014.00	-1139.92	2.97	39.31
64	SLE Q	Diff.	0.00	0.00	7.90	-47114.60	-1075.65	2.72	35.92
56	SLE R	Diff.	0.90	0.00	7.90	-48456.80	-655.07	2.44	33.66
64	SLE Q	Diff.	0.90	0.00	7.90	-43557.50	-622.51	2.22	30.51
88	SLE R	Diff.	1.80	0.00	7.90	-34185.90	-180.10	1.50	21.70
96	SLE Q	Diff.	1.80	0.00	7.90	-29410.60	-177.93	1.31	18.84
88	SLE R	Diff.	1.80	0.00	2.80	-9382.47	-121.99	1.33	18.30
72	SLE R	Diff.	1.80	0.00	2.80	-8495.00	-127.09	1.24	16.91
96	SLE Q	Diff.	1.80	0.00	2.80	-8056.88	-120.91	1.17	16.04
40	SLE R	Diff.	1.80	3.30	6.30	-19650.20	-101.68	2.27	32.87
56	SLE R	Diff.	1.80	3.30	6.30	-19019.90	-111.04	2.23	32.05
48	SLE Q	Diff.	1.80	3.30	6.30	-16840.20	-98.72	1.97	28.39
39	SLE R	Diff.	1.80	6.85	7.90	-3987.04	47.28	1.46	20.34
55	SLE R	Diff.	1.80	6.85	7.90	-3450.13	46.94	1.30	17.93
47	SLE Q	Diff.	1.80	6.85	7.90	-3283.99	45.68	1.25	17.12
71	SLE R	Diff.	2.40	0.00	2.80	-7501.98	171.55	1.22	16.15
79	SLE Q	Diff.	2.40	0.00	2.80	-6327.47	144.50	1.03	13.62
40	SLE R	Diff.	2.40	3.30	6.30	-16160.40	-42.51	1.78	26.24
88	SLE R	Diff.	2.40	3.30	6.30	-15682.10	-41.92	1.73	25.48
48	SLE Q	Diff.	2.40	3.30	6.30	-13566.50	-39.67	1.51	22.11
72	SLE R	Diff.	2.40	6.85	7.90	-5916.89	-127.31	2.51	33.28
88	SLE R	Diff.	2.40	6.85	7.90	-5181.47	-103.41	2.15	28.71
80	SLE Q	Diff.	2.40	6.85	7.90	-5015.17	-114.96	2.17	28.59
56	SLE R	Diff.	2.40	0.00	7.90	-23719.10	-91.79	1.02	14.82
64	SLE Q	Diff.	2.40	0.00	7.90	-19301.20	-90.92	0.84	12.18
54	SLE R	Diff.	3.60	0.00	7.90	-16652.30	84.25	0.73	10.55
56	SLE R	Diff.	3.60	0.00	7.90	-16606.90	84.83	0.73	10.52
62	SLE Q	Diff.	3.60	0.00	7.90	-12234.30	75.25	0.55	7.85

Parete n. 126
Caratteristiche delle sezioni e dei materiali utilizzati

Sez.	Spess. <cm>	Cf <cm>	Cls	Fck <daN/cm ² >	Fctk <daN/cm ² >	Fcd <daN/cm ² >	Fctd <daN/cm ² >	Acc.	Fyk <daN/cm ² >	Fyd <daN/cm ² >
Oriz.	30.00	5.80	C28/35	290.50	19.84	164.62	13.23	Fe B 32 k	3150.00	2739.13

Verifiche su sezioni orizzontali
Stato limite ultimo - Armatura a flessione

CC	TCC	Zona	Zv <m>	Xi <m>	Xf <m>	N <daN>	My <daNm>	Nu <daN>	Myu <daNm>	Sic.
68	SLU	Diff.	0.00	0.00	2.31	9958.86	-5078.08	9959.19	-9028.47	1.778
13	SLV	Diff.	0.00	3.46	9.30	-5824.33	-8208.11	-5828.86	-29184.40	3.556
68	SLU	Diff.	0.90	0.00	2.31	11307.30	-1979.13	11308.70	-8847.54	4.470
13	SLV	Diff.	0.90	3.46	9.30	-3191.86	-5090.63	-3194.02	-28843.80	5.666
21	SLV	Diff.	1.80	0.00	2.31	2292.79	495.49	2288.48	10044.00	20.271
29	SLV	Diff.	1.80	3.46	9.30	-5658.84	-2331.81	-5663.20	-29163.00	12.507
21	SLV	Diff.	1.80	0.00	2.31	2292.79	495.49	2288.48	10044.00	20.271
13	SLV	Diff.	1.80	3.46	4.66	-716.22	-695.22	-721.16	-6107.61	8.785
21	SLV	Diff.	1.80	5.23	7.00	-1008.84	-888.91	-1012.08	-8748.09	9.841
13	SLV	Diff.	1.80	7.56	9.30	915.40	485.83	918.59	8444.18	17.381
21	SLV	Diff.	2.40	0.00	2.31	3330.04	416.30	3332.36	9908.26	23.801
51	SLU	Diff.	2.40	3.46	4.66	-7602.80	-1042.86	-7606.66	-6970.02	6.684
66	SLU	Diff.	2.40	5.23	7.00	-2102.32	-939.75	-2105.95	-8889.50	9.459
21	SLV	Diff.	2.40	7.56	9.30	1626.43	-388.33	1623.64	-8353.51	21.511
52	SLU	Diff.	2.40	0.00	9.30	-17458.10	-2233.58	-17461.60	-46286.20	20.723
35	SLU	Diff.	3.60	0.00	9.30	-6916.28	-3981.59	-6918.50	-44922.70	11.283

Stato limite d'esercizio - Armatura a flessione

CC	TCC	Zona	Zv <m>	Xi <m>	Xf <m>	N <daN>	My <daNm>	σ_c <daN/cm ² >	σ_s <daN/cm ² >
72	SLE R	Diff.	0.00	0.00	2.31	7452.56	-3854.26	26.43	1569.56
80	SLE Q	Diff.	0.00	0.00	2.31	6342.80	-3526.88	24.19	1417.10
56	SLE R	Diff.	0.00	3.46	9.30	-10629.70	-3483.64	8.62	273.28
64	SLE Q	Diff.	0.00	3.46	9.30	-8861.17	-3482.04	8.72	296.73
72	SLE R	Diff.	0.90	0.00	2.31	8489.81	-1503.60	9.84	839.32
80	SLE Q	Diff.	0.90	0.00	2.31	7380.05	-1381.56	9.11	753.95
56	SLE R	Diff.	0.90	3.46	9.30	-7997.26	-1555.48	3.61	81.11
64	SLE Q	Diff.	0.90	3.46	9.30	-6228.70	-1603.09	3.88	108.35
70	SLE R	Diff.	1.80	0.00	2.31	2574.76	190.32	0.77	168.19
71	SLE R	Diff.	1.80	0.00	2.31	2799.19	199.45	0.74	180.42
78	SLE Q	Diff.	1.80	0.00	2.31	1918.05	177.01	0.93	136.72
88	SLE R	Diff.	1.80	3.46	9.30	-10431.50	-943.82	1.77	18.58
96	SLE Q	Diff.	1.80	3.46	9.30	-8388.88	-790.97	1.50	15.38
70	SLE R	Diff.	1.80	0.00	2.31	2574.76	190.32	0.77	168.19
71	SLE R	Diff.	1.80	0.00	2.31	2799.19	199.45	0.74	180.42
78	SLE Q	Diff.	1.80	0.00	2.31	1918.05	177.01	0.93	136.72
56	SLE R	Diff.	1.80	3.46	4.66	-4276.13	-500.69	4.87	47.16

64	SLE Q	Diff.	1.80	3.46	4.66	-3131.74	-404.59	4.07	49.69
72	SLE R	Diff.	1.80	5.23	7.00	-1267.39	-493.33	4.07	138.16
80	SLE Q	Diff.	1.80	5.23	7.00	-1153.53	-414.07	3.40	111.98
55	SLE R	Diff.	1.80	7.56	9.30	1089.40	317.50	2.72	178.71
63	SLE Q	Diff.	1.80	7.56	9.30	812.16	288.86	2.49	153.90
37	SLE R	Diff.	2.40	0.00	2.31	4278.46	-33.03	0.00	170.84
53	SLE R	Diff.	2.40	0.00	2.31	3956.71	-114.02	0.00	191.42
45	SLE Q	Diff.	2.40	0.00	2.31	3524.71	-5.91	0.00	132.22
53	SLE R	Diff.	2.40	3.46	4.66	-5612.38	-752.75	7.66	101.04
56	SLE R	Diff.	2.40	3.46	4.66	-5241.92	-732.46	7.55	107.58
61	SLE Q	Diff.	2.40	3.46	4.66	-4255.59	-584.14	5.98	82.57
70	SLE R	Diff.	2.40	5.23	7.00	-1486.84	-682.11	5.67	202.90
78	SLE Q	Diff.	2.40	5.23	7.00	-1292.19	-529.86	4.38	151.47
37	SLE R	Diff.	2.40	7.56	9.30	1793.70	-4.69	0.00	81.55
55	SLE R	Diff.	2.40	7.56	9.30	2189.49	46.13	0.00	118.97
45	SLE Q	Diff.	2.40	7.56	9.30	1656.46	10.35	0.00	78.21
88	SLE R	Diff.	2.40	0.00	9.30	-12728.40	-1616.22	2.11	25.48
96	SLE Q	Diff.	2.40	0.00	9.30	-11009.40	-1243.68	1.56	14.43
39	SLE R	Diff.	3.60	0.00	9.30	-4885.13	-2885.64	4.74	181.45
71	SLE R	Diff.	3.60	0.00	9.30	-4665.25	-2864.95	4.71	181.82
47	SLE Q	Diff.	3.60	0.00	9.30	-3102.90	-2154.00	3.55	140.37

Verifiche stato limite di formazione delle fessure

CC	TCC	Zona	Zv <m>	Xi <m>	Xf <m>	N <daN>	My <daNm>	c <mm>	s <mm>	K3	s _{rm} <mm>	Φ	A _s <cmq>	A _{c eff} <cmq>	σ _s <daN/cmq>	σ _{sr} <daN/cmq>	ε _{sm}	Wk <mm>
80	SLE Q	Diff.	0.00	0.00	2.31	6342.80	-3526.88	52.00	168.00	0.14	255.99	12.00	1.13	196.86	1417.10	4621.62	0.28	0.12
76	SLE F	Diff.	0.00	0.00	2.31	6663.41	-3580.94	52.00	168.00	0.14	256.25	12.00	1.13	196.86	1447.79	4637.07	0.28	0.12
64	SLE Q	Diff.	0.00	3.46	9.30	-8861.17	-3482.04	52.00	168.00	0.13	242.03	12.00	1.13	196.86	296.73	3128.19	0.06	0.02
60	SLE F	Diff.	0.00	3.46	9.30	-9409.08	-3425.69	52.00	168.00	0.13	242.03	12.00	1.13	196.86	282.63	3064.38	0.05	0.02
80	SLE Q	Diff.	0.90	0.00	2.31	7380.05	-1381.56	52.00	168.00	0.16	268.72	12.00	1.13	196.86	753.95	5394.43	0.15	0.07
76	SLE F	Diff.	0.90	0.00	2.31	7700.66	-1395.57	52.00	168.00	0.16	269.25	12.00	1.13	196.86	771.67	5427.88	0.15	0.07
64	SLE Q	Diff.	0.90	3.46	9.30	-6228.70	-1603.09	52.00	168.00	0.13	242.03	12.00	1.13	196.86	108.35	2689.43	0.02	0.01
60	SLE F	Diff.	0.90	3.46	9.30	-6776.61	-1553.28	52.00	168.00	0.13	242.03	12.00	1.13	196.86	95.64	2525.56	0.02	0.01
47	SLE Q	Diff.	1.80	0.00	2.31	2530.63	136.34	52.00	168.00	0.19	295.48	12.00	1.13	196.86	147.83	5858.51	0.03	0.01
43	SLE F	Diff.	1.80	0.00	2.31	2768.29	134.21	52.00	168.00	0.19	298.09	12.00	1.13	196.86	155.73	5949.85	0.03	0.02
96	SLE Q	Diff.	1.80	3.46	9.30	-8388.88	-790.97	52.00	168.00	0.13	242.03	12.00	1.13	196.86	6.97	605.35	0.00	0.00
92	SLE F	Diff.	1.80	3.46	9.30	-8944.70	-827.11	52.00	168.00	0.13	242.03	12.00	1.13	196.86	6.64	564.47	0.00	0.00
47	SLE Q	Diff.	1.80	0.00	2.31	2530.63	136.34	52.00	168.00	0.19	295.48	12.00	1.13	196.86	147.83	5858.51	0.03	0.01
43	SLE F	Diff.	1.80	0.00	2.31	2768.29	134.21	52.00	168.00	0.19	298.09	12.00	1.13	196.86	155.73	5949.85	0.03	0.02
64	SLE Q	Diff.	1.80	3.46	4.66	-3131.74	-404.59	52.00	168.00	0.13	242.03	12.00	1.13	196.86	49.69	1325.01	0.01	0.00
60	SLE F	Diff.	1.80	3.46	4.66	-3372.41	-428.85	52.00	168.00	0.13	242.03	12.00	1.13	196.86	50.64	1286.96	0.01	0.00
80	SLE Q	Diff.	1.80	5.23	7.00	-1153.53	-414.07	52.00	168.00	0.13	242.03	12.00	1.13	196.86	111.98	3059.56	0.02	0.01
76	SLE F	Diff.	1.80	5.23	7.00	-1080.27	-431.78	52.00	168.00	0.13	242.03	12.00	1.13	196.86	122.21	3149.63	0.02	0.01
63	SLE Q	Diff.	1.80	7.56	9.30	812.16	288.86	52.00	168.00	0.15	260.06	12.00	1.13	196.87	153.90	4461.10	0.03	0.01
59	SLE F	Diff.	1.80	7.56	9.30	894.71	296.26	52.00	168.00	0.15	260.85	12.00	1.13	196.87	160.84	4504.19	0.03	0.01
47	SLE Q	Diff.	2.40	0.00	2.31	3567.88	26.50	52.00	168.00	0.23	333.80	12.00	1.13	196.86	142.06	7202.90	0.03	0.02
57	SLE F	Diff.	2.40	0.00	2.31	3472.81	-91.50	52.00	168.00	0.21	312.57	12.00	1.13	196.86	164.58	6458.46	0.03	0.02
64	SLE Q	Diff.	2.40	3.46	4.66	-3885.14	-563.85	52.00	168.00	0.13	242.03	12.00	1.13	196.86	89.48	1599.55	0.02	0.01
60	SLE F	Diff.	2.40	3.46	4.66	-4217.00	-609.75	52.00	168.00	0.13	242.03	12.00	1.13	196.86	96.06	1591.05	0.02	0.01
78	SLE Q	Diff.	2.40	5.23	7.00	-1292.19	-529.86	52.00	168.00	0.13	242.03	12.00	1.13	196.86	151.47	3169.44	0.03	0.01
74	SLE F	Diff.	2.40	5.23	7.00	-1259.65	-572.61	52.00	168.00	0.13	242.03	12.00	1.13	196.86	169.81	3243.60	0.03	0.01
63	SLE Q	Diff.	2.40	7.56	9.30	1971.47	51.29	52.00	168.00	0.21	312.89	12.00	1.13	196.87	111.81	5912.71	0.02	0.01
59	SLE F	Diff.	2.40	7.56	9.30	2029.40	48.39	52.00	168.00	0.21	314.79	12.00	1.13	196.87	112.97	5973.81	0.02	0.01
96	SLE Q	Diff.	2.40	0.00	9.30	-11009.40	-1243.68	52.00	168.00	0.13	242.03	12.00	1.13	196.86	13.98	1027.87	0.00	0.00
92	SLE F	Diff.	2.40	0.00	9.30	-11510.60	-1352.79	52.00	168.00	0.13	242.03	12.00	1.13	196.86	17.19	1132.41	0.00	0.00
79	SLE Q	Diff.	3.60	0.00	9.30	-2927.00	-2137.46	52.00	168.00	0.13	242.03	12.00	1.13	196.86	140.64	3591.32	0.03	0.01
75	SLE F	Diff.	3.60	0.00	9.30	-3437.83	-2354.92	52.00	168.00	0.13	242.03	12.00	1.13	196.86	153.01	3563.93	0.03	0.01

Parete n. 127

Caratteristiche delle sezioni e dei materiali utilizzati

Sez.	Spess. <cm>	Cf <cm>	Cls	Fck <daN/cmq>	Fctk <daN/cmq>	Fcd <daN/cmq>	Fctd <daN/cmq>	Acc.	Fyk <daN/cmq>	Fyd <daN/cmq>
Oriz.	30.00	5.80	C28/35	290.50	19.84	164.62	13.23	Fe B 32 k	3150.00	2739.13

Verifiche su sezioni orizzontali

Stato limite ultimo - Armatura a flessione

CC	TCC	Zona	Zv <m>	Xi <m>	Xf <m>	N <daN>	My <daNm>	Nu <daN>	Myu <daNm>	Sic.
21	SLV	Diff.	0.00	0.00	7.90	-48370.70	-4762.54	-48372.30	-43281.70	9.088
21	SLV	Diff.	0.90	0.00	7.90	-44814.50	-3401.51	-44815.70	-42836.30	12.593
13	SLV	Diff.	1.80	0.00	7.90	-30637.20	-1873.80	-30640.60	-41059.90	21.913
13	SLV	Diff.	1.80	0.00	1.05	-1360.98	-255.77	-1365.49	-5340.16	20.879
21	SLV	Diff.	1.80	1.60	4.60	-17953.70	-947.66	-17955.60	-16126.60	17.017
21	SLV	Diff.	1.80	5.10	7.90	-10835.60	665.99	-10840.00	14363.60	21.567
13	SLV	Diff.	2.40	0.00	1.05	-2799.58	-444.99	-2803.77	-5520.54	12.406
13	SLV	Diff.	2.40	1.60	4.60	-14990.50	-416.06	-14991.30	-15755.10	37.868
21	SLV	Diff.	2.40	5.10	7.90	-10835.60	665.99	-10840.00	14363.60	21.567
21	SLV	Diff.	2.40	0.00	7.90	-15829.30	902.60	-15833.00	39188.30	43.417
29	SLV	Diff.	3.60	0.00	7.90	-11541.50	110.33	-11543.30	38633.60	>100

Stato limite d'esercizio - Armatura a flessione

CC	TCC	Zona	Zv <m>	Xi <m>	Xf <m>	N <daN>	My <daNm>	σ_c <daN/cm ² >	σ_f <daN/cm ² >
55	SLE R	Diff.	0.00	0.00	7.90	-54198.50	573.91	2.61	36.50
63	SLE Q	Diff.	0.00	0.00	7.90	-49784.40	548.50	2.41	33.68
72	SLE R	Diff.	0.90	0.00	7.90	-51765.00	-258.82	2.26	32.76
40	SLE R	Diff.	0.90	0.00	7.90	-50027.10	-181.91	2.13	31.17
80	SLE Q	Diff.	0.90	0.00	7.90	-47059.90	-222.02	2.05	29.69
88	SLE R	Diff.	1.80	0.00	7.90	-36340.30	-190.76	1.60	23.07
56	SLE R	Diff.	1.80	0.00	7.90	-35699.90	-212.64	1.59	22.84
96	SLE Q	Diff.	1.80	0.00	7.90	-31758.10	-187.15	1.41	20.31
56	SLE R	Diff.	1.80	0.00	1.05	-2838.83	-74.11	1.28	16.70
88	SLE R	Diff.	1.80	0.00	1.05	-2214.46	-65.23	1.04	13.43
64	SLE Q	Diff.	1.80	0.00	1.05	-2131.65	-69.02	1.04	13.26
40	SLE R	Diff.	1.80	1.60	4.60	-20455.60	-77.18	2.31	33.67
72	SLE R	Diff.	1.80	1.60	4.60	-20160.90	-85.06	2.29	33.36
48	SLE Q	Diff.	1.80	1.60	4.60	-17651.80	-73.21	2.00	29.18
87	SLE R	Diff.	1.80	5.10	7.90	-13170.50	20.56	1.52	22.59
40	SLE R	Diff.	1.80	5.10	7.90	-11233.30	-27.66	1.32	19.48
95	SLE Q	Diff.	1.80	5.10	7.90	-12017.10	15.92	1.38	20.56
56	SLE R	Diff.	2.40	0.00	1.05	-4620.86	-132.57	2.16	27.82
88	SLE R	Diff.	2.40	0.00	1.05	-3931.39	-116.55	1.86	23.88
64	SLE Q	Diff.	2.40	0.00	1.05	-3755.16	-121.48	1.83	23.36
40	SLE R	Diff.	2.40	1.60	4.60	-17119.20	-67.95	1.94	28.24
88	SLE R	Diff.	2.40	1.60	4.60	-16906.20	-64.39	1.91	27.84
48	SLE Q	Diff.	2.40	1.60	4.60	-14519.20	-63.35	1.66	24.06
87	SLE R	Diff.	2.40	5.10	7.90	-13170.50	20.56	1.52	22.59
40	SLE R	Diff.	2.40	5.10	7.90	-11233.30	-27.66	1.32	19.48
95	SLE Q	Diff.	2.40	5.10	7.90	-12017.10	15.92	1.38	20.56
71	SLE R	Diff.	2.40	0.00	7.90	-21302.90	64.73	0.90	13.18
79	SLE Q	Diff.	2.40	0.00	7.90	-17088.70	54.32	0.72	10.59
56	SLE R	Diff.	3.60	0.00	7.90	-16787.80	75.87	0.73	10.57
88	SLE R	Diff.	3.60	0.00	7.90	-16755.30	77.30	0.73	10.56
64	SLE Q	Diff.	3.60	0.00	7.90	-12333.90	69.01	0.55	7.86

Parete n. 130
Caratteristiche delle sezioni e dei materiali utilizzati

Sez.	Spess. <cm>	Cf <cm>	Cls	Fck <daN/cm ² >	Fctk <daN/cm ² >	Fcd <daN/cm ² >	Fctd <daN/cm ² >	Acc.	Fyk <daN/cm ² >	Fyd <daN/cm ² >
Oriz.	30.00	5.80	C28/35	290.50	19.84	164.62	13.23	B450C	4500.00	3913.04
Vert.	30.00	4.60	C28/35	290.50	19.84	164.62	13.23	B450C	4500.00	3913.04

Verifiche su sezioni orizzontali
Stato limite ultimo - Armatura a flessione

CC	TCC	Zona	Zv <m>	Xi <m>	Xf <m>	N <daN>	My <daNm>	Nu <daN>	Myu <daNm>	Sic.
17	SLV	Diff.	0.00	0.00	9.30	-170194.00	9567.18	-170195.00	75047.90	7.844
66	SLU	Diff.	1.27	0.00	9.30	-224814.00	3341.82	-224815.00	80694.40	24.147
66	SLU	Diff.	2.54	0.00	9.30	-210924.00	1916.46	-210927.00	79260.40	41.358
17	SLV	Diff.	3.81	0.00	9.30	-132784.00	-1175.23	-132787.00	-71178.10	60.565
17	SLV	Diff.	5.08	0.00	9.30	-118441.00	-1112.80	-118446.00	-69693.60	62.629
66	SLU	Diff.	6.35	0.00	9.30	-153364.00	-5186.08	-153365.00	-73302.20	14.134

Stato limite d'esercizio - Armatura a flessione

CC	TCC	Zona	Zv <m>	Xi <m>	Xf <m>	N <daN>	My <daNm>	σ_c <daN/cm ² >	σ_f <daN/cm ² >
69	SLE R	Diff.	0.00	0.00	9.30	-180382.00	6113.74	10.23	129.61
77	SLE Q	Diff.	0.00	0.00	9.30	-171116.00	5067.83	9.21	118.42
71	SLE R	Diff.	1.27	0.00	9.30	-169754.00	2457.60	7.41	101.55
72	SLE R	Diff.	1.27	0.00	9.30	-168566.00	2461.16	7.37	100.97
79	SLE Q	Diff.	1.27	0.00	9.30	-158582.00	2150.44	6.82	93.97
38	SLE R	Diff.	2.54	0.00	9.30	-160853.00	1354.84	6.37	90.20
70	SLE R	Diff.	2.54	0.00	9.30	-158251.00	1448.64	6.34	89.45
46	SLE Q	Diff.	2.54	0.00	9.30	-148379.00	1221.80	5.85	83.03
38	SLE R	Diff.	3.81	0.00	9.30	-147765.00	530.43	5.37	78.43
86	SLE R	Diff.	3.81	0.00	9.30	-142753.00	464.93	5.15	75.48
46	SLE Q	Diff.	3.81	0.00	9.30	-135350.00	498.42	4.92	71.92
69	SLE R	Diff.	5.08	0.00	9.30	-132051.00	-852.55	5.05	72.44
77	SLE Q	Diff.	5.08	0.00	9.30	-120036.00	-707.05	4.55	65.43
70	SLE R	Diff.	6.35	0.00	9.30	-114303.00	-3810.25	6.44	81.74
78	SLE Q	Diff.	6.35	0.00	9.30	-102297.00	-3259.11	5.66	72.22

Stato limite ultimo - Armatura a taglio

CC	Zona	Zv <m>	Xi <m>	Xf <m>	TCC	Ty <daN>	Tz <daN>	Vsdu <daN>	VRsd <daN>	VRcd <daN>	Vrdu <daN>	Sic.T
17	Diff.	0.00	0.00	9.30	SLV	0.00	7347.00	7347.00			132590.00	18.05
17	Diff.	1.27	0.00	9.30	SLV	0.00	-2448.20	2448.20			131074.00	53.54
65	Diff.	2.54	0.00	9.30	SLU	0.00	-1715.17	1715.17			137551.00	80.20
66	Diff.	3.81	0.00	9.30	SLU	0.00	-1710.42	1710.42			135554.00	79.25

66	Diff.	5.08	0.00	9.30	SLU	0.00	-2213.12	2213.12			133358.00	60.26
66	Diff.	6.35	0.00	9.30	SLU	0.00	3360.66	3360.66			130542.00	38.84

Verifiche su sezioni verticali

Stato limite ultimo - Armatura a flessione

CC	TCC	Xv <m>	Zi <m>	Zf <m>	N <daN>	My <daNm>	Nu <daN>	Myu <daNm>	Sic.
52	SLU	1.86	0.00	0.64	-392.13	-113.86	-395.97	-4645.19	40.798
49	SLU	0.00	0.64	1.91	1018.30	246.94	1018.74	6898.03	27.934
49	SLU	0.00	1.91	3.17	-331.40	270.82	-335.13	7276.66	26.869
1	SLV	0.00	3.17	4.45	6578.24	293.63	6576.93	7269.21	24.756
65	SLU	0.00	4.45	5.71	2063.29	286.97	2061.64	6770.94	23.594
65	SLU	2.79	5.71	6.35	3413.45	-130.32	3411.96	-4135.64	31.733

Stato limite d'esercizio - Armatura a flessione

CC	TCC	Xv <m>	Zi <m>	Zf <m>	N <daN>	My <daNm>	σ_c <daN/cm ² >	σ_f <daN/cm ² >
56	SLE R	1.86	0.00	0.64	-285.35	-86.49	1.78	52.32
39	SLE R	0.00	0.00	0.64	2027.37	-44.20	0.00	301.05
64	SLE Q	1.86	0.00	0.64	-273.14	-82.11	1.69	49.44
53	SLE R	0.00	0.64	1.91	798.77	184.26	2.43	183.57
38	SLE R	0.00	0.64	1.91	9011.95	-115.01	0.00	882.65
61	SLE Q	0.00	0.64	1.91	747.27	171.04	2.25	170.90
53	SLE R	0.00	1.91	3.17	-228.61	202.47	2.51	112.05
70	SLE R	0.00	1.91	3.17	13525.70	-76.19	0.00	1266.53
61	SLE Q	0.00	1.91	3.17	-238.12	187.07	2.31	101.46
53	SLE R	0.00	3.17	4.45	-602.25	141.27	1.49	40.20
40	SLE R	0.00	3.17	4.45	7758.31	164.68	0.00	680.85
61	SLE Q	0.00	3.17	4.45	-558.19	129.35	1.36	36.42
69	SLE R	0.00	4.45	5.71	1424.35	209.21	2.75	252.86
69	SLE R	3.72	4.45	5.71	8583.96	-89.94	0.00	826.84
77	SLE Q	0.00	4.45	5.71	852.44	182.02	2.40	186.71
69	SLE R	0.00	5.71	6.35	257.02	67.74	1.47	97.18
37	SLE R	5.58	5.71	6.35	3513.14	-7.83	0.00	448.60
77	SLE Q	0.00	5.71	6.35	96.12	59.70	1.31	69.64

Verifiche stato limite di formazione delle fessure

CC	TCC	Xv <m>	Zi <m>	Zf <m>	N <daN>	My <daNm>	c <mm>	s <mm>	K3	s_{rm} <mm>	Φ	A_s <cm ² >	$A_{c\ eff}$ <cm ² >	σ_s <daN/cm ² >	σ_{sr} <daN/cm ² >	ϵ_{sm}	Wk <mm>
47	SLE Q	0.00	0.00	0.64	1703.28	-28.04	39.98	168.00	0.22	285.67	12.00	1.13	181.28	226.44	5800.37	0.04	0.02
43	SLE F	0.00	0.00	0.64	1868.42	-36.43	39.98	168.00	0.22	282.99	12.00	1.13	181.28	254.42	5688.16	0.05	0.02
46	SLE Q	0.00	0.64	1.91	7316.45	-70.16	39.98	168.00	0.23	292.79	12.00	1.13	181.28	700.15	9098.37	0.14	0.07
42	SLE F	0.00	0.64	1.91	8167.13	-93.55	39.98	168.00	0.23	290.72	12.00	1.13	181.28	792.35	8951.14	0.15	0.08
48	SLE Q	0.00	1.91	3.17	10954.60	-7.68	39.98	168.00	0.25	304.67	12.00	1.13	181.28	987.50	10023.40	0.19	0.10
44	SLE F	0.00	1.91	3.17	12354.20	-25.22	39.98	168.00	0.25	302.62	12.00	1.13	181.28	1125.40	9876.01	0.22	0.11
48	SLE Q	2.79	3.17	4.45	6372.24	-98.33	39.98	168.00	0.23	286.76	12.00	1.13	181.28	536.67	7357.13	0.10	0.05
44	SLE F	0.00	3.17	4.45	6962.63	153.61	40.02	168.00	0.22	281.12	12.00	1.13	181.32	614.56	7019.55	0.12	0.06
45	SLE Q	3.72	4.45	5.71	7844.96	-64.62	39.98	168.00	0.23	294.35	12.00	1.13	181.28	743.21	9210.89	0.14	0.07
41	SLE F	3.72	4.45	5.71	8230.29	-68.65	39.98	168.00	0.23	294.23	12.00	1.13	181.28	780.32	9202.06	0.15	0.08
45	SLE Q	5.58	5.71	6.35	3342.94	-5.62	39.98	168.00	0.25	303.00	12.00	1.13	181.28	391.90	6529.07	0.08	0.04
41	SLE F	5.58	5.71	6.35	3439.13	-6.82	39.98	168.00	0.25	302.55	12.00	1.13	181.28	404.29	6510.15	0.08	0.04

Stato limite ultimo - Armatura a taglio

CC	Xv <m>	Zi <m>	Zf <m>	TCC	Ty <daN>	Tz <daN>	Vsdu <daN>	Vrdu <daN>	Sic.T
52	0.00	0.00	0.64	SLU	0.00	444.37	444.37	7888.89	17.75
52	0.00	0.64	1.91	SLU	0.00	872.20	872.20	15777.80	18.09
49	0.00	1.91	3.17	SLU	0.00	419.12	419.12	15819.90	37.75
17	0.00	3.17	4.45	SLV	0.00	477.36	477.36	15777.80	33.05
65	0.00	4.45	5.71	SLU	0.00	780.58	780.58	15777.80	20.21
65	0.00	5.71	6.35	SLU	0.00	572.64	572.64	7888.89	13.78

Parete n. 131

Caratteristiche delle sezioni e dei materiali utilizzati

Sez.	Spess. <cm>	Cf <cm>	Cls	Fck <daN/cm ² >	Fctk <daN/cm ² >	Fcd <daN/cm ² >	Fctd <daN/cm ² >	Acc.	Fyk <daN/cm ² >	Fyd <daN/cm ² >
Oriz.	30.00	5.80	C28/35	290.50	19.84	164.62	13.23	Fe B 32 k	3150.00	2739.13

Verifiche su sezioni orizzontali

Stato limite ultimo - Armatura a flessione

CC	TCC	Zona	Zv <m>	Xi <m>	Xf <m>	N <daN>	My <daNm>	Nu <daN>	Myu <daNm>	Sic.
13	SLV	Diff.	0.00	0.00	1.00	-12121.70	449.81	-12122.50	6635.40	14.752
9	SLV	Diff.	0.00	2.05	10.30	-52012.60	-5859.66	-52017.00	-43134.00	7.361
65	SLU	Diff.	1.20	0.00	1.00	-9428.17	523.41	-9430.81	6309.66	12.055
17	SLV	Diff.	1.20	2.05	10.30	-33929.90	2321.22	-33932.90	40843.10	17.596
66	SLU	Diff.	2.40	0.00	1.00	-8162.40	-387.41	-8165.45	-6157.04	15.893
9	SLV	Diff.	2.40	2.05	10.30	-29791.10	-909.50	-29794.80	-40313.00	44.325
9	SLV	Diff.	2.40	0.00	10.30	-24884.00	-1114.55	-24884.80	-49990.50	44.853
9	SLV	Diff.	3.60	0.00	10.30	-15614.00	157.45	-15618.90	48784.90	>100

Stato limite d'esercizio - Armatura a flessione

CC	TCC	Zona	Zv <m>	Xi <m>	Xf <m>	N <daN>	My <daNm>	σ_c <daN/cm ² >	σ_s <daN/cm ² >
53	SLE R	Diff.	0.00	0.00	1.00	-13369.40	204.74	5.44	74.26
71	SLE R	Diff.	0.00	0.00	1.00	-8022.85	86.44	3.04	42.49
61	SLE Q	Diff.	0.00	0.00	1.00	-12410.60	183.44	5.01	68.56
54	SLE R	Diff.	0.00	2.05	10.30	-57770.70	-3102.46	4.57	54.79
62	SLE Q	Diff.	0.00	2.05	10.30	-51979.80	-2796.74	4.11	49.34
69	SLE R	Diff.	1.20	0.00	1.00	-6927.02	375.10	4.49	53.84
77	SLE Q	Diff.	1.20	0.00	1.00	-5716.18	302.99	3.66	44.04
69	SLE R	Diff.	1.20	2.05	10.30	-38850.10	681.45	2.00	27.02
62	SLE Q	Diff.	1.20	2.05	10.30	-37236.70	-461.92	1.77	24.56
70	SLE R	Diff.	2.40	0.00	1.00	-5931.25	-277.63	3.57	43.59
38	SLE R	Diff.	2.40	0.00	1.00	-5149.75	-222.83	2.99	36.81
78	SLE Q	Diff.	2.40	0.00	1.00	-4720.41	-230.53	2.90	35.23
54	SLE R	Diff.	2.40	2.05	10.30	-35249.50	-285.17	1.56	22.19
69	SLE R	Diff.	2.40	2.05	10.30	-31425.00	122.73	1.29	18.87
62	SLE Q	Diff.	2.40	2.05	10.30	-29811.70	-272.86	1.35	18.99
38	SLE R	Diff.	2.40	0.00	10.30	-31006.80	-352.18	1.16	16.23
46	SLE Q	Diff.	2.40	0.00	10.30	-25149.80	-341.62	0.98	13.48
53	SLE R	Diff.	3.60	0.00	10.30	-21742.50	120.31	0.74	10.67
55	SLE R	Diff.	3.60	0.00	10.30	-21674.70	118.00	0.74	10.63
61	SLE Q	Diff.	3.60	0.00	10.30	-15900.20	109.99	0.55	7.93

Parete n. 132
Caratteristiche delle sezioni e dei materiali utilizzati

Sez.	Spess. <cm>	Cf <cm>	Cls	Fck <daN/cm ² >	Fctk <daN/cm ² >	Fcd <daN/cm ² >	Fctd <daN/cm ² >	Acc.	Fyk <daN/cm ² >	Fyd <daN/cm ² >
Oriz.	30.00	5.80	C28/35	290.50	19.84	164.62	13.23	Fe B 32 k	3150.00	2739.13

Verifiche su sezioni orizzontali
Stato limite ultimo - Armatura a flessione

CC	TCC	Zona	Zv <m>	Xi <m>	Xf <m>	N <daN>	My <daNm>	Nu <daN>	Myu <daNm>	Sic.
17	SLV	Diff.	0.00	0.00	8.25	-52941.50	-5633.93	-52946.50	-43249.30	7.677
21	SLV	Diff.	0.00	9.30	10.30	-12436.70	661.00	-12439.00	6673.75	10.097
9	SLV	Diff.	1.20	0.00	8.25	-35098.70	2470.73	-35101.00	40994.80	16.592
50	SLU	Diff.	1.20	9.30	10.30	-8525.94	222.81	-8526.51	6200.19	27.827
17	SLV	Diff.	2.40	0.00	8.25	-30596.40	-899.10	-30596.90	-40415.40	44.951
1	SLV	Diff.	2.40	9.30	10.30	-3733.38	-255.55	-3736.04	-5611.96	21.960
17	SLV	Diff.	2.40	0.00	10.30	-25299.20	-1162.92	-25301.30	-50042.80	43.032
17	SLV	Diff.	3.60	0.00	10.30	-16029.20	107.51	-16029.60	48839.00	>100

Stato limite d'esercizio - Armatura a flessione

CC	TCC	Zona	Zv <m>	Xi <m>	Xf <m>	N <daN>	My <daNm>	σ_c <daN/cm ² >	σ_s <daN/cm ² >
69	SLE R	Diff.	0.00	0.00	8.25	-59010.80	-2820.48	4.39	53.50
77	SLE Q	Diff.	0.00	0.00	8.25	-52964.30	-2511.15	3.93	47.88
70	SLE R	Diff.	0.00	9.30	10.30	-13889.10	377.70	6.67	86.55
55	SLE R	Diff.	0.00	9.30	10.30	-8750.21	161.30	3.73	50.16
78	SLE Q	Diff.	0.00	9.30	10.30	-12835.60	341.46	6.12	79.55
54	SLE R	Diff.	1.20	0.00	8.25	-40300.80	814.25	2.16	28.78
62	SLE Q	Diff.	1.20	0.00	8.25	-35409.60	667.30	1.86	24.95
54	SLE R	Diff.	1.20	9.30	10.30	-6204.31	156.76	2.91	37.98
69	SLE R	Diff.	1.20	9.30	10.30	-4327.06	-83.53	1.87	25.02
62	SLE Q	Diff.	1.20	9.30	10.30	-5117.06	108.46	2.27	30.14
69	SLE R	Diff.	2.40	0.00	8.25	-36253.10	-214.03	1.55	22.27
54	SLE R	Diff.	2.40	0.00	8.25	-32875.80	136.64	1.36	19.79
77	SLE Q	Diff.	2.40	0.00	8.25	-30659.70	-212.88	1.33	19.06
53	SLE R	Diff.	2.40	9.30	10.30	-5213.01	-163.68	2.64	33.73
69	SLE R	Diff.	2.40	9.30	10.30	-3427.06	-69.25	1.50	19.99
61	SLE Q	Diff.	2.40	9.30	10.30	-4125.77	-132.83	2.11	26.88
69	SLE R	Diff.	2.40	0.00	10.30	-31393.80	-356.13	1.18	16.43
77	SLE Q	Diff.	2.40	0.00	10.30	-25469.40	-335.76	0.98	13.59
70	SLE R	Diff.	3.60	0.00	10.30	-22181.30	55.05	0.71	10.51
78	SLE Q	Diff.	3.60	0.00	10.30	-16256.90	53.78	0.53	7.78

Tecnisoft s.a.s. di Papi Paolo Luca & C.
Via F. Ferrucci, 203/C - 59100 Prato
Tel. 0574 583421 - Fax 0574 570157
C.F. e P.IVA 01555190972
R.E.A. C.C.I.A.A. Prato n. 421503
R.I. Prato n. 16291

AFFIDABILITA' DEL PROGRAMMA MODESt

Facendo seguito a quanto richiesto dalle Norme Tecniche per le Costruzioni, la società Tecnisoft s.a.s., produttrice e distributrice del programma ModeSt, dichiara quanto segue:

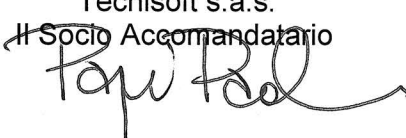
Il programma ModeSt è un pre-post processore per solutori agli elementi finiti prodotti da altre società ed alle quali si rimanda per i relativi test di affidabilità. Si segnala comunque che i solutori supportati sono di riconosciuta fama nazionale e internazionale e di comprovata affidabilità (XFINEST, SAP2000) e che vengono distribuiti con i relativi test di validazione.

ModeSt contiene comunque al suo interno procedure che l'utente può attivare per il controllo di congruenza sui dati introdotti, procedure che riconoscono in automatico la presenza dei più tipici errori di modellazione.

Al termine del calcolo sono interrogabili sia numericamente che graficamente tutti i risultati, per consentire la valutazione della bontà della modellazione effettuata.

Le procedure di progettazione delle armature degli elementi in c.a. o di verifica degli elementi in acciaio, legno o muratura segnalano sempre le situazioni in cui non sono soddisfatte le condizioni di verifica previste dalla normativa ed implementate nel software. Anche in questo caso si possono effettuare controlli grafici e numerici su stati tensionali, domini di rottura, ecc.

Le procedure di progetto e verifica sono state testate con numerosi esempi reperiti in letteratura o risolti manualmente. Tali esempi sono riportati all'interno di un manuale fornito insieme al programma.

Tecnisoft s.a.s.
Il Socio Accomandatario


Affidabilità del codice di calcolo XFINEST

Facendo seguito a quanto previsto nel paragrafo "Analisi e verifiche svolte con l'ausilio di codici di calcolo" delle "Norme tecniche per le Costruzioni", si precisa che la documentazione a corredo del software richiesta dalla norma citata è contenuta nei seguenti documenti in formato PDF compresi nell'installazione di Xfinest:

Manuale Utente

Oltre alla descrizione del formato dei dati di input e di output del programma, sono riportate le caratteristiche di tutti i tipi di elementi finiti implementati e degli algoritmi implementati (ad es. la bibliografia del singolo elemento finito riporta il testo/articolo contenente la formulazione su cui quest'ultimo si basa).

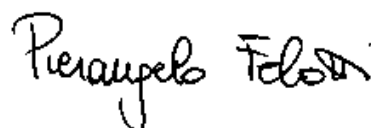
Manuale Teorico

Contiene una descrizione delle basi teoriche e degli algoritmi implementati nel codice di calcolo.

Manuale di Validazione

Per tutti gli elementi finiti e per gli algoritmi implementati sono riportati dei casi prova commentati con il confronto fra i risultati forniti dal programma e i valori teorici (se non disponibili viene riportato il confronto con valori in letteratura, ottenuti sperimentalmente e/o con altri codici di calcolo). Tutti i file di input dei casi prova sono compresi nell'installazione del programma.

CeAS Centro di Analisi Strutturale s.r.l.



d:\felotti\xfine.tif\manuale\dichiarazione affidabilità xfinest.doc

PROGETTAZIONE, DIREZIONE LAVORI, CALCOLO STRUTTURALE
E SVILUPPO SOFTWARE NELL'INGEGNERIA CIVILE E GEOTECNICA

VIALE GIUSTINIANO 10 20129 MILANO TEL. +39 02 2020221 FAX +39 02 29512533

VIA GARIBALDI 24 24100 BERGAMO TEL. +39 035 236719 FAX +39 035 4228549

C.F.-P.IVA-C.C.I.A.A. MI REG. IMPRESE SEZ. ORD.: 05961800157 R.E.A. 1052750 CAP. SOC. EURO 10.400,00=

E-MAIL: ceas@ceas.it